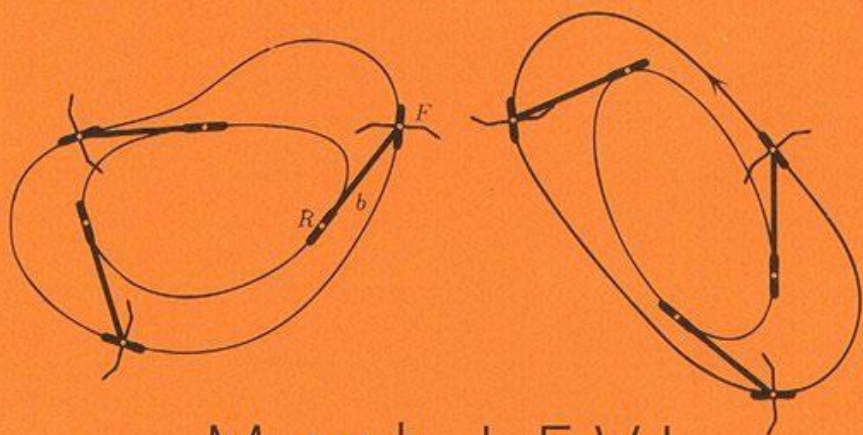


CÁNH CỬA MỞ RỘNG

# THỢ CƠ KHÍ TOÁN HỌC

The Mathematical Mechanic

GIẢI TOÁN BẰNG TRỰC QUAN VẬT LÝ



Mark LEVI



NHÀ XUẤT BẢN TRẺ

THỢ  
CƠ KHÍ  
TOÁN HỌC

THE MATHEMATICAL MECHANIC: USING PHYSICAL REASONING TO SOLVE PROBLEMS.

Copyright © 2009 Princeton University Press. All rights reserved.

Bản tiếng Việt © NXB Trẻ, 2011.

No part of this book may be reproduced or transmitted in any form or by any means, electronic or mechanical, including photocopying, recording or by any information storage and retrieval system, without permission in writing from the Publisher.

---

BIỂU GHI BIÊN MỤC TRƯỚC XUẤT BẢN ĐƯỢC THỰC HIỆN BỞI THƯ VIỆN KHTH TP.HCM

**Levi, Mark**

Thợ cơ khí toán học – Giải toán bằng trực quan vật lý / Mark Levi ; Huy Nguyễn dịch.

- T.P. Hồ Chí Minh : Trẻ, 2011.

240 tr. ; 20cm. - (Cánh cửa mở rộng). Nguyên bản : The mathematical mechanic.

1. Vật lý toán học. I. Huy Nguyễn. II. Ts: The mathematical mechanic.

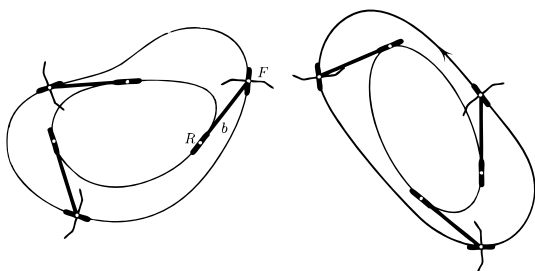
**510** -- dc 22

**L664**

# THỢ CƠ KHÍ TOÁN HỌC

The Mathematical Mechanic

GIẢI TOÁN BẰNG TRỰC QUAN VẬT LÝ



Mark LEVI

Huy Nguyễn dịch

NHÀ XUẤT BẢN TRẺ

# Mục lục

1	GIỚI THIỆU	5
2	ĐỊNH LÝ PYTHAGORAS	17
3	CỰC TIỂU VÀ CỰC ĐẠI	39
4	BẤT ĐẲNG THỨC CHO BỞI ĐOẠN MẠCH	99
5	TÂM KHỐI: LUẬN CỨ VÀ CÁCH GIẢI	110
6	HÌNH HỌC VÀ CHUYỂN ĐỘNG	128
7	SỬ DỤNG CƠ HỌC ĐỂ TÍNH TÍCH PHÂN	141
8	PHƯƠNG TRÌNH EULER-LAGRANGE THÔNG QUA NHỮNG LÒ XO KÉO CĂNG	147
9	THẤU KÍNH, KÍNH VIỄN VỌNG, VÀ CƠ HỌC HAMILTON	154
10	CÁI BÁNH XE ĐẠP VÀ ĐỊNH LÝ GAUSS-BONNET	172
11	BIẾN PHỨC THẬT LÀ ĐƠN GIẢN	191
	PHỤ LỤC: KIẾN THỨC VẬT LÝ CẦN THIẾT	208
	TÀI LIỆU THAM KHẢO	236

# 1

## GIỚI THIỆU

Thật tình cờ một trong những phát kiến toán học vĩ đại nhất mọi thời đại lại được dẫn dắt bởi trực quan vật lý.

— George Polya, nói đến khám phá của Archimedes về phép tích phân

### 1.1 Toán học đối đầu Vật lý

Trở lại thời Liên bang Xô-viết những năm đầu thập kỷ 1970, lớp cử nhân chúng tôi – gồm khoảng 40 sinh viên năm hai ngành toán và lý, được huy động đi lao động mùa hè ở miền quê. Công việc của chúng tôi là trộn bê-tông và dựng các xi-lô tại một trong các nông trang tập thể tại đây. Bạn tôi Anatole và tôi được phân công xúc sỏi. Công việc hoàn thành và chúng tôi cảm thấy thoải mái (như bất cứ ai cũng có thể cảm thấy trong hoàn cảnh đó). Anatole theo chuyên ngành vật lý còn tôi thì chuyên toán. Như những kẻ hâm mộ hai đội tuyển đối kháng, mỗi chúng tôi ra sức thuyết phục người còn lại rằng lĩnh vực của mình ưu việt hơn. Anatole nói một cách quả quyết rằng toán học là đầy

tớ của vật lý. Tôi phản pháo rằng toán học có thể tồn tại bất chấp vật lý còn vật lý thì không. Tôi nói thêm các định lý là vĩnh hằng. Các giả thuyết vật lý thì hết đúng rồi sai. Dù vậy tôi đã không cho Anatole biết trước rằng lý do tôi chọn chuyên ngành toán học là để rèn luyện cái công cụ cốt yếu cho vật lý – lĩnh vực mà tôi dự tính sẽ theo đuổi sau này. Thực ra, mùa hè trước khi vào đại học, tôi đã tình cờ gặp thầy vật lý của mình. Ông đã hỏi về các dự tính của tôi cho học kỳ mùa thu. “Bắt đầu chuyên ngành toán của em”, tôi đáp. “Gi cơ? Toán? Anh khùng rồi!” ông đáp lại. Tôi coi đó như một lời khen (và có lẽ xác nhận quan điểm của ông).

## 1.2 Quyển sách này nói về điều gì

Đây không phải là “một trong những cuốn bìa mềm, to, dày, đủ để giết thời gian qua hai mùa gió, mà nếu được ném thẳng tay thì sẽ khiến một con trâu nước khuỵu gối” (Nancy Banks-Smith, nhà phê bình truyền hình người Anh). Với kích thước nhỏ của nó, cuốn sách này sẽ không hạ gục được ai, ít ra không thể hạ gục ai bằng tác động vật lý của nó. Tuy nhiên, cuốn sách thực sự là một đòn giáng trả – hay có thể chỉ là một cú chích chống lại quan niệm cho rằng toán học là đầy tớ của vật lý. Trong cuốn sách này, vật lý bị đặt vào vị trí phục vụ toán học, và tỏ ra là một đầy tớ có năng lực (xin lỗi các nhà vật lý). Những ý tưởng vật lý có thể là ý tưởng khai mở thực thụ và gọi ra lời giải cực kỳ giản đơn cho một bài toán toán học. Hai chủ thể này gắn bó khăng khít đến nỗi cả hai sẽ chịu tổn thất nếu bị tách rời. Sự đổi vai có thể rất hiệu quả, như cuốn sách này minh chứng.

Hoàn toàn có thể tranh cãi xem việc tách hai bộ môn này ra có là một cái gì quá nhân tạo hay không\*.

**Điểm qua lịch sử.** Cách giải toán bằng trực quan vật lý ít nhất có từ thời Archimedes (khoảng năm 287 tr. CN – khoảng năm 212 tr. CN). Ông đã chứng minh định lý tích phân nổi tiếng về thể tích hình trụ, hình cầu và hình nón bằng cách sử dụng một cái cân thăng bằng giả tưởng. Bản tóm tắt của định lý này được khắc lên bia mộ của ông. Cách tiếp cận của Archimedes có thể được tìm thấy trong cuốn [P]. Đối với Newton, hai chủ đề này vốn là một. Các cuốn [U] và [BB] trình bày những lời giải vật lý rất đẹp cho các bài toán toán học. Rất nhiều những phát kiến toán học cơ bản (như Hamilton, Riemann, Lagrange, Jacobi, Möbius, Grassman, Poincaré) đã được dẫn dắt từ những suy xét vật lý.

**Có hay không một công thức phổ quát cho cách tiếp cận vật lý?** Như với công cụ bất kỳ, vật chất hay tinh thần, cách tiếp cận này có khi tốt và có khi không. Khó khăn chính là “nhìn” ra bản chất vật lý của bài toán\*\*. Một số bài toán phù hợp với cách giải này, một số khác thì không (cố nhiên, cuốn sách này chỉ bao gồm dạng thứ nhất). Tìm ra mô

---

\* “Toán học là một nhánh của vật lý lý thuyết nơi mà phần thực nghiệm là rẻ tiền” (V. Arnold [ARN]). Không chỉ các thí nghiệm trong cuốn sách này là rẻ tiền – thậm chí còn miễn phí, mà thực chất là các thực nghiệm giả tưởng (bài toán 2.2; 3.3; 3.13, và thực ra hầu hết các bài toán trong cuốn sách này).

\*\* Đây là cách tiếp cận đi ngược trào lưu chung: thông thường một người bắt đầu bằng một bài toán vật lý, rồi triển khai nó thành một bài toán toán học; ở đây chúng ta làm ngược lại.



phỏng vật lý cho một bài toán cụ thể có khi dễ dàng, và có khi không; người đọc có thể có ý kiến riêng của mình sau khi lướt qua những trang sách này.

Một bài học mà một sinh viên có thể rút ra từ việc đọc cuốn sách này là tìm kiếm một ý nghĩa vật lý trong toán học là rất có ích.

***Sự chặt chẽ của toán học.*** Lập luận vật lý của chúng ta sẽ không hoàn toàn chặt chẽ. Những lập luận này chỉ là phác thảo của những chứng minh chặt chẽ, được diễn đạt bằng ngôn ngữ vật lý. Tôi có chuyển ngữ “chứng minh” vật lý thành chứng minh toán học cho một vài bài toán chọn lọc. Làm việc này một cách có hệ thống sẽ biến quyển sách thành một pho sách “to, dày và chán ngắt”. Tôi hy vọng người đọc sẽ nhận ra hình mẫu để nếu có hứng thú sẽ có khả năng tự xử lý những trường hợp mà tôi đã bỏ qua. Với lời trần tình này, tôi cảm thấy bớt áy náy trong việc sử dụng từ “chứng minh” xuyên suốt cuốn sách mà bỏ qua dấu ngoặc kép.

Điểm chốt ở đây là lập luận vật lý trở thành công cụ để khám phá và để có một trực quan sâu sắc – hai bước đi trước tính chặt chẽ của toán học. Như Archimedes đã viết, “Đương nhiên việc thiết lập một chứng minh sẽ dễ dàng hơn nhiều nếu trước đó đã có người nắm được khái niệm sơ khởi của bài toán”. ([ARC], tr. 8)

***Một cách tiếp cận rõ ràng.*** Thay vì phiên dịch “chứng minh” vật lý thành chứng minh chặt chẽ, việc thiết lập có hệ thống “các tiên đề thực chất” có lẽ sẽ là một dự án thú vị. Đây sẽ là một tập hợp các tiên đề thực chất của cơ học, tương tự như các tiên đề hình học/số học của Euclid – mà trong

đó các chứng minh được cho ở trong cuốn sách này trở nên chặt chẽ.

Ta thể tưởng tượng một nền văn minh ngoài trái đất mà ở đó người ta phát triển cơ học trước, như một bộ môn chặt chẽ và thuần túy mang tính tiên đề. Trong thế giới song hành này, một người nào đó ắt đã viết một cuốn sách về việc sử dụng hình học để chứng minh các định lý cơ học.

Có thể bài học ở đây là con người không nên hoàn toàn tập trung vào cách tiếp cận này hay cách tiếp cận kia, mà nên coi đó như hai mặt của một đồng xu. Cuốn sách này là một phản ứng chống lại sự thờ ơ khá phổ biến đối với khía cạnh vật lý của toán học.

**Sơ lược về tâm lý học.** Những cách giải vật lý trong cuốn sách này có thể được diễn dịch ra ngôn ngữ toán học. Tuy vậy, không thể tránh khỏi thiếu sót trong quá trình diễn dịch. Trực giác cơ học là một thuộc tính cơ bản của trí tuệ con người, cũng cơ bản như khả năng tưởng tượng hình học, không sử dụng chúng là lãng phí một năng lực mạnh mẽ mà ta có. Cơ học là hình học với điểm nhấn vào chuyển động và tiếp xúc. Ở hai khía cạnh sau, cơ học cho ta một chiều kích cảm nhận bổ sung, cho phép ta quan sát toán học từ một góc độ khác, như được miêu tả trong cuốn sách này.

**Quy luật tiến hóa đáng buồn vẫn đang tồn tại.** Khả năng lập luận bằng vật lý đã là khởi nguồn cho những phát kiến toán học nền tảng, từ Archimedes, đến Riemann, đến Poincaré, và đến tận hôm nay. Tuy vậy, khi một chủ thể phát triển, khả năng lý giải tự nghiệm bị chìm vào quên lãng. Kết quả

là sinh viên thường không có được nền tảng trực quan của các môn học mà họ theo đuổi.

***Đối tượng của cuốn sách.*** Nếu bạn có hứng thú với toán học và vật lý, tôi hy vọng bạn sẽ không quăng cuốn sách này đi.

Cuốn sách này có thể thú vị với những ai xem những điều sau đây là kỳ thú:

- Định lý Pythagoras có thể được giải thích bằng định luật bảo toàn năng lượng.
- Đóng mở công tắc trong một mạch điện đơn giản chứng minh được bất đẳng thức  $\sqrt{ab} \leq \frac{1}{2}(a+b)$ .
- Một số bài toán giải tích\* phức tạp có thể được giải quyết dễ dàng mà không cần một phép tính nào.
- Khảo sát chuyển động của bánh xe đạp để chứng minh được công thức Gauss-Bonnet (giả định là không đòi hỏi người đọc có sự am tường đề tài này; tất cả hiểu biết cơ bản đều được cung cấp).
- Cả công thức tích phân Riemann lẫn định lý ánh xạ Riemann (đều được giải thích ở các mục thích hợp) đều hiện rõ mồn một bằng cách quan sát chuyển động của lưu chất.

Cuốn sách này sẽ lôi cuốn bất cứ ai muốn tìm hiểu về hình học hay cơ học hoặc những ai không tìm thấy hứng thú với toán học bởi vì họ cho rằng nó quá khô khan hay nhàm chán.

---

\* Nguyên văn: calculus vừa có nghĩa là giải tích, vừa có nghĩa là phép tính – N.D.

**Sử dụng trong khóa học.** Ngoài việc là món ăn tinh thần bổ dưỡng, cuốn sách còn có thể được dùng như một tài liệu bổ sung trong các khóa học về giải tích, hình học và bồi dưỡng giáo viên. Giáo sư toán và vật lý có thể tìm thấy một vài bài toán và nhận xét có ích cho công tác giảng dạy của họ.

**Kiến thức nền tảng cần có.** Phần lớn cuốn sách (các chương 2 đến chương 5) chỉ đòi hỏi giải tích và hình học sơ cấp với độ khó được giữ ổn định suốt các chương này, với một vài đột biến ngoại lệ. Chương 6 và 7 chỉ yêu cầu người đọc biết sơ qua đạo hàm và tích phân. Cuối chương 7 tôi có đề cập suất tiêu tán, nhưng không đòi hỏi những hiểu biết sâu sắc. Chương này bất cứ ai đã làm quen với giải tích sơ cấp cũng có thể tiếp cận được.

Phần thứ hai (các chương 6 đến chương 11) có dùng (dù hiếm khi) một vài khái niệm về giải tích đa biến, nhưng tôi tránh dùng nhiều thuật ngữ, hy vọng rằng trực giác sẽ giúp bạn đọc vượt qua được các rào cản kỹ thuật.

Tất cả mọi điều một người cần biết về vật lý được mô tả trong phụ lục; nó được trình bày để phục vụ những người thiếu kiến thức nền tảng.

Ta có thể đọc sách từng phần một hay từng bài toán một; nếu bị mắc kẹt, bạn chỉ cần lật sang trang khác để có thêm hứng thú. Có ngoại lệ cho cấu trúc mỗi chủ đề một trang này, chủ yếu xuất hiện ở những chương cuối.

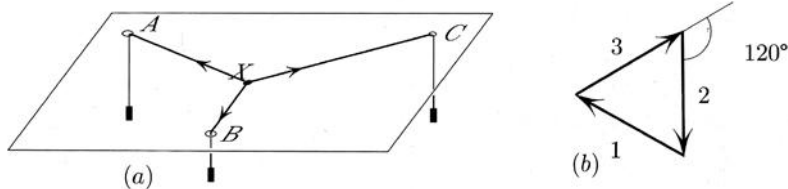
**Nguồn tài liệu.** Theo như tôi biết khá nhiều, tuy không phải toàn bộ, các lời giải trong sách này là mới. Chúng bao gồm lời giải cho các bài toán 2.6, 2.9, 2.10, 2.11, 2.13, 3.3, 3.7, 3.8, 3.9, 3.10, 3.11, 3.12, 3.17, 3.18, 3.19, 3.20, 3.21, 5.2, 5.3,

6.1, 6.2, 6.3, 6.4, 6.5, 7.1 và 7.2. Các mô phỏng ở chương 8 và ở các mục 9.3, 9.8 và 11.8 cũng có thể là mới.

Không có nhiều tài liệu liên quan đến chủ đề của cuốn sách này. Khi tôi còn học phổ thông, một ví dụ tìm thấy trong cuốn sách của Uspenski đã gây ấn tượng cho tôi đến nỗi chủ đề này đã trở thành niềm đam mê\*. Thêm nhiều bài tập ở dạng đây có thể tìm thấy trong cuốn sách nhỏ của Kogan [K], của Balk và Boltyanskii [BB], và trong chương 9 là của cuốn sách của Polga [P]. Nguồn gốc của những bài toán này cũng như lời giải của nó là công trình có từ 24 thế kỷ trước của Archimedes [ARC].

### 1.3 Một ví dụ cách giải vật lý so với cách giải toán học

**Bài toán.** Cho ba điểm A, B, C trên mặt phẳng, tìm điểm X sao cho tổng các khoảng cách  $XA + XB + XC$  là nhỏ nhất.



Hình 1.1. Nếu tổng khoảng cách  $XA + XB + XC$  là nhỏ nhất thì các góc tại X là  $120^\circ$ .

---

\* Đây là ví dụ đầu tiên của cuốn sách này. Ở mục 2.2, bài báo của Tokieda [TO] cùng với ví dụ này là vài ví dụ bổ sung rất tốt.

**Cách tiếp cận vật lý.** Ta bắt đầu bằng việc khoan ba lỗ tại A, B, C trên mặt bàn (có thể coi đây là một thí nghiệm giả tưởng hoặc nó được thực hiện ở nhà một người bạn với mục đích tiết kiệm chi phí). Sau khi cột ba sợi dây lại với nhau, gọi đó là điểm chung X, tôi luôn từng sợi một xuyên qua mỗi lỗ khác nhau và treo vào các quả nặng phía dưới bàn, như hình 1.1. Giả sử trọng lượng của mỗi quả nặng bằng 1; thế năng của sợi dây thứ nhất khi đó là  $AX$ : thực vậy, để kéo X từ lỗ A tới vị trí hiện tại của X ta phải nâng quả nặng đơn vị lên một khoảng  $XA$ . Ta đã gán tổng khoảng cách  $XA + XB + XC$  một ý nghĩa vật lý là thế năng. Bây giờ, nếu khoảng cách/năng lượng này là cực tiểu, hệ sẽ ở trạng thái cân bằng. Khi đó, bộ ba lực căng dây tác dụng lên X cộng lại sẽ bằng không và do đó chúng hợp thành một tam giác (thay vì là chỉ hướng rời rạc) nếu được đặt gốc-nối-ngọn, như cho thấy trong hình 1.1(b). Tam giác này là tam giác đều bởi các quả nặng là như nhau, và do đó góc nằm giữa hướng chỉ dương của các véc tơ này là  $120^\circ$ . Ta đã chỉ ra rằng  $\angle AXB = \angle BXC = \angle CXA = 120^\circ$ .\*

**Lời giải toán học.** Coi **a, b, c** và **x**, lần lượt là ký hiệu của các véc tơ vị trí của các điểm A, B, C và X. Ta phải tối thiểu hóa tổng của các độ dài  $S(\mathbf{x}) = |\mathbf{x} - \mathbf{a}| + |\mathbf{x} - \mathbf{b}| + |\mathbf{x} - \mathbf{c}|$ \*\*.

Để có điều đó, ta cho các đạo hàm riêng phần của S bằng không:  $\frac{\partial S}{\partial x} = \frac{\partial S}{\partial y} = 0$ , trong đó  $\mathbf{x} = (x, y)$ , hay diễn giải cũng

---

\*  $\angle$  là ký hiệu của góc; người dịch giữ nguyên ký hiệu của nguyên bản

\*\* Có sự nhầm lẫn trong bản in nguyên tác, theo đó tổng  $S(\mathbf{x}) = |\mathbf{x} - \mathbf{a}| + |\mathbf{x} - \mathbf{a}| + |\mathbf{x} - \mathbf{a}|$ . Người dịch sửa lại cho phù hợp với tổng thể bài toán. – N.D.

điều kiện trên một cách gọn gàng và hình ảnh hơn, ta cho gradient  $\nabla S = \left\langle \frac{\partial S}{\partial x}, \frac{\partial S}{\partial y} \right\rangle = 0$ . Bây giờ ta tính  $\nabla S$ .

Ta có:

$$\frac{\partial}{\partial x} |\mathbf{x} - \mathbf{a}| = \frac{\partial}{\partial x} \sqrt{(x - a_1)^2 + (y - a_2)^2} = (x - a_1) / \sqrt{(x - a_1)^2 + (y - a_2)^2}$$

và một cách tương tự:

$$\frac{\partial}{\partial y} |\mathbf{x} - \mathbf{a}| = (y - a_2) / \sqrt{(x - a_1)^2 + (y - a_2)^2}.$$

Theo đó,  $\nabla |\mathbf{x} - \mathbf{a}| = (\mathbf{x} - \mathbf{a}) / |\mathbf{x} - \mathbf{a}|$  là một véc tơ đơn vị, hướng chỉ từ  $A$  đến  $X$ . Ta sẽ ký hiệu véc tơ này là  $\mathbf{e}_a$ . Kết quả này nhận được từ một phép tính rõ ràng nhưng ý nghĩa vật lý của nó mượn từ cách tiếp cận vật lý, đơn giản là lực mà  $X$  kéo căng dây. Lấy đạo hàm hai số hạng  $|\mathbf{x} - \mathbf{b}|$  và  $|\mathbf{x} - \mathbf{c}|$  còn lại trong tổng  $S$  ta thu được  $\nabla S = \mathbf{e}_a + \mathbf{e}_b + \mathbf{e}_c$ , trong đó  $\mathbf{e}_b$  và  $\mathbf{e}_c$  được định nghĩa tương tự như  $\mathbf{e}_a$ . Ta kết luận rằng vị trí tối ưu của  $X$  tương ứng  $\nabla S = \mathbf{e}_a + \mathbf{e}_b + \mathbf{e}_c = \mathbf{0}$ . Theo đó các véc tơ đơn vị  $\mathbf{e}_a, \mathbf{e}_b, \mathbf{e}_c$  tạo thành một tam giác đều, và góc ngoài bất kỳ của tam giác đó chính là góc nằm giữa cặp véc tơ đơn vị bất kỳ, bằng  $120^\circ$ .

Thật lý thú khi quan sát thấy cái khó khăn thay hình đổi dạng khi ta chuyển từ cách tiếp cận này sang cách khác. Trong lời giải toán học, công việc tập trung vào thực hiện một số thao tác dạng thức. Trong lời giải vật lý, công việc tập trung vào tạo ra một mô hình vật lý phù hợp. Cách tiếp cận này là mẫu mực cho nhiều bài toán khác trong cuốn sách.

## ***Ưu điểm tương đối của hai phương cách tiếp cận.***

### **Tiếp cận vật lý**

Ít hoặc không cần tính toán

Câu trả lời thường có tính khái niệm

Có thể dẫn tới những khám phá mới

Đòi hỏi hiểu biết cơ bản

ít hơn

Có thể hiểu được đối với các sinh viên giải tích sơ cấp

### **Tiếp cận toán học**

Khả năng áp dụng tổng quát

Chặt chẽ

Cách tiếp cận vật lý phù hợp với một số chủ đề nhất định. Chủ đề biến phức là một ví dụ minh chứng cho hiệu quả của cách tiếp cận vật lý. Một vài chủ đề có tính nền tảng như định lý Cauchy-Goursat, công thức tích phân Cauchy, và định lý ánh xạ Riemann có thể được cảm nhận một cách rất trực quan chỉ với một số hiểu biết tối thiểu về vật lý. Minh họa cho phần này là công thức Euler:

$$1 + \frac{1}{4} + \frac{1}{9} + \dots + \frac{1}{n^2} + \dots = \frac{\pi^2}{6}$$

Có một mô phỏng lý thú như sau: một lưu chất không nén được được bơm vào tâm mặt phẳng với vận tốc đều vào là  $\frac{\pi^2}{6}$  gallon/s, lưu chất này được hấp thụ hoàn toàn bởi những giếng hút đặt ở các điểm số nguyên (xem mục 11.8 về biến phức). Rất nhiều ví dụ như vậy có thể được tìm thấy trong các lĩnh vực khác của toán học, và tôi hy vọng chúng sẽ được viết ra nhiều hơn trong tương lai.



## 1.4 Lời cảm ơn

Cuốn sách này hẳn đã không ra đời nếu không nhờ điều cha tôi đã nói khi tôi mười sáu. Tôi cho ông xem một nghịch lý vật lý xảy đến với tôi, và ông nói: “Tại sao con không viết nó ra và khởi đầu một bộ sưu tập?”. Cuốn sách này chính là phần được trích dẫn từ bộ sưu tập đó, với một vài thêm thắt.

Rất nhiều bạn bè và đồng nghiệp của tôi đã đóng góp cho cuốn sách bằng những gợi ý và lời khuyên. Tôi đặc biệt cảm ơn Andrew Balcombe, Alain Chenciner, Charles Conley, Phil Holmes, Nancy Kopell, Paul Nahin, Sergei Tabachnikov, và Tadashi Tokieda, nhờ vào sự khích lệ của họ mà bộ sưu tập đã được đẽo gọt thành một dạng chín chu. Bản thân tôi đặc biệt biết ơn Andy Ruina, người đã đọc bản thảo rất nhiều lần và có nhiều gợi ý lẫn chỉnh sửa. Tôi biết ơn Anna Pierrehumbert bởi vô số gợi ý của cô đã giúp cải thiện cuốn sách này, và Vickie Kearn vì sự cổ vũ của bà.

Tôi vô cùng cảm ơn sự hỗ trợ của Tổ chức Khoa học Quốc gia với Quyết định Tài trợ số 0605878.

# 2

## ĐỊNH LÝ PYTHAGORAS

### 2.1 Giới thiệu

Đây có vẻ là một nhận định tầm thường đến mức không đáng bàn tới: **Khối nước tĩnh trong bể chứa nằm yên, khi không bị tác động, sẽ vẫn nằm yên.** Tôi cho rằng cái đáng để lưu tâm là nó có một hệ quả thú vị là định lý Pythagoras (tr. 27). Thêm vào đó, nó còn kéo theo cả quy tắc hàm sin (tr. 29), quy luật lực đẩy nổi Archimedes, và định lý Pythagoras cho diện tích bề mặt của hình 3 chiều (tr. 30).

Chứng minh của định lý Pythagoras, mô tả ở mục 2.2, gọi ra một chứng minh động lực học của định lý Pythagoras được mô tả ở mục 2.6. Phương cách tiếp cận dựa vào chuyển động làm cho một số chủ đề khác trở nên rất sáng sủa, bao gồm:

- Định lý cơ bản của giải tích.
- Công thức tính toán nhanh cho định thức.
- Khai triển định thức theo dòng.

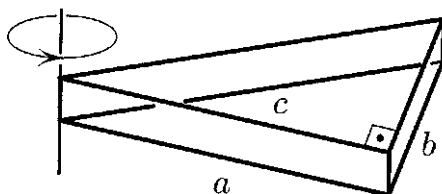
Tất cả những điều trên sẽ được mô tả trong chương này.

Vài chứng minh khác mang nhiều tính vật lý hơn chứng minh định lý Pythagoras cũng được nêu ở đây, một chứng minh sử dụng năng lượng đàn hồi, những chứng minh còn lại sử dụng động lượng.

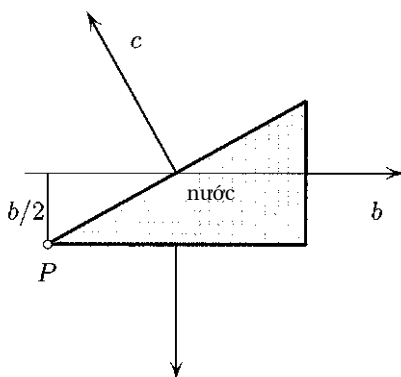
Đề tài chủ đạo của chương này là định lý Pythagoras, nhưng chúng ta sẽ đi lệch ra ngoài bài toán ở một vài đoạn ngắn.

## 2.2 Chứng minh “bể cá” của định lý Pythagoras

Dựng một “bể cá” hình lăng trụ nhận tam giác vuông làm đáy (hình 2.1). Ta treo bể cá lên sao cho nó có thể xoay tự do quanh một trục thẳng đứng xuyên qua một đầu cạnh huyền. Bấy giờ đổ đầy nước vào bể cá.



Hình 2.1. Bể cá đầy nước, có thể tự do chuyển động xoay quanh một trục thẳng đứng, không hề dịch chuyển.



Hình 2.2. Định lý Pythagoras tương đương với sự tiêu biến các moment quay tổng hợp đặt lên bể cá xoay quanh điểm  $P$ .

Nước tác động lên các mặt vách theo ba hướng giằng co như hình 2.2, mỗi lực cố xoay bề nước quanh điểm  $P$  theo ý mình. Đương nhiên, chẳng có gì xảy ra cả: bề nước không hề dịch chuyển. Nếu không thì đây sẽ là một loại động cơ không cần nhiên liệu, động cơ vĩnh cửu mà luật bảo toàn năng lượng bác bỏ.

Trong trường hợp này “động lực” là tổng của ba moment quay của các lực. Ta lưu ý\* rằng moment quay của lực xung quanh điểm trục xoay  $P$  bằng với độ lớn của lực nhân với khoảng cách từ giá của lực đến điểm trục xoay. Moment quay đo cường độ lực tác dụng để làm xoay vật thể quanh điểm  $P$ .

Để cho tiện, ta coi như áp suất là 1 pound\* trên một đơn vị chiều dài vách – chúng ta luôn đạt được điều này bằng cách điều chỉnh mực nước. Ba moment quay khi đó là  $a, b$ , và  $c$ ; các cánh tay đòn tương ứng là  $a/2$  và  $b/2$ , và  $c/2$  và điều kiện moment quay bằng không sẽ trở thành:

$$a \cdot \frac{a}{2} + b \cdot \frac{b}{2} - c \cdot \frac{c}{2} = 0, \quad (2.1)$$

hay  $a^2 + b^2 = c^2$ , và ta có định lý Pythagoras!

**Khối nước tĩnh.** Lưu ý rằng chúng ta không phải dựng một cái bể nước, ngay cả trong thí nghiệm giả tưởng; đúng hơn, ta có thể tưởng tượng một khối nước hình lăng trụ chìm trong một khối nước lớn hơn. Định lý Pythagoras cũng được tuân thủ như trên bởi sự kiện rằng khối lăng trụ sẽ không đột nhiên xoay dưới áp suất của lưu chất bao quanh lên các

---

\* Xem mục A.5 cho hiểu biết cơ bản đầy đủ.

\* 1pound = 0,454 kg.

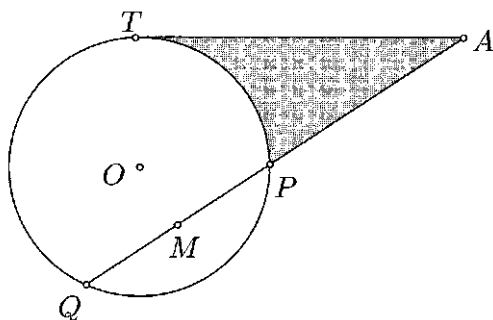
bề mặt thẳng đứng của nó. Ta kết luận định lý Pythagoras là một hệ quả của việc khối nước tĩnh luôn bất động\*\*.

**Bài tập.** Từ điểm  $A$  ngoài đường tròn vẽ tiếp tuyến  $AT$  và cát tuyến  $APQ$  như cho thấy trong hình 2.3. Chứng minh rằng:

$$AP \times AQ = AT^2 \quad (2.2)$$

Gợi ý: Xét phần tam giác cong tô đậm  $APT$  trong hình 2.3, ta liên tưởng một bình cứng bơm đầy gas và có thể xoay quanh  $O$ .

Như giải thích ở mục 2.3 trong một ngữ cảnh khác, (2.2) cho thấy vùng tô đậm giữ nguyên không đổi khi xoay quanh  $O$ . Tương tự, định lý Pythagoras cũng cho thấy rằng diện tích của tam giác vuông là không đổi khi tam giác xoay quanh một đầu cạnh huyền.



Hình 2.3. Chứng minh  $AP \times AQ = AT^2$ .

---

\* Nguyên văn: still water remains still – N.D.

## 2.3 Chuyển đổi một lý lẽ vật lý sang một chứng minh nghiêm ngặt

Điểm chốt trong chứng minh “bể nước” của định lý Pythagoras là sự triệt tiêu của tổng các moment quay tổng cộng quanh điểm  $P$  (hình 2.1). Làm thế nào chúng ta tái lập ý tưởng moment quay bằng không này trong thuật ngữ toán học thuần túy mà không cần dùng đến các khái niệm vật lý? Đây là câu trả lời.

Mệnh đề *vật lý* (2.1) về tổng moment quay bằng không quanh  $P$  có thể diễn dịch sang mệnh đề *hình học*: diện tích của tam giác không đổi khi nó xoay quanh  $P^*$ . Sau đây là chứng minh cho sự tương đồng ấy.

Gọi  $A(\theta)$  là diện tích của tam giác xoay quanh  $P$  một góc  $\theta$ . Cố nhiên, diện tích là độc lập với  $\theta$ :

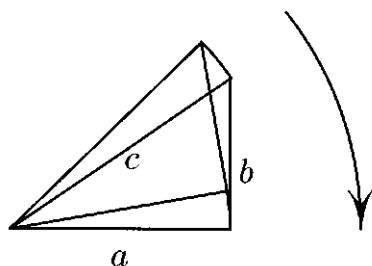
$$A'(\theta) = 0$$

và ta khẳng định rằng chính sự bất biến của diện tích này là tương đương với điều kiện moment quay bằng không (2.1). Để có sự tương đương này ta chỉ cần chỉ ra rằng:

$$A'(\theta) = a \cdot \frac{a}{2} + b \cdot \frac{b}{2} + c \cdot \frac{c}{2} \quad (2.3)$$

---

\* Đây là một ví dụ về bài toán có vẻ tầm thường (diện tích của tam giác không đổi qua phép xoay) nhưng ẩn chứa một điều không hề tầm thường (định lý Pythagoras.)



Hình 2.4. Phần diện tích quét bởi hai cạnh góc vuông bằng với phần diện tích quét bởi cạnh huyền.

Để chứng minh (2.3) ta xoay tam giác một góc nhỏ  $\Delta\theta$  quanh  $P$ . Cạnh  $a$  quét ngang một vùng hình quạt diện tích  $\frac{1}{2}a^2\Delta\theta$ , tương tự cho cạnh  $c$ . Thực tế, diện tích được quét bởi  $b$  cũng theo biểu thức như trên:  $\frac{1}{2}b^2\Delta\theta$ . Thực vậy,  $b$  thực hiện hai chuyển động đồng thời: (i) trượt theo phương riêng nó, không ảnh hưởng đến vận tốc quét thành diện tích, và (ii) xoay quanh điểm đầu của nó. Ta kết luận rằng diện tích quét là  $\frac{1}{2}b^2\Delta\theta$ . Tổng diện tích quét bởi cả ba cạnh là:

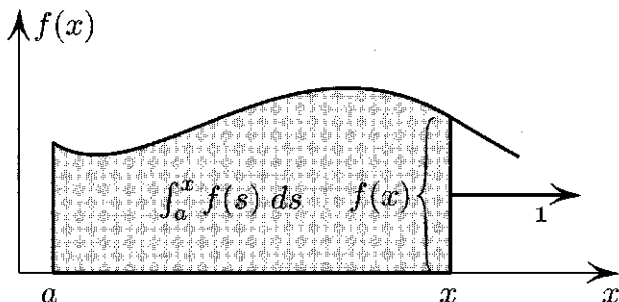
$$\Delta A = \left( \frac{1}{2}a^2 + \frac{1}{2}b^2 - \frac{1}{2}c^2 \right) \Delta\theta.$$

Ký hiệu trừ ở đây là dựa vào dữ kiện diện tích bị “mất” do cạnh huyền. Chia cho  $\Delta\theta$  và lấy giới hạn khi  $\Delta\theta \rightarrow 0$  ta thu được (2.3).

Sau đây là một vài ứng dụng của ý tưởng quét:

- Một chứng minh “hình vành khuyên” của định lý Pythagoras được mô tả ở mục 2.6.
- Một nhận xét về diện tích giữa hai vệt bánh của xe đạp (mục 6.1).

- Một chứng minh bằng hình vẽ của việc định thức  $\begin{vmatrix} a & b \\ c & d \end{vmatrix} = ad - bc$  bằng diện tích hình bình hành được tạo nên bởi các véc tơ  $\langle a, c \rangle$  và  $\langle b, d \rangle$  (mục 2.5).
- Một chứng minh bằng hình vẽ của công thức phân rã theo dòng của định thức (mục 2.5).



Hình 2.5. Định lý cơ bản của giải tích: diện tích thay đổi ở vận tốc tương ứng với độ cao  $f(x)$  của biên di động nhân cho vận tốc của nó.

## 2.4 Định lý cơ bản của giải tích

Ý tưởng xem xét diện tích của vùng được quét bởi một đoạn ngắn chuyển động là rất có hiệu quả. Định lý cơ bản của giải tích:

$$\frac{d}{dx} \int_a^x f(s) ds = f(x)$$

là một ví dụ; định lý nói rằng *một đoạn ngắn di chuyển ở vận tốc đơn vị theo hướng vuông góc với chính nó, sẽ quét một vùng có diện tích biến đổi ở vận tốc bằng với độ cao của đoạn ngắn ( $f(x)$ ) nhân vận tốc của nó (1).*

Ý tưởng tương tự áp dụng cho phép tích phân với cả hai



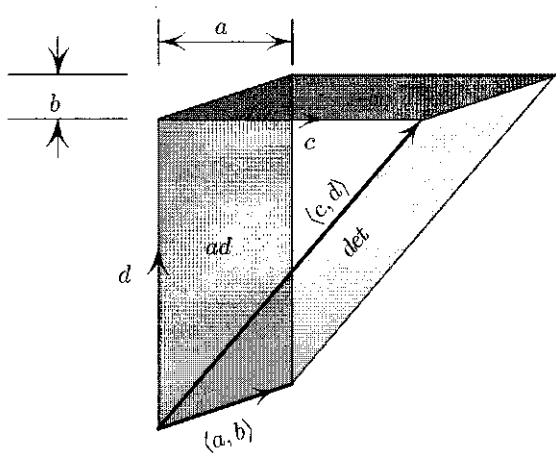
cận biến thiên, thậm chí với hàm hợp. Ví dụ, ta có thể nhận thấy ngay tức thì:

$$\frac{d}{dt} \int_{g(t)}^b f(s) ds = -f(g(t))g'(t)$$

bằng cách lặp lại câu in nghiêng ở trên: vận tốc thay đổi diện tích bằng với tích số của độ dài  $f(g(t))$  của biên di động với vận tốc của nó  $-g'(t)$ . Dấu trừ là do biên chuyển động hướng vào trong: chiều dương quy ước hướng ra ngoài.

Ta còn có thể cho cận trên biến thiên theo thời gian, chứng minh công thức này sẽ là một bài tập:

$$\frac{d}{dt} \int_{g(t)}^{h(t)} f(s) ds = f(h(t))h'(t) - f(g(t))g'(t)$$



Hình 2.6. Đoạn thẳng di chuyển trong khi vẫn song song với phương ban đầu. Vùng diện tích được quét không phụ thuộc vào đường đi của đoạn thẳng.

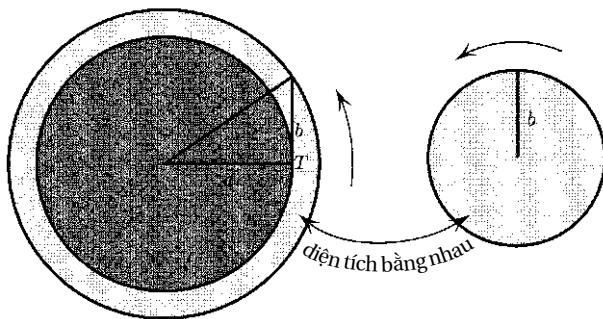
## 2.5 Định thức cho bởi phép quét

Theo định nghĩa, định thức  $\begin{vmatrix} a & b \\ c & d \end{vmatrix}$  là vùng diện tích của hình bình hành tạo ra bởi các véc tơ  $\langle a, b \rangle$  và  $\langle c, d \rangle$ . Định nghĩa này dẫn tới một công thức tính nhanh\*, cho giá trị  $ad - bc$ . Sau đây là một giải thích động học của công thức này của Nana Wang, sử dụng một lần nữa ý tưởng hiệu quả của phép quét.

Diện tích đang nói đến được quét bởi véc tơ  $\langle a, b \rangle$  khi nó di chuyển dọc theo véc tơ còn lại  $\langle c, d \rangle$ . Thay vì vậy, ta hãy chuyển  $\langle a, b \rangle$  thành hai chuyển động đơn giản hơn, như cho thấy trong hình 2.6. Diện tích quét trong quá trình chuyển động đầu tiên là  $ad$ , và trong quá trình chuyển động thứ hai là  $-bc$ ; dấu trừ là do đoạn thẳng di chuyển “ra sau”. Diện tích tổng cộng được quét là  $ad - bc$ . Vẫn có thể nhận xét được rằng vùng diện tích quét không phụ thuộc vào đường đi của véc tơ chuyển động  $\langle a, b \rangle$ , chừng nào nó còn chuyển động song song với chính nó. Thực vậy, vận tốc thay đổi của diện tích quét thành bằng với độ dài của đoạn thẳng nhân vận tốc theo phương vuông góc. Vì thế, chuyển dịch cụ thể như thế nào thực ra không quan trọng.

---

\* Rất nhiều người (bao gồm cả tác giả) không may đã được dạy dạng sau của công thức như định nghĩa, chứ không phải ý nghĩa hình học của nó.



Hình 2.7. Chứng minh về định lý Pythagoras cho bởi phép quét.

**Bài toán.** Đưa ra một lời giải thích của “phép quét” tương tự cho công thức khai triển định thức trong một dòng:

$$\begin{vmatrix} a_{11} & a_{12} & a_{13} \\ a_{21} & a_{22} & a_{23} \\ a_{31} & a_{32} & a_{33} \end{vmatrix} = a_{11} \begin{vmatrix} a_{22} & a_{23} \\ a_{32} & a_{33} \end{vmatrix} - a_{12} \begin{vmatrix} a_{21} & a_{23} \\ a_{31} & a_{33} \end{vmatrix} + a_{13} \begin{vmatrix} a_{21} & a_{22} \\ a_{31} & a_{32} \end{vmatrix}$$

Gợi ý: Di chuyển hình bình hành  $\Pi$  tạo thành bởi hai dòng véc tơ cuối theo hướng trục  $x$  với  $a_{11}$ , sau đó theo trục  $y$  với  $a_{12}$ , và cuối cùng là theo hướng trục  $z$  với  $a_{13}$ . So sánh lượng quét này với lượng quét bởi  $\pi$  dưới sự tịnh tiến “chéo” bởi véc tơ  $(a_{11}, a_{12}, a_{13})$ .

## 2.6 Định lý Pythagoras có được nhờ phép quay

Hình 2.7 cho thấy một tam giác vuông thực hiện trọn một vòng quay quanh một đầu cạnh huyền của nó. Cạnh huyền và cạnh góc vuông liền kề với trục xoay quét ra những hình đĩa, trong khi cạnh góc vuông còn lại quét ra một hình vành khuyên.

Ta có:

$$\pi a^2 + (\text{diện tích của hình vành khuyên}) = \pi c^2.$$

Định lý Pythagoras góp phần vào việc chỉ ra rằng diện tích của hình vành khuyên là  $\pi b^2$ . Làm thế nào để ta chứng minh điều này một cách trực tiếp mà không cần dùng đến định lý?

Sau đây là một lý giải tự nghiệm. Hình vành khuyên được quét thành bởi một đoạn thẳng chuyển động có độ dài  $b$  khi đoạn thẳng này thực hiện đồng thời hai chuyển động: trượt (theo phương của đoạn thẳng) và xoay vòng quanh điểm mút  $T$  của nó. Quan sát cho thấy: *chuyển động trượt không ảnh hưởng đến vận tốc quét diện tích tạo thành*. Nói cách khác, bằng cách bỏ qua vận tốc trượt, và theo đó cho đoạn thẳng xoay tại chỗ xung quanh điểm mút của nó, ta không làm ảnh hưởng vận tốc đoạn thẳng quét ra vùng diện tích. Điều này giải thích vì sao diện tích hình vành khuyên bằng với diện tích của đĩa trong hình 2.7.

## 2.7 Nước càng sâu càng tĩnh\*

Một phát biểu tưởng chừng hơi hợt có thể có những hệ quả sâu sắc. Đây là một ví dụ cho phát biểu đó: “Trừ khi có những tác động từ bên ngoài, khối nước tĩnh trong bể chứa sẽ giữ nguyên trạng thái tĩnh”\*\*. Thực ra, phát biểu hiển nhiên này kéo theo các điều kém hiển nhiên sau:

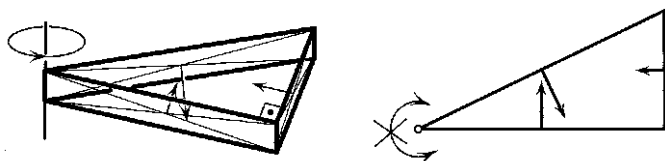
---

\* Nguyên văn: Still waters run deep (nghĩa bóng của nó là "Người thâm trầm thường sâu sắc").

\*\* Đây lại là một trường hợp đặc biệt của định luật bảo toàn năng lượng, phát biểu rằng năng lượng không thể được tạo ra. Càng phổ quát chừng nào, mệnh đề càng có vẻ đơn giản chừng ấy.

1. Định lý Pythagoras
2. Lực đẩy Archimedes
3. Định lý hàm sin

Trường hợp đầu tiên đã được giải thích một cách cơ bản bằng lập luận “bể cá” vừa rồi; thay vì bể cá ta có thể tưởng tượng ra một khối lặn trụ nước treo vào một khối nước tĩnh lớn hơn, như trong hình 2.8. Một khi khối lặn trụ ở trạng thái cân bằng, tổng moment quay (xung quanh cạnh thẳng đứng bất kỳ) của các áp suất bên trong lên các bề mặt thẳng đứng là bằng không. Điều kiện moment quay bằng không này là tương tự như (2.1), như một dấu hiệu, giống như định lý Pythagoras.



Hình 2.8. Tổng moment quay trên khối nước lặn trụ giả tưởng là bằng không.

**Định luật Archimedes.** Điều này có thể được chứng minh dễ dàng như sau. Định luật phát biểu rằng: *lực đẩy tác dụng vào một vật chìm (như viên đá) bằng với trọng lượng nước bị vật chiếm chỗ.*

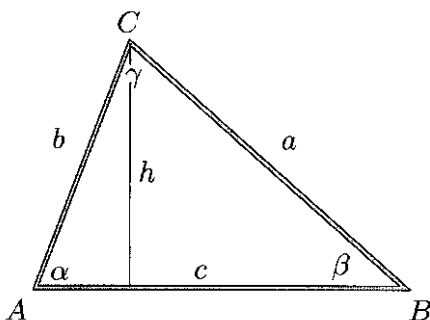
**Chứng minh.** Hình dung thay viên đá chìm bằng một khối nước có hình dạng giống hệt. Khối nước này sẽ lơ lửng ở trạng thái cân bằng, như đề cập ở trên. Lực đẩy nổi tác dụng lên khối nước do đó bằng với trọng lượng của khối nước. Nhưng viên đá cũng “cảm nhận” lực đẩy nổi giống vậy bởi nó có cùng hình dạng như khối nước.

**Định lý hàm sin.** Định lý này phát biểu rằng trong tam giác bất kỳ, độ dài của mỗi cạnh tỉ lệ với hàm sin của góc đối diện:

$$\frac{a}{\sin \alpha} = \frac{b}{\sin \beta} = \frac{c}{\sin \gamma}.$$

**Chứng minh.** Để chứng minh định lý ta dùng cách sử dụng thủy tĩnh, tưởng tượng một ống mỏng dài vô hạn có dạng  $\triangle ABC$ , đổ đầy nước, được đặt trên một mặt phẳng thẳng đứng (hình 2.9). Hoặc ta có thể chỉ tưởng tượng một ống nước hình tam giác được tách riêng ra khỏi khối nước bao quanh.

Ta hãy đặt cạnh  $AB$  nằm ngang; áp suất tại  $A$  và  $B$  khi đó là bằng nhau, và  $p_A - p_C = p_B - p_C$ . Nhưng chênh lệch áp suất tỉ lệ thuận với chênh lệch độ sâu:  $p_A - p_C = kb \sin \alpha$  và  $p_B - p_C = ka \sin \beta$  trong đó  $k$  là hệ số tỉ lệ. Ta kết luận rằng  $b \sin \alpha = a \sin \beta$ . Một lập luận tương tự chỉ ra rằng  $c \sin \beta = b \sin \gamma$ . Suy ra định lý hàm sin.



Hình 2.9. Ống nước mỏng hình tam giác sử dụng trong chứng minh của định lý hàm sin.

## 2.8 Định lý Pythagoras ba chiều

**Định lý.** *Đối với một tứ diện được giới hạn bởi ba mặt phẳng trực giao và một mặt phẳng thứ tư không song song với bất kỳ mặt phẳng nào trong số ba mặt phẳng kể trên, ta có:*

$$a^2 + b^2 + c^2 = d^2, \quad (2.4)$$

trong đó  $a$ ,  $b$ , và  $c$  là các diện tích bề mặt của ba mặt trực giao, và  $d$  là diện tích của mặt còn lại.

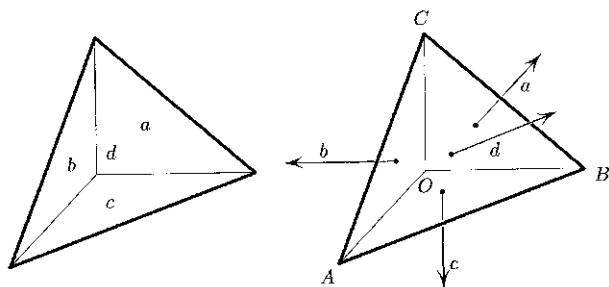
**Một chứng minh vật lý.** Bơm khí nén vào tứ diện. Tổng tất cả áp lực bên trong tác dụng lên hình chóp bằng không:

$$\mathbf{F}_a + \mathbf{F}_b + \mathbf{F}_c = -\mathbf{F}_d, \quad (2.5)$$

nếu không thì bề chứa của chúng ta sẽ tăng tốc bất thành linh theo hướng của hợp lực, đem lại một nguồn năng lượng tự do dẫn đến mâu thuẫn với định luật bảo toàn năng lượng – định luật được đảm bảo tuân thủ 100% với kiến thức của chúng ta cho tới giờ.

Bởi  $(\mathbf{F}_a + \mathbf{F}_b) \perp \mathbf{F}_c$ , định lý Pythagoras cho:

$$|\mathbf{F}_a + \mathbf{F}_b|^2 + |\mathbf{F}_c|^2 = |\mathbf{F}_d|^2.$$



Hình 2.10. Phiên bản ba chiều của định lý Pythagoras: diện tích thỏa mãn (2.4).

Tương tự:

$$|\mathbf{F}_a + \mathbf{F}_b|^2 = |\mathbf{F}_a|^2 + |\mathbf{F}_b|^2.$$

Ta kết luận:

$$|\mathbf{F}_a|^2 + |\mathbf{F}_b|^2 + |\mathbf{F}_c|^2 = |\mathbf{F}_d|^2. \quad (2.6)$$

Bấy giờ  $|\mathbf{F}_a| = \text{áp lực} \times \text{diện tích} = pa$ ; tương tự,  $|\mathbf{F}_b| = pb$ ,  $|\mathbf{F}_c| = pc$ , và  $|\mathbf{F}_d| = pd$ . Thế vào (2.6) và triệt tiêu  $p^2$  ta được (2.4).

Tóm lại: Định lý diện tích (2.4) góp phần vào phát biểu rằng bể chứa bị nén có dạng được thể hiện ở hình 2.10 không tạo ra thúc đẩy đột ngột gây chuyển động nào! Một nhận xét vật lý đơn giản đem lại một định lý toán học gọn gàng.

**“Dọn dẹp” toán học.** Người hoài nghi có thể phản nản về sự thiếu chặt chẽ toán học trong cách đặt được (2.5). Thực thế, ta đã viện đến định luật bảo toàn năng lượng mà không phát biểu nó một cách cụ thể trong ngôn ngữ toán học. Để đáp lại, ta để ý (2.5) *tương đương với sự bất biến thể tích của hình chóp qua phép tịnh tiến.*

Thực vậy, (2.5) tương đương với phát biểu rằng với véc tơ  $\mathbf{r}$  bất kỳ:

$$\mathbf{F}_a \cdot \mathbf{r} + \mathbf{F}_b \cdot \mathbf{r} + \mathbf{F}_c \cdot \mathbf{r} = -\mathbf{F}_d \cdot \mathbf{r}.$$

Nhưng số hạng  $\mathbf{F}_a \cdot \mathbf{r}$  cho ta thể tích quét thành do mặt  $OBC$  khi nó bị tịnh tiến theo véc tơ  $\mathbf{r}$ , lập luận tương tự cho các mặt còn lại. Nói một cách ngắn gọn, phương trình sau cùng diễn tả dữ kiện rằng khi hình chóp bị tịnh tiến theo véc tơ  $\mathbf{r}$ , thể tích tích tụ được nhờ các mặt  $a, b, c$  bằng với thể tích mất đi qua mặt  $d$ .



Nhìn theo một cách khác, gọi  $V = V(\mathbf{r}) = V(x, y, z)$  là thể tích của hình chóp bị tịnh tiến theo  $\mathbf{r} = \langle x, y, z \rangle$ . Dĩ nhiên,  $V$  độc lập với  $\mathbf{r}$ , nghĩa là, những đạo hàm riêng phần theo từng biến trong bộ ba lần lượt triệt tiêu:

$$\langle V_x, V_y, V_z \rangle \equiv \nabla V(\mathbf{r}) = \mathbf{0}.$$

Một cách vật lý học, véc tơ gradient  $\nabla V(\mathbf{r})$  – véc tơ của các đạo hàm riêng – là hợp lực của áp suất bên trong của khí tại áp suất  $p = 1$  lên các vách bể chứa.

## 2.9 Cân bằng bất ngờ

Tại sao định lý Pythagoras có quá nhiều chứng minh khác nhau vậy? Có lẽ bởi vì nó quá cơ bản. Thậm chí khi ta tự giới hạn trong các chứng minh vật lý, hay các chứng minh được truyền cảm hứng bởi vật lý, vẫn còn một số không ít; một chứng minh như vậy đã được trình bày ở mục 2.2, còn thêm hai chứng minh khác cũng được trình bày sau. Để chuẩn bị cho một trong những chứng minh này, trước tiên ta xem xét một cơ chế đơn giản nhưng có giá trị độc lập. Trong mục tiếp theo ta sẽ sử dụng cơ chế này để chứng minh định lý Pythagoras (thêm lần nữa!)

**Bài toán\*.** Một hình vành khuyên  $C$  nhỏ trượt không ma sát trên một cung bán nguyệt rắn. Hai lò xo\*\* đàn hồi chặt

---

\* Tôi đã tình cờ nhận ra vấn đề này khi suy nghĩ về chuyển động của một vệ tinh nhân tạo lớn.

\*\* Theo định nghĩa, sức căng của một lò xo đàn hồi chặt biến đổi tỉ lệ thuận với độ dài của nó. Cụ thể, sức căng bằng không tương ứng với độ dài bằng không. Thế năng của loại lò xo như vậy là tỉ lệ với bình phương độ dài của nó (xem mục A.1).

**Chứng minh.** Hình vành khuyên ở trạng thái cân bằng khi các thành phần theo phương tiếp tuyến của tất cả lực tác dụng lên hình vành khuyên triệt tiêu lẫn nhau. Ba lực tác dụng lên hình vành khuyên: phản lực trực giao từ cung tròn và hai lực căng  $\overline{CA}$  và  $\overline{CB}$  (ta chọn hằng số Hooke's  $k = 1$ ), như thể hiện trong hình 2.11. Chỉ hai lực sau có thành phần tiếp tuyến khác không, và ta phải chỉ ra rằng hai thành phần này triệt tiêu lẫn nhau. Để được vậy ta chỉ lưu ý rằng hình chiếu của hai tia này lên  $MN$  thỏa mãn:

và, bởi  $OC \perp MN$ , những tia này có cùng hình chiếu với hai lực:

$$\overline{OA}_{MN} = \overline{CA}_{MN}, \quad \overline{OB}_{MN} = \overline{CB}_{MN}.$$

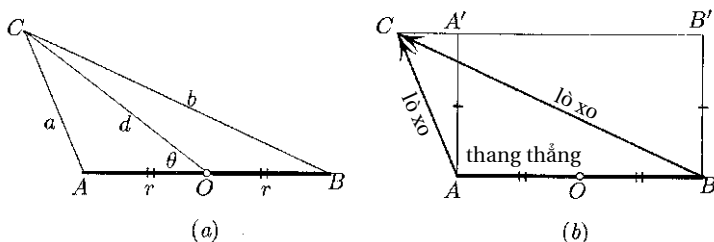
Các hình chiếu của hai lực  $CA$  và  $CB$  triệt tiêu nên hình vành khuyên là cân bằng (tại vị trí bất kỳ).

## 2.10 Chứng minh định lý Pythagoras bằng những lò xo

Chỉ cần chỉ ra rằng hình vành khuyên trong hình 2.11 ở trạng thái cân bằng, là chúng ta đã chứng minh được định lý Pythagoras. Thực vậy, một khi hình vành khuyên là cân bằng tại mọi điểm  $C$  bất kỳ trên cung tròn, nó không nhận lực, và theo đó không sinh công, để trượt từ  $C$  đến  $A$ . Điều này nghĩa là thế năng không thay đổi trong suốt quá trình trượt, cho nên năng lượng ban đầu bằng với năng lượng sau cùng:

$$\frac{k}{2}a^2 + \frac{k}{2}b^2 = \frac{k}{2}0^2 + \frac{1}{2}c^2.$$

Ta sử dụng dữ kiện rằng thế năng của một lò xo đàn hồi chặt có chiều dài  $x$  là  $\frac{k}{2}x^2$ , trong đó  $k$  là hằng số, (xem mục A.1). Ta kết luận rằng  $a^2 + b^2 = c^2$ .



Hình 2.12. (a)  $a^2 + b^2$  là độc lập với góc  $\theta$ ; (b) các moment quay cân bằng, vì các thành phần của các lực vuông góc với  $AB$  là bằng nhau và các cánh tay đòn cũng vậy.

## 2.11 Thêm một bài toán hình học với lò xo

Bài toán hình vành khuyên trên cung tròn (mục 2.9) có thể được diễn dịch lại theo cách khác cũng bất ngờ không kém, ít nhất là tôi nghĩ vậy. Thiết bị ở hình 2.12 được gọi ý từ việc trượt hình vành khuyên trên ống dây được thể hiện trong hình 2.11. Khác biệt ở hình hiện tại là ta đặt  $C$  tại một vị trí cố định trên mặt phẳng, trong khi đó đoạn  $AB$  được phép xoay quanh trung điểm  $O$  của nó. Thêm vào đó, khoảng cách từ  $C$  đến  $O$  bấy giờ là tùy ý. Hai dây lò xo đàn hồi chặt  $AC$  và  $BC$  tranh nhau xoay  $AB$  theo hai hướng đối nghịch.

**Bài toán A.** *Chúng tôi rằng trong cơ chế mô tả ở trên, thanh thẳng ở trạng thái cân bằng theo phương bất kỳ.*

**Bài toán B.** *Chúng tôi rằng với mọi  $\triangle ABC$*

$$a^2 + b^2 = 2(d^2 + r^2),$$

trong đó  $r = OA = OB$  là nửa độ dài của cạnh  $AB$  và  $d = OC$  (xem hình 2.12).

**Lời giải.** *Bài toán A.* Ta chọn hằng số Hooke  $k = l$  cho cả hai dây lò xo. Khi đó  $\overline{AC}$  và  $\overline{BC}$  là các lực tác dụng lên đầu  $A$  và  $B$  trong hình 2.12. Các moment quay\* của hai lực này quanh trục xoay  $O$  có độ lớn bằng nhau. Thực vậy, các cánh tay đòn là bằng nhau,  $OA = OB$ , cũng như hai thành phần trực giao của lực,  $AA' = BB'$ , trong hình 2.12. Các moment quay này là đối nhau, cho nên thanh thẳng cân bằng.

---

\* Hiểu biết cơ bản về moment quay xem mục A.5.

*Bài toán B.* Bỏ thanh thẳng cân bằng phẩm định\*, ta không cần tốn công để xoay thanh thẳng hướng về điểm C. Điều này có nghĩa là thế năng của thanh thẳng ở vị trí bất kỳ luôn bằng với thế năng ở vị trí đặc biệt này:

$$\frac{1}{2}a^2 + \frac{1}{2}b^2 = \frac{1}{2}(d-r)^2 + \frac{1}{2}(d+r)^2$$

hay

$$a^2 + b^2 = 2(d^2 + r^2).$$

## 2.12 Chứng minh động năng: định lý Pythagoras trên băng

Hình dung bạn đang đứng tại góc của một “sân trượt băng” hoàn toàn không ma sát (hình 2.13). Giày trượt của bạn là hoàn toàn không ma sát. Dậm chân đẩy mình rời khỏi trục  $x$ , bạn bắt đầu trượt với vận tốc  $a$  dọc theo trục  $y$ . Động năng của bạn là  $ma^2/2$ . Bấy giờ dậm chân đẩy mình rời khỏi trục  $y$ , đạt được vận tốc  $b$  theo phương  $x$ , theo đó thu được thêm động năng là  $mb^2/2$  (khi dậm chân, ma sát với trục  $y$  coi như là bằng không). Động năng của bạn sau hai cú dậm đẩy này là\*\*  $\frac{ma^2}{2} + \frac{mb^2}{2}$ . Mặt khác, vận tốc cuối cùng của bạn là cạnh huyền  $c$  của tam giác vận tốc, và động lượng của bạn được cho bằng  $\frac{mc^2}{2}$ . Theo đó:

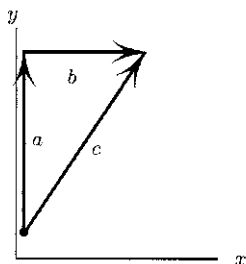
$$\frac{ma^2}{2} + \frac{mb^2}{2} = \frac{mc^2}{2},$$

---

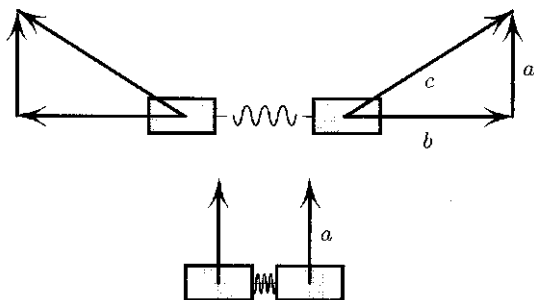
\* Ta nói rằng một cân bằng là *phẩm định* nếu trạng thái cân bằng đạt được tại mọi vị trí bất kỳ.

\*\* Động năng là một đại lượng vô hướng và cộng được với nhau theo *số học*.

hay  $a^2 + b^2 = c^2$ .



Hình 2.13. Động năng sau hai cú đâm đẩy liên tiếp:  $\frac{ma^2}{2} + \frac{mb^2}{2} = \frac{mc^2}{2}$ .



Hình 2.14. Việc cắt đứt sợi dây làm xuất hiện vận tốc theo phương ngang  $b$ . Động lượng  $mc^2$  có được thông qua hai phần tỉ lệ, trước tiên là  $ma^2$  và sau đó là  $mb^2$ .

## 2.13 Pythagoras và Einstein?

Sau đây là chứng minh “cắt đứt sợi dây” của định lý Pythagoras. Về bản chất, nó giống với chứng minh được trình bày trước đó, chỉ là viết lại theo một dạng thức khác.

Nén một dây lò xo ở giữa hai khối nặng như nhau chặt đến nỗi nếu thả ra, mỗi khối nặng sẽ văng về một bên, với cùng vận tốc  $b$ . Sau đó ta cột hai khối nặng lại với nhau

bằng một sợi dây để giữ cho lò xo luôn bị nén, như cho thấy trong hình 2.14.

Ta hãy ném cả hệ “nén chặt” đi với vận tốc  $a$  như cho thấy trong hình 2.14\*, và sau đó, một khi cả hệ đang bay, ta cắt đứt dây nối, theo đó để lò xo bị nén bung ra. Vận tốc đo được  $c$  của từng khối nặng là cạnh huyền của tam giác vận tốc với các cạnh  $a$ ,  $b$ . Mặt khác, động năng của cả hai khối nặng bấy giờ là  $2 \times \frac{mc^2}{2} = mc^2$ . Nhưng năng lượng này đạt được thông qua hai phần tỉ lệ: trước tiên,  $2 \times \frac{ma^2}{2} = ma^2$  từ cú đẩy ban đầu, và sau đó,  $2 \times \frac{mb^2}{2} = mb^2$  từ lò xo. Theo đó:

$$mc^2 = ma^2 + mb^2.$$

Triệt tiêu  $m$  cho ta định lý Pythagoras\*\*.

---

\* Ta coi như không có trọng lực.

\*\* Chúng ta nhắc đến Einstein ở đây chính vì dữ kiện rằng hệ có năng lượng là  $E = mc^2$

# 3

## CỰC TIỂU VÀ CỰC ĐẠI

Những bài toán về giá trị lớn nhất/nhỏ nhất thường rất phù hợp với phương cách tiếp cận vật lý. Lý do có lẽ là trong thực tế nhiều hệ vật lý tự tìm được giá trị cực tiểu hay cực đại: một đồng hồ quả lắc chỉ ra vị trí cực tiểu của thế năng; tia sáng phản chiếu từ viên đá nhẵn dưới đáy suối đến võng mạc của ta chỉ ra con đường tốn ít thời gian nhất; một bong bóng xà phòng chọn hình dạng của thể tích nhỏ nhất; một sợi dây mắc thông giữa hai đầu cố định chọn hình dáng có tâm khối thấp nhất, và cứ thế cái danh sách này kéo dài bất tận.

Đây là một mẫu chung cho việc tìm ra một cách giải vật lý. Giả sử ta phải cực tiểu hóa một hàm số. Bước chính là thiết kế một hệ thống cơ học với thế năng là hàm số biết trước. Cực tiểu của hàm số tương ứng cực tiểu của thế năng, tương ứng trạng thái cân bằng của hệ. Khi mô tả điều kiện cân bằng ta thường có một câu trả lời đẹp đẽ. Thật vậy, ta sẽ phải tạo ra một “máy tính” cơ học, nó sẽ tự giải quyết được bài toán – còn ta chỉ cần chờ mà đọc lấy câu trả lời.

Sau đây là một biểu diễn dạng biểu đồ của sự tương ứng giữa giải tích và cơ học, cho trường hợp hàm số của một biến  $x$ :



## Giải tích

Hàm số  $f(x)$

Đạo hàm  $f'(x)$

$f(x)$  nhỏ nhất  $\Rightarrow f'(x) = 0$

## Diễn dịch vật lý

Thế năng  $P(x)$

Lực tác dụng  $F(x) = -P'(x)$

$P(x)$  là cực tiểu

$\Rightarrow F(x) = 0$  (trạng thái cân bằng)

**Một lưu ý về hiểu biết cơ bản.** Nắm được giải tích và hình học sơ cấp là đủ để hiểu chương này. Tuy vậy, phương cách tiếp cận vật lý cho phép ta giải nhiều bài toán giải tích, và cả một vài bài toán của giải tích đa biến!

Nền tảng vật lý sử dụng trong chương này được mô tả trong phần phụ lục. Ta sử dụng những mô hình cơ học cho những đối tượng toán học. Các mô hình này bao gồm lò xo đàn hồi lý tưởng, dây, hình vành khuyên trượt, khí nén và chân không. Tất cả các đối tượng giả tưởng này được mô tả trong phụ lục ngắn, cùng với các khái niệm về cân bằng, moment quay, và trọng tâm.

**Cái gì cũng có giá của nó.** Lời giải của các bài toán ở đây trở nên ngắn gọn khi ta vận dụng vật lý, một dòng thay vì cả trang dài khi sử dụng giải tích. Tuy nhiên, theo định luật bảo toàn độ khó, điều này có giá của nó. Khó khăn chuyển từ việc thực hiện những thao tác số học chán ngắt sang việc thiết kế một hệ thống cơ học thích hợp.

**Vài nét nổi bật.** Các chủ đề của chương này gồm:

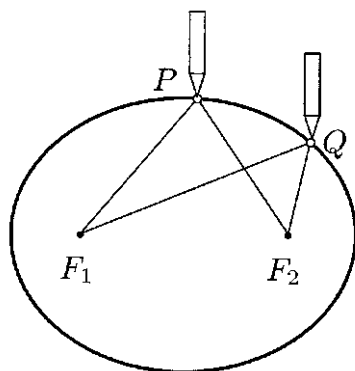
1. Một tính chất quang học của hình ellipse.
2. Đường biểu diễn phù hợp nhất bằng lò xo.

3. Hình chóp của thể tích nhỏ nhất và trọng tâm.
4. Bài toán diện tích nhỏ nhất và lớn nhất.
5. Bài toán diện tích bề mặt nhỏ nhất.
6. Chứng minh định lý góc nội tiếp sử dụng cơ học.
7. Cứu lấy một nạn nhân bị chìm bằng cách sử dụng những quả nặng.

Phần lớn, nếu không muốn nói là tất cả, chỉ là những bài tập giải tích, nhưng ở đây ta giải chúng mà không cần dùng giải tích.

### 3.1 Tính chất quang học của hình ellipse

Hình ellipse là một dạng của “đường tròn với hai tâm”: buộc một sợi dây vào giữa hai chiếc đinh ( $F_1$  và  $F_2$ ) và di chuyển bút chì sao cho dây vẫn căng; chiếc bút chì sẽ phác ra một hình ellipse. Để cụ thể, hình ellipse bao gồm tất cả điểm mà tổng khoảng cách của mỗi một điểm tới hai điểm cho trước (gọi là tiêu điểm) là một hằng số.



Hình 3.1. Định nghĩa của hình ellipse:  $PF_1 + PF_2 = \text{hằng số}$ .

Mỗi hình ellipse có tính chất đáng lưu ý: một tia sáng phát ra từ một tiêu điểm sẽ nhờ sự phản xạ từ đường ellipse đi qua tiêu điểm còn lại – điều này đúng cho hướng truyền bất kỳ của tia phát. Nhờ đó nếu chơi trò laser tag\* trong một căn phòng ellipse với mặt vách phản xạ sẽ rất vui.

Hoặc bạn có thể tưởng tượng chơi ném bóng trong một căn phòng ellipse: đứng tại một tiêu điểm  $F_1$  và ném bóng, tôi sẽ ném trúng người đứng tại tiêu điểm  $F_2$  bất kể tôi nhắm tề cỡ nào (coi như quả bóng nảy sao cho các góc tới và phản xạ là bằng nhau). Dĩ nhiên, nếu người tại  $F_2$  hụp xuống, khi đó bóng sẽ bay qua  $F_2$  và đập ngược lại tôi sau một cú bật tường.

Giải thích tính chất đáng chú ý này như thế nào? Sau đây là một phát biểu hình học cụ thể của bài toán, theo sau là giải đáp.

**Bài toán.** *Gọi  $P$  là một điểm trên hình ellipse với tiêu điểm  $F_1$  và  $F_2$ , và  $MN$  là tiếp tuyến tại  $P$ , hình 3.2(a). Chứng tỏ rằng:*

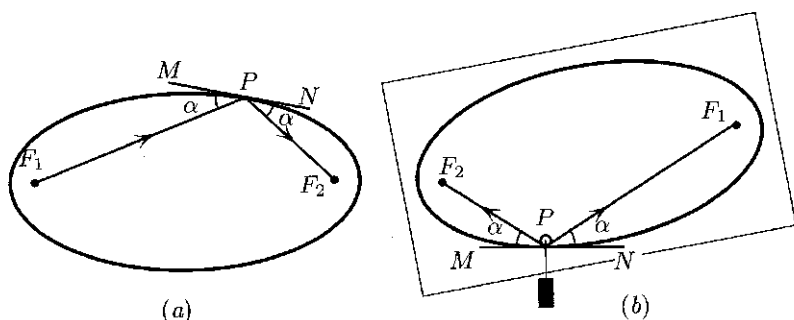
$$\angle F_1PM = \angle F_2PN.$$

**Lời giải.** Làm sao ta chứng minh được tính chất này? Một cách giải rất tốn sức là (i) viết phương trình của một ellipse, (ii) tính hai góc trong đề bài, và (iii) xác minh rằng các biểu thức là bằng nhau. Cách tiếp cận này có thể dẫn tới việc

---

\* Laser tag là một hoạt động đội nhóm hay cá nhân mà người chơi cố ghi điểm bằng cách “bắn” trúng mục tiêu, điển hình là bằng một “súng” nhắm phát hồng ngoại cầm tay; mỗi người chơi thường đeo các mục tiêu nhạy cảm hồng ngoại để tiện cho việc tính điểm. – N.D.

tính toán “gãy cả tay” mà không hiểu thêm bao nhiêu. Thay vào đó, cách tiếp cận trực quan trình bày sau đây ngắn hơn nhiều và chỉ ra “điều gì đang xảy ra”.



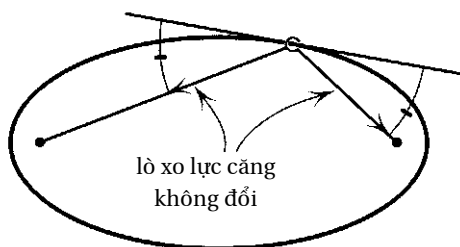
Hình 3.2. (a) Theo trực quan; (b) Theo chứng minh cơ học.

Ta treo một sợi dây vào hai chiếc đinh  $F_1$  và  $F_2$  được đóng vào mặt bảng (hình 3.2(b)), sao cho một vòng rọc nặng lăn được trên dây như trong hình. Nếu ta di chuyển vòng rọc sang trái hay phải, trong khi giữ căng sợi dây, vòng rọc sẽ phác ra một hình ellipse. Bằng cách định hướng tấm bảng thích hợp, ta có thể sắp xếp cho điểm tùy ý  $P$  trên đường ellipse là điểm thấp nhất, như trong hình 3.2(b), sao cho tiếp tuyến trở thành đường  $MN$  nằm ngang. Nhưng sợi dây tạo thành những góc bằng nhau với đường nằm ngang. Thực vậy, bộ ba lực tác dụng lên vòng rọc (hai lực căng và trọng lượng) là trong điều kiện cân bằng lực; cụ thể, tổng lực nằm ngang là bằng không:

$$T_1 \cos \alpha_1 - T_2 \cos \alpha_2 = 0,$$

trong đó  $T_1$  và  $T_2$  là các lực căng của hai phần sợi dây. Nhưng  $T_1 = T_2$  bởi ròng rọc không ma sát\*, và ta được  $\alpha_1 = \alpha_2$ .

**Nguyên lý Heron.** Nguyên lý Heron phát biểu rằng ánh sáng chọn con đường ngắn nhất. Theo định nghĩa của ellipse, mọi con đường  $F_1PF_2$  đều cùng độ dài; nghe có vẻ ngớ ngẩn nhưng thật ra mỗi con đường như vậy là một lối đi ngắn nhất từ  $F_1$  đến đường ellipse và đến  $F_2$ . Theo đó  $F_1PF_2$  là đường đi của một tia nào đó. Mặt khác, ta đã chỉ ra rằng  $\angle F_1PM = \angle F_2PN$ . Nói cách khác, ta đã chỉ ra rằng nguyên lý Heron là nhất quán với đẳng thức giữa góc tới và góc phản xạ.



Hình 3.3. Hình vành khuyên ở trạng thái cân bằng, từ đó các góc là bằng nhau.

## 3.2 Một chứng minh cơ học khác

Đây là một chứng minh cơ học hơi khác của tính chất quang học trên. Khảo sát một hình vành khuyên trượt không ma sát dọc theo hình ellipse, và sử dụng hai lò xo với lực căng không đổi\*\*  $T = 1$  để neo hình vành khuyên vào mỗi

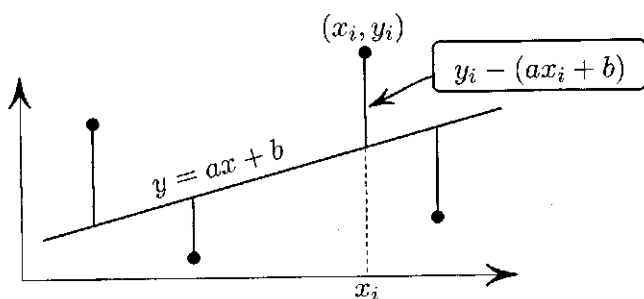
\* Thực vậy, bất cứ khác biệt nào trong lực căng sẽ gây ra gia tốc góc cho ròng rọc theo hướng của lực căng lớn hơn.

\*\* Mô tả của những khái niệm này, xem mục A.1.

tiêu điểm. Thế năng của hệ cơ học của chúng ta bằng với tổng độ dài của các dây và theo định nghĩa của ellipse thì nó là hằng số. Hình vành khuyên do vậy mà cân bằng tại bất cứ vị trí nào, và các thành phần tiếp tuyến của lực tác dụng lên hình vành khuyên cũng là trong điều kiện cân bằng lực:  $T\cos\alpha_1 = T\cos\alpha_2$ , kéo theo  $\alpha_1 = \alpha_2$ .

### 3.3 Hồi quy tuyến tính (phù hợp nhất) thông qua lò xo

Tưởng tượng một tập hợp các điểm dữ liệu  $(x_i, y_i)$  trong mặt phẳng. Ta được yêu cầu tìm ra một đường thẳng  $y = ax + b$  phù hợp nhất với bộ dữ liệu này. “Nhất” nghĩa là gì? Để trả lời câu hỏi này, với mỗi  $x_i$  ta xem  $y = ax_i + b$  như là một giá trị suy đoán, trong khi  $y_i$  là giá trị quan sát hay đo được. Độ chênh giữa bộ hai giá trị này là  $y_i - (ax_i + b)$ , gọi là sai số (hình 3.4). “Đường tốt nhất” ở đây nghĩa là đường có tổng bình phương sai số nhỏ nhất. Phát biểu chính xác của bài toán tìm đường phù hợp nhất, còn được gọi là bài toán *hồi quy tuyến tính*, là như sau:



Hình 3.4. Đường nào tối thiểu hóa tổng sai số (3.1)?

**Bài toán.** Cho  $N$  điểm dữ liệu  $(x_i, y_i)$  trong mặt phẳng, tìm đường thẳng  $y = ax + b$  phù hợp những điểm dữ liệu này nhất theo nghĩa tối thiểu hóa tổng bình phương sai số:

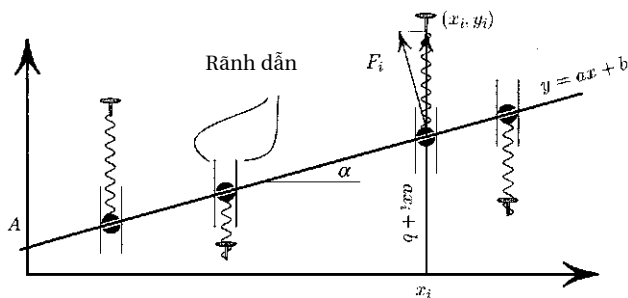
$$S(a, b) = \sum_{i=1}^N (y_i - (ax_i + b))^2. \quad (3.1)$$

Các ẩn số trong bài toán này là độ dốc  $a$  và hệ số chặn  $b$  của đường thẳng “tốt nhất”. Phương pháp tiêu chuẩn để tìm ra cực tiểu của (3.1) là cho đạo hàm riêng phần theo  $a$  và  $b$  bằng không. Sau đây là một đường tắt cơ học đi đến câu trả lời.

**Lời giải.** Đường thẳng cần tìm được xem như một thanh thẳng (hình 3.5). Cho thanh xuyên qua các ống bọc không ma sát trượt trên các rãnh dẫn đặt tại đường thẳng đứng  $x = x_i$ . Mỗi ống bao được nối bằng một lò xo đàn hồi chặt vào một cái đinh (đóng tại một điểm dữ liệu).\* Ta chọn hằng số Hooke bằng 2, để cho thế năng của mỗi lò xo bằng đúng bình phương độ dài của nó. Tổng (3.1) bấy giờ mang ý nghĩa vật lý là thế năng!

---

\* Hiểu biết cơ bản về lò xo đàn hồi chặt ở mục A.1. Cho mục đích của chúng ta ở đây chỉ cần nhắc lại rằng thế năng của một lò xo đàn hồi chặt của hằng số Hooke  $k$  là  $\frac{k}{2}x^2$ .



Hình 3.5. Tổng bình phương = thế năng (3.1) là tối thiểu khi các điều kiện cân bằng (3.2) của lực và moment quay được đáp ứng.

Nếu tổng bình phương là nhỏ nhất, thế năng hệ cơ học của chúng ta là nhỏ nhất, và thanh ở trạng thái cân bằng. Các lực còn lại mà thanh “cảm thấy” là phản lực, ngược chiều  $-F_i$  từ các ống tay áo; tổng của các lực này triệt tiêu, cũng như tổng moment quay\* của chúng đối với điểm chấn  $A$ :

$$\sum_{i=1}^N F_i = 0, \quad \sum_{i=1}^N d_i F_i = 0, \quad (3.2)$$

trong đó  $d_i$  là khoảng cách từ điểm chấn đến ống tay áo. Lưu ý rằng  $d_i \cos \alpha = x_i$ . Bây giờ để lập biểu thức cho  $F_i$ , khảo sát điều kiện cân bằng của lực trên ống tay áo. Ống tay áo cảm nhận được (i) phản lực  $-F_i$  từ thanh thẳng, (ii) lực kéo của lò xo,  $y_i - (ax_i + b)$ , và (iii) phản lực từ rãnh dẫn theo phương  $x$ . Chỉ hai trong số những lực này có thành phần  $y$  khác không, và chúng là cân bằng:  $F_i \cos \alpha = y_i - (ax_i + b)$ . Sử dụng những biểu thức này với  $d_i$  và  $F_i$  trong (3.2) ta thu được

\* Cho hiểu biết cơ bản xem mục A.5 và A.6.



$$\begin{cases} \sum y - a \sum x - Nb = 0 \\ \sum xy - a \sum x^2 - b \sum x = 0 \end{cases} \quad (3.3)$$

Đây là hệ hai phương trình với hai ẩn  $a$  và  $b$  mà khi được giải, cho ta giá trị độ dốc và hệ số chặn “tốt nhất”.

Lưu ý rằng kết quả như (3.3) có thể thu được trực tiếp bằng cách cho đạo hàm riêng phần của sai số trong (3.1) bằng không:

$$\frac{\partial S}{\partial b} = 2 \sum (y_i - (ax_i + b)) = 0$$

và

$$\frac{\partial S}{\partial a} = 2 \sum x_i (y_i - (ax_i + b)) = 0.$$

Tại đây ta có một diễn dịch vật lý của các điều kiện này: phương trình đầu tiên diễn tả sự tiêu biến của hợp lực trên thanh, trong khi phương trình thứ hai diễn tả sự triệt tiêu của moment quay quanh điểm chặn  $A$ .

### 3.4 Đa giác có diện tích nhỏ nhất

Ví dụ tiếp theo có thể tiếp cận bằng vật lý một cách hiệu quả và cho ta một cách giải gọn gàng. Bài toán này có thể đại diện cho một loạt bài toán tương tự.

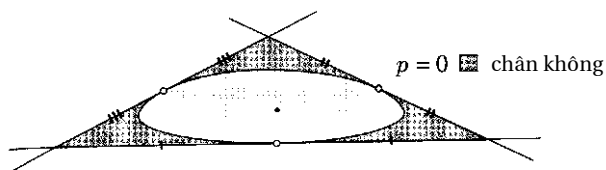
**Định lý.** *Khảo sát một đa giác  $n$  cạnh  $P$  có diện tích khả dĩ nhỏ nhất ngoại tiếp một đường cong\* lồi kín cho trước  $K$ . Khi đó mỗi tiếp điểm của  $K$  với cạnh của  $P$  là trung điểm của cạnh đó.*

---

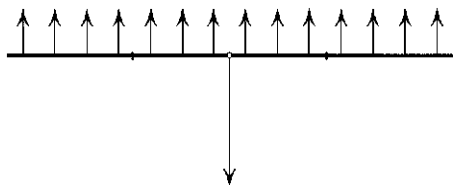
\*  $K$  không được cho bởi một công thức – tất cả những gì ta biết rằng nó là đường cong lồi.

**Chứng minh.** Hình vẽ cho thấy ba đường thẳng bao quanh đường cong  $K$ , với phần chân không bên trong tam giác và với khí có áp suất  $p = 1$  bên ngoài ép lên các đường thẳng (khí không thể xuyên qua). Vật cản  $K$  ngăn tam giác khỏi co lại thành một điểm. Theo cảm nhận, tam giác cố làm “điều tốt nhất có thể” cho việc co lại: nó cố tối thiểu hóa diện tích của mình. Cụ thể hơn, làm các thanh hợp thành một tam giác có diện tích nhỏ nhất  $A$ ; các thanh không nối với nhau tại các đỉnh. Tôi khẳng định rằng mỗi thanh khi đó là ở trạng thái cân bằng. Thực tế, thế năng hệ của chúng ta bằng\* diện tích của phần chân không nhân với áp suất  $p$ , để cho

Diện tích nhỏ nhất  $\equiv$  thế năng nhỏ nhất  
 $\equiv$  trạng thái cân bằng.



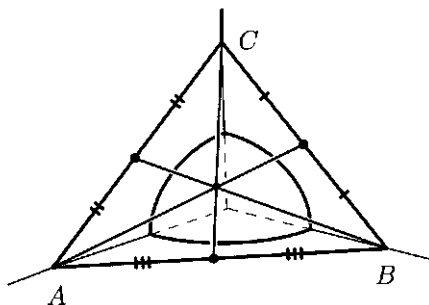
Hình 3.6. Bộ ba thanh thẳng bao quanh một bong bóng chân không bị ép vào trong đê lên đường cong  $K$  bởi khí bên ngoài.



Hình 3.7. Nếu một lực phân bố đều trên một đoạn thẳng cân bằng với một lực tác dụng tại một điểm của đoạn thẳng, thì điểm đó là trung điểm.

\* Xem lý giải ở mục A.4.

Bởi mỗi thanh ở trạng thái cân bằng, áp suất hướng ra ngoài tác dụng lên thanh tại điểm tiếp xúc cân bằng với áp suất hướng vào trong của khí. Điều này hàm ý (xem hình 3.7) rằng điểm mà áp lực tác dụng lên là trung điểm; nếu không thì moment quay của tất cả lực trên thanh quanh tiếp điểm sẽ khác không. Đơn giản mà nói, thanh sẽ quay nếu điểm tiếp xúc không phải là trung điểm.



Hình 3.8. Nếu mặt phẳng tiếp xúc tối thiểu hóa thể tích của hình chóp, khi đó điểm tiếp xúc là trọng tâm của  $\triangle ABC$ .

### 3.5 Hình chóp có thể tích nhỏ nhất

**Bài toán.** Trong tất cả mặt phẳng tiếp xúc mặt ellipsoid  $x^2/a^2 + y^2/b^2 + z^2/c^2 = 1$ , một trong số chúng giao với góc phần tám thứ nhất  $x \geq 0, y \geq 0, z \geq 0$  tạo thành hình chóp có thể tích khả dĩ nhỏ nhất. Chỉ ra rằng tiếp điểm của mặt phẳng đó là trọng tâm\* của mặt  $ABC$  (hình 3.8).

**Lời giải vật lý.** Ta hãy tưởng tượng mặt phẳng tiếp xúc chia tách phần chân không bên trong hình chóp với không khí

---

\* Trọng tâm (hay điểm cân bằng lực) của tam giác là giao điểm của các đường trung tuyến.

bên ngoài góc phần tám thứ nhất. Không khí chỉ ép lên phần mặt phẳng nằm trong góc phần tám thứ nhất. Mặt phẳng cắt ngang mặt phẳng tọa độ không gặp sự cản trở nào, trong thí nghiệm tưởng tượng của chúng ta. Không khí đè mặt phẳng lên khối ellipsoid rắn, cố gắng “nghiên” thể tích của hình chóp tới giá trị cực tiểu. Tại giá trị thể tích nhỏ nhất, mặt phẳng sẽ ở trạng thái cân bằng – tức là, bất cứ động thái nào nhằm mở rộng cái “bong bóng” chân không cũng đòi hỏi nỗ lực. Cụ thể hơn, thế năng của hệ tỉ lệ với thể tích của phần chân không (xem mục A.4), để thể tích tối thiểu tương ứng năng lượng tối thiểu, năng lượng tối thiểu thì lại tương ứng trạng thái cân bằng cho mặt phẳng. Nhưng đây là điều kiện cân bằng lực giữa áp suất không khí phân bố đều trên  $\triangle ABC$  từ bên ngoài với áp lực từ khối ellipsoid này lên mặt kia. *Theo định nghĩa, điều này nghĩa là điểm tiếp xúc là trọng tâm của tam giác  $\triangle ABC$ .* Trọng tâm của một tam giác là điểm giao nhau của các trung tuyến của nó, như giải thích trong mục 3.15.

Chỉ để so sánh, sau đây là một cách giải thường thấy.

**Lời giải giải tích (không phải để đọc mà để so sánh độ dài).**

Ta bắt đầu bằng mô tả thể tích của hình chóp liên hệ với tọa độ tiếp điểm  $(x_0, y_0, z_0)$ . Véc tơ pháp tuyến của mặt ellipsoid tại điểm đó là:

$$\mathbf{N} = \nabla \left( \frac{x^2}{a^2} + \frac{y^2}{b^2} + \frac{z^2}{c^2} \right) = 2 \left\langle \frac{x_0}{a^2}, \frac{y_0}{b^2}, \frac{z_0}{c^2} \right\rangle,$$

và phương trình của mặt phẳng tiếp xúc là:

$$(r - r_0) \cdot N = 0$$

trong đó  $\mathbf{r}_0 = \langle x_0, y_0, z_0 \rangle$ , hay

$$\frac{(x - x_0)x_0}{a^2} + \frac{(y - y_0)y_0}{b^2} + \frac{(z - z_0)z_0}{c^2} = 0.$$

với  $\frac{x_0^2}{a^2} + \frac{y_0^2}{b^2} + \frac{z_0^2}{c^2} = 1$ , phương trình mặt phẳng tiếp xúc rút gọn thành:

$$\frac{x_0 x}{a^2} + \frac{y_0 y}{b^2} + \frac{z_0 z}{c^2} = 1.$$

Ta tính hệ số chặn  $X$  trên  $x$  bằng cách cho  $y = z = 0$ , và tương tự cho hai hệ số chặn còn lại:

$$X = \frac{a^2}{x_0}, Y = \frac{b^2}{y_0}, Z = \frac{c^2}{z_0}.$$

Thể tích của hình chóp bấy giờ được mô tả trong mối liên hệ với điểm tiếp xúc:

$$V = \frac{1}{3} \left( \frac{1}{2} XY \right) Z = \frac{1}{6} XYZ = \frac{(abc)^2}{x_0 y_0 z_0}.$$

Ta phải tối thiểu hóa  $V$ , đó là, tối đa hóa  $x_0 y_0 z_0 \equiv f(x_0, y_0, z_0)$  tùy thuộc vào điều kiện biên:

$$g(x_0, y_0, z_0) \equiv \frac{x_0^2}{a^2} + \frac{y_0^2}{b^2} + \frac{z_0^2}{c^2} = 1.$$

Để  $f$  đạt cực tiểu ta phải có  $\nabla f = \lambda \nabla g$ , trong đó  $\lambda$  là nhân tử Lagrange; một cách rõ ràng hơn, điều này cho:

$$\begin{cases} y_0 z_0 = 2\lambda \frac{x_0}{a^2} \\ x_0 z_0 = 2\lambda \frac{y_0}{b^2} \\ x_0 y_0 = 2\lambda \frac{z_0}{c^2}. \end{cases} \quad (3.4)$$

Nhân phương trình đầu tiên với  $x_0$ , phương trình thứ hai với  $y_0$ , và phương trình thứ ba với  $z_0$  ta làm tất cả các vế bên trái bằng nhau. Các vế bên phải khi đó cũng bằng nhau:

$$\frac{x_0^2}{a^2} = \frac{y_0^2}{b^2} = \frac{z_0^2}{c^2}.$$

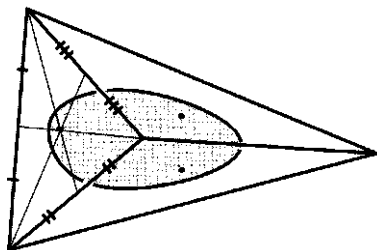
Cuối cùng, từ  $g(x_0, y_0, z_0) = 1$  ta kết luận rằng:

$$\frac{x_0^2}{a^2} = \frac{y_0^2}{b^2} = \frac{z_0^2}{c^2} = \frac{1}{3},$$

$$x_0 = \frac{a}{\sqrt{3}},$$

và

$$X = \frac{a^2}{x_0} = a\sqrt{3}.$$



Hình 3.9. Nếu thể tích của hình chóp ngoại tiếp một khối lồi là nhỏ nhất, khi đó các trọng tâm của mặt là các tiếp điểm.

Ta nhận thấy rằng  $x_0 = \frac{1}{3}X$ ; tương tự,  $y_0 = \frac{1}{3}Y$  và  $z_0 = \frac{1}{3}Z$ . Nói cách khác:

$$(x_0, y_0, z_0) = \frac{1}{3}((X, 0, 0) + (0, Y, 0) + (0, 0, Z)), \quad (3.5)$$

hay điểm tiếp xúc quả thực là trọng tâm của tam giác  $ABC$ .

### 3.6 Định lý về trọng tâm

Kết quả này đã được biết đến từ trước (xem cuốn [D]). Bài toán này thật ra chỉ là tổng quát hóa của bài toán ở trên. Tôi cảm thấy nó đủ đẹp để xứng đáng được trình bày riêng.

**Định lý.** Gọi  $K$  là một khối lồi trong không gian số học 3 chiều  $\mathbb{R}^3$ , và  $ABCD$  là một tứ diện (cho là, một hình chóp tam giác) có thể tích khả dĩ nhỏ nhất chứa  $K$ . Khi đó tiếp điểm của từng mặt với  $K$  là trọng tâm của mặt đó.

**Chứng minh.** Ta tưởng tượng có bốn mặt phẳng bao quanh  $K$  và tạo thành biên của một bong bóng chân không hình chóp. Từng cặp hai mặt phẳng có thể cắt nhau, nhưng không được quyền xuyên qua  $K$ . Áp suất không khí bên ngoài bong bóng chân không buộc các mặt phẳng ép lên  $K$ . Thể tích của hình chóp chân không tỉ lệ thuận với thế năng\*. Do đó nếu hình chóp có thể tích nhỏ nhất, khi đó thế năng sẽ là nhỏ nhất, và do đó tất cả mặt phẳng sẽ ở trạng thái cân bằng. Theo đó áp lực hướng ra ngoài trên mỗi mặt tại tiếp điểm cân bằng với áp suất phân bố đều hướng vào trong. Điều này hàm ý rằng tiếp điểm là trọng tâm của mặt.

---

\* Điều này hiển nhiên đáng tin; chứng minh được cho trong phần phụ lục (xem mục A.4).

Quả vậy, ta có thể nghĩ về áp lực hướng nội như lực trọng trường, phân bố đều khắp tam giác, và khi đó điểm tiếp xúc là điểm cân bằng – trọng tâm!

### 3.7 Một bài toán đẳng chu

Sau đây là một cách giải phi-tiêu chuẩn của một bài toán giải tích tiêu chuẩn. Phương pháp này trả lời được nhiều câu hỏi khác, như sẽ được trình bày trong các mục tiếp sau.

**Bài toán.** *Tìm kích thước của một đường tròn và một hình vuông có tổng diện tích nhỏ nhất, nếu biết trước tổng chu vi của chúng.*

**Trả lời.**  $x = d$ : đường tròn là nội tiếp hình vuông.

**Lời giải.** Hệ cơ học của chúng ta bao gồm một sợi thông lọng; một phần của thông lọng được bọc quanh hình vuông và một phần quanh đường tròn, với nút thông lọng luôn xuyên qua một cái ống tuýp như cho thấy trong hình 3.11.

Ở một bên của ống tuýp, sợi dây được giữ ở dạng hình vuông nhờ cơ chế căng mép như cho thấy trong hình 3.11.

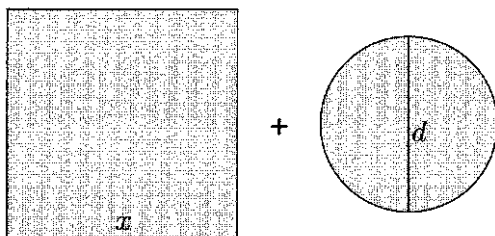
Tưởng tượng lúc này có khí bên trong vòng như cho thấy trong hình 3.11. Khí cố phồng lên nhưng không thể phồng vô hạn bởi sợi dây là không giãn. Thế năng của khí là một hàm nghịch biến với diện tích.\* Diện tích tối thiểu do đó tương ứng với thế năng cực đại và với một trạng thái cân bằng\*\* của hệ.

---

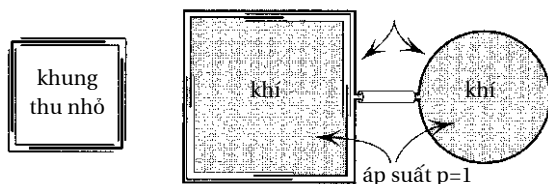
\* Thực vậy, nếu ta để khí phồng lên, nó sẽ thực hiện công dương và do đó mất một lượng như vậy trong thế năng của nó.

\*\* Cân bằng không ổn định, bởi năng lượng là cực đại, nhưng thế thì sao?





Hình 3.10. Tối thiểu hóa diện tích biết trước tổng chu vi  $L$ .



Hình 3.11. Cả hai hộp chứa cố giãn ra chống lại lực siết của dây.

Cho nên (và đây là điểm chốt), *lực căng của sợi dây là như nhau tại mọi điểm trên dây; cụ thể ở phần hình vuông và ở phần hình tròn:*

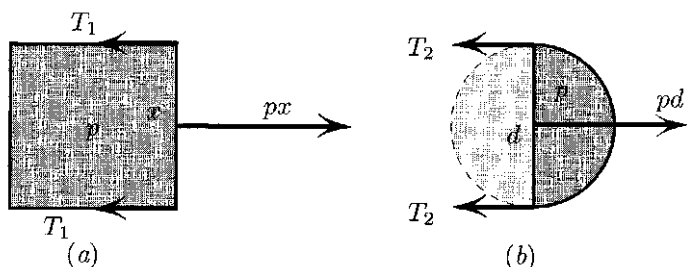
$$T_1 = T_2. \quad (3.6)$$

Trong phần tới đây tôi sẽ chỉ ra rằng  $2T_1 = px$  và  $2T_2 = pd$ , và theo đó  $x = d$ : cạnh hình vuông bằng đường kính hình tròn, như khẳng định.

**Lực căng của dây.** Đầu tiên xem xét một hộp hình vuông chứa khí nén hai chiều có áp suất  $p$ . Gọi  $T_1$  là ký hiệu lực căng dây trên cạnh hình vuông.\* Hình 3.12 cho thấy lực  $px$

\* Để tránh những hiểu nhầm, gọi lực căng là tôi ý nói lực mà cần được tác dụng để giữ mỗi bên của hai đầu dây khỏi tách rời nếu sợi dây bị cắt.

của khí đẩy một cạnh hình vuông hướng ra ngoài, cân bằng với hợp lực  $2T_1$  của lực căng của dây.



Hình 3.12. (a) Chất khí đẩy cạnh bên phải của hình vuông hướng ra ngoài về bên phải ( $px$ ); các cạnh liền kề kéo cạnh đó lại bằng hợp lực  $2T_1$  về bên trái. (b) Nửa cái đĩa bên phải cảm nhận áp lực lên đường kính của nó, và nửa còn lại bị kéo bởi lực căng của dây.

Điều kiện cân bằng lực cho

$$2T_1 = px. \quad (3.7)$$

Tương tự cho đường tròn, ta xem xét điều kiện cân bằng lực trên một hình bán đĩa: đường kính bị đẩy sang phải, và sợi dây bị kéo sang trái; điều kiện cân bằng lực dẫn ra:

$$2T_2 = pd. \quad (3.8)$$

Sử dụng  $T_1 = T_2$ , ta kết luận:

$$x = d;$$

là điều phải chứng minh. Một câu trả lời thật cô đọng!

Chỉ để so sánh với một cách giải vật lý, sau đây là cách giải thông thường.

**Một cách giải thông thường.** Tổng chu vi là không đổi:

$$4x + \pi d = L,$$

cho nên:

$$d = \frac{L - 4x}{\pi}. \quad (3.9)$$

Tổng diện tích do đó bằng:

$$A(x) = x^2 + \frac{\pi d^2}{4} = x^2 + \frac{\pi}{4} \left( \frac{L - 4x}{\pi} \right)^2.$$

Lấy đạo hàm theo  $x$ , ta được:

$$A'(x) = 2x + \frac{\pi}{4} \cdot 2 \cdot \left( \frac{L - 4x}{\pi} \right) \left( \frac{-4}{\pi} \right) = 2x - 2 \frac{L - 4x}{\pi}.$$

Từ  $A'(x) = 0$  ta thu được:

$$x - \frac{L - 4x}{\pi} = 0,$$

hay

$$x = \frac{L}{\pi + 4}.$$

Thế vào (3.9) và giản lược ta thu được:

$$d = \frac{L}{\pi + 4}.$$

Cụ thể,  $x = d$ .

Cách tiếp cận cơ học đem lại một ý nghĩa vật lý cho đẳng thức  $A'(x) = 0$  – cụ thể, lực căng là đại lượng bất biến dọc theo dây. Ngoài ra, một đặc điểm kỳ lạ của cách tiếp cận vật lý là ta không bao giờ phải viết biểu thức cho đại lượng  $A(x)$

(chính là đại lượng mà ta cần tìm cực tiểu), và cũng không bao giờ phải lấy đạo hàm (mặc dù người ta có thể tranh cãi rằng bằng cách viết ra điều kiện  $T_1 = T_2$  ta thực chất đã lấy đạo hàm, chỉ diễn đạt khác đi mà thôi). Với cách tiếp cận vật lý, ta gần như đi thẳng đến đáp án, một khi mô hình cơ học đã được thiết lập!

Ba ví dụ tiếp theo cho thấy giải các bài toán liên quan dễ dàng đến thế nào một khi đã thiết kế được mô hình cơ học.

**Bài toán.** *Tìm các kích thước của hình chữ nhật và tam giác đều có tổng diện tích nhỏ nhất, biết tổng chu vi của chúng.*

**Bài toán.** *Tìm các kích thước của đa giác  $n$  cạnh và một đa giác  $m$  cạnh có tổng diện tích nhỏ nhất, biết tổng chu vi của chúng.*

**Bài toán.** *Một đường tròn, một hình vuông, và một tam giác đều có tổng chu vi biết trước. Tìm các kích thước liên quan của ba hình này sao cho diện tích tổng là nhỏ nhất.*

**Lời giải.** Ta đưa ra một lời giải nhanh cho bài toán thứ ba. Lập luận hoàn toàn như trên, ta kết luận rằng điều kiện diện tích nhỏ nhất, chính là điều kiện cân bằng, đòi hỏi lực căng của dây biên là như nhau đối với mỗi một hình dạng:

$$T_{\text{đường tròn}} = T_{\text{hình vuông}} = T_{\text{tam giác}}. \quad (3.10)$$

Bằng cách chọn áp suất khí  $p = 1$ , ta có được trị số sức căng sau đây từ các phương trình cân bằng lực:

$$T_{\text{đường tròn}} = \frac{x}{2}, T_{\text{hình vuông}} = \frac{y}{2}, T_{\text{tam giác}} = \frac{z\sqrt{3}}{6},$$

trong đó  $x$  là đường kính của đường tròn,  $y$  là cạnh của hình vuông, và  $z$  là cạnh của tam giác. Dẫn chứng cho tam giác được thể hiện trong hình 3.13; cho đường tròn và hình vuông đã được trình bày ở trang 41. Đẳng thức của những lực căng dây (3.10) cho ta hai phương trình:

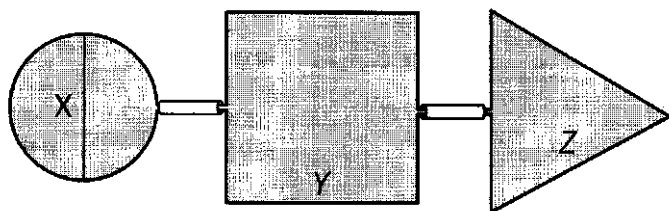
$$x = y = z \frac{\sqrt{3}}{3},$$

chúng định rõ tỉ lệ cần đạt được của bộ ba kích thước này.

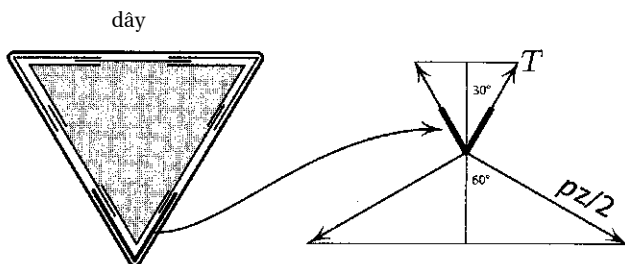
Để giải quyết bài toán này bằng giải tích, ta sẽ phải tối thiểu hóa diện tích như một hàm ba biến với một điều kiện biên – một đề tài bao trùm trong giải tích đa biến.

### 3.8 Chiếc hộp rẻ nhất

Sinh viên học giải tích thường đối mặt với dạng bài toán “đóng hộp” chết người, mà trong đó, nhà sản xuất muốn tiết kiệm chi phí bằng cách làm ra chiếc hộp có kích thước hiệu quả nhất. Trong mục này tôi mô tả một cách giải vật lý cho loại bài toán này; trong mục kế tiếp tôi sẽ chỉ ra làm thế nào để cách giải này có thể thích ứng được với bài toán mở rộng.



dây



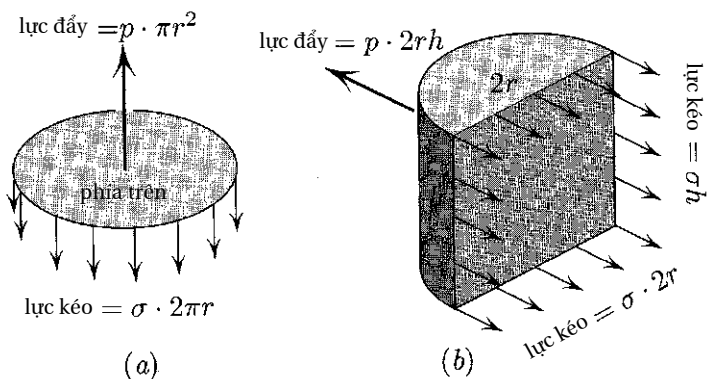
Hình 3.13. Cân bằng các lực tại góc chữ V cho  $2T\cos 30^\circ = 2(pz/2)\cos 60^\circ$ , hay  $T = \frac{z\sqrt{3}}{6}$  nếu  $p = 1$ .

**Bài toán.** *Tỉ lệ của một hộp hình trụ có tổng diện tích bề mặt tối thiểu ứng với thể tích cho trước là như thế nào?*

**Lời giải.** Ta hãy tưởng tượng một hộp hình trụ được chế tạo để nó có thể thu nhỏ tùy thích sao cho thay đổi được cả chiều cao và bán kính của nó. Có thể hình dung một cơ chế được xây dựng như được gợi ý trong hình 3.11 ở bài toán vừa rồi. Bấy giờ ta đổ nước đầy hộp có thể tích  $V$ , và bọc lấy nó trong một màng có sức căng bề mặt không đổi\*  $\sigma$ . Có thể tưởng tượng màng bong bóng đó không vỡ và có thể trượt không ma sát dọc theo bất cứ đâu nó chạm vào.

---

\* Xem mục A.2 cho một giải thích ngắn gọn của khái niệm sức căng bề mặt với tất cả hiểu biết cơ bản cần thiết.



Hình 3.14. Điều kiện cân bằng giữa sức căng bề mặt và áp lực: (a) mặt trên cùng của hình trụ và (b) nửa dọc thân trụ.

Thế năng  $E$  của màng mà sức căng bề mặt là hằng số  $\sigma$  tỉ lệ với diện tích:  $E = \sigma A$  (xem mục A.2). Theo đó, hình có diện tích tối thiểu cũng là hình có năng lượng nhỏ nhất, và cũng là hình ở trạng thái cân bằng. Cụ thể, lực kéo hướng xuống lên mặt trên cùng của hộp (hình 3.14), tác dụng dọc theo đường tròn, cân bằng với áp lực hướng lên của khối nước bên trong đẩy mặt trên cùng lên:

$$\sigma \cdot 2\pi r = p \cdot \pi \cdot r^2. \quad (3.11)$$

Ngoài ra, nửa dọc thân trụ (bề mặt ngoài + khối nước) như trong hình 3.14 bị kéo bởi sức căng bề mặt của lớp màng liên kết và bị đẩy bởi lưu chất tác dụng lên mặt hình chữ nhật:

$$\sigma \cdot (4r + 2h) = p \cdot 2rh.$$

Chia phương trình này cho (3.11) và giản lược, ta thu được

$$h = 2r.$$

Nói cách khác, hình trụ “tốt nhất” là hình trụ mà tiết diện dọc theo trục đứng của nó là một hình vuông.

### 3.9 Cái hộp rẻ nhất

Cơ học có thể khái quát bài toán “cái hộp rẻ nhất”, mà chi phí cho mặt trên, mặt bên, và mặt đáy là khác nhau được không? Chẳng hạn, các kích thước của chiếc hộp hở mặt trên rẻ nhất là như thế nào? Chỉ thêm một câu, lời giải gần như lặp lại nguyên văn lời giải của bài toán vừa rồi. Cụ thể như sau.

**Bài toán.** *Mặt trên, mặt bên, và mặt đáy của một hộp hình trụ được tạo nên từ những vật liệu khác nhau với chi phí tương ứng là  $a$ ,  $b$ , và  $c$  cent trên mỗi đơn vị diện tích. Tìm các tỉ lệ của cái hộp rẻ nhất có thể tích cho trước.*

**Lời giải.**

**Thiết bị cơ học.** Cũng như trong bài toán trên, ta bắt đầu với một cái vỏ hình trụ thu nhỏ được sao cho bán kính và chiều cao có thể thay đổi tùy thích. Đổ nước vào đầy hình trụ này. Tuy nhiên, bây giờ, ta sẽ sử dụng ba loại màng\* với sức căng bề mặt  $a$ ,  $b$ , và  $c$  bằng với các chi phí tương ứng. Ta kéo căng một mảnh màng có sức căng bề mặt  $a$  và dính các cạnh của nó vào đường tròn trên cùng của hình trụ sao cho màng căng dọc theo hình đĩa trên cùng. Kế tiếp ta bọc một màng có sức căng bề mặt không đổi  $c$  quanh vách bên của chiếc hộp, dính nó vào các đường tròn trên cùng

---

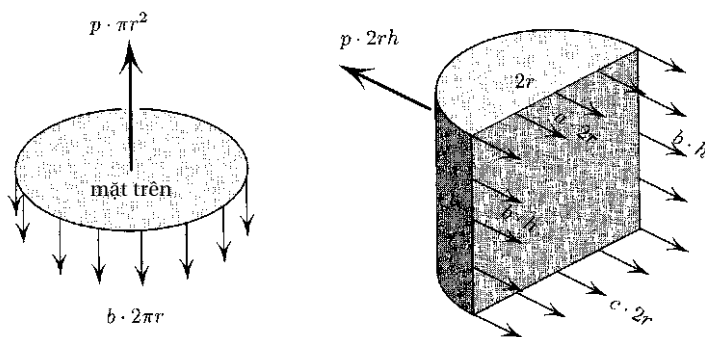
\* Ta lại nhắc đến hiểu biết cơ bản về màng, mục A.2.



và dưới cùng. Cái màng sẽ cố ép chặt mặt bên của hình trụ cũng như kéo mặt trên và mặt đáy về phía nhau. Sau cùng, ta lặp lại điều ta đã làm với mặt trên cùng cho hình đĩa dưới cùng, sử dụng màng  $c$ .

**Hoàn tất.** Bộ ba màng này cố nén chặt chiếc hộp. Chi phí tổng cộng là tổng trọng số của các diện tích mặt trên, mặt bên, và mặt đáy:  $\pi r^2 \cdot a + 2\pi r h \cdot b + \pi r^2 \cdot c$ , đó chính là thế năng của hệ cơ học của chúng ta\*; cái hộp rẻ nhất do đó ở trạng thái cân bằng. Cụ thể, mặt trên của hộp bị kéo xuống bởi cái màng ôm lấy mặt bên, và bị đẩy lên bởi áp lực nước bên trong (hình 3.15); hai lực này là trong điều kiện cân bằng:

$$b \cdot 2\pi r = p \cdot \pi r^2.$$



Hình 3.15. Chi phí tối thiểu hóa với vật liệu khác nhau cho mặt trên, mặt bên và mặt đáy.

Nửa dọc thân trụ trong hình 3.15 bị kéo bởi sức căng bề mặt theo một hướng và bị đẩy bởi áp suất  $p$  tác dụng lên

\* Bởi thế năng của màng = sức căng bề mặt  $\times$  diện tích; xem chi tiết ở mục A.2.

khắp tiết diện ngang hình chữ nhật  $2r \times h$  theo hướng ngược lại; những lực này là cũng trong điều kiện cân bằng:

$$a \cdot 2r + b \cdot 2h + c \cdot 2r = p \cdot (2rh).$$

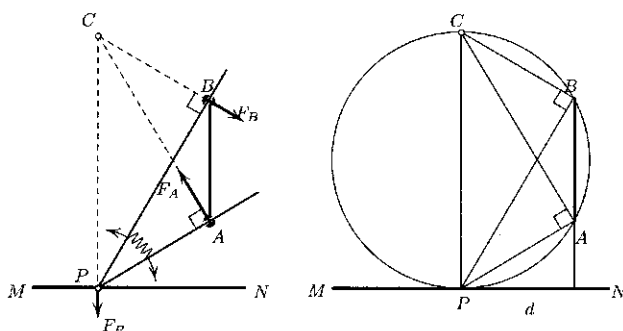
Chia phương trình này cho phương trình ở trên và khử các số hạng, ta thu được câu trả lời:

$$h = r \frac{a + c}{b},$$

Đối với một chiếc hộp đặt trên bề mặt tạo nên từ vật liệu đồng nhất trong đó  $a = 0$ ,  $b = c$  điều này đưa đến  $h = r$ . Trường hợp  $a = b = c$  công thức ở trên cho  $h = 2r$  phù hợp với kết quả của bài toán đặt ra.

### 3.10 Chỗ tốt nhất ở rạp ngoài trời

**Bài toán.** Từ chỗ nào một người có thể có góc nhìn màn ảnh rộng nhất? Cụ thể hơn, cho trước một đoạn thẳng  $AB$  nằm dọc (màn ảnh) và một đường  $MN$  nằm ngang không cắt  $AB$ , tìm điểm  $P$  trên  $MN$  sao cho góc  $APB$  là cực đại.

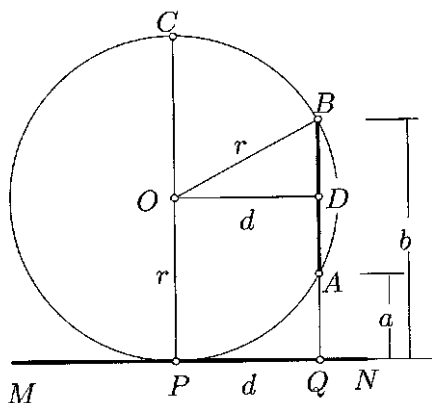


Hình 3.16. Khớp nối  $P$  trượt tùy thích dọc theo  $MN$ . Các tia  $PA$  và  $PB$  trượt tùy thích qua lại giữa các ống bọc tại  $A$  và  $B$ . Khi góc nhìn là lớn nhất hệ sẽ ở trạng thái cân bằng. Vì thế ba lực tác dụng lên “cái vuốt”  $APB$  là đồng quy.

**"Máy tính" cơ học.** Xem xét một cái "vuốt" – bao gồm hai thanh thẳng được nối với nhau bằng một lò xo cố đẩy các thanh ra xa nhau. Các thanh xuyên qua các ống bọc  $A$  và  $B$  (một nằm trên cùng và một nằm dưới cùng màn ảnh) sao cho chúng có thể trượt không ma sát. Mũi của cái vuốt  $P$  được hàn vào một hình vành khuyên nhỏ trùng vào  $MN$  và có thể trượt trên  $MN$  không ma sát.

**Lời giải.**

**Lời giải định tính.** Lò xo càng giãn dài, góc  $APB$  càng lớn, thế năng càng nhỏ. Góc cực đại vì vậy tương ứng với thế năng cực tiểu, chính là trạng thái cân bằng của hệ chúng ta. Nhưng cái vuốt  $APB$ , cảm nhận được ba lực:  $F_P$ ,  $F_A$  và  $F_B$ ; mỗi lực trực giao với đường tương ứng, như cho thấy trong hình 3.16, bởi tất cả mối nối đều không ma sát. Bởi những lực này có tổng moment quay bằng không, các đường biểu diễn của chúng là đồng quy, dẫn theo bổ đề về lực đồng quy ở mục A.6. Hệ quả là, ứng với góc  $APB$  khả dĩ lớn nhất, bộ ba đường trực giao với các đường  $MN$ ,  $PA$ , và  $PB$  tại các điểm  $P$ ,  $A$ , và  $B$  là đồng quy. Ta tìm ra một tính chất đặc trưng của hình trạng mong muốn và theo đó giải quyết được bài toán, ít ra là định tính.



Hình 3.17. Khoảng cách tối ưu  $d = \sqrt{ab}$ .

**Lời giải định lượng.** Để có đáp án rõ ràng hơn, lưu ý rằng  $PA \perp AC$  và  $PB \perp BC$  hàm ý rằng  $A$  và  $B$  nằm trên đường tròn đường kính  $PC$ . Đường tròn này cũng tiếp xúc  $MN$  bởi  $PC \perp MN$ . Theo đó điểm  $P$  tối ưu là tiếp điểm của đường  $MN$  và một đường tròn đi qua  $A$  và  $B$ . Chính xác là có một đường tròn như vậy: tâm của nó là giao điểm của đường trung trực  $AB$  với đường thẳng đứng đi qua  $P$ .

Khoảng cách ngắn nhất là trung bình nhân của các độ cao,  $d = \sqrt{ab}$  trong đó  $a$  và  $b$  là các độ cao của  $A$  và  $B$ . Quả vậy, tham chiếu hình 3.17, ta có:

$$d = PQ = OD = \sqrt{OB^2 - BD^2},$$

trong đó:

$$OB = OP = DQ = \frac{a+b}{2}$$

và

$$BD = \frac{b-a}{2}.$$

Thay hai phương trình sau cùng vào cái đầu tiên, ta thu được:

$$d = \frac{1}{2} \sqrt{(a+b)^2 - (a-b)^2} = \sqrt{ab}.$$

Chỗ tốt nhất ở rập ngoài trời được cho bởi trung bình nhân của độ cao điểm trên cùng và điểm dưới cùng của màn ảnh!

### 3.11 Góc nội tiếp

**Định lý.** *Một góc nội tiếp trong đường tròn chỉ phụ thuộc vào cung chắn và không phụ thuộc vào vị trí của đỉnh góc nội tiếp.*

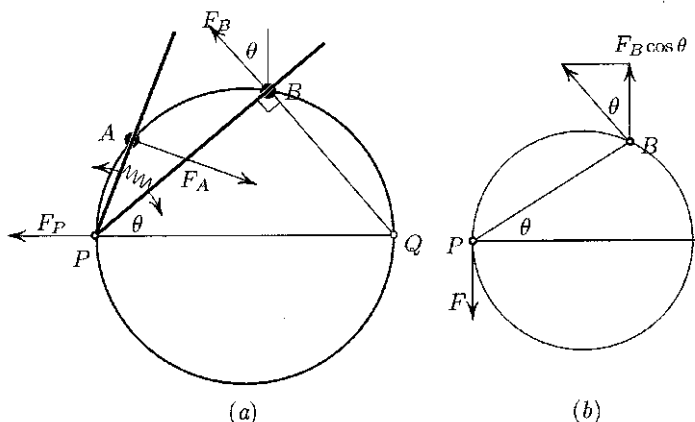
**Chứng minh.**

**Thiết bị cơ học.** Với chứng minh này, ta dùng “cái vuốt” (được dùng ở mục 3.10) tạo bởi hai thanh thẳng nối khớp  $P$  với một lò xo bị nén cố đẩy các thanh ra xa. Ta cố định khớp  $P$  trên đường tròn, có thể trượt tùy ý không ma sát. Mỗi thanh trượt xuyên qua một ống bao xoay tùy ý không ma sát tại các đầu  $A$  và  $B$  của cung đã cho, như trong hình 3.18.

Tôi khẳng định rằng hệ ở trạng thái cân bằng đối với vị trí bất kỳ của  $P$  trên đường tròn. Để được vậy trước tiên xem xét lực trên một thanh (chọn  $PB$ ) khi  $P$  được giữ cố định một cách có chủ ý. Thanh chịu ảnh hưởng của moment quay  $T$  quanh  $P$  và moment quay  $F_B \times PB$  tạo thành bởi phản lực  $F_B$  tại ống bao. Điều kiện cân bằng của moment quay quanh  $P$  cho  $T = F_B \times PB$ , xác định giá trị  $F_B = T / PB$ . Bây giờ cho

$F$  là thành phần tiếp tuyến của lực tại  $P$  tác dụng lên thanh. Thành phần này cân bằng với thành phần song song với nó của lực tại  $B$  (xem hình 3.18(b)):

$$F = F_B \cos \theta = \frac{T \cos \theta}{PB} = \frac{T}{PQ}.$$



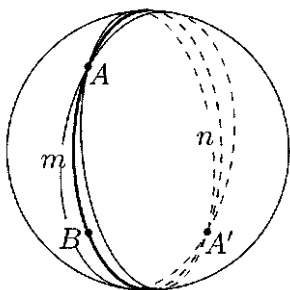
Hình 3.18. (a) “Máy tính cơ học” (b) Tính toán lực  $F$  cần thiết để giữ  $P$  đứng yên.

Ta thấy rằng lực tiếp tuyến  $F$  lên thanh không phụ thuộc vào vị trí của thanh. Điều này có nghĩa rằng hai thanh đặt lên khớp nối tại  $P$  hai lực bằng nhau ngược chiều. Ta kết luận rằng khớp  $P$  là ở trạng thái cân bằng, như đã khẳng định.

### 3.12 Nguyên lý Fermat và Định luật Snell

**Tóm lược.** Nguyên lý Fermat phát biểu rằng ánh sáng truyền đi giữa hai điểm “chọn” con đường có thời lượng nhỏ nhất – ít ra, nếu hai điểm đủ gần với nhau. Cụ thể hơn, bất cứ tia sáng nào cũng có tính chất tối thiểu hóa thời gian như sau:

với hai điểm bất kỳ đủ gần  $A$  và  $B$  trên tia, cung  $AB$  của tia cho thời gian di chuyển khả dĩ ngắn nhất từ  $A$  tới  $B$ .\*



Hình 3.19. Cung  $AmB$  là con đường thời-gian-nhỏ-nhất; ánh sáng từ  $A$  không hội tụ trên cung này. Trái lại, cung  $AnB$  là thuộc đường cực trị, nhưng không phải thời gian ngắn nhất; tính chất này đi cùng với sự tồn tại của một điểm hội tụ trên cung này.

**Quan sát nguyên lý Fermat vận hành.** Một trong những điều nguyên lý Fermat dự đoán là sự đổi hướng truyền của các tia sáng trong thấu kính như thể hiện trong hình 3.20. Để rút ngắn thời gian, ánh sáng tránh phần dày hơn của thấu kính bởi truyền qua thủy tinh tốn thời gian hơn.\*\* Điều này

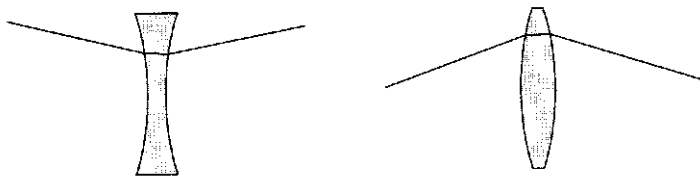
\* Điều thực sự quan trọng không phải là  $A$  và  $B$  gần nhau, mà là hình quạt hẹp của chùm tia phát ra từ  $A$  không hội tụ trước khi tới được  $B$ . Minh họa đơn giản nhất cho điều kiện này được đưa ra bởi chùm tia lan truyền trên mặt cầu (hình 3.19). Các điểm  $A$  và  $B$  được nối với nhau bởi hai chùm tia khả dĩ,  $AmB$  và  $AnB$ , cái đầu tiên là chùm tia ngắn nhất; theo đó, hình quạt của chùm tia từ  $A$  không hội tụ trên cung thời-gian-nhỏ-nhất  $AmB$ . Trái lại, tia  $AnB$  không phải là con đường nhanh nhất từ  $A$  tới  $B$ ; cung này chứa điểm hội tụ  $A'$  của hình quạt của chùm tia từ  $A$ . Đối với lý thuyết tổng quát liên quan đến bài toán này, độc giả nên đọc cuốn sách của Milnor [M].

\*\* Tỷ lệ  $n$  của vận tốc ánh sáng trong chân không trên vận tốc trong thủy tinh được gọi là **hệ số khúc xạ**.  $n$  càng lớn, độ dày thấu kính cần thiết càng nhỏ để đạt được cùng một hiệu quả. Không khí gần như giống chân không;

giải thích tại sao thấu kính lõm phân kỳ, trong khi thấu kính lồi hội tụ.

Một ví dụ khác trong hình 3.21 cho thấy một tia từ đáy hồ tới mắt. Con đường chỉ ra trong hình là nhanh hơn đường thẳng, bởi nó “trả giá” để rút ngắn phần dưới nước “tốn kém” nơi ánh sáng truyền đi lâu hơn.

***Làm thế nào ánh sáng “biết” đường nào là ngắn nhất?*** Khả năng của ánh sáng để chọn con đường ngắn nhất có vẻ như là thần kỳ. Phải chăng việc chọn được con đường nhanh nhất không đòi hỏi thông tin về những con đường khác? Thực sự thì hóa ra ánh sáng có biết về những con đường khác.\* Trên thực tế, ánh sáng truyền theo mọi con đường khả dĩ, nhưng, đại thể, ảnh hưởng của chúng triệt tiêu lẫn nhau trừ trên con đường ngắn nhất và lân cận của nó, ảnh hưởng của các vùng này trở nên “đồng bộ”.



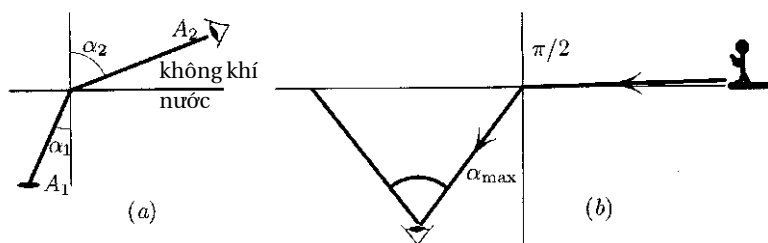
Hình 3.20. Ánh sáng di chuyển chậm hơn trong thủy tinh; bởi vậy tia sáng tránh phần dày hơn của thấu kính.

---

$n = 1,00029$ . Thấu kính nhựa tổng hợp dùng làm tròng kính có hệ số khúc xạ cao cỡ  $n = 1,66$ . Thủy tinh dùng làm thấu kính có hệ số bằng 1,52. Hệ số của kim cương  $n = 2,4$ ; loại thấu kính này sẽ không trắng và rất mỏng, nhưng không rẻ.

\* Đọc giả nên đọc cuốn sách tuyệt vời *QED* của Richard Feynman [Fe], câu đó đáng lưu tâm này được giải đáp trong đó.





Hình 3.21. (a) định luật Snell; (b) với người lặn, thế giới phía trên mặt nước được “nén” vào một lăng kính.

**Lịch sử tóm lược.** Tính chất tối thiểu của ánh sáng được phát hiện bởi Heron xứ Alexandria (khoảng năm 60 Công Nguyên), người đã phát biểu rằng tia sáng truyền đi giữa hai điểm trong không khí và tia sáng phản xạ khỏi kính phẳng giữa các điểm là ngắn hơn bất cứ con đường liên kết nào. Dạng tổng quát của nguyên lý, áp dụng được cho môi trường phổ quát, được phát biểu bởi Fermat vào năm 1662. Có thể hiểu được tại sao một số người đã phản đối: theo họ, nguyên lý này, áp đặt tiên kiến cho tự nhiên. Những người hoài nghi chớ nên lo lắng. Nguyên lý Fermat có thể được giải thích thông qua điện động học cổ điển, bằng cách viện dẫn đến bản chất sóng của ánh sáng. Cách lý giải đương đại, được phác họa trong cuốn sách của Feynman vừa nhắc đến ở trên, dựa vào điện động học lượng tử, nơi bản chất sóng được thay thế bằng hàm sóng xác suất.

Nguyên lý Fermat xác định cách thức chùm tia đổi hướng khi băng qua ranh giới giữa hai môi trường. Một hệ quả rõ ràng hơn của nguyên lý này được biết đến như định luật Snell.

**Định luật khúc xạ Snell.\*** Với một tia sáng truyền qua mặt phân cách giữa hai môi trường (xem hình 3.21), hàm sin của các góc tương ứng  $\alpha_1, \alpha_2$  giữa tia và đường vuông góc với mặt phân cách là tỉ lệ với các vận tốc  $c_1$  và  $c_2$  của ánh sáng trong môi trường tương ứng:

$$\frac{\sin \alpha_1}{c_1} = \frac{\sin \alpha_2}{c_2}. \quad (3.12)$$

Nói cách khác: đại lượng  $\frac{\sin \alpha}{c}$  giữ nguyên không đổi khi ánh sáng truyền qua bề mặt phân cách.

Định luật này sẽ được phát biểu lại như một “bài toán cứu hộ” trong mục 3.13.

Ta đúng thực nhìn thế giới thông qua định luật Snell: mỗi tia va vào “điểm ảnh” trên võng mạc, đều đến được đó khi tuân theo (3.12).

**Bài toán.** Ý nghĩa vật lý, nếu có, của  $\frac{\sin \alpha}{c}$  là gì?

**Lời giải.**  $\sin \alpha / c$  là vận tốc của điểm mà mặt đầu sóng\*\*\* giao với mặt phân cách hai môi trường (hình 3.22). Lời giải thích được đưa ra trong hình 3.23 như sau. Hình vẽ cho thấy mặt đầu sóng trong không khí tại hai thời điểm cách nhau một giây. Do các chùm tia vuông góc với mặt đầu sóng\*\*\*,  $\Delta PP'Q$

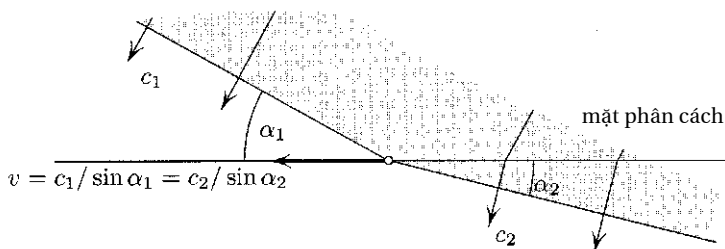
---

\* Xem bài toán 3.13 cho chứng minh cơ tính của dữ kiện rằng định luật Snell suy ra từ nguyên lý Fermat.

\*\* Nguyên văn: wavefront – mặt đầu sóng là quỹ tích những điểm dao động cùng pha trong môi trường truyền sóng, giới hạn giữa phần môi trường mà sóng đã truyền qua và sóng chưa truyền tới. – N.D.

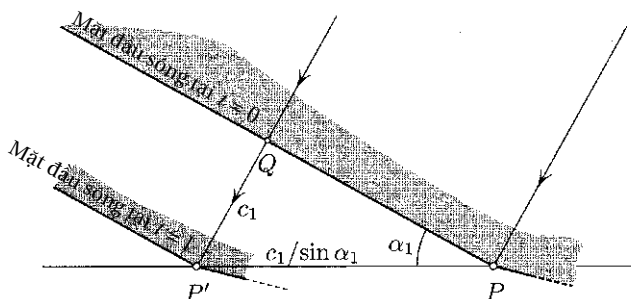
\*\*\* Phát biểu hiển nhiên là rất đáng tin này có thể được biện minh thông qua nguyên lý Huygens; chi tiết có thể được tìm thấy trong cuốn [ARN]. Thực trạng này dựa trên tính đẳng hướng của môi trường. Với những môi trường

là tam giác vuông, trong đó ý nghĩa của điểm  $Q$  được giải thích theo hình vẽ. Bởi  $QP' = c_1$ , ta có  $PP' = c_1 / \sin \alpha_1$ . Đây là độ dịch chuyển của  $P$  trong một giây và do đó là vận tốc được nói đến.



Hình 3.22. Đường gậy trong một mặt đầu sóng có vận tốc

$$v = c_1 / \sin \alpha_1 = c_2 / \sin \alpha_2.$$



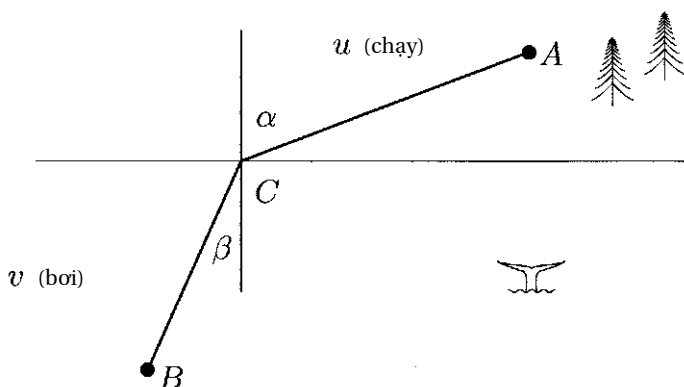
Hình 3.23. Tính vận tốc của điểm gậy trong mặt đầu sóng.

**Góc tới hạn.** Hình 3.21 giải thích một hiện tượng thú vị quan sát được bởi những người đi lặn. Khi bạn nhìn lên mặt nước từ phía dưới, mọi thứ trên mặt nước xuất hiện như thể bị

---

dị hướng chùm tia tới không cần vuông góc với mặt đầu sóng, ít ra là không trong ngữ nghĩa của tính trực giao Euclid.

nén vào một lăng kính. Bên ngoài vòng tròn trên bề mặt nước, với điểm tâm bên trên mắt người quan sát, ánh sáng truyền qua không tới được mắt người; chỉ ánh sáng phản xạ từ phía dưới mới tới được mắt. Đây là lý do. Tia sáng gần như nằm ngang trong không khí tạo một góc  $\alpha_{kk} = \pi / 2$  với tia thẳng đứng trước khi chạm mặt nước; một khi ở trong nước, góc với tia thẳng đứng là  $\alpha_{H_2O} = \sin^{-1} \frac{c_{H_2O}}{c_{kk}}$ , theo định luật Snell. Với người đang lặn ngược mắt nhìn lên, đây là góc lớn nhất với tia thẳng đứng mà qua đó họ có thể nhìn thấy thế giới bên trên.



Hình 3.24. Làm thế nào định vị  $C$  để đi từ  $A$  tới  $B$  trong thời gian ngắn nhất.

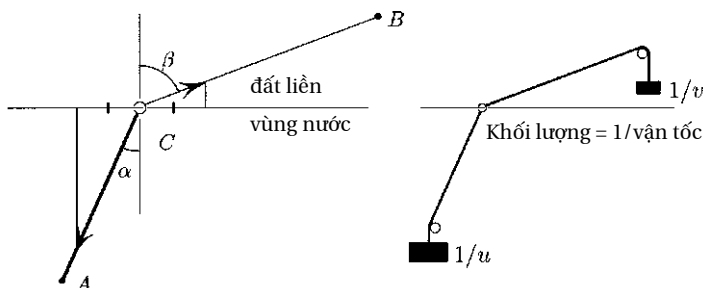
### 3.13 Cứu một nạn nhân đang chìm nhờ vào nguyên lý Fermat

**Bài toán.** Một người cứu hộ tại  $A$  muốn cứu một người bơi tại  $B$ . Người cứu hộ chạy với vận tốc  $v$  và bơi với vận tốc  $v$ .

Điểm  $C$  nào trong hình 3.24 cho thời gian ngắn nhất nếu giả sử coi như vận tốc người bơi là bằng không\*.

Bài toán này là giống hệt bài toán nói trên về tìm ra con đường thời gian tối thiểu của tia phản xạ của ánh sáng. Cũng như tia sáng, người cứu hộ của chúng ta tuân theo nguyên lý Fermat về thời lượng nhỏ nhất, điều này ngụ ý rằng các góc trong hình 3.24 thỏa mãn định luật Snell. Nói cách khác, bài toán này là yêu cầu giải thích làm thế nào định luật Snell được suy ra từ nguyên lý Fermat.

Một chứng minh giáo khoa tiêu chuẩn coi thời gian như một hàm số của vị trí chưa biết  $x$  của  $C$ , và tìm ra  $x$  cực tiểu bằng phép đạo hàm. Cách giải đưa ra ở đây không bao gồm một phép tính lẫn công thức giải tích nào.



Hình 3.25. Lực căng có thể được tạo ra hoặc bằng những lò xo lực căng bất biến hoặc bằng những quả nặng.

**Lời giải.** Hình 3.25 cho thấy một hình vành khuyên trượt dọc theo dây (“đường bờ biển”); hình vành khuyên được nối với điểm  $A$  bằng một lò xo lực căng bất biến\*\* có lực căng ta chọn

\* Bao gồm, nhất là, vận tốc của anh ta theo phương thẳng đứng.

\*\* Loại lò xo như vậy được mô tả trong mục A.1.

là  $l/u$ , nghịch đảo của vận tốc chạy. Một cách tương tự, ta nối hình vành khuyên với điểm  $B$  bằng một lò xo khác có lực căng bất biến  $1/v$ , nghịch đảo của vận tốc bơi.

Bởi thế năng của một lò xo lực căng bất biến bằng độ dài của nó nhân với lực căng, thế năng của hệ cơ là:

$$AC/u + CB/v. \quad (3.13)$$

Nhưng biểu thức này trùng khớp với biểu thức thời gian di chuyển từ  $A$  tới  $B$ ! Ta theo đó mà gán thời gian với ý nghĩa cơ học của thế năng.

Nếu thời gian di chuyển là nhỏ nhất, khi đó năng lượng là nhỏ nhất và bởi vậy hệ sẽ ở trạng thái cân bằng; do đó, các lực trên hình vành khuyên dọc theo dây ở trong trạng thái cân bằng lực:

$$\frac{1}{u} \sin \alpha = \frac{1}{v} \sin \beta.$$

Ta theo đó vừa trình bày lại định luật Snell. Từ đó ta phát hiện một diễn dịch mang tích cơ học của định luật Snell: các lực trên hình vành khuyên theo phương của bề mặt phân cách ở trong trạng thái cân bằng.

Bài học cho người cứu hộ là hãy chạy sao cho các góc  $\alpha$  và  $\beta$  tạo với đường vuông góc với đường bờ biển thỏa mãn hệ thức Snell.

Sau đây là một diễn dịch lý thú của cách giải cho bài toán người cứu hộ (diễn dịch này là một sự lặp lại của nhận xét trong bài toán ở trang 55). Hình dung người cứu hộ mang một cây sào dài luôn được giữ vuông góc với hướng chuyển động của anh ta, cho dù anh ta chạy hay bơi. Cây

sào này là mô phỏng của mặt đầu sóng. (Hoặc là, ta có thể nghĩ về một hàng người chạy/bơi vai kề vai, khả năng vận động của những người này là như nhau). Xem xét giao điểm của cây sào với đường bờ biển. Điểm này di chuyển với vận tốc không đổi trong khi người cứu hộ chạy và với vận tốc không đổi khác khi anh ta bơi. Bây giờ chiến thuật tốt nhất được được đặc trưng bởi tính chất là hai vận tốc này bằng nhau.

### 3.14 Tổng bình phương nhỏ nhất cho một điểm

**Bài toán.** Cho ba điểm  $A$ ,  $B$ , và  $C$  trong mặt phẳng, tìm điểm  $M$  sao cho tổng bình phương:

$$AM^2 + BM^2 + CM^2 \quad (3.14)$$

là nhỏ nhất.

**Lời giải.** Tổng bình phương (3.14) có thể diễn dịch như thế năng của ba lò xo đàn hồi chặt\* nối  $M$  với các điểm  $A$ ,  $B$ , và  $C$ , với hằng số Hooke  $k = 2$  cho mỗi lò xo (xem hình 3.26). Bây giờ nếu năng lượng của (3.14) ở đây là nhỏ nhất, khi đó tổng moment quay lên  $M$  là bằng không:

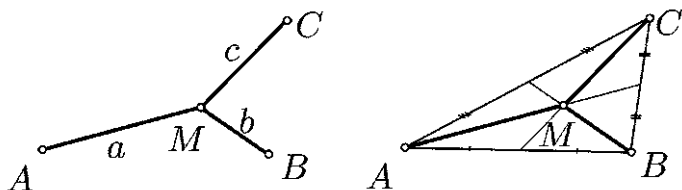
$$\overline{MA} + \overline{MB} + \overline{MC} = \mathbf{0},$$

trong đó ta đã lược bỏ hệ số chung  $k = 2$ . Điều này dự phần vào phát biểu rằng  $M$  là tâm khối của  $A$ ,  $B$ , và  $C$ . Theo đó

---

\* Với kiến thức nền, xem mục A.1. Ta cần chỉ hai dữ kiện tại đây: trước tiên, rằng sức căng của một lò xo đàn hồi chặt là  $k \times L$ , trong đó  $L$  là độ dài của lò xo và  $k$  là hằng số Hooke, và thứ đến, thế năng của lò xo là  $\frac{1}{2}kL^2$ .

$M$  là giao điểm của các trung tuyến của  $\Delta ABC$  (xem giải thích ở bài toán kế tiếp).



Hình 3.26. Tâm khối của ba điểm tối thiểu hóa (3.14).

**Một lời giải khác.** Ta nhận thấy rằng (3.14) là moment quán tính\* quanh  $M$  của ba chất điểm  $m_1 = m_2 = m_3 = 1$  được đặt tại  $A, B, C$ . Nhưng moment quán tính nhỏ nhất là khi quay quanh tâm khối (xem thảo luận ở mục A.9).

### 3.15 Tại sao một tam giác cân bằng tại điểm giao nhau của các trung tuyến?

**Bài toán.** *Tại sao tâm khối của một mảnh bìa cứng hình tam giác trùng khớp với giao điểm của các trung tuyến của nó?*

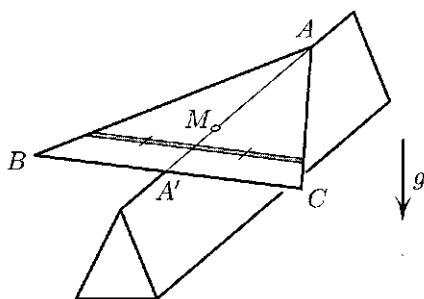
**Lời giải.** Điểm mấu chốt là giải thích tại sao tam giác nằm cân bằng trên từng trung tuyến, chẳng hạn như  $AA'$ , khi đặt nó dọc theo lưỡi dao nằm ngang như trong hình 3.27. Tưởng tượng cắt tam giác của chúng ta thành những dải hẹp song song với cạnh  $BC$ ; một dải như vậy được thể hiện

---

\* Khái niệm, cùng với mọi điều sử dụng tại đây, được giảng giải trong mục A.9.



trong hình 3.27. Trung tuyến  $AA'$  chia đôi mỗi đoạn của dải song song với cạnh  $BC$ , và do vậy mỗi dải sẽ nằm cân bằng trên lưỡi dao\*. Do vậy tam giác nằm cân bằng trên  $AA'$ . Bây giờ điểm cân bằng ( $M$ ) phải nằm trên đường cân bằng, tức là trên  $AA'$ . Áp dụng cho cả ba trung tuyến, điểm cân bằng phải nằm tại giao điểm của chúng.



Hình 3.27. Tam giác nằm cân bằng trên một trung tuyến bởi mỗi dải hẹp được trung tuyến chia đôi.

**Chú ý.** *Đòn khối lượng của tam giác bìa cứng về các đỉnh thành những lượng bằng nhau tại mỗi đỉnh sẽ làm tâm khối không đổi. Quả vậy, tam giác với khối lượng tái phân bố vẫn nằm cân bằng trên  $AA'$  bởi  $B$  cân bằng với  $C$  ( $A'$  là trung điểm của  $BC$ ) trong khi  $A$  nằm trên  $AA'$  và theo đó không ảnh hưởng điều kiện cân bằng của hai chất điểm còn lại.*

---

\* Ta đang lờ đi một sai số khả dĩ ở gần phía đầu của các dải hẹp, nhưng kích cỡ tương đối của sai số tiến đến không theo độ rộng của dải.

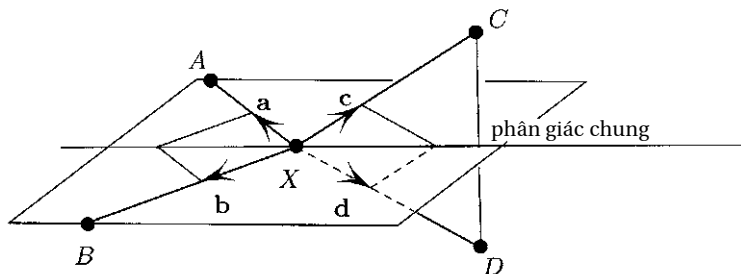
### 3.16 Tổng khoảng cách nhỏ nhất cho bốn điểm trong không gian

**Bài toán.** Cho bốn điểm  $A, B, C$ , và  $D$  trong không gian, khảo sát tổng khoảng cách  $AX + BX + CX + DX$  đến điểm  $X$ . Điểm  $X$  nào tối thiểu hóa tổng này?

**Lời giải.** Sử dụng cơ học ta sẽ chỉ ra rằng:

$$\angle AXB = \angle CXD$$

và rằng, ngoài ra, hai góc này bị chia đôi bởi cùng một đường thẳng. Bởi các điểm  $A, B, C$ , và  $D$  có vai trò như nhau, kết quả như trên sẽ giữ nguyên cho bất cứ cách ghép đôi khác nào từ những điểm này. Chẳng hạn, ta sẽ biết rằng  $\angle AXC = \angle BXD$  và các góc này cùng chung phân giác.



Hình 3.28. Nếu  $X$  tối thiểu hóa  $AX + BX + CX + DX$ , khi đó các góc đánh dấu cùng chung phân giác và bằng nhau.

Sau đây là chứng minh. Ta dùng bốn lò xo lực căng bất biến\* giống nhau lực căng  $T = 1$  và được mắc như cho thấy trong hình 3.28. Độ dài của mỗi lò xo bằng với thế năng của

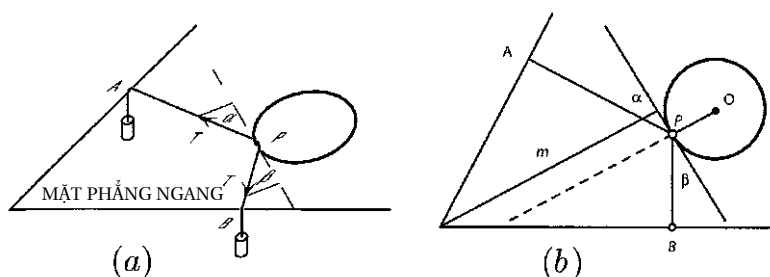
\* Loại lò xo này được mô tả trong mục A.1.

nó, và độ dài tổng cộng bằng thế năng của hệ. Do đó cách xếp đặt sao cho độ dài nhỏ nhất tương ứng với trạng thái cân bằng, và với sự triệt tiêu của tổng các lực **a**, **b**, **c** và **d** tác động lên điểm chung *X*:

$$\mathbf{a} + \mathbf{b} = -(\mathbf{c} + \mathbf{d}) \quad (3.15)$$

Những lò xo của chúng ta có lực căng cố định giống nhau:  $|\mathbf{a}| = |\mathbf{b}|$ ; do đó véc tơ  $\mathbf{a} + \mathbf{b}$  nằm trên phân giác của góc  $AXB$ ; tương tự,  $\mathbf{c} + \mathbf{d}$  nằm dọc theo phân giác của góc  $CXD$ . Theo (3.15), các phân giác này nằm dọc theo cùng một đường thẳng; ta đã chứng minh được rằng đường phân giác được dùng chung cho cả hai góc.

Để chỉ ra rằng các góc  $AXB$  và  $CXD$  bằng nhau, ta lưu ý rằng  $|\mathbf{a}| = |\mathbf{b}| = 1$  kéo theo  $|\mathbf{a} + \mathbf{b}| = 2 \cos \angle AXB$ . Tương tự,  $|\mathbf{c} + \mathbf{d}| = 2 \cos \angle CXD$ . Từ (3.15), ta kết luận rằng  $\angle AXB = \angle CXD$ .



Hình 3.29. Tổng  $PA + PB$  là nhỏ nhất khi  $\alpha = \beta$ .

### 3.17 Khoảng cách ngắn nhất đến các cạnh của một góc

**Bài toán.** Một đường tròn nằm bên trong góc nhọn. Từ điểm nào trên đường tròn thì tổng khoảng cách đến các cạnh của góc là nhỏ nhất?

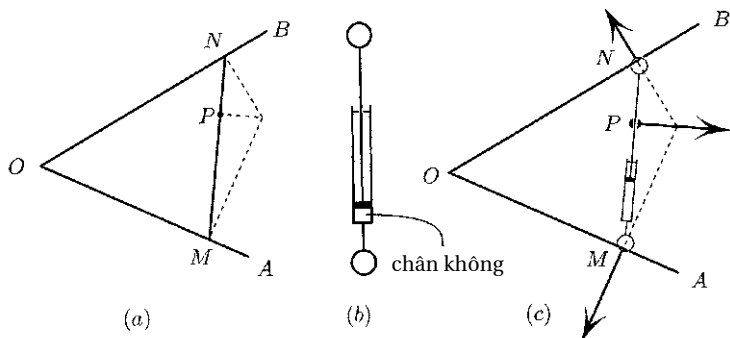
**Lời giải.** Hình 3.29 cho thấy góc nhọn và cái vành hình tròn trên một mặt phẳng nằm ngang. Một sợi dây vòng qua vành, với hai đầu dây vắt qua các cạnh của góc và treo vào đó các quả nặng bằng nhau. Sợi dây là hoàn toàn không ma sát, cho nên nó trực giao với các cạnh của góc tại  $A$  và  $B$ . Theo đó  $PA$  và  $PB$  là độ dài khoảng cách từ  $P$  đến các cạnh của góc.

Độ dài  $AP + PB$  là tỉ lệ với thế năng của hệ cơ – thực vậy,  $AP + PB$  càng lớn, tổng cao độ của hai quả nặng càng lớn. Theo đó cực tiểu của  $AP + PB$  tương ứng với trạng thái cân bằng, và với điều kiện cân bằng của các lực căng tại  $P$ :  $T \cos \alpha = T \cos \beta$ , chính là:

$$\alpha = \beta.$$

Hệ thức này đặc tả điểm  $P$  “tốt nhất” và giải quyết được bài toán.

**Làm rõ câu trả lời.** Điều kiện  $\alpha = \beta$  nói rằng tiếp tuyến tại  $P$  là trực giao với phân giác  $m$ , như được thấy theo hình 3.29(b). Điều này có nghĩa là  $OP$  song song với  $m$ . Diễn đạt rõ ràng hơn: điểm  $P$  “tốt nhất” là đầu mút của bán kính song song với phân giác của góc và hướng về đỉnh của góc. Điểm “tệ nhất” – điểm tối đa hóa  $AP + PB$  – nằm trên bán kính song song với  $m$  nhưng hướng ra ngoài.



Hình 3.30. Để có đoạn ngắn nhất qua  $P$ , ba đường vuông góc đứt nét gặp nhau tại một điểm.

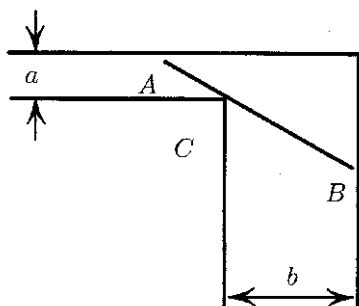
### 3.18 Đoạn ngắn nhất qua một điểm

**Bài toán.** Gọi  $MN$  là đoạn ngắn nhất trong số những đoạn nằm bên trong một góc cho trước  $AOB$  (với  $M$  nằm trên  $OA$  và  $N$  nằm trên  $OB$ ) và đi qua một điểm cho trước  $P$  bên trong góc. Chứng tỏ rằng bộ ba đường vuông góc tại các điểm  $P$ ,  $M$ , và  $N$ , như được thể hiện trong hình 3.30, là đồng quy.

**Lời giải.** Xét thiết bị trong hình 3.30(b) – về thực chất là một thanh thẳng cố co lại, với một hình vành khuyên ở mỗi đầu. Ta lắp đặt thiết bị như cho thấy trong phần (c): thanh trượt tự do xuyên qua một ống bọc tại  $P$  có thể quay, và các hình vành khuyên có thể trượt không ma sát dọc theo hai cạnh của góc.

Nếu đoạn  $MN$  có độ dài nhỏ nhất, khi đó hệ cơ có thể năng nhỏ nhất và khi đó thanh thẳng với hình vành khuyên của nó ở trong trạng thái cân bằng. Theo đó cả ba phản lực

trực giao được thể hiện trong hình 3.30 tác dụng lên thanh và hình vành khuyên cộng lại bằng không, và các moment quay của chúng cũng vậy. Bổ đề về lực đồng quy (mục A.6) phát biểu rằng nếu tổng ba lực bằng không và tổng các moment quay của những lực này bằng không, khi đó đường biểu diễn của bộ ba lực này là đồng quy.



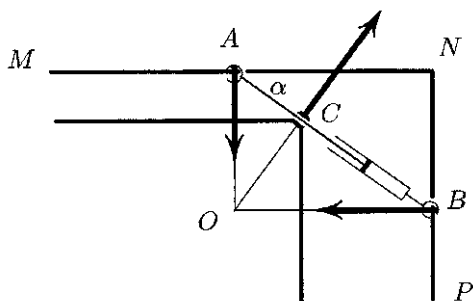
Hình 3.31. Độ dài lớn nhất của thanh sào là bao nhiêu, để có thể mang sào vòng qua góc đường?

### 3.19 Thao diễn với thang

**Bài toán.** Hai hành lang có bề rộng lần lượt  $a$  và  $b$  hợp nhau thành một góc vuông. Độ dài thanh sào lớn nhất là bao nhiêu, để có thể chuyển cái sào vòng được qua góc đường từ hành lang này sang hành lang kia?

**Lời giải.** Bài toán là tìm ra đoạn  $ACB$  có độ dài nhỏ nhất, chuyển qua góc THẤP HƠN, với hai đầu tựa trên các vách ngoài. Ví dụ, hình dung việc mang một cái thang rút ngắn được vòng qua góc và thu ngắn nó nếu không vừa; một khi cái thang chuyển lọt qua góc đường, độ dài của nó sẽ là độ dài nhỏ nhất đề cập ở trên.

“Máy tính” cơ học được chỉ ra trong hình 3.32 giải quyết được bài toán. Một thanh rút ngắn (một ống xi-lanh rút chân không với một piston, như cho thấy trong hình 3.30) có hai hình vành khuyên ( $A$  và  $B$ ) được hàn vào hai đầu. Các hình vành khuyên được luồn qua các đường  $MN$  và  $NP$  như cho thấy. Thanh thẳng có thể trượt xuyên qua một ống tay áo xoay tự do tại  $C$ .



Hình 3.32. Cách giải sử dụng hai hình vành khuyên  $A$  và  $B$ , một thanh xoay quanh  $C$ , và một lò xo.

Thế năng của hệ cơ này là hàm đơn điệu của độ dài  $AB$  và theo đó vị trí của độ dài nhỏ nhất tương ứng trạng thái cân bằng. Bấy giờ, hệ thanh/piston/hình vành khuyên tùy thuộc ba lực được chỉ ra trong hình 3.32. Ở trạng thái cân bằng, tổng lực và moment quay của bộ ba lực này là bằng không, và do đó các đường biểu diễn của các lực là đồng quy\*. Điều này giải quyết được bài toán: để có đoạn thẳng có độ dài nhỏ nhất, ba đường vuông góc\*\* với hai bức tường tại  $A$ ,  $B$ , và với đường  $AB$  tại  $C$  là đồng quy.

\* Xem bổ đề về lực đồng quy, mục A.6.

\*\* Lưu ý rằng các lực thực tế là trực giao các đường tương ứng bởi không có ma sát.

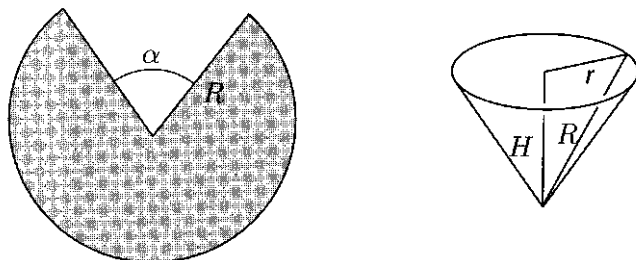
Cách giải hình học dẫn ra một biểu thức giải tích cho góc  $\alpha = \angle NAC$  tức thì. Quả vậy, từ  $\triangle OCA$  và  $\triangle OCB$  ta có:

$$OC = AC \cot \alpha = CB \tan \alpha .$$

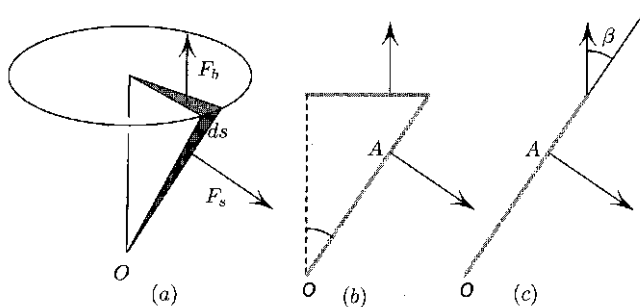
Thay  $AC = a / \sin \alpha$  và  $CB = b / \cos \alpha$  vào biểu thức vừa rồi và giản lược cho ta:

$$\tan \alpha = \left( \frac{a}{b} \right)^{\frac{1}{3}} .$$

Một lần nữa, cách giải này nhanh hơn nhiều so với cách giải giải tích truyền thống.



Hình 3.33. Góc  $\alpha$  sẽ tối đa hóa thể tích của cái ly là bao nhiêu?



Hình 3.34. Tổng moment quay trên phần hình quạt tô đậm bằng không.



### 3.20 Cái ly giấy chứa được nhiều nhất

**Bài toán.** *Tôi muốn làm một cái ly giấy hình nón từ một đĩa giấy hình quạt, bằng cách dán vào nhau các cạnh của hình cắt như cho thấy trong hình 3.33. Bán kính  $R$  của đĩa là biết trước. Để có hình nón với thể tích khả dĩ lớn nhất, góc  $\beta$  giữa đường sinh hình nón và trục đối xứng là như thế nào?*

**Lời giải.** Bài toán là tìm ra hình dạng của hình nón có thể tích khả dĩ lớn nhất, trong mọi hình nón có độ dài đường sinh biết trước.

“Máy tính” cơ học bao gồm một bó những đoạn thẳng có độ dài  $R$  – chúng sẽ hợp thành các đường sinh của hình nón; tất cả đường sinh được bó vào nhau tại một điểm  $O$  cố định trong không gian; các đầu còn lại của những đường sinh này được dính vào một mặt phẳng (đáy của hình nón) nhờ một *ngàm không ma sát*.<sup>\*</sup> Mặt phẳng có thể tự do thay đổi khoảng cách của nó tới  $O$ . Hình nón tạo thành được bơm đầy khí nén. Mặt phẳng, không còn tự do nữa, bị khí đẩy ra xa  $O$  và bị các đoạn thẳng kéo lại gần. Thể tích của hình nón là một hàm nghịch biến của thế năng. Do đó thể tích lớn nhất tương ứng thế năng cực tiểu và với trạng thái cân bằng. Cụ thể, phần đường sinh tô đậm vô cùng nhỏ (hình 3.34) sẽ ở trạng thái cân bằng. Moment quay của các lực trên phần tô đậm quanh  $O$  bằng không, giải quyết được bài toán; chỉ còn phải giải mã phát biểu moment quay bằng

---

\* Có thể tưởng tượng các đầu mút của các đường sinh bị dính từ tính vào mặt phẳng nhưng có thể trượt không ma sát.

không này. Ta sẽ không cần biết các lực trên phần tô đậm tại  $O$ ; bởi có chính xác hai lực còn lại tác dụng lên phần tô đậm này, như được thấy trong hình 3.34(b): (i) lực của áp suất hướng ra ngoài (chữ  $s$  viết bên dưới là viết tắt cho “side”)

$$F_s = pA_s, \quad (3.16)$$

trong đó  $A_s$  là diện tích phần tô đậm, và (ii) lực của ngàm từ mặt phẳng (chữ  $b$  viết bên dưới là viết tắt cho base\*\*)

$$F_b = pA_b, \quad (3.17)$$

trong đó  $A_s$  là diện tích của hình quạt ở đáy. Lưu ý rằng các đường sinh không trực tiếp giao cắt nhau.

Bây giờ, các moment quay ngược hướng của hai lực này quanh  $O$  là trong điều kiện cân bằng, như trong hình 3.34(c):

$$F_s \cdot OA = F_b \sin\beta \cdot R$$

Thế (3.16) và (3.17) vào, ta có:

$$A_s \cdot OA = A_b \sin\beta \cdot R. \quad (3.18)$$

Nhưng  $OA = \frac{2}{3}R$ , bởi trọng tâm của bất kỳ tam giác nào nằm ở điểm hai phần ba của quãng đường từ đỉnh tới đáy. Thêm vào đó,  $A_b / A_s = r / R = \sin\beta$  bởi tỉ lệ của các diện tích của hai tam giác với một đáy chung bằng với tỉ lệ đường cao của chúng. Thay điều này vào (3.18), ta thu được:

---

\* side: cạnh – N.D.

\*\* base: đáy – N.D.

$$\frac{2}{3} = \sin 2\beta,$$

bài toán được giải quyết.

### 3.21 Tam giác có chu vi nhỏ nhất

Một luận cứ cơ học đã gợi ra định lý này, mới vài năm trước đây.\*

**Định lý.** Cho  $K$  là một đường cong phẳng lồi kín tùy ý không chứa đoạn thẳng nào. Cho  $\triangle ABC$  có chu vi nhỏ nhất\*\* trong số những tam giác chứa  $K$ . Khi đó:

1. Ba đoạn thẳng nối đỉnh của  $\triangle ABC$  với tiếp điểm trên cạnh đối diện của  $\triangle ABC$  là đồng quy, nghĩa là chúng gặp nhau tại một điểm; tương đương với định lý Ceva\*\*\*

$$abc = a'b'c',$$

trong đó  $a, a', b, b', c, c'$  là các độ dài được chỉ ra trong hình 3.35(a).

2. Bộ ba đường trực giao với các cạnh của  $\triangle ABC$  tại tiếp điểm là đồng quy (hình 3.35(b)).

**Chứng minh.** Dùng cơ học để chứng minh, như sau:

**Một hệ cơ học.** Khảo sát ba thanh thẳng (vô hạn) hợp thành tam giác  $ABC$ , với mỗi cặp ghép đôi hai thanh được luôn

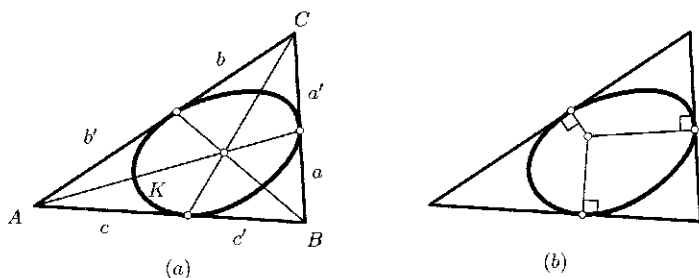
---

\* Xem chứng minh chặt chẽ trong cuốn [L1].

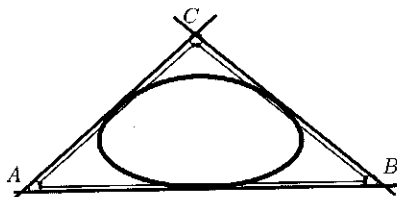
\*\* “Nhỏ nhất” có thể được thay bằng “tối hạn.”

\*\*\* Đối với phát biểu và chứng minh cho bởi cơ học xem bài toán 5.6

qua một hình vành khuyên nhỏ, như cho thấy trong hình 3.36. Các thanh được nối không ma sát với các hình vành khuyên, và theo đó có thể hợp thành một tam giác có hình dáng bất kỳ, trừ điều kiện biên ta áp đặt:  $\triangle ABC$  phải chứa đường cong  $K$  bên trong nó, nghĩa là  $K$  là một vật cản không thể vượt qua đối với các thanh. Bây giờ ta nối mỗi cặp hình vành khuyên bằng một lò xo lực căng bất biến như cho thấy trong hình. Các lò xo cố làm sụp  $\triangle ABC$ , nhưng vật cản  $K$  ngăn cản sự sụp đổ như vậy. Nhắc lại rằng các lò xo của ta có lực căng  $T = 1$ , thế nên thế năng của một lò xo bằng độ dài của nó\*, ta theo đó gán chu vi cho ý nghĩa vật lý của thế năng. Nếu  $\triangle ABC$  có chu vi nhỏ nhất, hệ cơ sẽ ở trạng thái cân bằng.



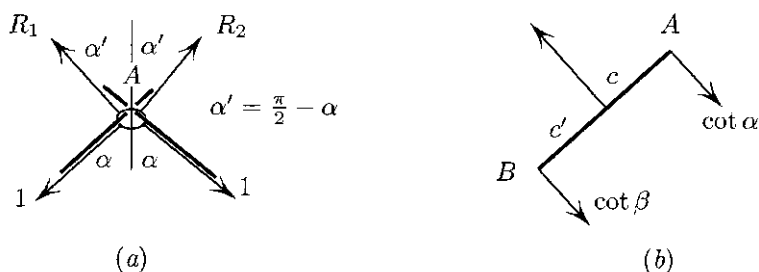
Hình 3.35. Cực tiểu chu vi của  $\triangle ABC$  hàm chỉ sự đồng quy của (a) các đường Ceva và (b) các đường vuông góc.



\* Xem giải thích ngắn gọn trong mục A.1.

Hình 3.36. Mô hình giải thuật cơ học gồm thanh-hình vành khuyên-lò xo.

**SỰ ĐỒNG QUY CỦA CÁC ĐƯỜNG TRỰC GIAO (HÌNH 3.35(b)) BÂY GIỜ HIỆN NGAY TRƯỚC MẶT.** Kết cấu bộ ba thanh, hình vành khuyên, và lò xo, được xét như một hệ, là tùy thuộc một cách cụ thể vào ba phản lực  $\mathbf{F}_k$  từ vật cản  $K$ . Ở trạng thái cân bằng, tổng ba lực này bị triệt tiêu, cũng như tổng moment quay của chúng. Song bổ đề về lực đồng quy (mục A.6) phát biểu rằng trong trường hợp đó các đường biểu diễn của ba lực này là đồng quy. Điều này minh chứng phần thứ hai của định lý.



Hình 3.37. Cân bằng lực trên hình vành khuyên (a) và cân bằng moment quay trên thanh (b).

**CHỨNG MINH CỦA  $abc = a'b'c'$ .** Đối với  $\triangle ABC$  có chu vi nhỏ nhất, từng thanh thẳng là đối tượng của ba phản lực vuông góc được chỉ ra trong hình 3.37: một lực từ  $K$  và hai lực từ hai hình vành khuyên tiếp xúc với thanh. Đối với mỗi thanh, tổng các moment quay của ba lực quanh tiếp điểm là bằng không; điều này dẫn đến (3.19) và (3.20) bên dưới, và ta sẽ trình bày ngay sau đây; nhân các phương trình này với nhau sẽ cho  $abc = a'b'c'$ . Tất cả những gì ta cần làm

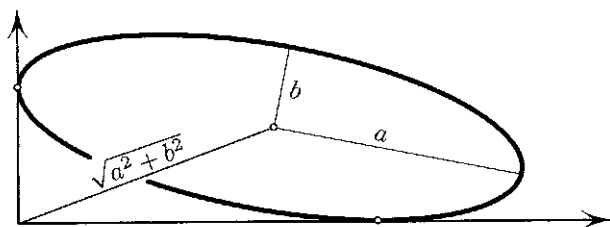
là tìm ra phản lực từ mỗi hình vành khuyên lên thanh. Để cho cụ thể, ta chọn hình vành khuyên  $A$  và thanh  $AB$ . Hình vành khuyên tùy thuộc bốn lực: hai từ các lò xo và hai từ các thanh, như trong hình 3.37(a).

Trước tiên chiếu bốn lực này lên phân giác của góc  $A$  và sau đó lên đường trực giao với phân giác ta thu được từ điều kiện cân bằng lực:

$$R_1 \cos \alpha' + R_2 \cos \alpha' = 2 \cos \alpha, \quad R_1 \sin \alpha' - R_2 \sin \alpha' = 0,$$

trong đó  $\alpha' = \frac{\pi}{2} - \alpha$ . Từ phương trình thứ hai  $R_1 = R_2$  (tự thân nó đã là một dữ kiện thú vị!), và từ phương trình đầu tiên, sử dụng  $\cos \alpha' = \sin \alpha$  ta thu được:

$$R_1 = \cot \alpha.$$



Hình 3.38. Khoảng cách từ tâm của ellipse đến gốc tọa độ là không đổi.

Đây là phản lực từ thanh  $AB$  lên hình vành khuyên  $A$ . Theo định luật 3 Newton, thanh  $AB$  chịu một lực như vậy phản hồi từ hình vành khuyên. Ta nhắc lại rằng lực này vuông góc thanh, bởi hình vành khuyên là không ma sát. Hình 3.37(b) tóm lược tất cả lực tác dụng lên thanh  $AB$ . Điều kiện cân bằng moment quay của các lực này quanh

tiếp điểm cho:

$$c \cot \alpha = c' \cot \beta. \quad (3.19)$$

Một cách tương tự, ta có:

$$\begin{aligned} a \cot \beta &= a' \cot \gamma, \\ b \cot \gamma &= b' \cot \alpha. \end{aligned} \quad (3.20)$$

Nhân ba phương trình này với nhau như đề cập từ trước, và triệt tiêu, ta thu được  $abc = a'b'c'$ . Hệ thức này đến lượt nó lại cho thấy sự đồng quy của các đường Ceva trong định lý Ceva.\*

### 3.22 Hình ellipse trong góc kẹt

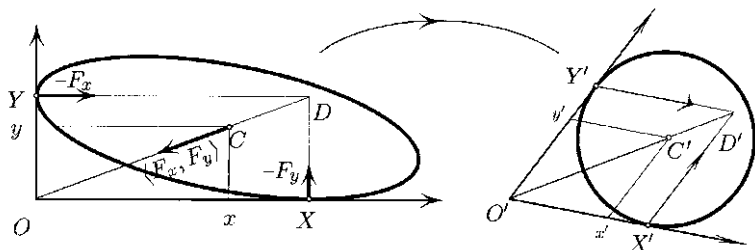
Bài toán này lấy từ một kỳ thi toán học Putnam\*\*.

**Bài toán.** *Khảo sát một hình ellipse nằm trong góc phần tám thứ nhất của mặt phẳng  $(x, y)$  và tiếp xúc các trục tọa độ. Chứng minh rằng khoảng cách từ điểm giữa của ellipse đến gốc tọa độ chỉ phụ thuộc vào các bán trục của ellipse chứ không phụ thuộc phương định hướng của nó.*

---

\* Ta chứng minh định lý này sử dụng khái niệm tâm khối trong mục 5.6. Một cách xử lý hình học rất tốt của định lý Ceva có thể tìm thấy trong cuốn [CG].

\*\* Kỳ thi toán học William Lowell Putnam, thường gọi tắt Kỳ thi Putnam, là một cuộc thi thường niên dành cho sinh viên đại học của Mỹ và Canada. Cuộc thi được tổ chức lần đầu vào năm 1938, và hiện do Hội Toán học Mỹ quản lý. – N.D.



Hình 3.39. Hình ellipse ở trạng thái cân bằng phiếm định nếu hai hình chữ nhật là đồng dạng.

Từ đó sẽ thu được kết quả sau: nếu ta quay hình ellipse trong khi giữ nó vẫn tiếp xúc với các trục, tâm của nó sẽ vạch ra một cung tròn. Trong trường hợp suy biến đơn giản hơn khi hình ellipse là một đoạn thẳng, cung tròn sẽ trở thành một góc chia tư đường tròn.

**Lời giải.** Sau đây là lời giải cho bài toán này, sử dụng cơ học.

**Hệ cơ tính.** Xem hình ellipse như một vật rắn trượt không ma sát dọc theo các trục tọa độ. Một lò xo kéo căng buộc tâm hình ellipse với gốc tọa độ (hình 3.39). Thế năng của lò xo là một hàm hiệp biến với độ dài của nó,\* và do đó *cực tiểu của độ dài tương đương với cực tiểu của thế năng, chính là với trạng thái cân bằng*. Tóm lại: chỉ cần chứng tỏ rằng hình ellipse ở trạng thái cân bằng trong bất cứ phương nào.

**MỘT ĐIỀU KIỆN CÂN BẰNG.** Để chứng tỏ rằng hình ellipse cân bằng ở vị trí bất kỳ, chỉ cần chỉ ra rằng hai hình chữ nhật được cho thấy trong hình 3.39 là đồng dạng.

\* Bản chất riêng biệt của lò xo không quan trọng trong cách giải này.



Thực vậy, để ba lực tác dụng lên hình ellipse (hai phần lực và một lò xo), và để tổng moment quay của các lực này triệt tiêu, điều kiện cần và đủ là các đường biến đổi của các lực này đồng qui theo bổ đề về lực đồng quy ở mục A.6. Điều kiện sau tương đương với sự đồng dạng của hai hình chữ nhật. Bài toán của ta đã được rút gọn về việc chứng minh sự đồng dạng của hai hình chữ nhật, một điều rất lý thú, nhưng chứng minh làm sao?

**HOÀN TẤT CHỨNG MINH.** Tôi không muốn giả định rằng người đọc quen thuộc với phép biến đổi tuyến tính, nên phần thảo luận này không sử dụng chúng. Thay vào đó hãy hình dung vẽ hình 3.39 trên một tấm thủy tinh hữu cơ và dựng nghiêng tấm này dưới ánh mặt trời sao cho bóng của hình ellipse trên mặt phẳng ngang là hình tròn. Bởi các đường song song đổ thành các bóng song song, hai hình chữ nhật của ta trở thành những hình bình hành. Thực tế, những hình bình hành này là hình thoi, như ta sẽ giải thích ngắn gọn sau, và bởi các hình thoi này có chung một góc, nên chúng đồng dạng với nhau. Các hình chữ nhật ban đầu lúc đó cũng đồng dạng, bởi phép chiếu hình giữ nguyên tính đồng dạng. Còn phải giải thích tại sao các hình chữ nhật trở thành hình thoi. Hình bình hành  $O'x'C'y'$  là một hình thoi bởi đường chéo của nó  $O'C'$  là phân giác góc, điều suy ra từ dữ liệu rằng  $C'$  là tâm của hình tròn và rằng  $O'X'$  và  $O'Y'$  là tiếp tuyến với đường tròn. Hình bình hành  $O'X'D'Y'$  là một hình thoi bởi  $O'x' = D'y'$ , cũng như là hai đoạn tiếp tuyến với đường tròn.

### 3.23 Bài tập

Yêu cầu tìm ra cách giải vật lý cho các bài tập sau.

1. Trong số các hình vuông có diện tích  $S$  cho trước tìm hình có chu vi lớn nhất.
2. Trong số những khối đặc hình vuông có thể tích cho trước, tìm khối có diện tích bề mặt nhỏ nhất.
3. Tìm tam giác vuông có diện tích lớn nhất, với tổng độ dài của một cạnh và cạnh huyền biết trước.
4. Tìm hình vuông có diện tích lớn nhất, biết rằng hai đỉnh của hình vuông nằm trên một dây cung của một đường tròn cho trước, và hai đỉnh còn lại nằm trên đường tròn, trên dây cung ngắn hơn.
5. Vẽ nội tiếp hình chữ nhật có chu vi lớn nhất trong một tam giác có cạnh đáy  $b$  và đường cao  $h$ .
6. Tìm các kích thước  $b$  và  $h$  của hình chữ nhật nội tiếp đường tròn cho giá trị  $bh^2$  lớn nhất. (Lưu ý: Đây là bài toán cắt một cái dầm cứng nhất ra khỏi lòng gỗ cho trước; độ bền uốn của một thanh dầm là tỉ lệ với  $bh^2$ .)
7. Vẽ một khối chữ nhật có thể tích lớn nhất nội tiếp trong một khối bán cầu có bán kính cho trước.
8. Vẽ nội tiếp một hình trụ có thể tích lớn nhất trong một khối cầu có bán kính cho trước.
9. Vẽ một hình nón có thể tích nhỏ nhất ngoại tiếp một khối cầu có bán kính cho trước  $R$ .
10. Tìm hình trụ có diện tích bề mặt lớn nhất nội tiếp một hình nón mà tiết diện dọc trục có góc  $2\alpha$  tại đỉnh và đáy có bán kính  $R$ .
11. Tìm tiếp tuyến của hình ellipse  $x^2/a^2 + y^2/b^2 = 1$  tạo với góc phần tư đầu tiên một hình tam giác có diện tích nhỏ nhất.

12. Một khối rắn bao gồm một hình trụ với một hình bán cầu ở trên cùng. Tỷ lệ nào của khối rắn này sẽ tối thiểu hóa diện tích của nó ứng với một thể tích cho trước?
13. Tìm các kích cỡ phù hợp của một khối cầu và một khối lập phương có tổng thể tích cho trước mà diện tích bề mặt lớn nhất.
14. Tiết diện ngang của một con kênh có dạng của một hình thang cân. Độ dốc nào của các cạnh bên sẽ tối thiểu hóa “chu vi ướt” của tiết diện, biết diện tích  $S$  của hình thang và độ sâu  $h$ ?
15. Một tuyến đường sắt đi qua một kho hàng  $B$ , và nằm cách một khoảng  $a$  tới thị trấn  $A$ . Một con đường thẳng phải được xây nối tuyến đường sắt đến thị trấn. Đây là góc con đường này nên hợp thành với tuyến đường sắt để tối thiểu hóa chi phí xây dựng, biết rằng chi phí vận chuyển dọc theo con đường là  $n$  lần nhiều hơn dọc theo đường sắt ( $n > 1$ )?
16. Xét tam giác có chu vi lớn nhất nội tiếp một đường cong lồi  $K$ . Chứng minh rằng hai cạnh kề nhau hợp thành những góc bằng nhau với tiếp tuyến với  $K$  tại đỉnh chung. Chứng minh rằng tính chất như vậy giữ nguyên cho bất cứ đa giác  $n$ -cạnh có chu vi lớn nhất (hay thậm chí là tới hạn) nào.
17. (Bài tập mở rộng). Khảo sát một tứ diện có diện tích nhỏ nhất ngoại tiếp một khối lồi cho trước  $K$ . Cho biết một đặc trưng hình học của loại tứ diện thể này.

# 4

## BẤT ĐẲNG THỨC CHO BỎI ĐOẢN MẠCH

### 4.1 Giới thiệu

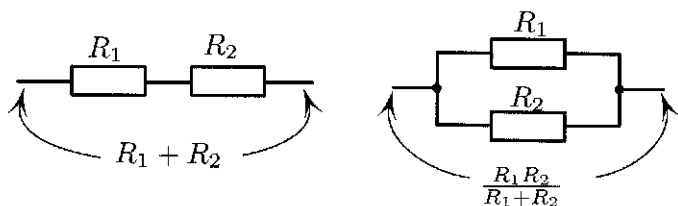
Những kiến thức được tóm tắt dưới đây sẽ đủ cho việc đọc hiểu chương này. Những khái niệm chi tiết hơn có thể tìm thấy trong phụ lục.

**Cường độ dòng điện.** Cường độ dòng trong một dây đồng là thông lượng của “chất khí” electron trong ô mạng ion đồng, tương tự như thông lượng của nước trong một ống dẫn. Cũng như thông lượng của nước qua ống dẫn được đo bằng số gallon trên mỗi giây, cường độ dòng điện được đo bằng số đơn vị điện tích trên mỗi giây, di chuyển qua một tiết diện ngang của dây dẫn. Cường độ dòng được ký hiệu bằng  $I$  và được biểu diễn bằng đơn vị coulomb trên mỗi giây, hay ampere.

**Điện áp.** Ta hãy xem xét một dòng chảy ổn định của nước trong một ống dẫn dài. Bởi vì ma sát với thành ống, dòng nước muốn chảy chậm lại. Bởi dòng được coi như ổn định, áp lực ngược dòng cao hơn; đó chính là gradient áp lực mà nước được bơm đi ở vận tốc ổn định. Theo cách như vậy,

một dòng điện ổn định truyền qua dây dẫn đòi hỏi sức ép không đổi của áp lực điện, được gọi là điện áp. Sự chênh lệch điện áp đẩy các electron chuyển động dọc theo dây.

**Điện trở.** Để cho đơn giản, ta hình dung nước chảy ổn định qua một ống dẫn không ma sát, nhưng bẩy giờ ống dẫn có một vật cản xốp. Chênh lệch áp lực ở hai đầu vật cản giữ cho dòng chảy ổn định. Lưu ý rằng lượng nước bơm mỗi giây càng nhiều thì chênh lệch áp suất càng lớn. Một cách tương tự, ta xét một dây dẫn với một thiết bị điện trở, ví dụ dây tóc của một bóng đèn tròn – tương tự với nút bịt không kín trong ống dẫn nước. Có một dòng điện ổn định  $I$  truyền qua dây dẫn. Hoàn toàn tương tự với dòng nước, sẽ có chênh lệch điện áp  $V$  ở hai đầu thiết bị điện trở, và nếu dòng càng lớn thì chênh lệch điện áp sẽ càng lớn. Thật ra, thực nghiệm cho thấy một quan hệ tuyến tính  $V = RI$  (định luật Ohm), trong đó  $R$  là một hằng số. Hằng số này được gọi là giá trị điện trở - một cái tên rất hợp lý, bởi một giá trị  $R$  lớn biểu thị một giá trị  $V$  (“chênh lệch áp suất”) lớn ứng với một dòng  $I$  (thông lượng) cho trước.



Hình 4.1. Điện trở trong mạch mắc nối tiếp; và dòng điện trong mạch mắc song song sẽ được cộng dồn.

**Điện trở mạch nối tiếp và mạch song song.** Đối với hai thiết bị điện trở  $R_1$  và  $R_2$  mắc nối tiếp (xem hình 4.1), giá trị điện trở tương đương là:

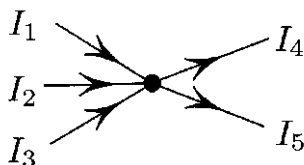
$$R = R_1 + R_2. \quad (4.1)$$

Đối với hai thiết bị điện trở mắc song song, giá trị điện trở tương đương là:

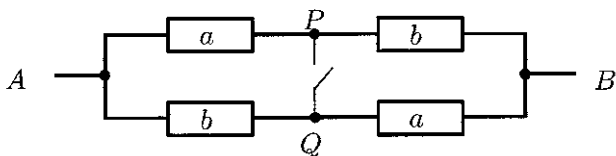
$$\frac{1}{R} = \frac{1}{R_1} + \frac{1}{R_2}. \quad (4.2)$$

Một chứng minh ngắn gọn của điều này được trình bày trong phụ lục; ở đây tôi chỉ cần nói rằng cả hai quy luật này đều đúng với thực quan. Quy luật thứ hai có lẽ cần được giải thích. Khi hai thiết bị điện trở được mắc song song, mạch tương đương dẫn điện tốt hơn, bởi nó có hai kênh dẫn điện. Có thể nghĩ rằng suất dẫn điện là tổng suất dẫn điện của mỗi nhánh. Thực tế, đây chính là điều mà quy luật (4.2) phát biểu, nếu ta định nghĩa suất dẫn điện như nghịch đảo của giá trị điện trở.

**Định luật 2 của Kirchhoff.** Tổng dòng điện vào một nút nơi những dây dẫn được nối với nhau bằng với tổng dòng điện ra khỏi nút.



Hình 4.2. Định luật 2 Kirchhoff.



Hình 4.3. Nối tắt  $P$  với  $Q$  làm giảm giá trị điện trở tương đương, và nó lý giải bất đẳng thức (4.3).

Với ví dụ trong hình 4.2, định luật cho ta  $I_1 + I_2 + I_3 = I_4 + I_5$ . Định luật này diễn tả việc điện tích không thể tích lũy tại một nút, cũng như nước không thể đọng lại mối nối của ống dẫn.

## 4.2 Chứng minh trung bình cộng lớn hơn trung bình nhân chỉ bằng cách đóng mở công tắc

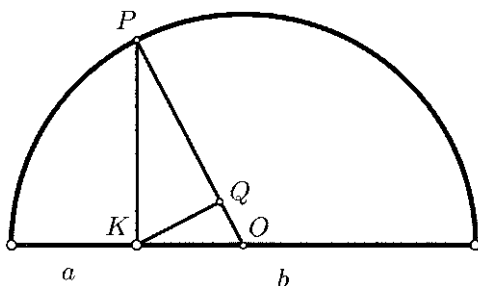
Mạch điện trong hình 4.3 được làm nên bằng những điện trở có giá trị  $a$  và  $b$ . Bắt đầu với công tắc hở như trong hình, mỗi nhánh song song có điện trở tương đương  $a + b$ . Bởi hai nhánh mắc song song, tổng điện trở tương đương giữa  $A$  và  $B$  là  $\frac{a+b}{2}$ , dẫn theo (4.2). Bây giờ ta hãy đóng công tắc. Giá trị điện trở tương đương của mạch điện với một nối tắt là ngang bằng hoặc nhỏ hơn giá trị trước.\*

Giá trị điện trở mới và nhỏ hơn này là gì? Bây giờ ta có hai thiết bị điện trở mắc nối tiếp, mỗi cái có độ lớn  $(a^{-1} + b^{-1})^{-1} = \frac{ab}{a+b}$ . Theo đó:

---

\* Phát biểu rõ ràng hiển nhiên này nên được chứng minh một cách chặt chẽ. Ta sẽ đưa ra một chứng minh như vậy để thỏa lòng những người hoài nghi, nhưng tâm điểm của ta ở đây là thiết lập mối liên kết (số học và mạch điện ở bài toán hiện tại) hơn là một chứng minh.

$$\frac{a+b}{2} \geq \frac{2ab}{a+b}. \quad (4.3)$$



Hình 4.4. Số trung bình: cộng, nhân, điều hòa:

$$PO = (a+b)/2, PK = \sqrt{ab}, PQ = ((a^{-1} + b^{-1})/2)^{-1}.$$

Điều này kéo theo bất đẳng thức giữa số trung bình cộng và số trung bình nhân được phát biểu ở tiêu đề của mục.

**Chú ý 1.** Phương trình (4.3) kéo theo không chỉ bất đẳng thức giữa trung bình cộng và nhân, mà còn với số trung bình điều hòa  $((a^{-1} + b^{-1})/2)^{-1} = 2ab/(a+b)$ :

$$\frac{a+b}{2} \geq \sqrt{ab} \geq \frac{2ab}{a+b}. \quad (4.4)$$

Quả vậy, nếu  $A \geq B > 0$ , khi đó  $\sqrt{A} \geq \sqrt{B}$ ; nhân bất đẳng thức này với  $\sqrt{A}$  và sau đó với  $\sqrt{B}$  ta thu được  $A \geq \sqrt{AB} \geq B$ . Bây giờ xem hai vế của (4.3) như  $A$  và  $B$  và áp dụng bất đẳng thức sau cùng ta được (4.4).

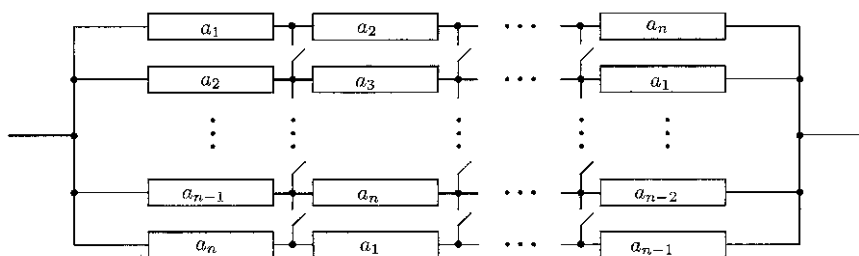
**Chú ý 2.** (Một diễn giải hình học của bất đẳng thức (4.4).) Coi  $a$  và  $b$  là các độ dài của hai đoạn thẳng kề nhau, và xem



xét một hình bán nguyệt có đường kính là tổng của hai đoạn này. Dựng đường vuông từ điểm  $K$  nơi hai đoạn trên tiếp giáp, và gọi  $P$  là điểm giao của đường vuông góc này với hình bán nguyệt. Gọi  $O$  là tâm của hình bán nguyệt và  $Q$  là chân của đường trục giao từ  $K$  trên bán kính  $OP$ . Có thể chỉ ra rằng:

$$PK = \sqrt{ab}, \quad PO = \frac{a+b}{2}, \quad PQ = \frac{2ab}{a+b}.$$

Điều này đem lại một diễn giải/chứng minh hình học của bất đẳng thức (4.4).



Hình 4.5. Đóng tắt cả công tắt làm giảm điện trở giữa  $A$  và  $B$ .

### 4.3 Trung bình cộng $\geq$ Trung bình điều hòa của $n$ số

Hãy nhớ lại định nghĩa của trung bình điều hòa: mỗi số hạng được nghịch đảo; số trung bình điều hòa của những nghịch đảo này được tính ra và sau đó kết quả được nghịch đảo lần nữa. Đại thể, trung bình điều hòa là trung bình cộng nhìn qua lăng kính của phép nghịch đảo.

Sau đây là một chứng minh bằng mô hình điện rằng trung bình cộng lớn hơn hai dạng trung bình còn lại:

$$\frac{1}{n} \sum_{k=1}^n a_k \geq \left( \frac{1}{n} \sum_{k=1}^n a_k^{-1} \right)^{-1}. \quad (4.5)$$

Từng hàng trong hình 4.5 gồm các điện trở như nhau. Lưu ý rằng mỗi hàng liền sau là một chu kỳ hoán vị của dòng liền trước; nhờ vào dữ kiện này, mỗi cột cũng gồm các điện trở như nhau.

Ta bắt đầu với tất cả công tắc để hở; bằng cách đóng sập tất cả chúng cùng một lúc ta sẽ chứng minh được bất đẳng thức bên trên. Cụ thể như sau.

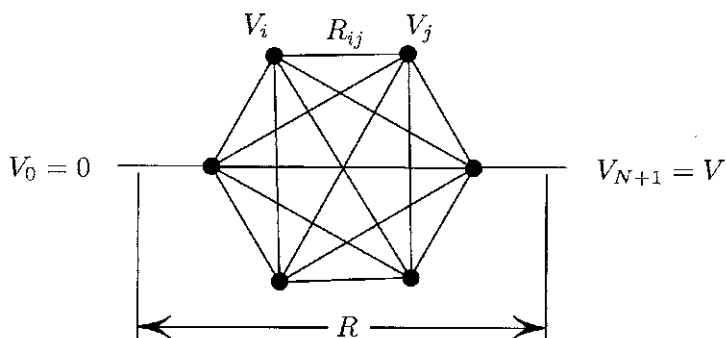
**Tất cả công tắc để hở.** Mọi hàng có giá trị điện trở như nhau  $\sum_{k=1}^n a_k$ ;  $n$  điện trở song song giống hệt nhau cho giá trị điện trở tương đương giữa  $A$  và  $B$ :

$$\frac{1}{n} \sum_{k=1}^n a_k.$$

**Tất cả công tắc đóng kín.** Mỗi cột bao gồm  $n$  thiết bị điện trở song song, và theo đó có giá trị điện trở  $\left( \sum_{k=1}^n a_k^{-1} \right)^{-1}$ , như được chứng tỏ trong phụ lục ở mục A.14. Với  $n$  cột như vậy nối tiếp, điện trở tương đương giữa  $A$  và  $B$  là lớn hơn  $n$  lần:

$$n \left( \sum_{k=1}^n a_k^{-1} \right)^{-1} = \left( \frac{1}{n} \sum_{k=1}^n a_k^{-1} \right)^{-1}.$$

Điều này minh chứng nhận định (4.5).



Hình 4.6. Các điện áp tại đỉnh tối thiểu hóa năng lượng hao phí (4.6).

#### 4.4 Có phải đoán mạch làm giảm giá trị điện trở?

Ta xem xét một mạng lưới những thiết bị điện trở; một ví dụ như trong hình 4.6. Một tập hợp những điểm nối thành đường như vậy được gọi là đồ thị. Các điểm được gọi là các đỉnh, và các đường thẳng được gọi là các cạnh của đồ thị. Trong hình vẽ của chúng ta các cạnh là các thiết bị điện trở nối kết các đỉnh. Hai đỉnh  $i$  và  $j$  bất kỳ được nối với nhau bằng một điện trở  $R_{ij}$ . Ta cho phép  $R_{ij} = \infty$ , nghĩa là không phải tất cả cặp đỉnh cần được nối điện. Giá trị  $R_{ij} = 0$  tương ứng với đoạn mạch giữa hai đỉnh  $i$  và  $j$ .

**Định luật đơn điệu của Rayleigh.** Ta hãy cố định hai đỉnh trong đồ thị, như được thấy trong hình 4.6, và xem xét điện trở tương đương giữa chúng;  $R$  là một hàm số của  $R_{ij}$ . Rất dễ nhận ra rằng nếu bất cứ  $R_{ij}$  nào tăng, khi đó giá trị điện trở toàn thể cũng tăng. Phát biểu này được biết đến như là

*định luật đơn điệu Rayleigh.*\* Ở hai mục trước đây ta đã dùng một trường hợp đặc biệt của nguyên lý này: bằng cách tạo ra một nối tắt, ta đã biến đổi giá trị điện trở nào đó từ  $\infty$  đến 0, theo đó làm giảm giá trị điện trở toàn thể.

Sau đây là chứng minh của định luật đơn điệu Rayleigh. Nhằm hiệu chỉnh ký hiệu, xem như giản đồ của chúng ta bao gồm  $N + 2$  đỉnh  $v_0, v_1, \dots, v_N, v_{N+1}$  (hình 4.6), và ta hãy xem xét giá trị điện trở  $R$  giữa  $v_0$  và  $v_{N+1}$ . Nhằm hiệu chỉnh mọi thứ, ta áp một điện áp  $V$  giữa  $v_0$  và  $v_{N+1}$ . Ta có thể chọn  $V_0 = 0$  (tức là ta có thể cho đỉnh  $v_0$  nối đất), và theo đó ta có  $V_{N+1} = V$ .

Nếu  $V$  là điện áp hai đầu một thiết bị điện trở  $R$ , khi đó công suất hao trên thiết bị điện trở là  $V^2 / R$  (điều này được giải thích trong phụ lục ở mục A.16.). Theo đó **nếu** ta bằng cách nào đó duy trì điện áp  $V_k$ , tại các đỉnh  $v_k$ , khi đó công suất hao phí trong mạng lưới sẽ là:

$$P(\tilde{V}_1, \dots, \tilde{V}_N) = \sum_{i,j=0}^{N+1} \frac{(\tilde{V}_i - \tilde{V}_j)^2}{R_{ij}}, \quad (4.6)$$

trong đó  $V_0 = V_0$ ,  $V_{N+1} = V_{N+1} = V$ .

Trong thực tế, ta chỉ điều chỉnh được điện áp  $V_{N+1} = V$ , để các điện áp “tự do” còn lại  $V_k, 1 \leq k \leq N$  “tự do”, “tự quyết định” sẽ ra sao.

Sau đây là một nhận định thú vị: *Công suất thực thụ P hao phí trên mạng lưới là khả dĩ nhỏ nhất ứng với một điện áp cho trước (4.6):*

---

\* Đọc giả nên đọc một cuốn sách rất hay, cuốn [DS] cho những chi tiết và tham khảo sâu hơn.

$$P = \min_{\tilde{V}_1, \dots, \tilde{V}_N} \sum_{i,j=0}^{N+1} \frac{(\tilde{V}_i - \tilde{V}_j)^2}{R_{ij}}, \quad V_0 = 0, \quad V_{N+1} = V. \quad (4.7)$$

Tôi giải thích điều này ở đoạn kế tiếp, nhưng trước hết ta hãy dùng nó để hoàn tất chứng minh cho nguyên lý Rayleigh. Do  $R_{ij}$  nằm ở mẫu số, nên  $P$  là một hàm *nghịch biến* với mỗi  $R_{ij}$ . Nhưng bởi  $P = V^2 / R$ , tức là,  $R = V^2 / P$ , ta kết luận rằng  $R$  là một hàm *hiệp biến* với mỗi  $R_{ij}$ . Đây là minh chứng cho nguyên lý Rayleigh, ngoại trừ việc chúng ta còn phải kiểm tra (4.7).

Gọi  $(V_1, \dots, V_N)$  là các giá trị điện áp thực có tại các đỉnh  $v_1, \dots, v_N$ . Ta có:

$$\frac{1}{2} \frac{\partial}{\partial V_k} P(V_1, \dots, V_N) = \sum_{i=0}^{N+1} \frac{V_k - V_i}{R_{ki}} \stackrel{\text{Ohm}}{=} \sum_{i=0}^{N+1} I_{ki} \stackrel{\text{Kirchhoff}}{=} 0.$$

(Kiến thức cơ bản về định luật Ohm và Kirchhoff sẽ được trình bày ở mục A.12 và A.13.) Nhưng  $P(V_1, \dots, V_N)$  là một hàm số dương bậc hai, và do đó nó có một điểm tới hạn là cực tiểu duy nhất. Ta đã chỉ ra rằng *điện áp thực tế  $V_k$  tối thiểu hóa hàm công suất*. Công suất hao phí trên mạng lưới trong thực tế được cho bởi cực tiểu của hàm công suất, và điều này chứng minh (4.7)

## 4.5 Bài tập

1. Chứng minh rằng bất đẳng thức:

$$\frac{1}{\frac{1}{a+b} + \frac{1}{c+d}} \geq \frac{1}{\frac{1}{a} + \frac{1}{c}} + \frac{1}{\frac{1}{b} + \frac{1}{d}}$$

đúng với những số hạng  $a, b, c, d$  dương bất kỳ. Gợi ý: Khảo sát mạch điện trong hình 4.3, và thay đổi giá trị điện trở nào đó. (Tham khảo thêm về cách tiếp cận này, xem cuốn [DS].)

2. Tìm một diễn giải cơ học của biểu thức (4.6) bằng cách dùng lò xo.
3. Tìm một mô phỏng dạng cơ của điện áp, cường độ dòng, điện trở, định luật 2 Kirchhoff, và định luật Ohm. Gợi ý: sử dụng lò xo có hằng số Hooke  $k_{ij} = 1 / R_{ij}$ .
4. Cho một diễn giải cơ học của nguyên lý công-suất-tối-thiểu-hóa.
5. Tìm một mô phỏng dạng cơ của (4.1) và (4.2) bằng cách dùng lò xo.

# 5

## TÂM KHỐI: LUẬN CỨ VÀ CÁCH GIẢI

### 5.1 Giới thiệu

Khái niệm về tâm khối đã được Archimedes sử dụng hơn 2400 năm về trước\*. Khá lâu sau Euler mới giới thiệu một khái niệm khác, cũng liên quan đến khối, đó là moment quán tính (xem mục A.9). Khái niệm này gọi ra lời giải đẹp cho nhiều bài toán, xem cuốn [BB]. Sau đây tôi giải một số bài toán khác sử dụng khái niệm tâm khối.

Cần nhắc lại rằng tâm khối của một vật là điểm cân bằng của vật đó; vật được treo ở điểm đó là ở trạng thái cân bằng theo phương bất kỳ nào. Nội dung chi tiết có thể được tìm thấy trong phụ lục (mục A.8).

Một khía cạnh thú vị là ngay từ khi còn nhỏ chúng ta chấp nhận rằng có tồn tại cái điểm cân bằng duy nhất đó. Điều

---

\* Thật là ấn tượng khi đọc tác phẩm của Archimedes; hiện sẵn có thông qua Google Books tại địa chỉ <http://books.google.com/books?id=suYGAAAAYAAJ>. Sự ứng dụng đáng ghi nhận của Archimedes trong sử dụng các khái niệm tâm khối cho các phép toán tính phân được diễn giải trong cuốn sách của Polya, cuốn [P].

này nghĩa là chúng ta chấp nhận điểm cân bằng không phụ thuộc vào phương hướng của vật thể. Giả định này là đúng, nhưng chỉ khi trường trọng lực bất biến. Trong trường trọng lực biến thiên, vị trí cân bằng sẽ phụ thuộc vào phương của vật thể; sau đây là một ví dụ. Trong môi trường thuần nhất, một thanh thẳng sẽ cân bằng tại tâm hình học của nó. Mặc dù trường trọng lực có biến thiên ngay cả trong không gian khép kín của căn phòng, sự biến thiên cực nhỏ này bị chìm đi so với các lực đẩy nổi mạnh hơn rất nhiều của không khí, ma sát tại các đầu trục v.v... Tuy vậy, nếu những sai lệch khó chịu này được loại trừ bằng cách nào đó, chúng ta sẽ quan sát thấy một hiệu ứng bất ngờ: chiếc que sẽ cân bằng tại tâm của nó chỉ theo những phương đặc biệt - nằm ngang và thẳng đứng. Để đạt được cân bằng tại các góc lệch khác chúng ta phải treo chiếc que lệch tâm tại một điểm phụ thuộc vào góc lệch. Hiệu ứng này cực nhỏ trên trái đất, nhưng có thể quan sát được rõ ràng trong chuyển động của các vệ tinh. Vệ tinh dạng dài quay theo phương hướng tâm.

## 5.2 Tìm tâm khối của nửa đường tròn bằng định luật Bảo toàn năng lượng

**Bài toán.** *Tìm tâm khối của một dây dẫn hình bán nguyệt có mật độ dài\* không đổi.*

Tâm khối của một vật thể có mật độ không đổi là một khái niệm hình học thuần túy, được gọi là *trọng tâm*.

---

\* Mật độ dài của dây dẫn được định nghĩa là khối lượng vật chất trên một đơn vị chiều dài dây dẫn.



Đây là một bài tập giải tích cơ bản về tính tích phân – nhưng với một mẹo cơ học, tôi sẽ bỏ qua được phép tính tích phân. Tôi sẽ chỉ dựa vào dữ kiện sau:

$$\lim_{\theta \rightarrow 0} \frac{1 - \cos \theta}{\theta^2} = \frac{1}{2}, \quad (5.1)$$

Nó có thể được chứng minh bằng cách sử dụng quy tắc l'Hopital hoặc khai triển Taylor\*.

**Lời giải.** Ta hãy treo dây dẫn nửa đường tròn lên tại tâm của nó, như trong hình 5.1: hãy hình dung dán dây dẫn vào một tấm bảng không khối lượng và cho phép tấm bảng xoay lắc lư trên mặt phẳng thẳng đứng quanh một chiếc đinh đóng xuyên qua tâm của hình bán nguyệt. Tới đây, ta hãy vắn dây dẫn nghiêng một góc nhỏ  $\theta$ , như cho thấy trong hình 5.1, rồi tính công thực hiện theo hai cách khác nhau.

Một mặt, ta nâng trọng tâm lên một độ cao

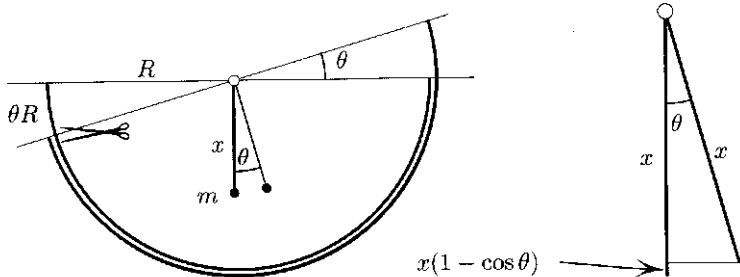
$$H = x - x \cos \theta = x(1 - \cos \theta);$$

ta theo đó thực hiện công  $W = mgH$ , tức là:

$$W = mgx(1 - \cos \theta). \quad (5.2)$$

---

\* Cũng có thể diễn giải điều này bằng luận cứ (động học) vật lý bằng cách xem xét gia tốc của một điểm di chuyển trên đường tròn, nhận  $\theta$  là thời gian. Tôi để lại phần giải thích này cho người đọc như là một bài tập nhỏ.



Hình 5.1. Di chuyển cung  $\theta R$  từ trái sang phải tốn một công bằng với nâng tâm khối lên một đoạn  $x(1 - \cos \theta)$ , dẫn đến (5.3)

Nhưng, mặt khác, hiệu quả của việc xoay dây dẫn tương đương với việc nâng cung  $\theta R$  (hình 5.1) lên một độ cao  $h = \theta R + \varepsilon$ , trong đó  $\varepsilon$  là nhỏ so với  $\theta$  theo nghĩa  $\varepsilon / \theta \rightarrow 0$  khi  $\theta \rightarrow 0$ . Việc đó tiêu tốn một công  $W = \mu gh$ , với  $\mu$  là khối lượng của cung  $\theta R$ . Lúc này  $\mu = \frac{\theta}{\pi} m$ , bởi khối lượng cung tròn phụ thuộc vào kích thước cung. Thay các biểu thức của  $h$  và  $\mu$  vào  $W = \mu gh$  ta thu được:

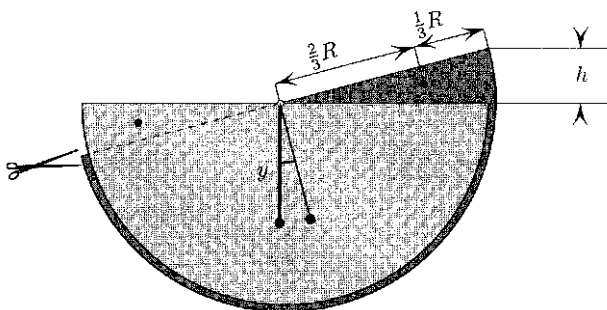
$$W = mg \frac{R}{\pi} \theta^2 + \varepsilon ,$$

trong đó  $\varepsilon$  là sai số nhỏ so với  $\theta$ , theo nghĩa đã được đề cập ở trên. Đồng nhất biểu thức của  $W$  với (5.2), sau khi triệt tiêu  $mg$ :

$$x(1 - \cos \theta) = \frac{R}{\pi} \theta^2 + \varepsilon . \quad (5.3)$$

Sau đó, bằng cách chia hệ thức nhận được cho  $\theta^2$  và cho  $\theta \rightarrow 0$ , ta có  $x/2 = \frac{R}{\pi}$  (sử dụng 5.1), hay

$$x = \frac{2R}{\pi} .$$



Hình 5.2. Độ nâng của tâm khối hình quạt là  $2/3h$ , trong đó  $h$  là độ nâng của cung.

Phương pháp tương tự dùng được cho trường hợp những cung tròn có góc bất kỳ, cũng như cho dạng “miếng pizza” (dạng hình đĩa.) Trường hợp của hình “nửa-pizza” được giải quyết tiếp sau đây. Trường hợp của một hình quạt với góc tùy ý có thể giải quyết tương tự (xem những bài tập ở cuối chương).

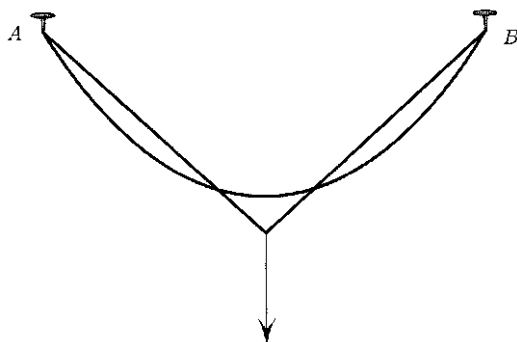
### 5.3 Tâm khối của một hình nửa cái đĩa (nửa-miếng-pizza)

Hầu như không phải làm gì thêm, cách giải vừa rồi đã cho ta công thức tâm khối của hình bán đĩa đặc. Thực vậy, ta hãy lặp lại nguyên văn lập luận của bài toán ở trên, với chỉ một khác biệt: thay vì cắt bỏ cung tròn, ta cắt bỏ một hình quạt mỏng phía bên trái và đặt nó vào phía bên phải, như được cho thấy trong hình 5.2.

Bởi phần đậm hình quạt của ta gần như là một hình tam giác, ta có thể lấy trọng tâm của nó ở  $\frac{2}{3}R$  cách tâm của

đường tròn\*. Hệ quả là trọng tâm này sẽ nâng lên một đoạn  $\frac{2}{3}R$ , trong đó  $h = \theta R + \varepsilon$  là độ nâng của cung, giống như bài toán vừa rồi. Theo đó tất cả gì ta phải làm là thay thế  $h$  ở bài toán vừa rồi bằng  $\frac{2}{3}h$ ; phương trình chính (5.3) cần thêm vào một hằng số bổ sung  $\frac{2}{3}$ :

$$y(1 - \cos \theta) = \frac{2}{3} \frac{R}{\pi} \theta^2 + \varepsilon ,$$



Hình 5.3. Tâm khối nào cao hơn?

trong đó  $y$  là khoảng cách chưa biết đến tâm (hình 5.2). Chia cho  $\theta^2$ , cho  $\theta \rightarrow 0$ , và sử dụng (5.1) ta thu được;

$$y = \frac{4R}{3\pi} .$$

Trọng tâm của hình bán nguyệt và của một hình bán đĩa liên hệ với nhau thông qua hệ thức  $y = \frac{2}{3}x$ .

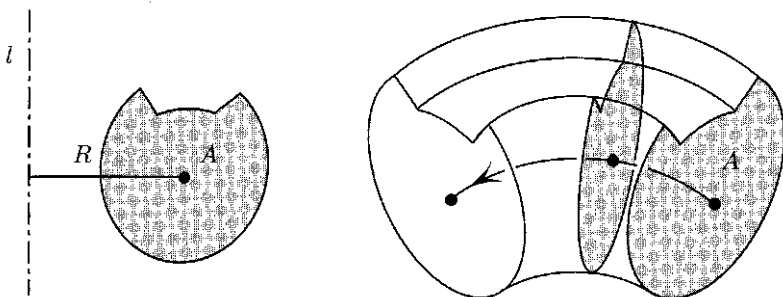
---

\* Chúng ta đang sử dụng dữ kiện rằng trọng tâm nằm tại giao điểm của các trung tuyến và rằng các trung tuyến được giao điểm chung chia ra thành hai phần theo tỉ lệ 1:2. Theo đó trọng tâm nằm trên hai-phần-ba trung tuyến nối từ đỉnh của tam giác tới cạnh của nó.

## 5.4 Tâm khối của một dây không giãn

**Bài toán.** Một dây không giãn được mắc vào hai đỉnh  $A$  và  $B$ , ở cùng độ cao. Tôi nắm lấy sợi dây ở điểm thấp nhất và kéo nó xuống. Liệu tâm khối của dây dịch chuyển lên hay xuống?

**Lời giải.** Trong tất cả hình dáng của dây với đầu mút  $A$  và  $B$  cố định, dây treo thông có thế năng nhỏ nhất\*. Bất cứ thay đổi nào của hình dáng sợi dây sẽ nâng tâm khối của nó lên.



Hình 5.4. Thể tích của vật rắn.

## 5.5 Định lý trọng tâm Pappus

Vẽ một đường thẳng  $l$  và một miền kín  $D$  trên mặt phẳng không cắt nhau (hình 5.4), và xem xét một “hình bánh donut”

\* Thực vậy, nếu tôi thay đổi hình dạng của sợi dây không giãn theo cách nào đó, tôi phải tác dụng lực, mà sợi dây sẽ chống lại. Tức là tôi sẽ thực hiện công dương lên sợi dây, bằng cách đó làm tăng thế năng của sợi và vì vậy nâng tâm khối của sợi dây lên cao. Ở đây tôi đã sử dụng dữ kiện rằng thế năng của một vật là  $mgh$ , trong đó  $m$  là khối lượng và  $h$  là độ cao của tâm khối.

tạo thành bằng cách xoay  $D$  vòng quanh  $l$ . Thể tích của bánh donut là bao nhiêu? Diện tích bề mặt của nó là bao nhiêu? Cả hai câu hỏi này sẽ được trả lời dưới đây.

**Định lý thể tích Pappus.** *Trong tình huống vừa được mô tả, thể tích của bánh donut thu được khi xoay vòng miền  $D$  quanh một đường thẳng  $l$  là:*

$$V = 2\pi RA,$$

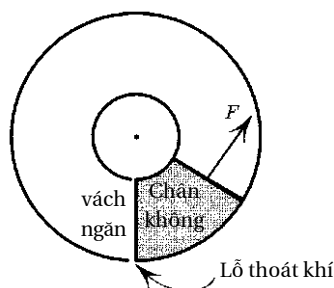
trong đó  $A$  là diện tích của  $D$  và  $R$  (hình 5.4) là khoảng cách từ  $l$  đến trọng tâm của  $D$ .

**Định lý diện tích Pappus.** *Diện tích của bề mặt bánh donut là:*

$$S = 2\pi rL,$$

trong đó  $L$  là độ dài của đường cong  $C$  bao quanh  $D$ , và  $r$  là khoảng cách từ  $l$  đến trọng tâm của  $C$ . Lưu ý rằng trong định lý này ta sử dụng trọng tâm của vật thể một-chiều: đường cong, chứ không phải miền phẳng.

Chúng minh giải tích tiêu chuẩn của định lý Pappus, vốn có thể tìm thấy trong hầu hết các sách giải tích, sử dụng các phép tích phân và những tính chất của chúng, và đòi hỏi một vài biến đổi đơn giản với phép tích phân. Chúng minh được đưa ra ở đây cho thấy bản chất thực của kết quả ở dạng cơ bản nhất.



Hình 5.5. Tiết diện ngang của ống tuýp hình-vành-khuyên bị bịt kín một đầu là  $D$ . Một piston tạo hình khớp với  $D$  được kéo vòng quanh, tạo ra vùng chân không đằng sau nó.

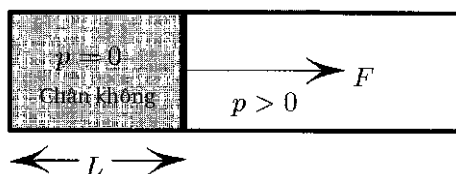
### Chứng minh.

**Hệ cơ.** Xem xét một ống tuýp bị uốn cong thành hình dạng của một bánh donut, như trong hình 5.5. Tiết diện ngang của ống tuýp vòng khuyên không phải dạng tròn mà chính xác là hình dạng của  $D$ . Xem xét hai piston được tạo hình như  $D$  bên trong ống tuýp, như được chỉ ra trong hình 5.5. Một piston bị hàn dính và trở thành vách ngăn, trong khi cái còn lại có thể trượt vòng quanh ống tuýp không ma sát. Ta cũng chừa một lỗ thoát khí như được cho thấy trong hình 5.5. Hệ thống xy lanh-piston bị uốn cong này là cái máy tính cơ học của chúng ta. Nó sẽ giải bài toán giúp ta.

**CHỨNG MINH CỦA ĐỊNH LÝ THỂ TÍCH PAPPUS.** Bắt đầu với piston nằm sát vách ngăn, tôi nắm piston tại trọng tâm của nó và kéo nó đi khắp cả hình bánh donut, tạo ra vùng chân không đằng sau piston. Bằng cách tính toán công thực hiện theo hai cách khác nhau ta sẽ thu được kết luận của định lý Pappus.

Ta nhận thấy các điều sau:

1. Giữ lấy piston ở trọng tâm bảo đảm rằng nó sẽ không quay, nghĩa là để di chuyển xy lanh, ta chỉ cần tác dụng lực  $F$ , *không cần moment quay*. Vì vậy chỉ có lực  $F$  thực hiện công.



Hình 5.6. Thế năng của một bong bóng chân không bằng  $pA$ .

2. Lực  $F$  cần có để kéo piston chống lại áp suất môi trường  $p$  là  $F = pA$ , trong đó  $A$  là tiết diện piston. Thực vậy, áp suất  $p$  là áp lực trên một đơn vị diện tích, và diện tích của bề mặt piston là  $A$  của đơn vị diện tích đó.
3. Để tạo ra thể tích  $V$  của vùng chân không chống lại áp suất  $p$ , cần có công  $W = pV$ . Thực vậy, đối với một hình trụ thẳng, công này là  $W = F \times L = pAL = pV$ . Kết quả này có được bằng cách phân nhỏ hình khối chung thành nhiều hình trụ mỏng song song.

Với các nhận xét này, chứng minh của chúng ta đã gần như hoàn tất. Một mặt, công để kéo piston đi hết một vòng tròn bằng lực nhân với quãng đường chuyển dịch của điểm tác dụng lực:

$$W = F \cdot 2\pi R = pA \cdot 2\pi R,$$

trong đó  $R$  giống như trong phát biểu của định lý. Nhưng



mặt khác, theo nhận xét (3) trên đây, công được cho bằng thể tích nhân với áp suất:

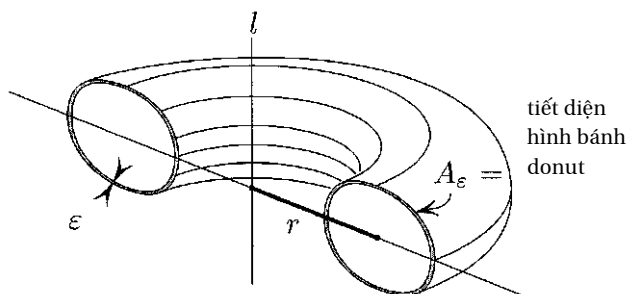
$$W = pV.$$

Đồng nhất hai biểu thức dẫn ra  $pV = pA2\pi R$ , nên

$$V = 2\pi RA$$

Điều này chứng minh định lý thể tích Pappus.

**ĐỊNH LÝ THỂ TÍCH  $\Rightarrow$  ĐỊNH LÝ DIỆN TÍCH.** Hãy hình dung rằng ta phủ lấy bề mặt đang nói đến bằng một lớp sơn mỏng có độ dày  $\varepsilon$ , như trong hình 5.7.



Hình 5.7. Định lý diện tích suy ra từ định lý thể tích được áp dụng cho thể tích của một lớp bao mỏng.

Theo định lý thể tích Pappus, thể tích của lớp sơn là:

$$V_{\varepsilon} = 2\pi R_{\varepsilon} A_{\varepsilon},$$

trong đó  $R_{\varepsilon}$  là khoảng cách từ trọng tâm của hình vành khuyên mỏng-cỡ- $\varepsilon$  đến  $l$ , và  $A_{\varepsilon}$  là tiết diện hình vành khuyên. Nhưng thể tích lớp sơn  $V_{\varepsilon}$  là xấp xỉ diện tích nhân cho độ dày:

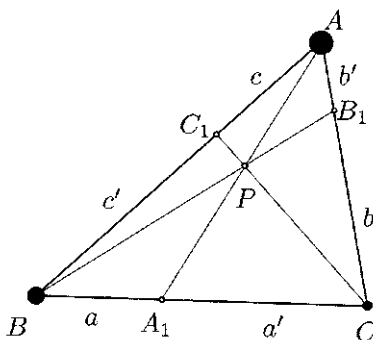
$$V_\varepsilon = S\varepsilon + \dots; \quad (5.4)$$

sai số nhỏ ký hiệu bằng... là do bề mặt không phẳng. Mặt khác, trọng tâm của hình vành khuyên cỡ- $\varepsilon$  gần như là trọng tâm của đường cong:  $R_\varepsilon = r + \dots$ , và tiết diện hình vành khuyên  $A_\varepsilon = L\varepsilon + \dots$ . Thế tất cả vào (5.4), chia cho  $\varepsilon$ , và cho  $\varepsilon$  tiến tới không, ta có kết quả  $S = 2\pi rL$  như đã trình bày.

## 5.6 Định lý Ceva

**Định lý Ceva và định lý đảo của nó.** Xem xét một tam giác  $ABC$  với ba điểm  $A_1$ ,  $B_1$ , và  $C_1$  nằm trên các cạnh đối diện các đỉnh tương ứng (hình 5.8). Gọi  $a$ ,  $a'$ ,  $b$ ,  $b'$ ,  $c$ ,  $c'$  là các độ dài như được cho thấy trong hình 5.8. Định lý Ceva phát biểu rằng ba đoạn thẳng  $AA_1$ ,  $BB_1$ , và  $CC_1$  đồng quy khi và chỉ khi:

$$abc = a'b'c'. \quad (5.5)$$

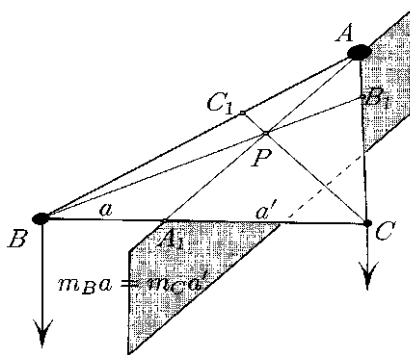


Hình 5.8. Định lý Ceva: ba đoạn thẳng Ceva  $AA_1$ ,  $BB_1$ ,  $CC_1$  đồng quy khi và chỉ khi  $abc = a'b'c'$ .

**Chứng minh.** Trước tiên, giả sử ba đoạn  $AA_1$ ,  $BB_1$ ,  $CC_1$  có một điểm chung  $P$ . Ta hãy đặt những chất điểm  $m_A$ ,  $m_B$ , và  $m_C$  tại các đỉnh của  $\triangle ABC$ , chọn các chất điểm này sao cho tâm khối của chúng nằm tại  $P$ . Để được như vậy, ta có thể cho  $m_B = a'$  và  $m_C = a$ , bằng cách đó đặt tâm khối của  $(B, C)$  tại  $A_1$ . Sau đó ta chọn lấy  $m_A$  bảo đảm sao cho tâm khối của  $(A, A_1)$  là tại  $P$ ; để được vậy ta làm cho  $m_A$  thỏa điều kiện cân bằng  $m_A PA = (m_B + m_C) PA_1$ . Tam giác của chúng ta vì thế chịu tải, sẽ cân bằng lực trên một điểm cực nhỏ đặt tại  $P$ . Khi đó chắc chắn là nó cân bằng trên đường thẳng bất kỳ trong mặt phẳng tam giác đi qua  $P$ , và cụ thể là trên đường  $APA_1$ , như hình 5.9 cho thấy.

Nhưng do  $m_A$  nằm trên đường thẳng đó, nên  $m_C$  và  $m_B$  trong điều kiện cân bằng lực, nghĩa là

$$m_B a = m_C a' . \quad (5.6)$$



Hình 5.9. Tam giác nằm cân bằng tại tâm khối  $P$ , và do đó nó nằm cân bằng lực trên bất cứ đường thẳng nào đi qua  $P$  – cụ thể, trên  $AA_1$ .

Bằng cách tương tự,

$$m_C b = m_A b', m_A c = m_B c'.$$

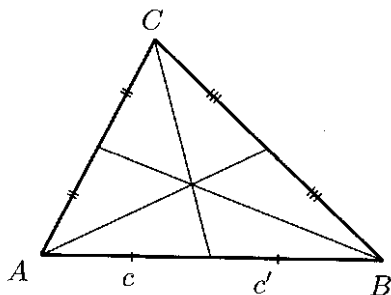
Nhân ba phương trình sau cùng ta được  $abc = a'b'c'$ .

Định lý đảo (rằng (5.5) kéo theo sự đồng quy) được chứng minh dễ dàng bằng phản đề như sau\*. Giả sử là  $abc = a'b'c'$ , và chấp nhận phản-giả thuyết: một trong các đoạn thẳng có liên quan, ví dụ  $CC_1$ , không đi qua giao điểm của hai đoạn còn lại. Một đoạn  $CC_1$  khác với  $C_1$  nằm trên  $AB$  nhưng  $\tilde{C}_1 \neq C_1$  có đi qua giao điểm, và đẳng thức sau cùng là:  $ab\tilde{c} = a'b'\tilde{c}'$ . Nhưng điều này mâu thuẫn với (5.5), bởi  $\tilde{c}'/ \tilde{c} \neq c'/c$ . Chứng minh đến đây là hoàn tất.

## 5.7 Ba ứng dụng của định lý Ceva

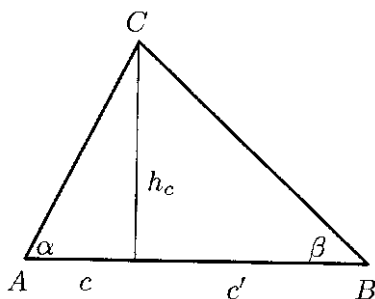
Định lý đảo của định lý Ceva đem lại một chứng minh trực tiếp cho ba định lý sau đây.

**Định lý 1.** Trong tam giác bất kỳ các trung tuyến đồng quy.



Hình 5.10. Chứng minh các trung tuyến đồng quy

\* Ví dụ xem cuốn [CG].

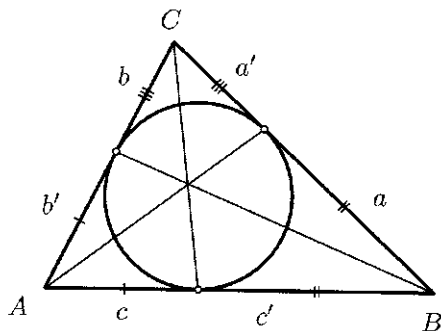


Hình 5.11. Chứng minh các đường cao đồng quy.

**Chứng minh.** Hệ thức Ceva (5.5) vẫn đúng cho các trung tuyến bởi  $a = a'$ ,  $b = b'$ ,  $c = c'$ , và do đó các trung tuyến là đồng quy theo định lý đảo của định lý Ceva.

**Định lý 2.** Các đường cao trong tam giác bất kỳ đồng quy.

**Chứng minh.** Trong hệ ký hiệu của hình 5.11 ta có  $h_c = c \tan \alpha = c' \tan \beta$ ; một cách tương tự,  $a \tan \beta = a' \tan \gamma$  và  $b \tan \gamma = b' \tan \alpha$ . Nhân và triệt tiêu số hạng giống nhau ở ba phương trình sau cùng ta được  $abc = a'b'c'$ . Theo định lý đảo của định lý Ceva các đường cao là đồng quy.



Hình 5.12 Các đường Ceva ứng với các tiếp điểm của đường tròn nội tiếp là đồng quy.

**Định lý 3.** *Ba đoạn thẳng (trong hình 5.12), mỗi đường nối một đỉnh của tam giác đến tiếp điểm của đường tròn nội tiếp với cạnh đối diện, là đồng quy.*

**Chứng minh.** Lưu ý rằng  $b' = c$ ,  $c' = a$ ,  $a' = b$ , bởi các độ dài của những đoạn tiếp tuyến từ một điểm bên ngoài đường tròn đến đường tròn là như nhau cho cả hai tiếp tuyến. Nhân vế theo vế ta được  $abc = a'b'c'$ .

## 5.8 Bài tập

Tìm tâm khối của một dây dẫn hình bán nguyệt bằng cách giải hai bài toán nhỏ, mỗi bài có giá trị độc lập.

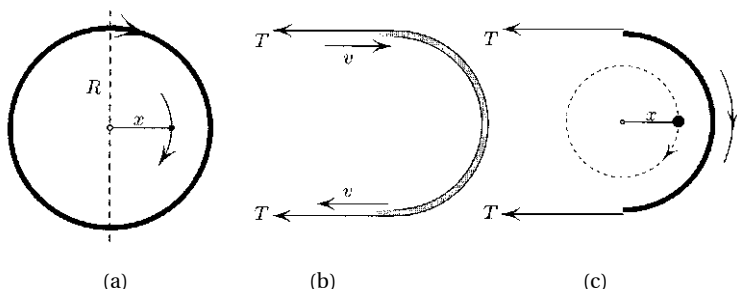
1. Tìm lực căng của một sợi dây hình tròn có khối lượng và bán kính cho trước, xoay tròn xung quanh tâm của nó ở vận tốc góc cho trước (hình 5.13(a)), bằng cách mượn tượng một ống tuýp hình bán nguyệt (hình 5.13(b)) có nước chảy vào một đầu và thoát ra ở đầu còn lại.
2. Sử dụng lực căng vừa tìm được để xác định tâm khối của hình bán nguyệt.

### Lời giải.

Phần 1. Đây là một bài toán cơ bản trong cơ học, nhưng cách giải sau đây có vẻ là độc đáo. Ta hãy chỉ nhìn vào bán nguyệt bên phải của sợi dây – hình dung che nửa bên trái bằng một màn chắn sao cho ta không còn thấy nó. Bấy giờ sợi dây được “bơm vào” phía trên và thoát ra phía dưới. Điều này giống như nước chảy vào và thoát ra một ống tuýp, như được thể hiện trong hình 5.13(b). Ống tuýp phải được giữ bằng áp lực  $2T$  nào đó (trong đó  $T$  là lực

căng ta đang tìm). Áp lực này làm cho nước đảo chiều, thay đổi vận tốc một lượng bằng  $v - (-v) = 2v$ . Trong suốt thời gian  $\Delta t$ , một cột nước có độ dài  $\Delta L = v\Delta t$  sẽ chảy vào phía trên, và cũng cột nước dài như vậy sẽ thoát ra phía dưới. Kết quả cuối cùng là độ dài  $\Delta L$  của cột nước thay đổi vận tốc một lượng  $2v$ . Khối lượng của cột nước này là  $m = \rho\Delta L = \rho v\Delta t$ , trong đó  $\rho$  là mật độ dài, tức là khối lượng trên mỗi đơn vị chiều dài. Theo định luật 2 Newton  $F\Delta t = m\Delta v$  ta có:

$$2T \cdot \Delta t = m \cdot 2v.$$



Hình 5.13. (a) Một sợi dây xoay vòng linh hoạt dưới tác dụng của lực căng. (b) Một cách để tìm ra lực căng này là hình dung nước đi vào và đi ra khỏi một ống tuýp bán nguyệt. (c) Sử dụng lực căng để tìm ra tâm khối.

Sau khi rút gọn theo  $T$  và thế biểu thức của  $m$  vào,  $\Delta t$  triệt tiêu, và ta thu được:

$$T = \rho v^2 = \rho \omega^2 R^2,$$

trong đó  $T$  là lực căng và  $\omega$  là vận tốc góc.

Phần 2. Ta hãy tập trung chú ý vào phần vật liệu cung bán nguyệt của sợi dây. Cung tròn được giữ trong quỹ

đạo nhờ vào hai lực căng  $T$  (xem hình 5.13(a)). Lực hướng tâm  $2T$  gây ra gia tốc hướng tâm của tâm khối:  $M\omega^2 x = 2T$ , trong đó  $M$  là khối lượng của bán nguyệt và theo đó  $M = \rho\pi R$ . Thế vào phương trình sau cùng ta được  $\rho\pi R\omega^2 x = 2\rho\omega^2 R^2$ , cho nên  $x = 2R/\pi$ .

3. Chứng minh rằng bốn đoạn thẳng nối từ một đỉnh của tứ diện đến trọng tâm của mặt đối diện là đồng quy. Tứ diện xem như không đều.



# 6

## HÌNH HỌC VÀ CHUYỂN ĐỘNG

Hầu như các bài toán trong mục này dựa trên ý tưởng về chuyển động. Ý tưởng về chuyển động đã được sử dụng trước đây trong phần về định lý Pythagoras. Trong mục 2.4 ta đã chỉ ra rằng định lý cơ bản của giải tích có thể được minh họa bằng những thuật ngữ động học. Trong mục này tôi đã tập hợp một vài bài toán khác, trong đó bài tôi thích nhất là bài toán xe đạp. Một ứng dụng tuyệt vời của ý tưởng về sự chuyển động, cho phép tìm ra diện tích dưới đường tiệm cận mà không cần một công thức nào, theo cuốn sách của R. Foote [Fo], được phát biểu ở mục 6.6 như một bài tập. Một bài tập khác ở phần cuối chương mô tả cách tính diện tích trên mặt phẳng bằng cách sử dụng một xe đẩy mua hàng. Có thể tìm thấy chi tiết về cách tiếp cận động học trong cuốn sách [LS].

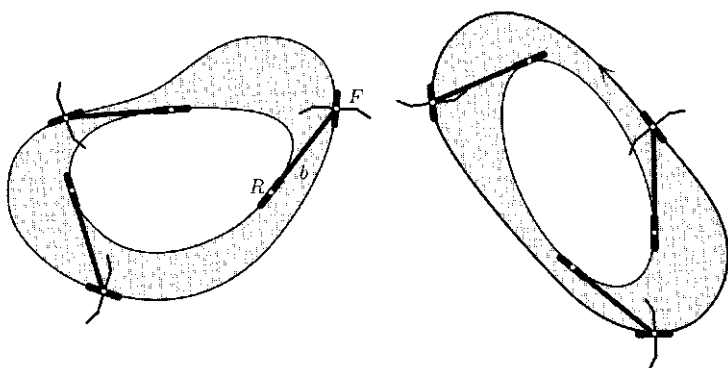
### 6.1 Diện tích giữa các vệt bánh xe

**Bài toán.** *Hình dung cuối một chiếc xe sao cho cả hai bánh xe vạch ra những vệt đường kín (hình 6.1). Bánh trước không*

*bao giờ cán lên vệt bánh sau, để cho hình vành khuyên méo không bị thất lại. Hãy chỉ ra rằng diện tích của hình vành khuyên này không phụ thuộc vào vệt bánh xe(!).*

Diện tích là như nhau dù bạn lái xe vòng quanh bàn ăn\* hay quanh một khối nhà.

Ta xem đây là một chiếc xe lý tưởng: khoảng cách  $b$  giữa các điểm tiếp xúc của các bánh xe với mặt đường là hằng số.\*\* Ta sẽ xem  $b$  như là *đường cơ sở*. Khẳng định của bài toán hàm ý rằng hình vành khuyên có diện tích  $\pi b^2$ . Đây là diện tích tương tự ta sẽ có được khi giữ bánh sau cố định và cho bánh trước quay vòng.



Hình 6.1. Diện tích giữa hai vệt bánh luôn luôn là như nhau:  $\pi b^2$ , trong đó  $b$  là đường cơ bản của chiếc xe.

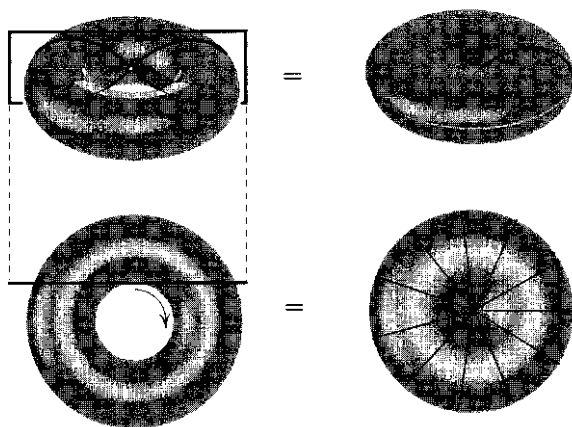
**Lời giải.** Sườn xe lúc nào cũng là tiếp tuyến của vệt bánh sau, như hình 6.1 minh họa. *Diện tích đang nói đến do đó được*

\* Một lời khuyên tôi nhắc đến cái bàn cũng đã được đưa ra ở mục 1.3, trong đó tôi đề nghị khoan vài cái lỗ.

\*\* Phát biểu một cách nghiêm ngặt, để điều này đúng thì phuộc trước phải thẳng đứng.

quét thành bởi một đoạn thẳng tiếp xúc với đường cong của bánh sau khi đoạn thẳng này trượt khắp lượt vòng quanh đường cong. Đoạn thẳng này có độ dài không đổi  $b$  trong suốt hành trình của nó.

Tại sao diện tích được quét thành luôn luôn như nhau? Sau đây là một lý giải tự nghiệm\*. Lưu ý rằng độ tăng của diện tích được quét không phụ thuộc vào thành phần của vận tốc theo phương của đoạn thẳng. Việc đoạn thẳng có chuyển động “trượt” như thế nào không có ảnh hưởng gì. Nhưng nếu ta loại vận tốc trượt ra, đoạn thẳng sẽ chỉ đơn thuần quay quanh tiếp điểm của bánh sau R, và quét thành một hình tròn! Do đó diện tích của hình vành khuyên bằng với diện tích của hình tròn có bán kính  $b = |RF|$  và bằng với đường cơ sở của chiếc xe đạp.



Hình 6.2. Hình cánh hoa trượt dọc theo đường tròn quét thành một thể tích bằng với thể tích hình cánh hoa quét thành khi nó tự quay quanh điểm thắt của nó.

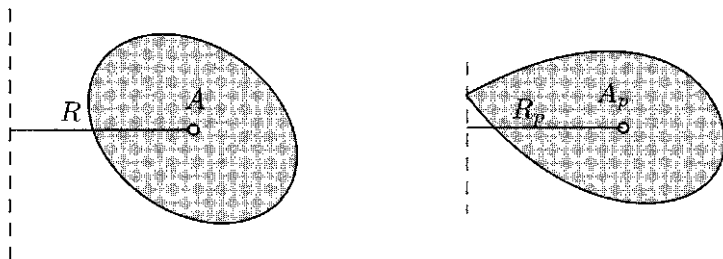
\* Đây là giải thích tương tự như trong chứng minh “phép quét” của định lý Pythagoras ở mục 2.6.

## 6.2 Định lý thể tích bằng nhau

Đây là một định lý có dạng Pappus mà tôi đã bắt gặp khi đang suy nghĩ về bài toán xe đạp. Trục giác đằng sau bài toán này là một sự khái quát giản đơn của trục giác đằng sau bài toán xe đạp. Một khi ta biết rõ kết quả, chứng minh nó bằng giải tích là không khó. Dầu vậy, tôi nghĩ không thể phát hiện ra nó nếu chỉ suy nghĩ trên những công thức.

**Định lý.** Một khối đặc hình bánh donut được tạo thành theo cách thông thường là quay một đường cong lồi kín quanh một trục đối xứng cùng nằm trên mặt phẳng của đường cong (trục đối xứng không cắt đường cong). Bây giờ cắt bánh donut bằng một mặt phẳng song song với trục đối xứng và tiếp xúc phía trong của bánh, tạo thành một mặt “hình số tám”, như trong hình 6.2.

Ta hãy xoay hình số tám này quanh đường thẳng đi qua điểm thắt nút và song song với trục đối xứng của hình vành khuyên. Ta thu được một khối đặc mới: một cái bánh donut với hình dáng khác hẳn với một nút thắt (hình 6.2). Thể tích của cái bánh này bằng với thể tích của cái bánh ban đầu.



Hình 6.3. Mối quan hệ giữa các trọng tâm và các diện tích của hai tiết diện của một hình vành khuyên.

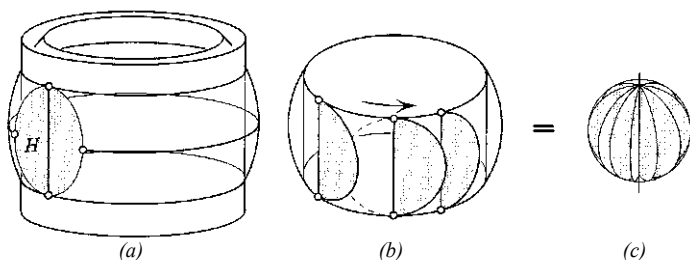
**Chứng minh.** Xem xét một “cánh hoa” của hình số tám. Khi cánh hoa trượt vòng quanh theo hình mũi tên ở phần bên trái của hình 6.2, nó quét thành cái bánh donut cho trước của chúng ta. Khi làm việc đó, cánh hoa thực hiện hai chuyển động đồng thời: (i) trượt trong mặt phẳng riêng nó và (ii) quay quanh đường thẳng đi qua điểm nút thắt của cánh hoa như được mô tả trong định lý. Nếu ta loại ra chuyển động trượt, ta không hề làm ảnh hưởng thể tích được quét. Khối đặc mới tạo thành có thể tích giống như khối đầu tiên.

**Hệ quả.** Gọi  $A$  là diện tích hình đĩa được tạo thành bằng cách cắt bánh donut với mặt phẳng chứa trục đối xứng của nó, và  $R$  là khoảng cách từ trọng tâm của hình đĩa này đến trục đối xứng, như trong định lý Pappus. Tương tự, gọi  $A_p$  là diện tích của một cánh hoa (phần nửa của hình số tám), và  $R_p$  là khoảng cách từ trọng tâm của cánh hoa đến trục như trong hình số tám, (hình 6.3). Khi đó:

$$A \times R = A_p \times R_p$$

### 6.3 Có bao nhiêu vàng trong một chiếc nhẫn cưới?

Dữ kiện sau đây ban đầu có thể rất khó tin. Mặc dù đã được cho biết từ trước, tôi cũng không thể giải thích *vì sao* điều này lại đúng – một tính toán quy chuẩn xem chừng không thỏa – cho tới khi bài toán “các vệt bánh xe” (bài toán 6.1) gọi ra câu trả lời.



Hình 6.4. Thể tích của hình vành khuyên phụ thuộc *chỉ* vào độ cao  $H$  của nó!

**Định lý.** Hình 6.4 cho thấy một hình vành khuyên có bề mặt trong là mặt trụ và bề mặt lồi bên ngoài là dạng cầu; tâm của mặt cầu nằm trên trục đối xứng của khối trụ. Thể tích của hình vành khuyên như vậy phụ thuộc *chỉ* vào độ cao  $H$  của nó, và bằng  $\frac{\pi}{6} H^3$ .

Cụ thể, hình dung hình vành khuyên bao quanh khối cầu cỡ Trái đất có cùng thể tích như một chiếc nhẫn cưới, miễn sao hai hình vành khuyên có cùng chiều cao (coi như cả hai quả cầu và bề mặt ngoài của chiếc nhẫn cưới là dạng cầu hoàn hảo).

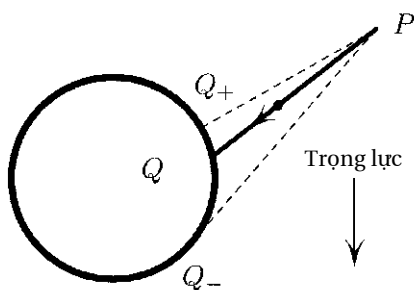
**Chứng minh.** Có thể chứng minh định lý này bằng tính toán. Cách lập luận “động học” sẽ tránh được việc sử dụng các công thức và làm cho nhận định trở nên hiển nhiên. Và chỉ cần hình vẽ cũng đã làm sáng tỏ hầu như toàn bộ câu chuyện.

Cụ thể như sau. Hình 6.4(a) cho thấy một mặt phẳng tiếp xúc mặt trụ phía trong. Mặt phẳng cắt khối cầu theo một hình đĩa tròn. Đường kính đĩa nằm trên một đường sinh của mặt trụ. Xét một nửa hình đĩa như được thể hiện trong hình 6.4(b). Bây giờ ta hãy cho nửa cái đĩa này trượt dọc theo bề mặt hình trụ theo hình mũi tên, giữ cho nửa cái

đĩa tiếp xúc với mặt trụ. Nửa cái đĩa chuyển động quét hết thể tích của bánh donut. Nhưng chuyển động của nửa cái đĩa bao gồm một phần “trượt” thuần túy trên mặt phẳng chứa nó – điều này không góp phần gì vào việc tạo thành thể tích – và phần quay vòng quanh đường kính. Do đó, nếu loại bỏ chuyển động “trượt”, ta sẽ không làm thay đổi thể tích của phần được quét.

Mà chuyển động đã điều chỉnh của nửa cái đĩa, như trong hình 6.4(c), quét thành một trái banh có đường kính  $H$ . Thể tích của cái bánh donut vì thế bằng với thể tích của trái banh có đường kính  $H$ :

$$V = \frac{\pi}{6} H^3.$$



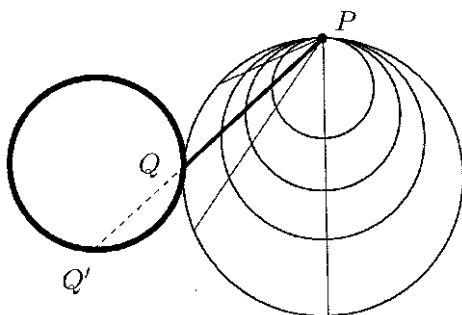
Hình 6.5. Điểm  $Q$  tối ưu phải nằm giữa  $Q_+$  và  $Q_-$ .

## 6.4 Đổ dốc nhanh nhất

**Bài toán.** Cho một đường tròn  $C$  và một điểm  $P$  trong mặt phẳng thẳng đứng. Cho  $Q$  là một điểm trên  $C$ , và khảo sát một viên bi trượt dọc theo đoạn  $PQ$  dưới ảnh hưởng của

trọng lực. Viên bi xuất phát tại  $P$  với vận tốc bằng không. Với điểm  $Q$  nào thì thời gian di chuyển sẽ là nhỏ nhất?

**Nhận xét.** Liệu điểm  $Q_+$ , điểm gần nhất với  $P$ , có phải là câu trả lời? Không. Thực vậy, ta hãy di chuyển điểm  $Q$  theo chiều kim đồng hồ và theo dõi thời gian trượt  $t_{PQ}$  như một hàm của  $Q$ . Tại thời điểm khi  $Q$  đi qua  $Q_+$ , độ dài  $PQ$  biến đổi với vận tốc bằng không (bởi vì nó chỉ vừa dừng việc thu ngắn lại và sắp bắt đầu dài ra). Mặt khác, độ dốc của  $PQ$  dốc lên với một vận tốc dương. Tóm lại, tại thời điểm khi  $Q = Q_+$ , độ dài biến đổi với vận tốc bằng không, trong khi gia tốc hướng xuống của  $PQ$  tăng. Điều này nghĩa là thời gian trượt ngắn lại. Theo đó thì tốt hơn là đặt  $Q$  bên dưới  $Q_+$ . Một cách tương tự, tại thời điểm khi  $Q$  đi qua  $Q_-$  (tiếp điểm trong hình 6.5) trong chuyển động theo chiều kim đồng hồ của nó, độ dài  $PQ$  tăng thêm với vận tốc không xác định, trong khi độ dốc thay đổi với vận tốc xác định. Khi đó hẳn nhiên có lợi khi đặt  $Q$  bên trên  $Q_-$ . Điều này thu nhỏ phạm vi của điểm  $Q$  tốt nhất một chút, nhưng chính xác thì nó ở đâu?



Hình 6.6. Tại thời điểm bất kỳ  $t > 0$  các viên bi hợp thành một đường tròn, nếu chúng xuất phát tại  $P$  với vận tốc ban đầu bằng không.



**Lời giải.** Xét “hình quạt nan” tạo thành bởi nhiều đường đi qua  $P$ , với một hạt cườm trên mỗi đường đặt tại  $P$ . Tại thời điểm  $t = 0$  ta thả hết các hạt cườm với vận tốc đều bằng không, và chúng bắt đầu chuyển động dưới tác động của trọng lực. Tại thời điểm  $t > 0$  các hạt cườm tạo thành một đường cong nào đó như trong hình 6.6. Ta ký hiệu đường cong này bằng  $F = F_t$  (ký tự  $F$  viết tắt cho “front”,\* như mặt đầu sóng của một đợt sóng đang lan). Khi  $t$  tăng lên, mặt bi đầu sóng sẽ chạm đường tròn tại điểm  $Q$  nào đó. Điểm tiếp xúc đầu tiên này tương ứng với thời gian đổ dốc ngắn nhất. Quả vậy,  $Q$  là điểm đầu tiên trên  $C$  nơi một hạt cườm động vào.

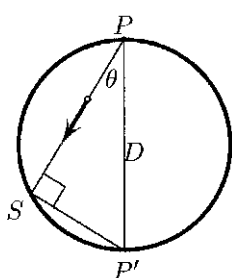
Đáng lưu ý rằng mặt đầu sóng  $F_t$ , ứng với mỗi thời điểm  $t$ , thực ra là một đường tròn như trong hình 6.6! Đường tròn này đi qua  $P$  với tiếp tuyến tại  $P$  nằm ngang; đường kính của đường tròn là  $gt^2/2$ . Bây giờ ta có thể chọn lấy một đường tròn  $F_t$  tiếp xúc  $C$ ; điểm  $Q$  “tốt nhất” là tiếp điểm giữa hai đường tròn. Câu trả lời này chưa hoàn toàn rõ ràng, nhưng không khó để chỉ ra rằng  $Q$  nằm trên đường thẳng nối  $P$  với điểm thấp nhất  $Q'$  của đường tròn  $C$ .

**Chúng tỏ rằng các hạt cườm hợp thành một đường tròn.** Đầu tiên, nhắc lại một kiến thức hình học cơ bản. Gọi  $PP' = D$  là đường kính của một đường tròn (hình 6.7), và  $PS$  là dây cung bất kỳ, với  $\theta = \angle SPP'$ . Khi đó

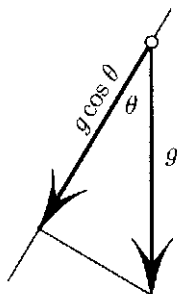
$$PS = D \cos \theta. \quad (6.1)$$

---

\* front: phần đầu hay mặt đầu sóng – N.D.



(a)



(b)

Hình 6.7. Nếu  $PS = D \cos \theta$ , khi đó  $S$  nằm trên đường tròn với đường kính  $D = PP'$ .

Điều này suy ra từ dữ kiện rằng  $\angle PSP' = 90^\circ$ . Đảo lại vẫn đúng: quỹ tích của điểm  $S$  thỏa mãn (6.1) là một đường tròn.

Bây giờ ta hãy trở lại với các hạt cườm. Chọn một thời điểm  $t > 0$  nào đó và khảo sát một hạt cườm đại diện tại thời điểm này. Gia tốc của nó là:

$$a = g \cos \theta ,$$

như trong hình 6.7(b) minh họa. Khoảng cách hạt cườm này di chuyển trong thời gian  $t$  sẽ là:

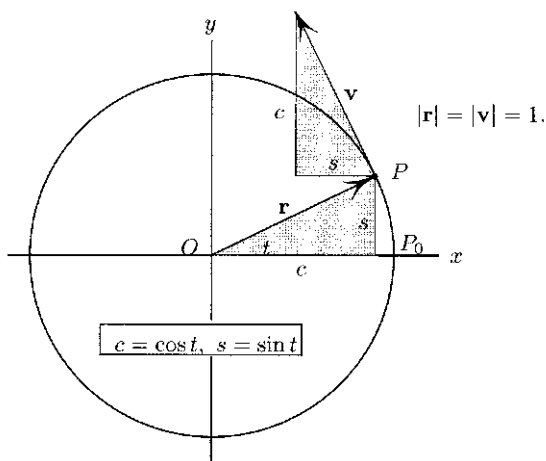
$$PS = at^2 / 2 = (gt^2 / 2) \cos \theta = D \cos \theta ,$$

trong đó  $D = gt^2 / 2$  là quãng đường rơi tự do. Ta đã chỉ ra rằng tại thời điểm  $t$ , mọi hạt cườm  $S$  thỏa mãn (6.1). Theo nhận xét hình học ở trên, tất cả các hạt cườm  $S$  nằm trên đường tròn có đường kính  $D = gt^2 / 2$  và có điểm trên cùng tại  $P$ , như đã khẳng định.

## 6.5 Tìm ra $\frac{d}{dt}\sin t$ và $\frac{d}{dt}\cos t$ bằng phép quay

Khảo sát một điểm  $P$  chuyển động trên một đường tròn đơn vị ở vận tốc đơn vị theo hướng ngược chiều kim đồng hồ, xuất phát tại điểm  $P_0$  trên trục  $x$  tại  $t = 0$ . Do đó cung  $P_0P$  có độ dài  $t$ , tức là  $\angle P_0OP = t$ . Theo định nghĩa của hàm sin và cosin, véc tơ vị trí:

$$\overline{OP} = \langle \cos t, \sin t \rangle.$$



Hình 6.8.

Vận tốc được định nghĩa bằng đạo hàm của vị trí:

$$\mathbf{v} = \left\langle \frac{d}{dt}\cos t, \frac{d}{dt}\sin t \right\rangle.$$

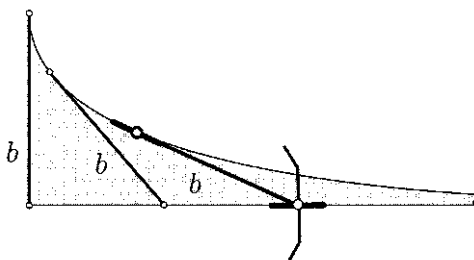
Mặt khác, bởi  $|\mathbf{v}| = 1$  (giả định vậy), các tam giác vuông tô đậm trong hình 6.8 có những cạnh huyền trùng khớp (có độ

dài 1). Hơn nữa, bởi  $\mathbf{v} \perp \overline{OP}$ , tất cả cạnh tương ứng hai tam giác là trực giao và do đó các góc tương ứng là trùng khớp. Vì thế các tam giác tô đậm cũng trùng khớp\*, và theo đó:

$$\mathbf{v} = \langle -\sin t, \cos t \rangle.$$

So với phương trình vừa rồi ta kết luận:

$$\frac{d}{dt} \cos t = -\sin t, \quad \frac{d}{dt} \sin t = \cos t.$$



Hình 6.9. Diện tích dưới đường tiệm cận là bao nhiêu?

## 6.6 Bài tập

1. (Foote, trong cuốn [Fo]) Theo định nghĩa, đường tiệm cận là đường cong tạo thành do vệt bánh sau của chiếc

---

\* Nguyên văn: congruent. Theo Euclid, 'equal', – bằng nhau, nghĩa là hai đối tượng có cùng kích cỡ (độ dài đối với đoạn thẳng, diện tích đối với hình phẳng). Bởi vậy, dùng 'equal' có thể là khá mơ hồ, trong những trường hợp cụ thể đối với các đối tượng hình học. Thế nên, 'congruent', trùng khớp, được dùng để diễn tả hai hình phẳng mà ta có thể chuyển dịch hình này chồng khớp lên/với hình kia, tức là chúng có cùng hình dạng và cùng kích cỡ. Một số sách giải tích khác dùng chữ 'đồng dư' để chỉ khái niệm này. – N.D.

xe khi bánh trước di chuyển trên một đường thẳng. Cụ thể hơn, một đường cong được gọi là một đường tiệm cận nếu ở đó tồn tại một độ dài  $b$  và một đường thẳng sao cho đoạn tiếp tuyến nào nằm giữa đường cong và đường thẳng đều có độ dài  $b$ . Trong hình 6.9 một đường tiệm cận bán-vô-cực được phác ra. Diện tích của phần vô hạn tô đậm là bao nhiêu?

Đáp án:  $\frac{1}{4}\pi b^2$ .

2. Trong khi chờ đợi trong một hàng tính tiền dài ở siêu thị, tôi đang lần theo đường vạch của gạch vuông lót nền với bánh trước của xe đẩy mua hàng của mình. Sau một vòng chuyển động tròn của bánh trước, các bánh sau dừng lại ở một vị trí mới. Tức là xe đẩy đã xoay quanh bánh trước một góc  $\theta$ . Giá trị xấp xỉ của  $\theta$  là bao nhiêu, xem như đã có tất cả thông tin cần thiết (chỉ còn thiếu câu trả lời)? Diện tích của viên gạch lót là  $A$ , khoảng cách giữa bánh trước và bánh sau là  $b$ . Cho rằng  $b$  dài hơn cạnh của viên gạch rất nhiều. Để đơn giản mọi chuyện hơn nữa, cho rằng bánh sau thẳng hàng tuyệt đối với bánh trước (ở xe đẩy thực tế không phải vậy; các bánh xe tạo thành một hình thang).

Đáp án:  $\theta \approx A / b^2$ . Để có nhiều thông tin hơn nữa về bài toán này, xem cuốn [Fo], [LW], và những tham khảo trong đó.

# 7

## SỬ DỤNG CƠ HỌC ĐỂ TÍNH TÍCH PHÂN

Hai bài toán đầu tiên trong mục này có thể giải dễ dàng bằng giải tích mà không cần đến cơ học. Ở đây, ta muốn minh họa cho việc dùng "máy tính cơ học" thay cho giải tích trong một số trường hợp.

### 7.1 Tính tích phân $\int_0^1 \frac{xdx}{\sqrt{1-x^2}}$ bằng cách nâng một quả nặng

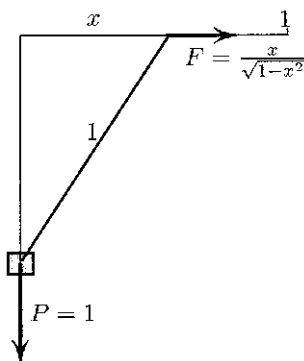
Một quả nặng  $P = 1$ , được lắp lên một đường rãnh thẳng đứng không ma sát, treo vào một đầu dây có độ dài 1. Ban đầu sợi dây được kéo theo phương thẳng đứng. Khi đầu mút trên của sợi dây bị kéo ngang ra khỏi vị trí ban đầu của nó, quả nặng trượt dọc trên đường thẳng đứng. Bằng cách thay đổi độ dịch chuyển  $x$  của đầu trên của dây từ  $x = 0$  đến  $x = 1$ , ta thực hiện công  $W = \int_0^1 F(x)dx$ , trong đó  $F(x)$  là lực cần có để giữ một đầu của sợi dây tại  $x$ , như trong hình 7.1.\*

---

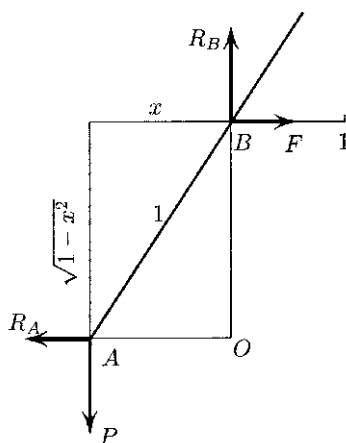
\* Giá trị  $x = 1$  là không thể đạt được, bởi nó đòi hỏi lực tác dụng vô cùng; khi đó ta đối mặt với một tích phân bất định.

Mặt khác một công tương tự được thực hiện khi nâng quả nặng  $P$  lên độ cao 1, sao cho  $W = P \cdot 1 = 1$ , và ta kết luận  $\int_0^1 F(x) dx = 1$ . Lúc này tôi khẳng định rằng  $F(x) = \frac{x}{\sqrt{1-x^2}}$ . Gọi  $O$  là giao điểm của hai đường trực giao, như được cho thấy trong hình 7.2.

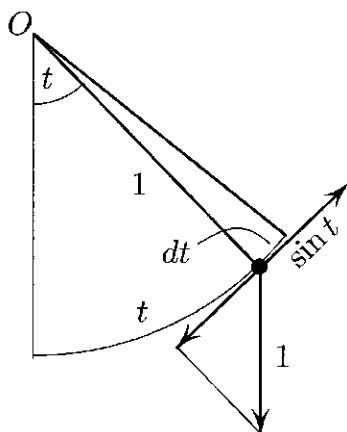
Tổng moment quay trên dây  $AB$  quanh  $O$  tiêu biến, ta được:  $OB \times F = OA \times P$ ,



Hình 7.1. Công được thực hiện bằng cách nâng quả nặng là  $\int_0^1 F(x) dx = P \cdot 1$



Hình 7.2. Các phản lực trực giao  $-F$  và  $-P$  có moment quay bằng không đối với  $O$ .



Hình 7.3. Công cần thiết để kéo quả nặng từ dưới cùng lên một góc  $x$  là  $\int_0^x \sin t \, dt$ .

và bởi  $OA / OB = x / \sqrt{1 - x^2}$  và  $P = 1$ , ta thu được  $F(x) = \frac{x}{\sqrt{1 - x^2}}$ , như đã khẳng định. Ta đã chỉ ra rằng:

$$\int_0^1 \frac{x}{\sqrt{1 - x^2}} \, dx = 1.$$

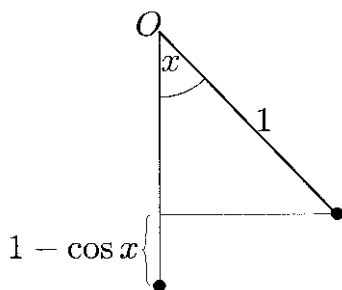
## 7.2 Tính tích phân $\int_0^x \sin t \, dt$ với một quả lắc

Khảo sát một quả lắc: một chất điểm có khối lượng  $P = 1$  trên một que thẳng có độ dài 1, lắc lư quanh một khớp nối  $O$ . Lực  $\sin t$  cần để giữ quả lắc ở một góc  $t$  so với phương thẳng đứng, như được thể hiện trong hình 7.3. Do bán kính thanh bằng 1, độ lớn góc  $t$  lượng định độ dài dọc theo đường tròn. Thế nên, công cần thiết để di chuyển quả nặng từ  $t$  đến  $t + dt$  là  $\sin t \, dt$ , và công tổng cộng cần có để kéo quả nặng từ dưới cùng  $t = 0$  lên  $t = x$  là  $\int_0^x \sin t \, dt$ . Mặt khác, sự thay đổi trong thế năng là (khối lượng)  $\times$  (chiều cao)  $= 1 - \cos x$



(hình 7.4). Đồng nhất hai biểu thức cho cùng một mức năng lượng sẽ cho ta:

$$\int_0^x \sin t \, dt = 1 - \cos x.$$



Hình 7.4. Thế năng của góc lệch  $x$  là  $1 - \cos x$ . Khối lượng là 1.

### 7.3 Chứng minh bằng lưu chất cho định lý Green

Thảo luận ngắn này sẽ làm cho khái niệm của toán tử phân kỳ và công thức Green

$$\int_C \mathbf{F} \cdot \mathbf{n} \, ds = \iint_D \operatorname{div} \mathbf{F} \, dA \quad (7.1)$$

có vẻ gần như tầm thường. Thảo luận mang tính tự nghiệm này có sử dụng các khái niệm của tích vô hướng và tích phân theo đường.

Ta có (i) một trường véc tơ phẳng  $\mathbf{F} = \mathbf{F}(x, y)$  và (ii) một đường cong  $C$  bao quanh một miền phẳng  $D$ . Điểm mấu chốt ở đây là coi  $\mathbf{F}$  như trường vận tốc của một khí phẳng tưởng tượng, rồi để miền  $D$  trôi theo trường vận tốc đó, và thu được một miền mới  $D(t)$  tại mỗi thời điểm  $t$  với  $D(0) = D$ . Gọi  $A(t) = \text{diện tích}(D(t))$ .

Chia miền  $D$  thành một số lượng lớn  $N$  của những mảnh nhỏ  $D_n$ ,  $1 \leq n \leq N$ , ta chia nhỏ diện tích của nó:

$$A(t) = \sum A_n(t).$$

Lấy đạo hàm theo  $t$  tại  $t = 0$ , ta được (sử dụng ký hiệu  $\dot{A} = d/dt$ ):

$$\dot{A}(0) = \sum \dot{A}_n(0). \quad (7.2)$$

Nhưng mức độ vận tốc thay đổi  $\dot{A}_n(0)$  của diện tích mỗi mảnh nhỏ sẽ gần như tỉ lệ thuận với diện tích của nó:

$$\dot{A}_n(0) = kA_n(0) + \varepsilon, \quad (7.3)$$

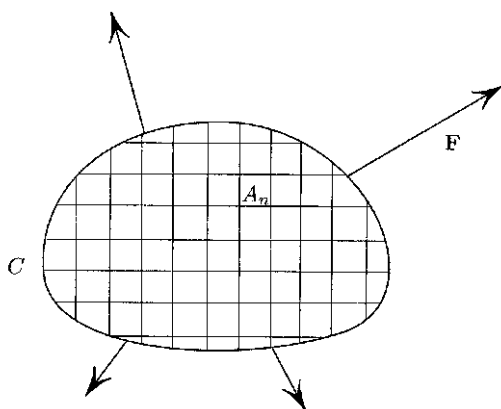
trong đó  $\varepsilon$  là một sai số nhỏ:  $\varepsilon / A_n(0) \rightarrow 0$  nếu  $A_n(0) \rightarrow 0$ . *Giới hạn của hệ số tỉ lệ khi miền co lại thành một điểm, được gọi là **suất tiêu tán** của  $\mathbf{F}$  tại điểm đó.* Tức là ta có, được định nghĩa:

$$\text{div } \mathbf{F}(x,y) = \lim_{A \rightarrow 0} \frac{\dot{A}(0)}{A(0)},$$

trong đó giới hạn được lấy khi miền co về điểm  $(x,y)$ . Hệ số  $k$  cho ta biết độ giãn ra (hay co lại) của một đơn vị diện tích, được đo tại một điểm.\* Theo đó  $k$  thật ra là một đơn vị đo độ phát tán của phân tử khí.

---

\* Dễ dàng có được công thức  $\mathbf{F} = \text{div}(\mathbf{P}, \mathbf{Q}) = \frac{7P}{7x} + \frac{7Q}{7y}$  từ định nghĩa này.



Hình 7.5. Miền ban đầu bị dòng  $\mathbf{F}$  cuốn đi.

Bây giờ thế (7.3) vào (7.2) ta thu được:

$$\dot{A}(0) = \sum \operatorname{div} \mathbf{F}(x_n, y_n) A_n(0) + \text{sai số bé},$$

trong đó  $(x_n, y_n)$  là một điểm bên trong “ô” thứ  $n$ . Trong giới hạn của phép chia đoạn nhỏ vô cùng ta thu được:

$$\dot{A}(0) = \iint_R \operatorname{div} \mathbf{F} dA.$$

Vậy mức độ thay đổi diện tích của một miền di chuyển là tích phân của thành phần vuông góc với vận tốc biên của nó:  $\dot{A}(0) = \int_C \mathbf{F} \cdot \mathbf{n} ds$  (ở đây  $\mathbf{n}$  là véc tơ pháp tuyến hướng ra ngoài của  $C$ ). Đây là toàn bộ phác thảo của chứng minh định lý Green (7.1).

# 8

## PHƯƠNG TRÌNH EULER-LAGRANGE THÔNG QUA NHỮNG Lò XO KÉO CĂNG

### 8.1 Vài hiểu biết cơ bản về phương trình Euler-Lagrange

Chương mục ngắn này bao gồm một diễn giải thuần túy cơ học của phép tính biến phân Euler-Lagrange như thế năng của một dây lò xo giả tưởng. Diễn giải này dẫn dắt gần như thẳng đến phương trình Euler-Lagrange và đem lại một giải thích cơ học rõ ràng cho luật bảo toàn năng lượng. Ngoài ra, từng số hạng riêng biệt trong phương trình Euler-Lagrange cũng có ý nghĩa cơ học cụ thể.

Sau đây là giai đoạn giới thiệu cho người đọc chưa quen với phương trình Euler-Lagrange.

Bài toán cơ bản của phép tính biến phân là tìm ra một hàm  $x(t)$  tối thiểu hóa phép tích phân.

$$\int_0^1 L(x(t), \dot{x}(t)) dt, \quad (8.1)$$

trong đó  $L$  là một hàm số cho trước với hai biến số. Giá trị biên của  $x$  được cho:  $x(0) = x_0, x(1) = x_1$ .

Để hiểu rõ được phần còn lại của chương, ta hãy xem qua một ví dụ: tối thiểu hóa tích phân

$$\int_0^1 \frac{\dot{x}^2}{2} dt \quad (8.2)$$

trong điều kiện  $x(0) = 0, x(1) = a$ . Thay vì sử dụng lý thuyết thông thường, tôi sẽ minh họa làm thế nào cơ học giải quyết được bài toán cụ thể này. Cách tiếp cận tương tự áp dụng cho trường hợp tổng quát, sẽ được trình bày sau.

Tôi muốn biểu diễn tích phân (8.2) như là thế năng của một lò xo. Để làm thế, ta hãy hình dung một lò xo được đặt dọc theo trục  $x$ . Ta biểu diễn  $x(t)$  như vị trí của một phần tử của lò xo, trong đó  $t$  là tham số gán cho các phần tử của lò xo. Ta giữ hai đầu của lò xo tại  $x = 0$  và tại  $x = a$ :  $x(0) = 0, x(1) = a$ . Ta giả sử rằng lò xo đàn hồi, theo nghĩa là lực căng của lò xo được cho bởi định luật Hooke:

$$T(x) = dx / dt = x.$$

Lưu ý rằng tôi có thể làm căng lò xo ít hay nhiều tại những vị trí khác nhau, cho nên  $T(x(t)) = x(t)$  có thể biến thiên theo  $t$ . Tôi khẳng định rằng (8.2) đúng bằng thế năng của dây lò xo nói trên (trong đó từng phần tử  $t$  được giữ tại  $x = x(t)$ , có thể bởi lực). Tạm gác lại chứng minh, ta đã biết: nếu một hàm số cụ thể  $x(\cdot)$  mang lại một cực tiểu cho (8.2), khi đó trạng thái của lò xo là cân bằng\*:  $T = 0$ , hay  $x=0$ , sao cho  $x$  là một hàm số tuyến tính; và điều kiện biên kéo theo  $x = at$  như trong đáp án.

---

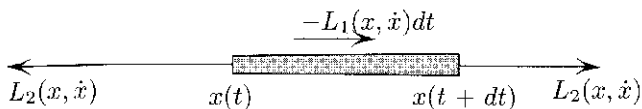
\* Bởi không còn lực nào khác tác dụng lên lò xo.

Còn phải giải thích tại sao (8.2) là thế năng. Xét một phần nhỏ của lò xo tương ứng với khoảng  $(t, t + dt)$ . Ta hãy bắt đầu với một nguyên tử không bị kéo căng, rồi sau đó căng nó từ độ dài bằng không đến độ dài sau cùng  $x(t + dt) - x(t)$ . Khi ta kéo căng, lực thay đổi từ 0 đến  $x(t)$  một cách tuyến tính với khoảng cách, vì thế ta tác động một lực trung bình là  $\frac{1}{2}x$ . Mặt khác, nhân nó với khoảng cách  $x(t + dt) - x(t) = \dot{x}dt$ , cho công tổng cộng bằng  $\frac{1}{2}x^2 dt$ , như đã phát biểu!

Mặc dù Archimedes có thể đã khám phá ra cách tiếp cận được nêu ở trên, và chắc hẳn có thể đã khái quát nó, nhưng bài toán này đã không được đặt ra cho ông. Thay vào đó, Euler và Lagrange đã giải bài toán theo những phương pháp khác nhau. Họ nhận thấy rằng nếu một hàm số  $x = x(t)$  đem lại một cực tiểu cho tích phân (8.1), khi đó nó phải thỏa mãn điều kiện:

$$\frac{d}{dt} L_{\dot{x}}(x, \dot{x}) - L_x(x, \dot{x}) = 0; \quad (8.3)$$

ở đây các chỉ số ký hiệu phương của đạo hàm riêng. Lưu ý rằng trường hợp đơn giản mà chúng ta đang xét suy ra từ kết luận này. Thực thế, nếu  $L = x^2/2$ , khi đó  $L_{\dot{x}} = x$ ,  $L_x = 0$ , và (8.3) trở thành  $x=0$ , như ta đã tìm ra bằng lập luận cơ học chân phương. Lập luận này có thể mở rộng ra cho trường hợp tổng quát, dẫn đến công thức (8.3) và đến diễn giải cơ học của nó.



Hình 8.1. Thế năng cân bằng các lực căng: đây là một diễn giải dạng cơ của phương trình Euler-Lagrange (8.3).

Từ thời Euler và Lagrange đến nay, cách thông thường để suy ra (8.3) là sử dụng phép tính biến phân, theo [GF]. Mục tiêu của chúng ta ở đây là chỉ ra cách tiếp cận mà Archimedes cũng có thể dùng để tìm một cách chứng minh khác, và hơn nữa, cung cấp một diễn giải cơ học cụ thể cho từng số hạng trong phương trình. Để tóm tắt, phương trình (8.3) có thể được xem như là điều kiện để một cái “slinky”\* treo lơ lửng ở trạng thái cân bằng.

Tôi cần nêu rõ là các lập luận trên đây là không thực sự chặt chẽ; mục tiêu là chỉ ra rằng lý thuyết này có một diễn giải cơ học có thể cảm nhận được bằng trực quan.

## 8.2 Diễn giải cơ học của phương trình Euler-Lagrange

Ta hãy hình dung một cái lò xo lý tưởng, như một băng cao su nặng hay một cái slinky được xem như một đường thẳng mỏng vô hạn, được đặt dọc theo trục  $x$ . Các phần tử của lò xo được gán cho một thông số  $t \in [0, 1]$ , sao cho  $x(t)$  là tọa độ của phần tử tương ứng.

Cho  $t$  đo khối lượng của slinky, sao cho đoạn  $[x(t), x(t + dt)]$  có khối lượng  $dt$ . Ta bấy giờ gán cho tích phân Euler-Lagrange (8.1) ý nghĩa của thế năng tổng cộng của lò xo.

---

\* Slinky là một loại đồ chơi gồm một lò xo xoắn ốc đàn hồi và có thể nảy bật lên rồi xuống như cái yoyo. Nó có thể thực hiện một số các thủ thuật, bao gồm “bước” xuống cầu thang đầu-nối-đầu khi nó co giãn rồi tự hồi phục hình dáng với sự trợ giúp của trọng lực và đà quay của riêng nó. – N.D.

1.  $L(x, 0)$  là thế năng trên đường thẳng; nói cách khác, một chất điểm  $dm$  được đặt tại  $x$  có thế năng  $L(x, 0)dm$ . Theo định nghĩa của thế năng, lực tương ứng tác động lên chất điểm này là

$$-L_x(x, 0)dm.$$

2. Cái slinky thỏa mãn một dạng của định luật Hooke: lực căng là  $T(x, x) = Lx$ . Ví dụ như trong trường hợp quan trọng nhất của  $L = \frac{1}{2}m\dot{x}^2 - V(x)$  ta có  $T = mx$  tức là định luật Hooke tuyến tính. Nhưng nhìn trong trường hợp tổng quát, lực căng phụ thuộc không chỉ vào độ giãn dài  $x$  mà còn vào vị trí  $x$ .

$\int L(x, \dot{x}) dt = \text{năng lượng tổng cộng của slinky}$ . Thực vậy, xem xét một đoạn ngắn  $[x(t), x(t + dt)]$  của slinky, có khối lượng  $dt$ . Thế năng bao gồm hai phần: một là thế năng của một chất điểm  $dt$ , cho bởi  $L(x(t), 0)dt$ , và hai là công cần thiết để kéo chất điểm  $dt$  này căng ra thành đoạn thẳng mà ta đang xét; công này được tính như sau:

$$\begin{aligned} \int_{x(t)}^{x(t+dt)} T\left(x, \frac{\sigma - x(t)}{dt}\right) d\sigma &= \int_0^{\dot{x}} L_2(x, s) ds dt \\ &= (L(x, \dot{x}) - L(x, 0))dt, \end{aligned}$$

trong đó  $\frac{\sigma - x(t)}{dt} = s$ . Năng lượng tổng cộng của đoạn thẳng, thế năng + kéo căng, đúng bằng  $L(x, x)dt$ . Năng lượng tổng cộng của slinky lúc này là tích phân Euler-Lagrange (8.3), như đã khẳng định.



### 8.3 Một cách suy ra phương trình Euler-Lagrange

Nếu một hàm số  $x(t)$  tối thiểu hóa tích phân Euler-Lagrange, khi đó cái slinky tương ứng ở trạng thái cân bằng. Chênh lệch lực căng tại hai đầu của một đoạn vô cùng nhỏ khi đó là cân bằng lực với lực thế.

$$L_{\mathbb{E}}(x, \dot{x})|_t^{t+dt} = \int_t^{t+dt} L_x(x, \dot{x}) d\tau.$$

Chia cả hai vế cho  $dt$  và lấy giới hạn khi  $dt \rightarrow 0$  dẫn đến phương trình Euler-Lagrange.

*Tóm lại, ta đã gán cho mỗi số hạng trong phương trình Euler-Lagrange một diễn giải cơ học:  $L_{\mathbb{E}}$  là lực căng,  $\frac{d}{dt} L_{\mathbb{E}}$  là tổng hợp của lực căng trên một đơn vị khối lượng, và  $L_x$  là lực thế trên một đơn vị khối lượng.*

### 8.4 Chứng minh định luật bảo toàn năng lượng bằng cách trượt một dây lò xo

Phương trình Euler-Lagrange (8.3) có một tính chất khó phát hiện. Đó là:

$$L - \dot{x}L_x = \text{constant} \quad (8.4)$$

đối với bất cứ nghiệm  $x = x(t)$  nào của phương trình Euler-Lagrange. Ý nghĩa của đại lượng\* này là gì trong mô hình “slinky” của chúng ta? Câu trả lời ẩn đằng sau quan sát hiển nhiên như thế này: Do slinky là đồng đều, tức là

---

\* Trong trường hợp đặc biệt khi  $L$  là chênh lệch giữa thế và động năng,  $L - \dot{x}L_x$  trở thành năng lượng tổng cộng, nghĩa là tổng của hai năng lượng.

mật độ năng lượng của nó  $L(x, \dot{x})$  không phụ thuộc vào  $t$ , nên ta biết rằng:

*Năng lượng được chứa trong một đoạn  $a \leq x \leq b$  không thay đổi nếu ta trượt cái slinky sao cho  $x(t)$  di chuyển đến  $x(t + c)$ ,* (8.5)

trong đó  $c$  là một hằng số. Bây giờ ta hãy diễn dịch phát biểu hiển nhiên (8.5) sang đẳng thức không hiển nhiên (8.4). Ta hãy trượt cái slinky sang phải với  $c = dt$ , bằng cách cho chất điểm  $dt$  trượt vào đoạn  $[a, b]$  tại  $x = a$  và kéo ra một lượng như vậy tại  $x = b$ . Một mặt, sự thay đổi năng lượng bên trong  $[a, b]$  là bằng không theo (8.5). Mặt khác, sự thay đổi này được tạo nên từ năng lượng của khối lượng thêm vào trừ đi năng lượng của khối lượng bớt ra và của công thực hiện bởi các lực căng tác động lên hai đầu mút. Năng lượng thêm vào/bớt ra là:

$$Ldt \Big|_{t=t_a}^{t=t_b},$$

trong khi công được thực hiện bởi lực căng tại mỗi đầu là:

$$L_2 dx \Big|_{t=t_a} - L_2 dx \Big|_{t=t_b} = -xL_2 dt \Big|_{t=t_a}^{t=t_b}$$

Cho tổng của hai năng lượng bằng không và chia cho  $dt$ , ta có:

$$L - xL_2 \Big|_{t=t_a}^{t=t_b} = 0,$$

minh chứng cho sự bất biến của năng lượng (8.4)!

# 9

## THẦU KÍNH, KÍNH VIỄN VỌNG, VÀ CƠ HỌC HAMILTON

Trọng tâm của chương này là một dạng lập luận kiểu phẩy tay (theo nghĩa đen) ở mục 9.3. Tuy đơn giản, nó có những hệ quả khá bất ngờ trong toán học và trong quang học.\* Nhờ vào diễn giải cơ học, những hệ quả này trở nên dễ tiếp cận hơn nhiều mặc dù thường thì chúng chỉ được đề cập tới trong chương trình trên đại học.

Dàn bài của chương là như sau. Mục 9.1 trình bày kiến thức cơ bản; mục 9.3 và 9.2 mô tả hệ cơ và đưa ra chứng minh cơ học cho một định lý hình học về bảo toàn diện tích. Mục 9.7 kết nối bài toán cơ/hình học với một bài toán quang học, và mục sau cùng (9.8) giải thích chức năng của kính viễn vọng và những thiết bị quang học khác thông qua “nguyên lý bất định”, vốn cũng bắt nguồn từ cơ học.

Sau đây là những nét nổi bật của chương:

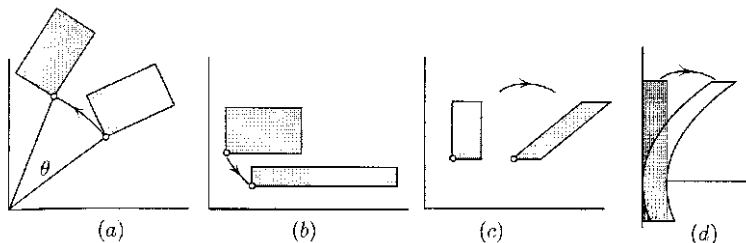
1. Phép ánh xạ bảo toàn diện tích nảy sinh một cách tự nhiên trong cơ học (mục 9.2 và 9.3).
2. Một bảng tương đồng giữa cơ học và ánh xạ bảo toàn

---

\* Đây không phải là lần đầu tiên ta bắt gặp điều gì đó tầm thường lại có những hệ quả chẳng tầm thường.

diện tích (mục 9.5).

3. Nguyên lý bất định – một đối ứng cổ điển (mục 9.6).
4. Hoạt động của kính viễn vọng, thị kính, và những thiết bị quang học khác được giải thích thông qua “nguyên lý bất định” (mục 9.8).



Hình 9.1. Những ví dụ về những phép ánh xạ bảo toàn diện tích.

## 9.1 Phép ánh xạ bảo toàn diện tích của mặt phẳng: những ví dụ

Theo định nghĩa, một phép ánh xạ của mặt phẳng là một hàm số gán cho mỗi điểm  $z = (x, y)$  của mặt phẳng một điểm mới:

$$\phi(z) = (f(x, y), g(x, y)) \quad (9.1)$$

Một phép ánh xạ như thế được gọi là *bảo toàn diện tích* nếu diện tích của tập hợp bất kỳ bằng với diện tích ảnh của nó qua phép ánh xạ. Những ví dụ đơn giản nhất của phép ánh xạ bảo toàn diện tích bao gồm

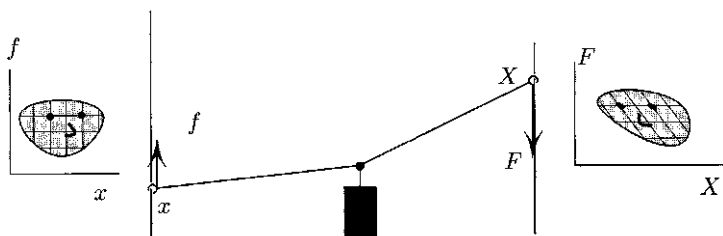
1. Phép quay: với mỗi điểm  $(x, y)$  ánh xạ gán một điểm được xoay qua một góc cho trước  $\theta$ . Điểm quay này được cho

theo tọa độ  $(x \cos \theta - y \sin \theta, x \sin \theta + y \cos \theta)$ , như trong hình 9.1(a).

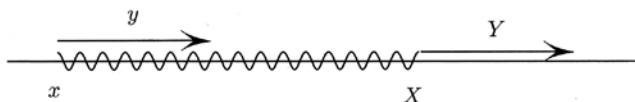
2. Phép quay hyperbol: giãn ra ở hướng này theo một hệ số không đổi  $\lambda$  và co lại ở hướng kia theo cùng hệ số đó; chẳng hạn,  $(x, y) \mapsto (\lambda x, \lambda^{-1} y)$ , như trong hình 9.1(b).
3. Phép quay parabol  $(x, y) \mapsto (x + ay, y)$ , hay một ánh xạ lệch, như trong hình 9.1(c).
4. Phép trượt parabol:  $(x, y) \mapsto (x + y^2, y)$ , như trong hình 9.1(d).

## 9.2 Cơ học và ánh xạ

Mối liên kết đáng chú ý giữa hình học và cơ học là mẫu hình lặp đi lặp lại của cuốn sách này. Tôi sẽ mô tả một khía cạnh của mối liên kết này dưới dạng đơn giản hết mức, sau khi lược bỏ hầu hết các thuật ngữ chuyên môn và các rào cản mang tính kỹ thuật. Bằng cách sử dụng cơ học, ta sẽ có được một lời giải thích tại sao kính viễn vọng, kính hiển vi, và thị kính có thể phóng to các vật thể.



Hình 9.2. Cơ học dẫn đến hình học: Hệ cơ gây ra một phép ánh xạ  $\psi$  “biến” cặp (vị trí, lực)  $(x, f)$  bên trái thành một cặp đồng dạng  $(X, F)$  bên phải.



Hình 9.3. Thế năng của một lò xo đàn hồi chặt là một hàm sinh của ánh xạ lệch.

Sau đây là mối liên hệ hình-cơ này được trình bày một cách vắn tắt. Xem xét một hệ cơ đơn giản, như là hệ trong hình 9.2.\* Mỗi hình vành khuyên có thể trượt không ma sát dọc theo đường thẳng của nó. Hình dung tôi đang giữ hai vành khuyên, với mọi thứ đang ở trạng thái nghỉ. Vị trí  $x$  của hình vành khuyên bên trái và lực  $f$  kéo tay trái tôi xác định\*\* vị trí  $X$  của hình vành khuyên bên phải và lực  $F$  làm di chuyển hình vành khuyên đó. Do đó ta có phép ánh xạ

$$\psi = (x, f) \mapsto (X, F)$$

Cái đáng chú ý là phép ánh xạ này bảo toàn diện tích, bất kể sự sắp đặt cơ học giữa hai vành khuyên có thể phức tạp đến đâu. Ta có thể thay đổi  $\psi$  bằng cách thêm vào những lò xo, những ròng rọc, thêm những quả nặng, nhưng ta không thể thay đổi tính chất về bảo toàn diện tích. (Để biết những ví dụ khác, xem hình 9.3 và 9.7).

Giải thích thực ra rất đơn giản như bạn đọc sẽ thấy trong mục kế tiếp.

---

\* Nhiều ví dụ hơn được cho trong phần bài tập ở mục 9.9.

\*\* Theo vài giả thuyết chuyên môn sẽ được mô tả sau.

### 9.3 Một “chứng minh” phẩy-tay (đúng nghĩa đen!) của bảo toàn diện tích

Sau đây là chứng minh cho việc ánh xạ  $\psi: (x, f) \mapsto (X, F)$  bảo toàn diện tích. Vẫn với hình 9.2, hình dung tôi đang giữ hai hình vành khuyên sao cho hệ là bất động. Để giữ mọi thứ vẫn đứng yên tôi phải tác dụng lực  $(-f)$  ở tay trái và lực  $(-F)$  ở tay phải.

Bây giờ tới phần phẩy-tay: thật chậm rãi (để không kích thích bất cứ rung động nào) tôi di chuyển hai tay trong một điệu bộ tùy ý nhưng có tính chu kỳ, đưa hai hình vành khuyên về lại vị trí ban đầu của chúng. Cuối cùng tôi làm cho công bằng không:  $\oint (-f) dx + \oint (-F) dX = 0$ , hay

$$\oint f dx + \oint F dX = 0 \quad (9.2)$$

trong đó số hạng đầu tiên là công được tay trái tôi thực hiện và số hạng thứ hai là công được tay phải tôi thực hiện. Cho đến đây, mọi thứ hoàn toàn hiển nhiên về mặt cơ học. Nhưng bây giờ ta hãy phiên dịch nó thành một phát biểu hình học. Khi tôi di chuyển hai tay, các điểm  $(x, f)$  và  $(X, F)$  lần lượt vạch ra những đường cong kín  $c$  và  $C$ . Ngoài ra, đường cong thứ hai là ảnh của đường cong đầu:  $C = \psi(c)$ . Nhưng lưu ý rằng hai số hạng trong phương trình (9.2) chính xác là diện tích của  $c$  và  $C$ ! Công được mỗi tay tôi thực hiện có ý nghĩa hình học là diện tích! Tổng của hai diện tích bằng không; nói cách khác, ngoài sự đổi dấu, phép ánh xạ  $\psi$  bảo toàn diện tích. Sự đổi dấu này nghĩa là sự đảo hướng: ảnh của cái găng tay bên trái sẽ trông như cái găng tay bên phải.

**Chỉnh sửa về hình thức.** Để tránh phải đối mặt với những diện tích giá trị âm, và vì lý do lịch sử, ta hãy gọi  $Y = -F$ ; để có ký hiệu thống nhất ta cũng đổi biến  $f = y$  (hai đại lượng cùng dấu). Khi đó (9.2) trở thành:

$$\oint y dx = \oint Y dX \quad (9.3)$$

điều mà có nghĩa rằng phép ánh xạ  $\varphi = (x, y) \mapsto (X, Y)$  bảo toàn diện tích, bây giờ thì bảo toàn cả dấu  $[\pm]$ .

Tính chất này và tính chất tương tự trong trường hợp chiều cao, xuất hiện dưới nhiều vỏ bọc khác nhau và có những hệ quả sâu sắc trong động lực học và quang học. Trong thực tế, quan sát này đưa chúng ta tới tới một lĩnh vực nghiên cứu rất năng động là bộ môn tôpô symplectic [HZ].

## 9.4 Hàm sinh

“Chứng minh” của sự bảo toàn diện tích là không thật chặt chẽ, bởi vì tôi thậm chí còn không định nghĩa chính xác phép ánh xạ  $\varphi$ , mà chỉ nói rằng nó được xác định bởi một hệ cơ được mô tả một cách lơ mơ. Sau đây là mô tả cụ thể hơn. Những gì ta thực sự cần từ hình 9.2 là thế năng  $P = P(x, X)$  của hệ. Theo định nghĩa của thế năng,\* ta có các lực:

$$\begin{cases} f = -\frac{\partial}{\partial x} P(x, X) \\ F = -\frac{\partial}{\partial X} P(x, X). \end{cases} \quad (9.4)$$

---

\* Nhắc lại rằng nếu  $P(x)$  là thế năng, khi đó lực là  $-P'(x)$ .



Đây là định nghĩa cụ thể của ánh xạ  $\psi$ . Ánh xạ được xác định bởi một hàm số  $P$ , gọi là *hàm sinh*. Ánh xạ sau khi đổi biến  $\varphi = (x, y) \mapsto (X, Y)$  có được bằng cách đổi ký hiệu của  $F$ , như đã đề cập ở trên, và bằng cách đổi ký hiệu  $f$  thành  $y$ :

$$\begin{cases} y = -\frac{\partial}{\partial x} P(x, X) \\ Y = \frac{\partial}{\partial X} P(x, X). \end{cases} \quad (9.5)$$

**Ví dụ.** Khảo sát một hàm số bậc hai đơn giản:

$$P(x, X) = \frac{1}{2} k(X - x)^2.$$

Nó có thể được ví như là thế năng của một lò xo đàn hồi chặt có hai đầu được giữ tại các điểm  $x, X$  (hình 9.3), với hằng số Hooke  $k$ . Hệ phương trình (9.5) cho  $X = x + ky, Y = y$ ; đây chính xác là ánh xạ trượt được định nghĩa trong mục 9.2, với  $a = k$ ! Cái thú vị là, độ trượt, một tính chất hình học, được diễn giải như là hằng số Hooke, một thuộc tính cơ học. Cũng lưu ý rằng  $X - x = ky$  chỉ là định luật Hooke cho lò xo đàn hồi chặt, trong khi  $Y = y$  nghĩa là ta kéo hai đầu của lò xo với những lực bằng nhau!

## 9.5 Bảng tương ứng giữa Cơ học và Giải tích

### **Cơ học**

Thế năng  $P(x, X)$

Các lực

$$f = -\frac{\partial}{\partial x} P(x, X),$$

$$F = -\frac{\partial}{\partial X} P(x, X)$$

Công được tay trái (phải)

thực hiện:

$$\oint f dx \left( \oint F dX \right)$$

Tổng công thực hiện bằng

không:

$$\oint f dx + \oint F dX = 0$$

### **Giải tích**

Hàm sinh  $P(x, X)$

Các động lượng

$$y = -\frac{\partial}{\partial x} P(x, X),$$

$$Y = \frac{\partial}{\partial X} P(x, X)$$

Diện tích của tạo ảnh:

$$\oint y dx \left( \oint Y dX \right)$$

Diện tích được bảo toàn:

$$\oint y dx = \oint Y dX$$

**Không gian bậc cao.** Tính chất bảo toàn diện tích (9.3) có thể khái quát cho những phép ánh xạ trong không gian bậc cao bằng cách cho cả  $x$  và  $y$  ở trong không gian  $n$ -chiều ( $n \geq 1$ ):  $x \in \mathbb{R}^n$ ,  $y \in \mathbb{R}^n$ , sao cho  $(x, y) \in \mathbb{R}^{2n}$ . Khi đó  $y dx$  trong (9.3) phải được hiểu như tích chấm:  $y dx = \sum y_k dx_k$ . Phép ánh xạ  $\varphi(x, y) \mapsto (X, Y)$  trong  $\mathbb{R}^{2n}$  mà thỏa mãn tính chất (9.3) được gọi là một ánh xạ **symplectic**.

Diễn giải cơ học của hình 9.2 còn trở nên đơn giản hơn trong trường hợp không gian chiều cao  $n = 3$ : tôi không cần phải giữ cho các hình vành khuyên dọc theo những đường thẳng nữa, mà bây giờ là  $x, f, X, F \in \mathbb{R}^3$ . Lúc này  $(x, y)$  nằm

trong  $\mathbb{R}^6$  và ta có một phép ánh xạ  $\varphi: \mathbb{R}^6 \rightarrow \mathbb{R}^6$ . Phép ánh xạ này gán cặp (vị trí, lực) ở tay trái tôi cho cặp (vị trí, lực) ở tay phải tôi. Phép ánh xạ này hiển nhiên là ánh xạ symplectic (sau một phép đổi biến như được mô tả ở định lý vừa rồi). Khi hai đứa trẻ cùng quay vòng một sợi dây\* bằng cách nắm lấy hai đầu của nó, chúng đang xây dựng một ánh xạ symplectic trong không gian  $\mathbb{R}^6$  (coi như sợi dây đứng yên).

Diễn giải cơ học có tính phổ quát đến mức nào? Có thể chỉ ra rằng, một ánh xạ symplectic bất kỳ, không quá suy biến vừa phải, là hợp thành của những ánh xạ xây dựng trên những hệ cơ học tương tự như các hệ vừa được mô tả.

## 9.6 “Nguyên lý bất định”

Nguyên lý bất định cơ học lượng tử phát biểu một cách đại thể rằng nếu ta biết càng chắc chắn về vị trí của một hạt, ta càng kém chắc chắn về vận tốc của nó.

Tính chất bảo toàn diện tích có thể được xem như là một mô phỏng cơ học cổ điển của nguyên lý bất định. Hình 9.4 cho thấy một ánh xạ bảo toàn diện tích nén chiều rộng của một vùng phẳng theo phương  $x$  từ 1 xuống còn  $\varepsilon \ll 1$ . Ta có thể nghĩ về sự nén này như là sự thu nhận thông tin về  $x$ , bởi phạm vi giá trị  $x$  khả dĩ bị thu hẹp. Nhưng để bảo toàn diện tích, ánh xạ phải kéo giãn theo phương  $y$ . Sự kéo giãn này nghĩa là phạm vi của những giá trị  $Y$  là lớn, cho nên ta đã làm mất thông tin về  $Y$ . Tóm lại, để thu nhận được thông

---

\* Nguyên văn: skipping rope – trò chơi nhảy dây: hai người đứng ở hai đầu dây liên tục (và đồng bộ) quay sợi dây vòng qua đầu rồi quét qua chân để cho những người khác có thể nhảy liên tục trong vòng quay của dây. – N.D.

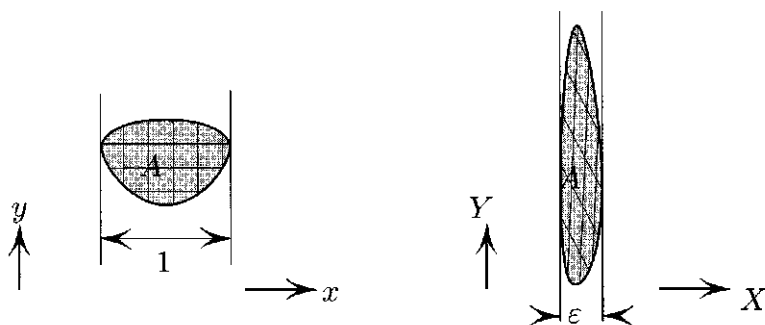
tin về  $X$  ta đã làm mất thông tin về  $Y$ ; các biến số này có thể xem như những mô phỏng của vị trí và động lượng cơ học lượng tử, và thực tế chúng thường xuất hiện trong cơ học cổ điển như là vị trí và động lượng.

**Bài toán.** Cho rằng phép ánh xạ trong hình 9.4 nén vùng phẳng như được minh họa. Chỉ ra rằng phạm vi của những giá trị  $Y$  trong ảnh của miền diện tích  $A$  tối thiểu là  $A / \varepsilon$ .

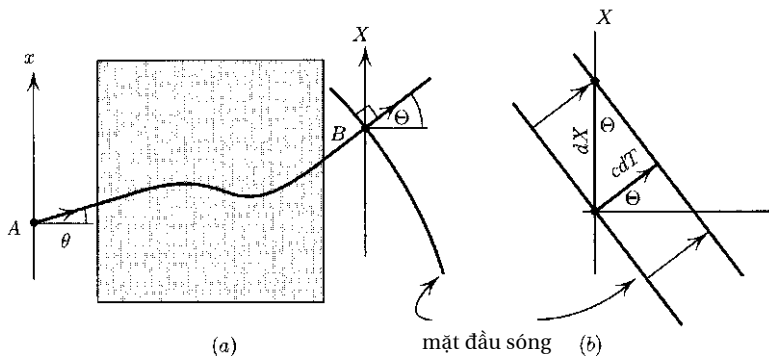
Kính viễn vọng phóng to những vật thể nhờ vào nguyên lý bất định này, như tôi sẽ giải thích sau (mục 9.8).

## 9.7 Bảo toàn diện tích trong quang học

Khảo sát một tia sáng truyền qua một thiết bị quang học – một ống kính, một kính viễn vọng, một thị kính, hay một vi kính – như trong hình 9.5.



Hình 9.4. Nén phạm vi của  $x$  làm giảm phạm vi của  $y$ , dẫn theo điều kiện bảo toàn diện tích.



Hình 9.5. (a) Thời gian di chuyển  $T(x, X)$  định nghĩa phép ánh xạ biến  $(x, \theta)$  thành  $(X, \Theta)$  thông qua (9.6). (b) Chứng minh của (9.6).

Gọi  $x$  và  $X$  là tọa độ giao điểm của tia sáng với hai trục song song,  $x$  và  $X$ . Thời gian di chuyển giữa hai đường này được ký hiệu là  $T(x, X)$ . Cho  $L(x, X) = cT(x, X)$ , trong đó  $c = \text{constant}$  là vận tốc của ánh sáng trong không khí.\* Cho  $y = \sin \theta$ , trong đó  $\theta$  là góc giữa tia sáng và trục nằm ngang trục giao trục  $x$  trong hình 9.5(a). Một cách tương tự, ta định nghĩa  $Y = \sin \Theta$ . Ta sẽ chỉ ra rằng dữ liệu đầu vào  $(x, y)$  của tia sáng có liên hệ với dữ liệu đầu ra  $(X, Y)$  thông qua:

$$\begin{aligned} \frac{\partial}{\partial x} L(x, X) &= -y \\ \frac{\partial}{\partial X} L(x, X) &= Y. \end{aligned} \quad (9.6)$$

\* Theo đó  $L$  có chiều kích của khoảng cách; lưu ý rằng  $L$  là lớn hơn quãng đường thực của tia sáng bởi phần thời gian tiêu tốn trong thủy tinh nơi mà ánh sáng truyền chậm hơn, cho nên  $T$  là lớn hơn thời gian cũng quãng đường đó cần trong không khí. Trên thực tế ta có thể chọn hệ đơn vị sao cho  $c = 1$ , trường hợp mà ta sẽ có  $T = L$ .

Đây chính là quan hệ tương tự như (9.5) trong ví dụ lấy từ cơ học, hình 9.2! Ta đã chứng tỏ bằng một lập luận “phấy-tay” dạng cơ (mục 9.3) rằng phép ánh xạ  $(x, y) \mapsto (X, Y)$  bảo toàn diện tích. Đây là tính chất cơ bản của bất kỳ thiết bị quang học nào. Ta thấy (đúng nghĩa đen) các hiệu ứng của tính chất bảo toàn diện tích này khi ánh sáng truyền từ, một màn hình tivi chẳng hạn, qua tròng mắt kính, qua giác mạc, và lên võng mạc. Tôi sẽ mô tả một biểu hiện lý thú của tính chất bảo toàn diện tích ở mục tiếp theo.

**Tương ứng cơ học.** Bảng những tương ứng (mục 9.5) mở rộng từ cơ học sang quang học: hàm thế năng  $P(x, X)$  tương ứng độ dài  $L(x, X) = cT(x, X)$ ; lực  $F = \frac{\partial}{\partial X} P(x, X)$  tương ứng  $\sin \Theta$ .

**Chứng minh của (9.6).** Hình 9.5 cho thấy một mặt đầu sóng của những tia sáng phát xuất tại  $A$ . Theo định nghĩa, mọi vị trí trên một mặt đầu sóng là cách đều  $A$  theo nghĩa luôn tồn một *thời lượng* như nhau để đến được vị trí đó từ điểm  $A$ — “chiếm thời lượng như nhau” sẽ là một cách diễn đạt chính xác hơn.\*

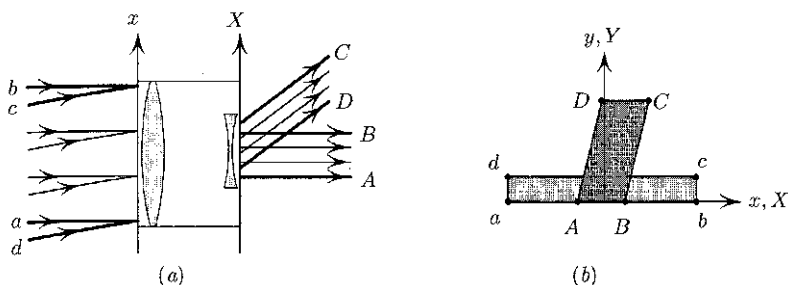
1. Hóa ra *mặt đầu sóng luôn luôn vuông góc với tia sáng* trong môi trường đẳng hướng,\*\* như ta đã giả sử tất cả thấu kính trong thiết bị quang học của ta đều như vậy. Có thể suy ra tính trực giao này từ nguyên lý Huygen;

---

\* Bởi thời gian được đề cập như là *độ dài quang học*, ta có thể nói rằng mặt đầu lan truyền tại  $A$  là một tập hợp cách đều quang học tính, điều đó nghĩa là, một đường tròn theo ngữ nghĩa của độ dài quang học.

\*\* Điều này nghĩa là vận tốc ánh sáng tại mỗi điểm không phụ thuộc vào phương truyền.

do tính đẳng hướng, tập hợp vô cùng bé các điểm có thể đến được đó trong thời gian  $dt$  từ một điểm đã cho (các tập hợp điểm này được gọi là các mặt khúc xạ) là hình cầu chứ không phải hình ellipse. Thông tin bổ sung có thể được tìm thấy trong cuốn [ARN]. Trong hình học Euclid, các bán kính luôn vuông góc với đường tròn; cũng vì lý do đó mà những tia sáng luôn vuông góc với các mặt đầu sóng – cần nhắc lại rằng các mặt đầu sóng được định nghĩa như là những đường tròn với thời gian giữ vai trò khoảng cách.\*



Hình 9.6. Nếu chùm tia thu hẹp, khi đó góc giữa hai chùm tia mở rộng ra. Điều này được nhận thấy như là sự phóng to. Nếu chùm tia thu hẹp lại, coi như, bốn lần, khi đó thiết bị phóng to theo hệ số là 4.

2. Xem xét hai vị trí liên tiếp của một mặt đầu sóng, cách nhau một thời lượng ngắn  $dT$  (hình 9.5). Mặt đầu dịch chuyển một đoạn  $cdT$ , và giao điểm với trục  $X$  chuyển đi một đoạn  $dX = cdT / \sin \Theta$ . Theo đó  $cdT / dX = dL / dX = \sin \Theta = Y$ .

---

\* Tất cả điều này là một chủ đề của hình học vi phân; một thảo luận tốt có thể được tìm thấy trong, như là, cuốn [DO].

**Chú ý.** Công thức (9.6) phụ thuộc vào dữ kiện rằng các góc  $\theta$ ,  $\Theta$  được đo trong không khí.

## 9.8 Kính viễn vọng và bảo toàn diện tích

Xét một thiết bị quang học, như là một kính viễn vọng hay một thị kính (dạng sau được cho thấy dưới dạng biểu đồ trong hình 9.6). Đối với chúng ta thiết bị này là một hộp đen: ta không biết hay không quan tâm xem có thấu kính nào, có gương nào ở bên trong, hay có bao nhiêu cái. Tất cả những gì ta biết là:

*Một chùm song song của tia sáng được biến đổi  
thành một chùm song song hẹp hơn.*

Chỉ riêng dữ kiện này bao hàm ý nghĩa là thiết bị quang học sẽ phóng to vật thể! Tại sao? Sau đây là phác họa cho câu trả lời. Trong mục trên ta đã khảo sát phép ánh xạ  $(x, y = \sin \theta) \mapsto (X, Y = \sin \Theta)$ , vốn gán dữ liệu đầu vào của tia sáng cho dữ liệu đầu ra. Ta đã thể hiện rằng phép ánh xạ đó là bảo toàn diện tích. Bây giờ, sự thu hẹp của chùm tia hàm nghĩa rằng phép ánh xạ nén một hình chữ nhật mỏng  $abcd$  theo phương  $x$ . Tính chất bảo toàn diện tích khi đó tác dụng một sự kéo giãn bù lại theo phương  $y$ . Mà sự kéo giãn theo phương  $y$  bản thân nó biểu hiện như sự phóng to ảnh.

Thực tế ta sẽ chỉ ra rằng hệ số phóng to bằng với tỉ lệ bề rộng của chùm tia, giả định rằng các góc với trục quang học (ví dụ đường trục đối xứng hình học) là nhỏ.

Sau đây là một giải thích chi tiết hơn cho nhận định ở trên.



Trong thảo luận sau ta sẽ làm việc với những góc nhỏ, điều này cho phép ta coi  $y = \sin \theta$  xấp xỉ  $\theta$  và  $Y = \sin \Theta$  xấp xỉ  $\Theta$ .

1. Mỗi tia sáng – như,  $cC$  trong hình 9.6 – được đặc trưng bởi một điểm  $(x, y)$  trong mặt phẳng, trong đó  $x$  là tọa độ nhập vào và  $y$  là góc xấp xỉ của tia sáng với trục quang học.
2. Hệ số phóng to của thị kính là tỉ số  $\theta_2 / \theta_1$ , trong đó  $\theta_1$  là góc giữa hai chùm tia song song tới thị kính, và  $\theta_2$  là góc giữa các chùm ra (hình 9.6). Trước tiên, lưu ý rằng một chùm tia song song được cảm nhận bằng mắt chúng ta như là một điểm, bởi tất cả tia sáng song song hội tụ tại một “điểm ảnh” của võng mạc chúng ta (giả định chúng ta lấy tiêu điểm mắt mình ở vô cực và có tầm nhìn hoàn hảo). Bây giờ, hình dung ta đang nhìn vào một con thuyền ở xa, có chùm tia song song  $ab$  (hình 9.6) đến từ một điểm\* ở đuôi tàu và có chùm tia khác  $dc$  đến từ một điểm ở mũi tàu. Với mắt thường đuôi tàu và mũi tàu hiện ra rất gần bởi vì các chùm tia hợp thành một góc nhỏ; tôi hầu như không cần xoay mắt mình để nhìn từ đầu này đến đầu kia. Nhưng các chùm tia được biến đổi  $AB$  và  $CD$  hợp thành một góc lớn hơn, để mà đuôi tàu và mũi tàu sẽ hiện ra cách xa nhau hơn – chính xác là xa hơn  $\theta_2 / \theta_1$  lần.
3. Chùm tia tới  $ab$  trong hình 9.6(a) tương ứng với đoạn

---

\* Các tia sáng phát ra từ một điểm thì không hoàn toàn gọi là song song, nhưng con thuyền là ở rất xa và ta có thể xem như chúng là song song.

$ab$  trong hình 9.6(b); chùm tia tới bị nghiêng trong hình (a) tương ứng với đoạn  $cd$  trong hình (b). Các chùm tia có góc và vị trí nằm giữa hai đối cực này hợp thành phần bên trong của hình chữ nhật  $abcd$ . Đoạn nằm ngang  $ab$  ánh xạ thành một đoạn ngắn hơn  $AB$  nhờ vào tính chất chùm-tia-thu-hẹp. Độ dài của đoạn nằm ngang là bề rộng của chùm tia song song tương ứng. Do đó tỉ số của các độ dài  $ab / AB = \lambda$ , bằng với tỉ số của bề rộng các chùm tia. Nhờ sự tuyến tính, mọi đoạn nằm ngang trong  $abcd$  (i) ngắn lại theo cùng một hệ số  $\lambda$  và (ii) vẫn nằm ngang. Độ cao của  $abcd$  là  $\sin\theta_1$ , trong khi độ cao của  $ABCD$  là  $\sin\theta_2$ . Các diện tích của  $abcd$  và  $ABCD$  là bằng nhau:

$$ab \cdot \sin\theta_1 = AB \cdot \sin\theta_2 ;$$

thay  $\sin \theta$  bằng  $\theta$  và dùng  $ab/AB = \lambda$ , ta thu được hệ số phóng to như là tỉ số của bề rộng các chùm tia:

$$\theta_2 / \theta_1 = \lambda .$$

## 9.9 Bài tập

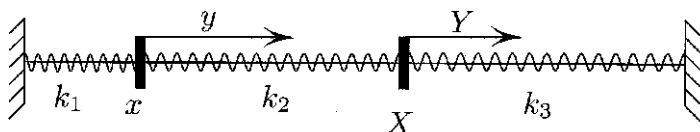
1. Kiểm chứng rằng nếu đạo hàm riêng hỗn hợp  $\frac{\partial^2}{\partial x \partial x} P(x, X) \neq 0$ , khi đó hệ phương trình (9.5) xác định  $X$ ,  $Y$  như là những hàm số của  $x, y$ .

**Lời giải.** Theo điều kiện,  $\frac{\partial}{\partial x} P(x, X)$  là một hàm đơn điệu của  $X$ . Theo đó  $X$  được xác định chỉ theo  $x, y$ . Theo đó phương trình thứ hai (9.4) xác định  $Y$  theo  $x, y$ .

2. Phép ánh xạ tương ứng với hàm sinh  $P = \frac{k}{2}(X - x)^2$

là gì? Làm thế nào một phép ánh xạ như vậy có thể hiện thực hóa được bằng cách sử dụng cơ học? Gợi ý: Xem hình 9.3.

3. Tìm hàm sinh  $P(x, X)$  tạo ra từng loại ánh xạ trong hình 9.1.
4. Biết một phép ánh xạ tuyến tính với định thức bằng 1, tìm một hàm sinh tạo ra phép ánh xạ này.
5. Xem xét một hệ với lò xo được thể hiện trong hình 9.7. Ánh xạ nào trong hình 9.1 có thể được hiện thực hóa nhờ vào sự lựa chọn thích hợp những hằng số Hooke  $k_1$ ,  $k_2$  và  $k_3$ ?



Hình 9.7. Một phép ánh xạ diện-tích-bảo-toàn tổng quát (hơn) được hiện thực hóa nhờ những lò xo.

6. Chọn lựa nào cho những hằng số Hooke trong hình 9.7 tương ứng với hệ kính trong hình 9.6(a)?
7. (Trong bài tập này tôi giả định độc giả quen thuộc với công thức thấu kính). Tìm tương tự cơ học của công thức thấu kính  $\frac{1}{d_1} + \frac{1}{d_2} = \frac{1}{f}$ . Gợi ý: Công thức thấu kính thể hiện một thực tế là các tia sáng được phóng ra từ một điểm tái hội tụ tại một điểm khác. Tất cả tia sáng như vậy tốn một thời lượng như nhau [truyền đi] giữa hai điểm này. Đối với một hệ cơ học tương ứng, thế năng là như nhau cho những hình trạng khác nhau,

và một tổng nào đó của lực thế nên bằng không.

8. Cho ma trận  $A$   $2 \times 2$  đối xứng bất kỳ, tìm một hệ cơ học có thể năng là dạng toàn phương  $\frac{1}{2}\langle A\mathbf{x}, \mathbf{x} \rangle$ , và theo đó lực thế tại  $\mathbf{x}$  là  $A\mathbf{x}$ .
9. Bằng cách sử dụng mô hình hóa cơ học của một ma trận đối xứng  $A$  từ bài tập ở trên, chứng minh rằng giá trị riêng của  $A$  là số thực. Gợi ý: Nếu các giá trị riêng không là số thực, thì sẽ tồn tại một động cơ vĩnh cửu. Ấy là, khi đó công được lực  $A\mathbf{x}$  thực hiện vòng quanh đường tròn đơn vị là bằng không (chứng minh không đòi hỏi phép tính nào).
10. Hãy chỉ ra rằng tích trực giao của véc tơ riêng của một ma trận đối xứng  $A$  là một hệ quả của sự không tồn tại động cơ vĩnh cửu. Gợi ý: diễn giải  $A\mathbf{x}$  như là lực được một thiết bị cơ học thích hợp gây ra.

# 10

## CÁI BÁNH XE ĐẠP VÀ ĐỊNH LÝ GAUSS-BONNET

### 10.1 Giới thiệu

Chương này kể một câu chuyện lý thú về mối liên hệ giữa trò chơi với cái bánh xe đạp và một định lý cơ bản của hình học vi phân. Các góc nội tiếp trong một tam giác phẳng có tổng bằng  $180^\circ$ . Khẳng định này có thể phát biểu lại một cách tổng quát và cơ bản hơn: nếu tôi đi vòng quanh một đường cong kín trên mặt phẳng, khi đó mũi của tôi được xem như là một véc tơ, sẽ quay một góc là  $2\pi$  (với điều kiện là tôi luôn nhìn thẳng tới trước).\*

Liệu điều tương tự còn đúng với những cư dân sống trên những mặt cong? Hình 10.1 minh họa một đường đi hình tam giác trên mặt cầu. Hai cạnh nằm trên những kinh tuyến và một cạnh trên xích đạo. Đối với cư dân của mặt cầu các cạnh của tam giác hiện ra như một đường thẳng.\*\* Một máy bay bay vòng quanh tam giác này sẽ rẽ trái một góc  $\pi/2$  ba

---

\* Ý nghĩa toán học cụ thể của phát biểu này được cho trong mục 10.3.

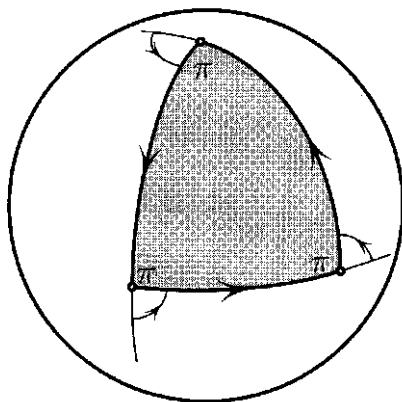
\*\* Những đường “thẳng” như vậy được gọi là *những đường trắc địa* và được định nghĩa ở mục 10.3.

lần giữa các lối đi “thẳng”, theo đó tổng cộng xoay một góc  $3\pi / 2 < 2\pi$  trong suốt hành trình của nó. Thực ra với mọi đường đi khép kín trên một mặt cầu đơn vị, “góc xoay” có thể tính bằng:

$$\theta = 2\pi - A, \quad (10.1)$$

trong đó  $A$  là diện tích được lối đi kín bao quanh. Đối với đường theo phương xích đạo, ví dụ, ta có  $A = 2\pi$  (diện tích của mặt bán cầu), và theo đó  $\theta = 2\pi - 2\pi = 0$ , phù hợp với trực giác.

Biểu thức (10.1) là một trường hợp đặc biệt của định lý Gauss-Bonnet. Định lý xác định “góc xoay”  $\theta$  cho một lối đi kín trên một mặt trơn bất kỳ, không nhất thiết phải là mặt cầu. Các kiến thức cơ bản cần thiết cho phát biểu định lý được trình bày ở mục 10.3.

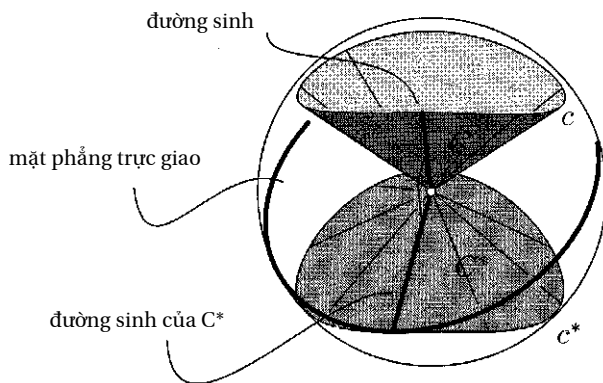


Hình 10.1. Tổng các góc trong một tam giác cầu là  $\pi - A / R^2$ .

Sau đây là tóm tắt nội dung của chương. Cốt lõi của định

lý Gauss-Bonnet nằm trong một định lý được phát biểu đơn giản về những mặt nón ở mục 10.2; nó là điểm chốt của cả chương. Định lý này nảy ra trong đầu tôi khi tôi đang thay một cái săm xe bị thủng, như mô tả ở mục 10.5. Không chỉ phát biểu định lý mặt nón được cơ học gợi ý, mà ngay cả chứng minh cũng được cơ học đưa ra (tr. 177).<sup>\*</sup> Nội dung của các mục còn lại là những ứng dụng của định lý mặt nón, bao gồm:

1. Làm thế nào để đo diện tích của một miếng đất bằng cách sử dụng một bánh xe quán tính.
2. Làm thế nào sự đối hướng của trục bánh xe gây ra chuyển động quay.



Hình 10.2. Định nghĩa của mặt nón đối.

3. Kiến thức cơ bản cho định lý Gauss-Bonnet (độ cong

---

<sup>\*</sup> Chứng minh toán học thuần túy có thể được tìm thấy trong cuốn [L2].

trắc địa và độ cong Gauss).

4. Định lý Gauss-Bonnet như là một sự phát biểu lại định lý nón đối ngẫu.

Sau khi hiểu phát biểu của định lý nón đối ngẫu, các mục còn lại có thể được đọc theo trình tự bất kỳ, với một ngoại lệ hiển nhiên là mục về định lý Gauss-Bonnet phải dựa trên phần hiểu biết cơ bản ở trước nó.

## 10.2 Định lý nón đối ngẫu

**Định nghĩa nón đối ngẫu.** Gọi  $C$  là một mặt nón lồi, như trong hình 10.2. Các tia tạo nên mặt nón được gọi là đường sinh. Để định nghĩa mặt nón đối, tưởng tượng một họ mặt phẳng vuông góc các đường sinh của  $C$ . Tất cả mặt phẳng này tiếp tuyến với mặt nón bất khả kiến nào đó, như trong hình 10.2. Mặt nón này được gọi là nón đối ngẫu của  $C$ , được kí hiệu là  $C^*$ .

Tính đối ngẫu là thuận nghịch: đối ngẫu của  $C^*$  là  $C$ , tức là  $(C^*)^* = C$ . Lý do là định nghĩa của  $C^*$  tương đương với hai nhận định sau đây:

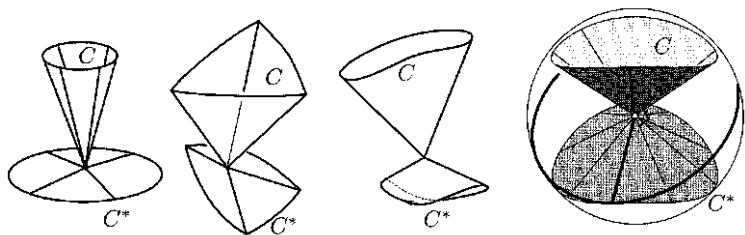
1. Các đường sinh của  $C$  và  $C^*$  hợp thành những cặp trực giao, như được minh họa trong hình 10.2.
2. Các tiếp tuyến với hai đường cong  $c$  và  $c^*$  tại các điểm tương ứng là song song, trong đó  $c$  và  $c^*$  là các đường cong giao tuyến của  $C$  và  $C^*$  với mặt cầu đơn vị.

Nhưng hai tính chất này hoàn toàn đối xứng: không mặt nón nào được ưu tiên, và vì thế mỗi mặt nón là đối ngẫu của cái nón còn lại. Chứng minh chi tiết có thể được tìm



thấy trong cuốn [L2].

Dễ thấy rằng nón càng nhọn, thì nón đối ngẫu càng tù. Định lý sau đây phát biểu một mối quan hệ cụ thể giữa chúng. Mặc dù đơn giản, định lý này góp phần tạo nên công thức Gauss-Bonnet (như được cho thấy ở mục 10.4).



Hình 10.3. Vài mặt nón và phần đối của chúng.  $A(C) + L(C^*) = 2\pi$

**Định lý nón đối ngẫu.** Nếu  $C$  là một mặt nón lồi và  $C^*$  là nón đối ngẫu của nó, thì ta có:

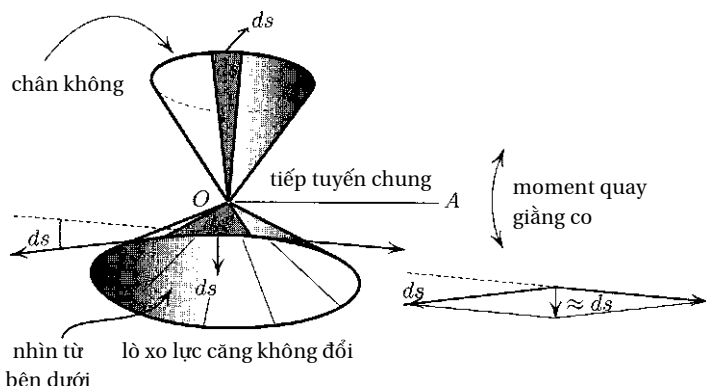
$$A(C) + L(C^*) = 2\pi, \quad (10.2)$$

trong đó  $A(C)$  là góc khối của  $C$ , nghĩa là, diện tích phần mặt cầu đơn vị  $S^2$  được giới hạn bởi  $C$  và  $L(C^*)$  là độ dài của đường cong  $C^* \cap S^2$  trên mặt cầu đơn vị. Lưu ý rằng các mặt nón ở đây không nhất thiết phải tròn.

Định lý hình học thuần túy này được gọi ra nhờ cơ học, cũng như là chứng minh được đưa ra tiếp đây.

## Chứng minh nhờ cơ học.

**Hệ cơ học.** Các đường sinh của hai mặt nón  $C$  và  $C^*$  hợp thành những cặp trục giao. Ta hãy đại diện cho mỗi đường sinh bằng véc tơ đơn vị của nó, với đuôi đặt tại đỉnh của mặt nón. Theo đó ta có một bó những hình ngoặc vuông chập lại với nhau tại tâm (hình 10.4). Ta nghĩ về những hình ngoặc vuông này như những vật thể đặc có thể xoay tự do quanh tâm. Các đầu của những hình ngoặc vuông này hợp thành hai đường cong  $c$  và  $c^*$  trên mặt cầu đơn vị  $S^2$ .



Hình 10.4. Áp lực trên  $ds$  (phía trên) cân bằng hợp lực của lực căng lên  $ds^*$  (phía dưới).

Bây giờ ta hình dung rằng mặt cầu chứa một chất khí hai chiều có áp suất  $p = 1$ , nhưng phần nón cầu được  $c$  bao lấy chứa chân không. Áp suất cố làm sụp đổ đường cong  $c$ . Để bù lại, ta hình dung đường cong  $c^*$  là một lò xo lực căng không đổi, có lực căng  $T = 1$ , được dính vào các đầu “thấp hơn” của các hình ngoặc vuông. Điều này tạo ra một sự

giằng co: cả hai đường cong đều có xu hướng sụp đổ – một cái do áp suất, cái còn lại do lực căng.\* Độ rắn của các hình ngoặc vuông ngăn sự sụp đổ xảy ra đồng thời.

**Trạng thái cân bằng.** Đáng lưu tâm là, hệ cơ tính vừa được mô tả là ở trạng thái cân bằng phiếm định bất kể hình dáng của mặt nón  $C$ . Tạm gác lại phần chứng minh một lúc, ta lưu ý rằng điều này hàm chỉ nhận định (10.2). Quả vậy, thế năng khi đó là không phụ thuộc vào hình dáng của  $C$ . Nhưng thế năng của bong bóng chân không là  $A(C)$ , trong khi thế năng của một lò xo lực căng không đổi là độ dài  $L(C^*)$  của nó (xem mục A.4 và A.1). Do vậy:

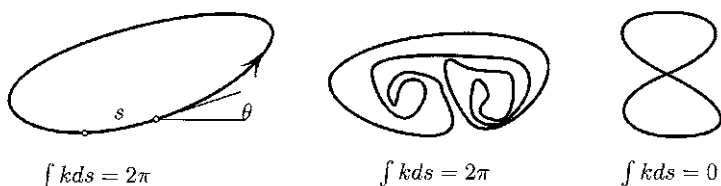
$$A(C) + L(C^*) = \text{constant}.$$

Bằng cách đề bẹp  $C$  về một điểm ta mở rộng  $C^*$  thành một đường tròn cực đại, và theo đó hằng số được xác định bằng  $2\pi$ , do đó chứng minh được (10.2).

Còn phải chứng tỏ rằng hai mặt nón luôn ở trạng thái cân bằng. Xem xét hai hình quạt nhỏ tương ứng trên  $C$  và trên  $C^*$ . Gọi  $ds$  và  $ds^*$  là các độ dài của các cung tương ứng của  $c$  và  $c^*$  (hình 10.4). Áp lực trên  $ds$  được cho bởi  $p$ .  $ds = ds$  và theo đó moment quay quanh phương  $OA$  song song với tiếp tuyến tại một điểm trên cung bằng  $ds + \varepsilon$ , trong đó  $\varepsilon$  là nhỏ vô cùng so với  $ds$ :  $\varepsilon / ds \rightarrow 0$  khi  $ds \rightarrow 0$ . Mặt khác, cung  $ds^*$  tùy thuộc vào hai đơn vị lực của lực căng; góc giữa hai

---

\* Áp lực và căng thẳng có thể có ảnh hưởng như nhau lên con người [nguyên văn: pressure and tension; pressure vừa nghĩa là áp suất, vừa có nghĩa là áp lực, tension vừa có nghĩa lực căng (đối với các vật, như là, dây, lò xo...), vừa có nghĩa căng thẳng (đối với người) – N.D]



Hình 10.5. Độ cong phẳng và tích phân của nó. Trong suốt hành trình vòng quanh đường cong, tiếp tuyến xoay một góc  $2\pi$  nếu đường cong không tự-cắt.

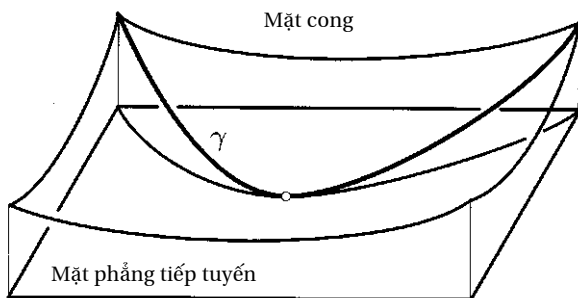
lực này được cho theo góc giữa hai mặt phẳng tiếp xúc với mặt nón  $C^*$  dọc theo hai đường sinh viên ngoài hình quạt. Nhưng *góc giữa hai mặt phẳng này bằng với góc giữa đường vuông góc của chúng*, chính là, với  $ds$ . Ta kết luận rằng hợp lực lên cung  $ds^*$  là  $2T \sin(ds / 2) = ds + \varepsilon$ . Moment quay trên  $ds^*$  có độ lớn  $ds + \varepsilon$ . Các moment quay giằng co trên  $ds$  và  $ds^*$  thế nên có cùng độ lớn, theo thứ bậc quan trọng. Ngoài ra, các phương của những moment quay này là ngược nhau, bởi các tiếp tuyến tại các điểm tương ứng trên  $c$  và  $c^*$  là song song.

Phần còn lại của chương này ta khai phá vài hệ quả của định lý nón đối ngẫu.

### 10.3 Sự lập thành công thức Gauss-Bonnet và hiểu biết cơ bản

Trong mục này tôi trình bày phát biểu của định lý Gauss-Bonnet; mục kế cho thấy làm thế nào định lý này suy ra từ định lý về những nón đối ngẫu.

**Độ cong phẳng.** Độ cong của một đường cong phẳng được định nghĩa như là



Hình 10.6. Độ cong trắc địa là độ cong của đường cong được chiếu lên mặt phẳng tiếp tuyến.

$$k = \frac{d\theta}{ds}$$

(hình 10.5), trong đó  $s$  là độ dài cung và  $\theta$  là góc giữa tiếp tuyến và một phương cố định trong mặt phẳng.

Nói theo vật lý,  $k$  là vận tốc góc của tiếp tuyến khi tiếp điểm di chuyển dọc theo đường cong ở vận tốc đơn vị. Thực vậy, nếu vận tốc là 1, khi đó  $s$  là thời gian, và  $\frac{d\theta}{ds}$  là vận tốc thay đổi của góc theo thời gian, chính là, vận tốc góc.

Dễ thấy là nếu tôi đi vòng quanh một lối đi phẳng kín không từ giao với chính nó, lúc nào cũng nhìn thẳng phía trước, khi đó mũi của tôi sẽ xoay một góc  $2\pi$ :

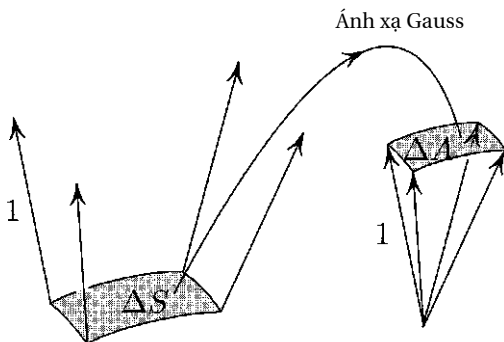
$$\int_0^L k(s) ds = 2\pi ; \quad (10.3)$$

chuẩn xác hơn, theo định nghĩa của  $k$  và theo định lý cơ bản của giải tích thì:

$$\int_0^L k(s) ds = \int_0^L \frac{d\theta}{ds} ds = \theta(L) - \theta(0) = 2\pi ,$$

trong đó phương trình sau cùng diễn tả việc tiếp tuyến với một đường cong kín sẽ xoay một góc  $2\pi$  nếu đường cong không tự nó giao cắt. Dữ kiện này là không quá hiển nhiên như thoát trông: đối với một đường cong “rối” như trong hình 10.5 nó có thể không rõ ràng đến vậy. Một chứng minh chặt chẽ có thể được tìm thấy trong cuốn [CL].

**Độ cong trắc địa.** Thay vì một mặt phẳng bây giờ ta xét đến một mặt cong (hình 10.6). Ta hãy hình dung một con kiến di chuyển dọc theo một lối đi  $\gamma$  trên mặt cong. Con kiến bé xiu nghĩ rằng mặt cong là phẳng, và với nó độ cong của  $\gamma$  tại một điểm, đơn giản, là độ cong (phẳng) hình chiếu của  $\gamma$  lên mặt phẳng tiếp tuyến tại điểm đó. Độ cong “hình chiếu” này được gọi là *độ cong trắc địa* của  $\gamma$ . Tích phân  $\int_{\gamma} k(s) ds$  có ý nghĩa của một góc mà theo đó nó xoay theo trong hành trình ngang qua  $\gamma$ . Đường cong bất kỳ mà có độ cong trắc địa là bằng không sẽ được con kiến cảm nhận như một đường thẳng. Đường cong như vậy được gọi là *đường trắc địa*.



Hình 10.7. Độ cong Gauss

Sau đây là một *diễn giải vật lý*: *độ cong trắc địa của một đường cong trên một mặt cong là vận tốc góc quay quanh đường pháp tuyến với mặt cong của véc tơ tiếp xúc có điểm gốc di chuyển dọc theo γ ở vận tốc đơn vị.*

**Độ cong Gauss.** Để định nghĩa độ cong Gauss tại một điểm  $p$ , ta xét một miếng nhỏ có diện tích  $\Delta S$  để bao xung quanh  $p$  (hình 10.7).

Quan sát miếng “lông nhím” tạo thành từ những véc tơ pháp tuyến đơn vị ở trên miếng nhỏ đang xét. Ta rê từng véc tơ đơn vị này đi và đặt gốc của chúng tại một điểm chung. Bằng cách này ta gán một điểm trên mặt cầu đơn vị cho mỗi điểm trên mặt cong. Ánh xạ này được gọi là *ánh xạ Gauss*, mặc dù *ánh xạ chuột* (hay một ánh xạ maus\*) sẽ gọi tả hơn. Gọi  $\Delta A$  là góc khối của hình nón có được. *Độ cong Gauss* tại một điểm  $p$  được định nghĩa là

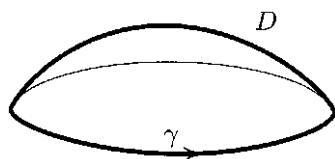
$$K = K(p) = \lim_{\Delta S \rightarrow 0} \frac{\Delta A}{\Delta S},$$

trong đó giới hạn được lấy trên khắp các miếng chứa  $p$  với đường kính tiến về không. Nói cách khác,  $K$  là định thức Jacobi của ánh xạ Gauss. Độ cong Gauss đo “độ phồng” của mặt cong. Diện tích  $\Delta A$  mang dấu; với những bề mặt lồi như một quả trứng, nó là dấu dương, và theo đó  $K > 0$  (ta giả định trường hợp không suy biến). Với một mặt yên ngựa,  $K < 0$ . Hình trụ, dù có mặt cong, là không bị phồng và thực tế có  $K = 0$ . Thực vậy, với hình trụ ảnh của một mảnh

---

\* Nguyên văn: a maus map: map nghĩa là ánh xạ; maus là một từ tiếng Đức, nghĩa là chuột. – N.D.

qua phép ánh xạ Gauss suy sụp thành một cung tròn, có diện tích  $\Delta A = 0$ .



Hình 10.8. Một miền  $D$  của mặt cong, được đường cong  $\gamma$  viền quanh.

**Công thức Gauss-Bonnet.** Khảo sát một miền  $D$  trên một mặt cong được đường cong  $\gamma$  viền quanh, như được cho thấy trong hình 10.8. Người đọc có thể nghĩ về  $\gamma$  như là một vĩ tuyến trên mặt cầu; tuy nhiên, đừng coi nó là tròn: nó có thể là con đường nào đó trên bề mặt của một tiểu hành tinh có hình dạng không đều. Công thức Gauss-Bonnet phát biểu rằng:

$$\int_{\gamma} k \, ds + \iint_D K \, dS = 2\pi, \quad (10.4)$$

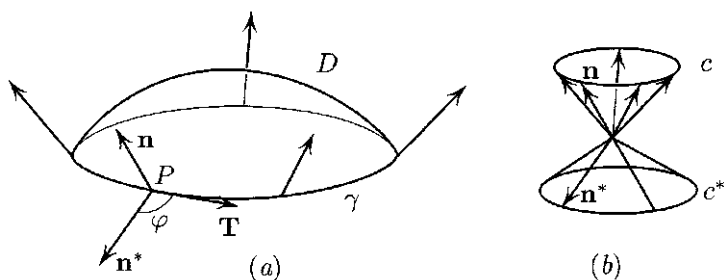
trong đó  $k$  là độ cong trắc địa của đường cong  $\gamma$ ,  $K$  là độ cong Gauss của mặt cong, và  $ds$  là một phần tử nhỏ vô cùng của diện tích bề mặt.

**Một diễn giải của công thức Gauss-Bonnet.** Ta hãy viết lại (10.4) như:

$$\int_{\gamma} k \, ds = 2\pi - \iint_D K \, dS.$$

Vế trái có thể được ví như là góc xoay – góc mà theo đó đầu máy bay xoay khi máy bay di chuyển một vòng quanh đường cong  $\gamma$  trên mặt cong. Định lý phát biểu rằng góc xoay là bằng  $2\pi$  trừ đi tổng “độ phồng”  $\iint_D K \, dS$  trên miền.





Hình 10.9. Chứng minh của định lý Gauss-Bonnet.

Ta vừa diễn dịch (10.4), nhưng liệu nó có một giải thích đơn giản không? Trong mục tiếp theo tôi sẽ cho thấy rằng (10.4) suy ra từ định lý nón đối ngẫu. Và điểm cốt lõi của định lý nón đối ngẫu là việc góc giữa hai mặt phẳng bằng với góc giữa hai đường vuông góc của chúng. Điều tương tự, thế nên cũng có thể được phát biểu cho công thức Gauss-Bonnet. Một lần nữa như trong nhiều ví dụ khác, điều gì đó không ngờ và thú vị (định lý Gauss-Bonnet) giản lược thành một điều gì khác đơn giản đến không ngờ.

## 10.4 Công thức Gauss-Bonnet

Định lý nón đối ngẫu, mà ta “đã chứng minh được” bằng một lập luận cơ học đơn giản, có thể được phát biểu lại để trở thành định lý Gauss-Bonnet. Cho nên sau cùng, ta có thể dùng cơ học để chứng minh định lý Gauss-Bonnet.

**Chứng minh.** Ta bắt đầu bằng việc xác lập bối cảnh của công thức Gauss-Bonnet: trên một bề mặt lồi trong  $\mathbb{R}^3$  là một hình đĩa  $D$  được bao bởi một đường cong khép kín  $\gamma$  (hình 10.9).

Xét một mặt nón  $C$  được tạo thành từ những véc tơ pháp tuyến  $n$  với  $D$  chạy dọc theo  $\gamma$ , cùng với mặt nón đối ngẫu  $C^*$ . Theo định lý nón đối ngẫu:

$$A(C) + L(C^*) = 2\pi. \quad (10.5)$$

Theo định nghĩa của độ cong Gauss,  $K = dA/dS$ , ta có:

$$A(C) = \int_D K dS.$$

Còn phải chỉ ra rằng số hạng thứ hai trong (10.5) là tích phân của độ cong trắc địa. Ta hãy rê một véc tơ pháp tuyến đơn vị  $\mathbf{n}^* \in c^*$  trong hình 10.9(b) đến điểm tương ứng trên  $\gamma$  (hình 10.9(a)). Lưu ý rằng  $L(C^*) = \int_\gamma \omega(\mathbf{n}^*) ds$ , trong đó  $\omega(\mathbf{n}^*)$  là vận tốc góc của véc tơ  $n^*$  quanh phương pháp tuyến  $n$ , khi điểm  $P$  di chuyển vòng quanh  $\gamma$  ở vận tốc đơn vị. Bởi góc  $\varphi = \angle(\mathbf{n}^*, \mathbf{T})$  là một hàm tuần hoàn trên  $s$ , ta có:

$$\int_\gamma \omega(\mathbf{n}^*) ds = \int_\gamma \omega(\mathbf{T}) ds.$$

Cần nói rằng nếu tôi đi một vòng quanh  $\gamma$ , lúc nào cũng nhìn thẳng phía trước, khi đó mũi của tôi sẽ xoay một góc đúng bằng với khi tôi xoay đầu liên tục trong suốt quãng đường nhưng miễn sao khi quay về mặt vẫn hướng cùng một hướng như khi khởi hành. Nhưng  $\omega(\mathbf{T}) = k$  theo định nghĩa của độ cong trắc địa. Điều này chỉ ra rằng  $L(C^*) = \int_\gamma k ds$  và kết thúc chứng minh của công thức Gauss-Bonnet.

## 10.5 Bánh xe đạp và các mặt nón đối ngẫu

Ý tưởng về những mặt nón đối ngẫu được gọi ra bởi một cái bánh xe đạp. Khi tôi đang vá một cái săm xe đạp bị thủng, câu hỏi sau đây chợt đến: “Có thể xoay một bánh xe quanh trục khi chỉ cần trục của bánh xe không?” Ban đầu, cái bánh xe ở trạng thái nghỉ, các ổ trục hoàn hảo, và bánh xe được giữ cân bằng, sao cho không quay quanh trục của nó.

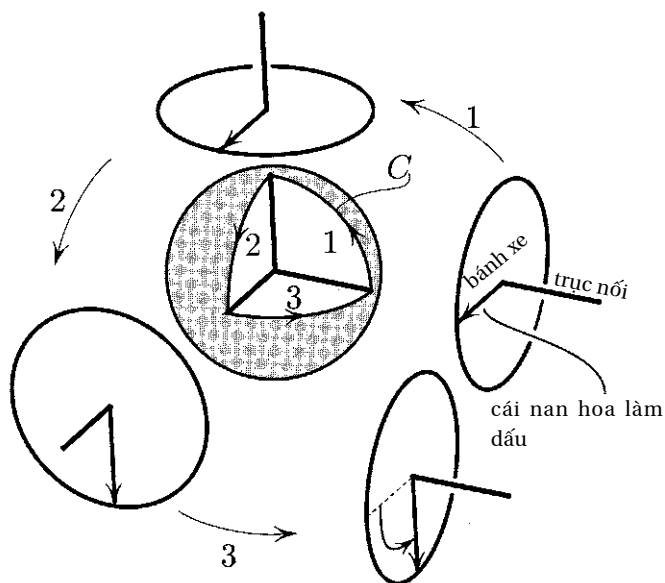
Một ví dụ trong hình 10.10 cho thấy rằng câu trả lời là có thể. Thực tế, bánh xe xoay một góc cho bởi góc khối của mặt nón được trục vạch ra, như ta sẽ chỉ ra.\*

Có thể giả lập chuyển động trong hình 10.10 với một cánh tay, như sau. Đưa thẳng tay phải của bạn ra phía trước mặt, nắm bàn tay lại thành hình quả đấm và giữ ngón cái giơ lên. Cánh tay là trục của một bánh xe giả tưởng, và ngón cái là một cái nan hoa làm dấu trên bánh xe đó, trục giao với cánh tay/trục. Bây giờ thực hiện ba chuyển động như sau:

1. Đưa cánh tay lên qua khỏi đầu bạn; ngón cái sẽ chỉ về phía sau. Giữ sao cho cổ tay bạn không lúc nào bị xoay (như là khi bạn vặn một cái tuốc nơ vít); điều này giống như bánh xe không xoay quanh trục.

---

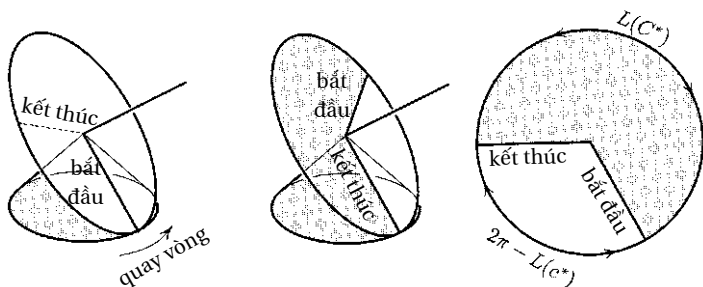
\* Sự quay vòng này của bánh xe là một biểu hiện của cái-gọi-là holonomy liên đới phép chuyển dịch song song (cuốn [L2]). Một diễn giải cơ học của phép chuyển dịch song song là như sau. Cho một véc tơ chỉ phương, tưởng tượng rằng véc tơ này là một cái nan hoa của cái bánh xe mà vành xe tiếp xúc với bề mặt đường. Không lúc nào bánh xe xoay quanh trục của nó. Khi bánh xe được mang dọc theo một đường cong biết trước trên bề mặt đường, cái nan hoa bị di chuyển theo cách mà được câu ở trên chỉ ra. Đây là một diễn giải cơ học của phép dịch chuyển song song. Cho một định nghĩa chặt chẽ, xem cuốn [ARN].



Hình 10.10. Trục nối vạch ra một hình nón có góc khối  $\pi/2$ ; bánh xe xoay một góc  $\pi/2$ .

2. Hạ cánh tay xuống vị trí nằm ngang phía bên phải của bạn. Ngón cái vẫn chỉ về phía sau.
3. Vẫn giữ nguyên cánh tay như vậy và đi một vòng trên mặt phẳng nằm ngang đến vị trí ban đầu. Ngón cái bây giờ chỉ sang phải. Nhưng nó đã xảy ra, mà bạn không xoay cổ tay mình!

Lập luận của chúng ta dựa trên việc sử dụng quán tính của bánh xe để hoàn thành phép dịch chuyển song song. Để hoàn thành phép dịch chuyển song song của một véc tơ dọc theo một đường cong trên bề mặt phẳng, hình dung véc tơ này như là một cái nan hoa được đánh dấu trên bánh



Hình 10.11. Bánh xe quay vòng trên một mặt nón  $C$  xoay một góc  $2\pi - L(c^*)$ .

xe. Khi bánh xe được mang đi quanh đường cong, sao cho mặt phẳng chứa bánh xe luôn tiếp xúc với bề mặt phẳng, cái nan hoa trải nghiệm phép dịch chuyển song song.

Ý tưởng về mặt nón đối ngẫu đã đến từ việc suy nghĩ về một cái bánh xe như thế này. Hình dung cái bánh xe khi trục của nó quét thành một hình nón  $C$  (hình 10.11). Bánh xe thực hiện một chuyển động đung đưa lắc lư. Vành bánh xe tiếp xúc mọi lúc với một mặt nón giả tưởng trong không gian. Đây chính xác là mặt nón đối ngẫu  $C^*$ .

Bánh xe xoay một góc bao nhiêu sau khi trục của nó thực hiện một chuyển động dạng nón? Câu trả lời có được nhờ quan sát sau.

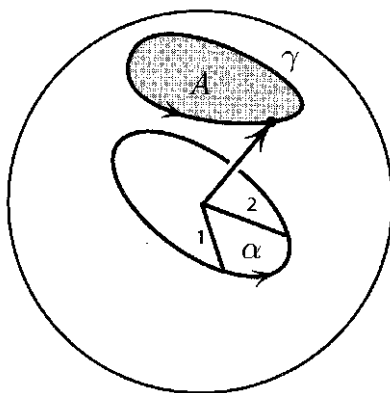
**Định lý.** *Giả sử mặt phẳng của bánh xe lăn tròn trên  $C^*$  mà không trượt; khi đó cái nan hoa tiếp xúc với  $C^*$  là trục đối xứng tức thời của chuyển động quay của bánh xe.*

**Chứng minh.** Xem xét cái nan hoa tiếp xúc  $C^*$  tại một thời điểm nào đó. Cái nan hoa này có vận tốc bằng không: thực vậy, vận tốc của nó theo phương pháp tuyến với mặt phẳng

là bằng không, bởi mặt nón  $C^*$  tiếp xúc với mặt phẳng tại điểm đó. Thêm nữa, vận tốc trong mặt phẳng là bằng không bởi bánh xe không xoay quanh trục nhờ vào ổ trục hoàn hảo và nhờ vào giả thiết ban đầu bánh xe ở trạng thái nghỉ.

**Hệ quả.** Sau khi trục chạy hết một vòng hình nón  $C$ , bánh xe xoay một góc  $\alpha = 2\pi - L(C^*)$ .

**Chứng minh.** Thực vậy, ta hình dung phủ một lớp sơn ướt lên  $C^*$ . Sau khi bánh xe thực hiện một vòng lăn quanh  $C^*$ , một phần hình quạt của bánh xe sẽ lấy mất lớp sơn của  $C^*$ . Bởi không có chuyển động trượt, *cung hình quạt có cùng độ dài như “phần hình vẩy” của nón  $C^*$* , như được chỉ ra trong hình 10.11. Góc của phần cung không được sơn là  $2\pi - L(c^*)$ ; đó là góc mà bánh xe đã xoay.



Hình 10.12. Cầu kẻ. Diện tích  $A = \alpha r^2$ .

Theo định lý nón đối ngẫu ta kết luận:

$$\alpha = A(C). \quad (10.6)$$

Điều này nghĩa là *bánh xe xoay một góc bằng với góc khối của hình nón mà trục của nó khoét ra*.

## 10.6 Diện tích của một đất nước

Theo (10.6), nếu trục của một bánh xe khoét ra một nón  $C$ , thì từ trạng thái tĩnh bánh xe sẽ xoay một góc bằng với góc khối  $A(C)$  của nón. Sau đây là một ứng dụng của quan sát này.

**Cầu kế.** Hình dung một quả cầu thủy tinh hữu cơ, với một cây kim nhọn quay quanh tâm; cây kim có thể chỉ vào bất cứ điểm nào trên quả cầu. Cây kim cũng đóng vai trò trục của cái bánh xe với ổ trục hoàn hảo.

**Đo diện tích bên trong một đường cong kín  $\gamma$  trên mặt cầu.**

Ta đặt cây kim tại điểm xuất phát trên  $\gamma$ ; với bánh xe được cố định, ta đánh dấu một cái nan hoa trên bánh xe và ghi nhớ vị trí của nó. Sau đó ta dẫn hướng mũi kim vòng quanh  $\gamma$ , mang nó trở về điểm xuất phát. Bằng cách đo góc  $\alpha$  mà bánh xe vừa xoay, ta thu được diện tích  $A$  bên trong  $\gamma$ :

$$A = \alpha R^2,$$

trong đó  $R$  là bán kính của mặt cầu.

Để chính xác, góc  $\alpha$  được định nghĩa như một bội số của  $2\pi$ , và ta phải có chút cẩn thận hơn ở đây. Tuy nhiên, nếu  $\gamma$  được giới hạn trong một bán cầu, ta có thể chọn  $0 < \alpha < 2\pi$ .

# 11

## BIẾN PHỨC THẬT LÀ ĐƠN GIẢN

### 11.1 Giới thiệu

Trong chương này tôi trình bày một phần lý thuyết về biến phức, bằng trực giác vật lý nhưng không có chứng minh chặt chẽ. Không đòi hỏi bạn đọc tiếp xúc trước với biến phức. Ý tưởng, được sử dụng ở quá nửa chương này, là liên kết hàm phức bất kỳ với một lưu chất lý tưởng chảy trên mặt phẳng (chi tiết ở mục 11.3). Nhờ vào ý tưởng này, một số khẳng định cơ bản trong lý thuyết hàm phức trở nên hiển nhiên.

Mục đầu tiên về số phức đòi hỏi một ít kiến thức cơ bản. Phần còn lại của chương có thể tiếp cận được với bất cứ ai đã nắm được khái niệm tích phân theo đường. Các khái niệm về toán tử div và toán tử curl được giải thích ở mức độ chúng được sử dụng.

Sau đây là vài điểm nổi bật.

1. Công thức tích phân Cauchy, một kết quả nền tảng, được chỉ ra như một dạng của luật bảo toàn khối lượng khác. Công thức phát biểu rằng: nếu lưu chất không nén được nào đó được sinh ra tại một điểm bên trong vùng, một lượng tương đương phải thoát ra khỏi biên của vùng



(mục 11.5).

2. Định lý ánh xạ Riemann, một trong số khẳng định quan trọng nhất của lý thuyết hàm phức, được thể hiện dưới dạng gần như hiển nhiên với một lập luận vật lý. Trong suốt một thời gian sau khi đã học định lý này, và có thể trình bày chứng minh của nó theo ai đó yêu cầu, tôi vẫn không thể thực sự lý giải được *tại sao* định lý lại đúng. Diễn giải vật lý ở mục 11.7 làm cho định lý trở nên rất đáng tin và nó có thể phiên dịch thành một chứng minh chặt chẽ.\*
3. Cái rất đáng lưu tâm là công thức nổi tiếng  $1 + 1/2^2 + 1/3^2 + \dots = \pi^2/6$  của Euler có thể phát biểu dưới dạng: đối với dòng chảy trên mặt phẳng của một lưu chất không nén được với nguồn và giếng hút, khối lượng sinh ra tại nguồn đúng bằng với khối lượng hấp thụ tại giếng hút (mục 11.8).

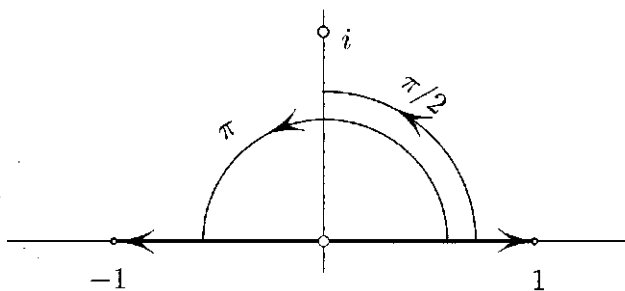
## 11.2 Số phức đã được phát minh như thế nào

**Ôn lại tính nhân.** Lần đầu được dạy rằng  $(-1) \cdot (-1) = 1$ , tôi và vài người bạn học cảm thấy bối rối và nghĩ rằng: “Nếu âm là xấu, làm thế nào nhân hai “cái xấu” lại thành cái tốt?” Rất lâu sau tôi mới nhận ra rằng câu chuyện này có ý nghĩa hình học. Một số âm, được xem như một véc tơ trên đường thẳng, hợp thành một góc  $\pi$  với chiều dương của trục  $x$ :  $\angle(-1) = \pi$ , (hình 11.1); đối với một số dương góc này là bằng không:  $\angle(1) = 0$ , hay, ta cũng có thể nói, bội số

---

\* Các chi tiết của nó có thể được tìm thấy trong một cuốn sách xuất sắc của Nevanlinna và Paatero [NP].

nguyên của  $2\pi$ .



Hình 11.1.  $\angle(i \cdot i) = \angle(i) + \angle(i) = \pi/2 + \pi/2 = \pi$ , để mà  $i^2$  là một số âm.

Quy tắc phép nhân, được diễn đạt một cách hình khối, phát biểu: “*Trong phép nhân, các góc cộng được thêm vào, trong khi các độ lớn được nhân lên.*”

Điều này hé lộ một quy tắc có vẻ như lạ lùng được phát biểu trước đó. Thực thế,

$$\angle((-1) \cdot (-1)) = \angle(-1) + \angle(-1) = \pi + \pi = 2\pi,$$

sao cho  $(-1) \cdot (-1)$  nằm dọc theo chiều dương trục  $x$ , tức là, một số dương.

**Giới thiệu số  $i$ .** Vậy đâu là định nghĩa hợp lý của “số”  $i$  như là  $i^2 = i \cdot i = -1$ ? Quy tắc phép nhân được phát biểu ở trên gợi ra câu trả lời: bởi các góc cộng thêm trong phép nhân, và bởi  $\angle(-1) = \pi$ , ta trông chờ  $\angle(i) = \pi/2$ ! Điều này dẫn ta đến định nghĩa  $i$  như được chỉ ra trong hình 11.1, đơn giản như là điểm  $(0, 1)$  trong mặt phẳng.\* Theo đó ta đã định nghĩa số phức đơn giản nhất,  $i$ . Một số phức tổng quát được định

\* Cũng biện minh như vậy ta có thể nói  $i = (0, -1)$ . Sở dĩ không ghi vậy được bởi vì ác cảm tâm lý của chúng ta đối với những ký hiệu âm.

nghĩa là một điểm  $(x, y)$  trong mặt phẳng, được viết ra vì lý do truyền thống, vì tính tiện lợi, và theo cảm quan chung, như  $z = x + iy$ ; phép nhân của những số phức được định nghĩa theo quy tắc phát biểu ở trên: các góc (hay các đối số) cộng thêm, và các độ dài (các khoảng cách đến gốc tọa độ) nhân lên. Chi tiết hơn có thể được tìm thấy trong bất kỳ cuốn sách nào về biến số phức, chẳng hạn cuốn [NP], [Sp].

### 11.3 Hàm số như dòng chảy lưu chất lý tưởng

Ý tưởng đơn giản nhưng không quá-hiển-nhiên sau đây tạo thành một trong các cầu nối giữa biến phức và vật lý:

*Xem một hàm số  $f(z)$  như một trường véc tơ trong mặt phẳng, bằng cách gán cho từng điểm  $z$ , véc tơ  $\overline{f(z)}$ , phức liên hợp\* của  $f(z)$ .*

Tại sao sử dụng một phức liên hợp? Lý do là trường véc tơ  $\overline{f}$  có tính chất đáng lưu tâm sau:

*Nếu  $f(z)$  là một hàm khả vi với một biến phức  $z$ , khi đó liên hợp của nó  $\overline{f(z)}$ , xem như một trường véc tơ, có suất tiêu tán\*\* (div) bằng không và vận tốc xoáy (curl) bằng không (được định nghĩa ở đoạn tiếp theo).*

**Vận tốc xoáy (trường hợp hai-chiều).** Vận tốc xoáy của một trường véc tơ  $\mathbf{V} = \langle P(x, y), Q(x, y) \rangle$  tại một điểm  $z$  có thể được định nghĩa như sau. Tưởng tượng đánh dấu lưu chất bằng hai dấu gạch trục giao chéo nhau tại điểm  $z$ . Khi đó vận tốc xoáy  $\mathbf{V}(z)$  là tổng của các vận tốc góc của hai dấu

---

\* Nguyên do cho việc sử dụng một giá trị liên hợp được giải thích ngắn gọn.

\*\* Suất tiêu tán được định nghĩa ở mục 7.3.

gạch này khi chúng bị cuốn đi dọc theo dòng chảy  $\mathbf{V}$ . Theo đó vận tốc xoáy là (hai lần) vận tốc góc trung bình của lưu chất tại một điểm. Dễ dàng nhận thấy vận tốc góc của dấu gạch nằm ngang bằng  $\frac{\partial Q}{\partial x}$  (điều này là hoàn toàn hiển nhiên, bởi đạo hàm này đo lường “độ lệch”, đó là sự phụ thuộc của vận tốc phương dọc  $Q$  theo  $x$ ); một cách tương tự, vận tốc góc của dấu gạch thẳng đứng là  $-\frac{\partial P}{\partial y}$ . Theo đó vận tốc xoáy:

$$\mathbf{V}(x, y) = \frac{\partial Q}{\partial x} - \frac{\partial P}{\partial y}.$$

Theo làm đơn giản thuật ngữ, lưu chất hai-chiều bất kỳ chảy trên mặt phẳng với vận tốc  $\mathbf{V}(z) = \overline{f(z)}$  tại  $z$  có hai tính chất sau: (i) khi một phần lưu chất tùy ý bị cuốn đi, diện tích của phần đó không thay đổi, và (ii) “vận tốc góc” của lưu chất là bằng không tại mọi điểm. Lưu chất như vậy được gọi là *lý tưởng*.

Cái đáng lưu tâm là tất cả các hàm số\* ta học trong trường phổ thông và trong giải tích đều có diễn giải dạng lưu chất này! Tính khả vi tải nhiều ý nghĩa vật lý hơn là người ta tưởng.

**Vì sao mà vận tốc xoáy  $\overline{f(z)} = \operatorname{div} \overline{f(z)} = 0$ ?** Sự triệt tiêu của suất tiêu tán và vận tốc xoáy của  $\overline{f(z)}$  thường được biết đến như là hệ phương trình Cauchy-Riemann và cách chứng minh của nó có thể tìm thấy được trong bất kỳ giáo trình nào về biến.\*\* Thay vì một chứng minh, đây là một giải thích hình học (mà có thể phiên dịch thành chứng minh chặt chẽ

---

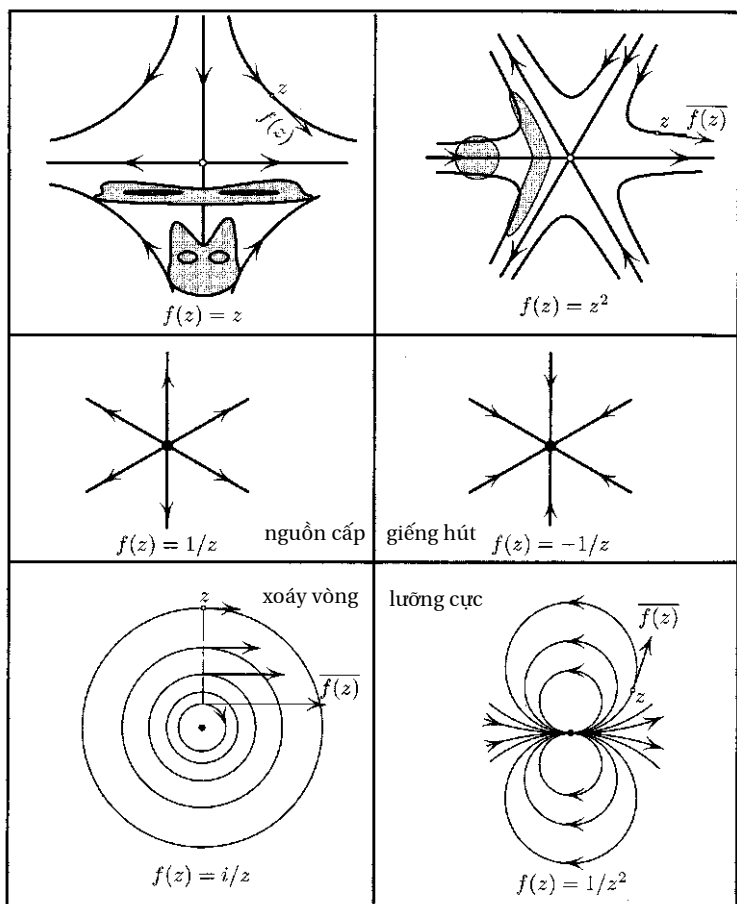
\* Với một ngoại lệ hiếm hoi, như là  $y = |x|$ .

\*\* Ví dụ, cuốn [NP], cuốn [Sp]

với một chút cố gắng). Bởi ta có thể dời gốc tọa độ tới điểm bất kỳ, thế nên giải quyết trường hợp  $z = 0$  là đủ. Bởi  $f$  là khả vi, ta có  $f(z) = cz + \varepsilon$ , trong đó  $\varepsilon$  là kí hiệu số hạng bậc cao của biến  $z$  tức là  $\varepsilon/z \rightarrow 0$  khi  $z \rightarrow 0$ . Thế nên, không làm mất đi tính tổng quát nếu ta giả định rằng  $f$  là tuyến tính:  $f(z) = cz = az + ibz$ , trong đó  $a$  và  $b$  là số thực. Điểm cốt lõi là chứng tỏ rằng cả  $\bar{z}$  và  $i\bar{z}$  đều có suất tiêu tán bằng không và vận tốc xoáy bằng không. Hình 11.2 làm cho mọi việc khá rõ ràng rằng đây quả thực là bài toán cần giải quyết. Chẳng hạn,  $\text{div } \bar{z} = 0$  được nhận thấy từ nhận định sự thu nhỏ của một hình vuông tâm đặt tại gốc tọa độ theo phương  $y$  bù lại bằng chính sự giãn ra của nó theo phương  $x$ .

**Bài toán.** Trong dòng chảy xoáy tương ứng  $f = i/z$  (hình 11.2), mọi phần tử lưu chất quay quanh gốc tọa độ theo đường tròn. Khi đó làm sao vận tốc xoáy, vốn thể hiện vận tốc góc lân cận của lưu chất, lại có thể bằng không?

**Trả lời.** Một mũi tên nhỏ tiếp tuyến với đường tròn đúng là xoay theo chiều kim đồng hồ. Tuy nhiên, không nên bỏ qua việc các mũi tên trực giao xoay ngược chiều kim đồng hồ vì vận tốc giảm khi ta dời ra xa góc tọa độ. Tổng của hai vận tốc góc (vận tốc xoáy) thực ra là bằng không, như rút ra từ nguyên lý tổng quát, hoặc như có thể xác minh bằng tính toán trực tiếp.



Hình 11.2. Mỗi hàm số  $f(z)$  sinh ra một trường véc tơ  $\overline{f(z)}$ . Nếu  $f'$  tồn tại, dòng chảy tương ứng là không quay và không nén được. Một vòng tròn rộng tại gốc tọa độ biểu thị vận tốc bằng không; một chấm đen biểu thị một điểm kì dị với tốc độ dòng chảy gần bên tiệm cận vô cực.

## 11.4 Ý nghĩa vật lý của tích phân phức

Tích phân  $\int_C f(z)dz$  của một hàm số phức  $f$  dọc theo một đường cong khép kín\*  $C$  có một diễn giải đẹp, kết hợp hai khái niệm vật lý trong một kí hiệu ngắn:

$$\int_C f(z)dz = \text{Lưu số}_C \bar{f} + i \text{Thông lượng}_C \bar{f}. \quad (11.1)$$

Ở đây lưu số của một trường véc tơ trên miền  $C$  được định nghĩa như tích phân của thành phần tiếp tuyến và thông lượng được định nghĩa như là tích phân của thành phần pháp tuyến hướng ra ngoài của  $\mathbf{V}$ :

$$\text{Lưu số}_C \mathbf{V} \stackrel{\text{def}}{=} \int_C \mathbf{V} \cdot \mathbf{T} ds, \text{ Thông lượng}_C \mathbf{V} \stackrel{\text{def}}{=} \int_C \mathbf{V} \cdot \mathbf{N} ds,$$

trong đó  $\mathbf{T}$  và  $\mathbf{N}$  là các véc tơ pháp tuyến và tiếp tuyến đơn vị của  $C$ , và  $\cdot$  kí hiệu tích vô hướng.

Sau đây là một chứng minh ngắn cho đẳng thức (11.1). Gọi  $f = u + iv$ ,  $dz = dx + idy$ . Bỏ qua một vài biến đổi số học, ta có:

$$f dz = \langle u, -v \rangle \cdot \langle dx, dy \rangle + i \langle u, -v \rangle \cdot \langle dy, -dx \rangle$$

(như trên,  $\cdot$  kí hiệu tích vô hướng của hai véc tơ), hay

$$f dz = \bar{f} \cdot \mathbf{T} ds + \bar{f} \cdot \mathbf{N} ds.$$

Lấy tích phân dẫn ra (11.1).

---

\* Ta không đưa ra điều kiện cụ thể mà  $C$  phải thỏa. Với yêu cầu này ta chỉ cần xem  $C$  như một đường con kín bằng phẳng không tự-cắt là đủ.

**Định lý Cauchy-Goursat.** Cho đến đây ta chưa áp đặt giả thiết khả vi nào có trên  $f$ . Nếu bây giờ giả sử  $f$  khả vi,  $\mathbf{V} = \bar{f}$  sẽ trở thành một trường vectơ không tiêu tán và không xoáy.\* Khi đó ta kết luận rằng Lưu số  $\oint_C \mathbf{V} =$  Thông lượng  $\oint_C \mathbf{V} = 0$  (định lý Green, mục 7.3), và (11.1) suy ra kết quả là định lý Cauchy-Goursat:

*Nếu  $f$  là hàm giải tích ở trên và trong miền  $C$ , khi đó:*

$$\int_C f(z) dz = 0.$$

Như một sự minh họa lưu chất của định lý, lưu số và thông lượng của bất cứ lưu chất nào truyền đi trong hình 11.2 triệt tiêu, miễn sao chu tuyến  $C$  không bao quanh điểm kì dị (điểm tại đó  $f$  là không khả tích, là điểm  $z = 0$  trong bốn ví dụ gần nhất).

## 11.5 Công thức tích phân Cauchy thông qua dòng chảy lưu chất

Công thức tích phân Cauchy cho biết giá trị của một hàm số khả tích  $f$  tại điểm bất kỳ  $z_0$  bên trong một đường cong khép kín  $C$  tính theo các giá trị của  $f$  trên  $C$ :

$$f(z_0) = \frac{1}{2\pi i} \int_C \frac{f(z)}{z - z_0} dz. \quad (11.2)$$

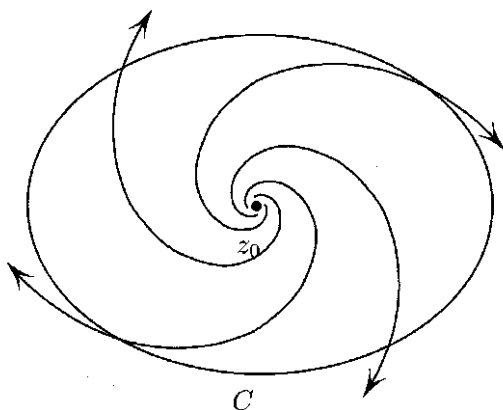
Công thức này không hoàn toàn hiển nhiên với hầu hết chúng ta. Phát biểu vật lý tương đương sau đây có tính trực quan hơn nhiều.

---

\* Dẫn theo nhận xét trọng yếu ở trang 150.



**Ý nghĩa vật lý của công thức tích phân Cauchy.** Khảo sát một dòng lưu chất lý tưởng trong mặt phẳng với một điểm\* nguồn-xoáy tại  $z = z_0$  (hình 11.3). Khi đó (i) lượng lưu chất sinh ra mỗi giây tại nguồn bằng lượng lưu chất mỗi giây bằng qua biên  $C$  và (ii) lưu số xung quanh một đường tròn vô cùng bé bao quanh điểm kỳ dị  $z_0$  đúng bằng lưu số xung quanh  $C$ .



Hình 11.3. Một phác họa của dòng chảy  $\overline{f(z)/(z - z_0)}$  tương ứng hàm lấy tích phân của (11.2).

**Tầm quan trọng vật lý của vế bên phải (11.2).** Theo (11.1),

$$\int_C \frac{f(z)}{z - z_0} dz = \text{Lưu số} + i \text{Thông lượng}, \quad (11.3)$$

trong đó lưu số và thông lượng tương ứng trường véc tơ được

---

\* Một cách trực quan, có thể nghĩ về một lớp nước mỏng xoáy hút xuống một giếng hút (bức tranh của chúng ta cho thấy chuyển động đó theo hướng ngược lại). Tất nhiên, giếng hút không phải là một ví dụ tốt bởi có ma sát với đáy, độ dày của các lớp nước thay đổi, vân vân.

cho theo liên hợp của hàm lấy tích phân. Ta hãy thử hình dung bản chất của dòng chảy đó. Theo công thức Taylor,  $f(z) = f(z_0) + (z - z_0)g(z)$ , và hàm lấy tích phân trở thành:

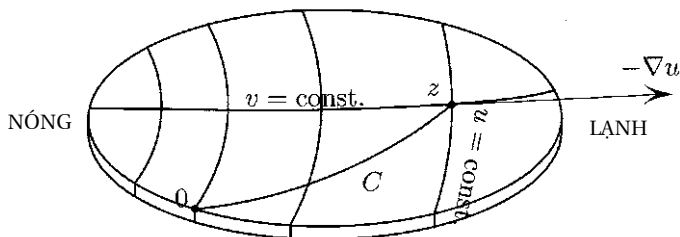
$$\frac{f(z)}{z - z_0} = \frac{f(z_0)}{z - z_0} + g(z) = A \frac{1}{z - z_0} + B \frac{i}{z - z_0} + g(z),$$

trong đó  $A + iB = f(z_0)$ . Ta phát hiện rằng dòng chảy tương ứng hàm số này là một chồng chập của nguồn cấp  $1/(z - z_0)$ , xoáy nước  $i/(z - z_0)$ , và một dòng chảy không nén được ( $g(z)$ ). Sự kết hợp được phác ra trong hình 11.3.

Chỉ có đại lượng nguồn cấp góp phần vào giá trị thông lượng,  $2\pi A$ , và có đại lượng xoáy góp phần vào giá trị lưu số,  $-2\pi B$ , như giải thích theo hình 11.2. Do  $g(z)$  là không quay và không nén được khắp miền khảo sát, nó không góp phần vào giá trị nào cả. Theo đó (11.3) chuyển thành:

$$\int_c \frac{f(z)}{z - z_0} dz = -2\pi B + i2\pi A = 2\pi i(A + iB) = 2\pi i f(z_0).$$

Đến đây ta đã hoàn tất diễn giải của công thức tích phân Cauchy.



Hình 11.4. Dựng nên một hàm khả tích  $f = u + iv$  từ một phân bố nhiệt độ.

## 11.6 Dòng truyền nhiệt và hàm giải tích

Có một diễn giải vật lý đáng lưu tâm khác của một hàm giải tích, bên cạnh điều tôi đã nêu ở trên. Nếu đã làm quen với toán tử gradient bạn sẽ hiểu rõ mục này hơn.

Phần thực  $u$  của hàm giải tích bất kỳ:

$$f(z) = u(x, y) + iv(x, y)$$

có thể được ví như một chỉ số nhiệt độ ổn định của một cái đĩa, như là một tấm kim loại mỏng, trong khi phần ảo  $v$  có thể được ví như thông lượng nhiệt truyền qua đường cong nối điểm cho trước  $O$  với  $(x, y)$ . Cụ thể là như sau.

Xem xét một đĩa phẳng mỏng dẫn nhiệt không đáng kể (hình 11.4) ví dụ như là một tấm đồng, phẳng, mỏng. Mặt trên và mặt dưới của đĩa được cách nhiệt, và nhiệt chỉ có thể truyền vào hay truyền ra qua vành đĩa. Bằng cách cố định nhiệt độ vành và chờ một thời gian đủ lâu, ta thu được một phân bố nhiệt độ ổn định; gọi  $u(x, y)$  là nhiệt độ tại  $(x, y)$ . Hình vẽ cho thấy các đường nhiệt độ không đổi (đẳng nhiệt), dọc theo đường gân của “những phần tử truyền nhiệt” – hay cụ thể hơn, một đường thẳng vuông góc với từng đường đẳng nhiệt.

Ta giả định rằng thông lượng nhiệt là  $-\nabla u$ . Điều này có nghĩa là lượng nhiệt truyền qua một đoạn thẳng vô cùng bé  $ds$  có véc tơ pháp tuyến  $\mathbf{N}$  đúng bằng  $-\nabla u \cdot \mathbf{N} ds$ . Nói cách khác, ta đang chấp nhận độ dẫn nhiệt của cái đĩa là đẳng hướng và có độ lớn là 1.

Định luật bảo toàn năng lượng áp đặt một tính chất đặc biệt lên  $u$ . Thực vậy, lượng nhiệt tổng cộng truyền vào miền con bất kỳ là bằng không:

$$\int_{\gamma} \nabla u \cdot \mathbf{N} ds = 0, \quad (11.4)$$

trong đó  $\mathbf{N}$  là vectơ pháp tuyến đơn vị của  $\gamma$ , đối với đường cong khép kín  $\gamma$  bất kỳ.

Để định nghĩa  $v(x, y)$ , ta hãy nối một điểm tùy định  $z = x + iy$  với một điểm cho trước  $O$  nhờ đường cong  $C$ , và gọi  $v$  là nhiệt lượng truyền qua  $C$ :

$$v(x, y) = \int_C \nabla u \cdot \mathbf{N} ds. \quad (11.5)$$

Tích phân không phụ thuộc vào đường cong  $C$  nhờ vào tính chất (11.4).

Ta bấy giờ khẳng định rằng  $f = u + iv$  là một hàm khả tích.

**Phác họa chứng minh.** Lấy tích phân (11.5) theo từng biến và sử dụng đường không phụ thuộc tích phân đó, thu được  $v_x = u_y$ ,  $v_y = -u_x$ . Điều này là tương đương phát biểu rằng  $\operatorname{div} \bar{f} = \operatorname{rot} \bar{f} = 0$ , mà là đặc tính của một hàm số giải tích (mục 11.3).

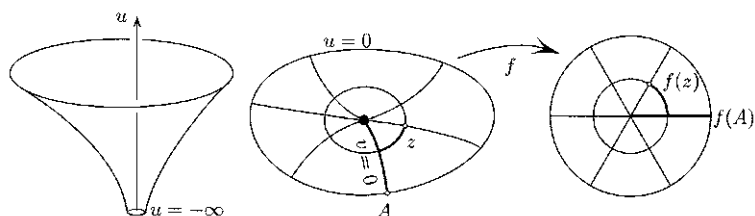
**Bài tập.** Lý giải bằng một lập luận tự nghiệm trực tiếp vì sao mối liên hệ  $v_x = u_y$ ,  $v_y = -u_x$  vẫn đúng.

## 11.7 Định lý ánh xạ Reimann cho bởi dòng truyền nhiệt

Tôi không coi lập luận dưới đây là một chứng minh chặt chẽ của định lý ánh xạ Riemann mà chỉ có ý định làm cho nó

trở nên hiển nhiên một cách trực quan. Những chi tiết chặt chẽ bị bỏ qua ở đây có thể được tìm thấy trong cuốn [NP].

Kiến thức cơ bản cho lập luận này là khái niệm gradient.



Hình 11.5. Nhiệt truyền vào qua biên của  $D$  và biến mất trong những giếng hút ở vận tốc  $2\pi$  cal/giây.

**Định lý ánh xạ Riemann.\*** Gọi  $D$  là miền mở trong mặt phẳng phức được giới hạn bởi một đường cong kín đơn  $C$ , và gọi  $z_0$  là một điểm trong miền  $D$ . Tồn tại một hàm giải tích  $f$  mà ánh xạ 1-1  $D$  lên một hình đĩa đơn vị, với  $f(z_0) = 0$  và  $f'(z_0) > 0$ .

**Xác lập mô hình vật lý.** Xét một cái đĩa truyền-nhiệt đều  $D$  như được mô tả trong hình 11.6. Ta giữ vành đĩa tại nhiệt độ  $u = 0$ , và giữ lạnh một cái đĩa vô cùng nhỏ tại gốc tọa độ đến nỗi mỗi giây có  $2\pi$  calory truyền qua đường cong kín bất kỳ bao quanh đĩa. Nhiệt độ được coi là vẫn ổn định và không thay đổi theo thời gian.

\* Phiên bản này của định lý là yếu hơn phát biểu tổng quát nhất, cái chỉ đòi hỏi tính đơn liên của  $D$  (xem [NP]). Ánh xạ  $f$  trong định lý là độc nhất, như bổ đề Schwarz ngầm chỉ, nhưng ở đây ta chỉ quan tâm sự tồn tại của nó.

**Hệ đẳng nhiệt.** Với mỗi điểm  $z$  trong miền  $D$  bây giờ ta gán cho hai chỉ số: nhiệt độ của nó  $u$ , và nhiệt lượng truyền qua một đường cong từ  $A$  đến  $z$  (hình 11.5), trong đó  $A$  là một điểm cho trước và cố định. Nhiệt lượng  $v(z)$  này được xác định thông qua (11.5). Tuy nhiên, đường cong  $Az$  có thể quay vài vòng quanh góc tọa độ, và theo đó  $v(z)$  được xác định là chỉ tuần hoàn  $2\pi$ , bởi mỗi vòng tăng thêm sẽ lấy đi nhiệt lượng  $2\pi$ . Hàm đa-trị  $v(z)$  có thể được xem như một dạng của biến số góc. Bây giờ, cái ánh xạ Riemann mà ta muốn chỉ đơn giản là:

$$f(z) = e^{u(z)+iv(z)}.$$

Thực thế,

1.  $f$  là đơn-trị bất chấp sự thực rằng  $v$  được xác định đến  $2\pi$ , bởi  $e^{2\pi i} = 1$ .
2. Với  $z$  nằm trên biên của  $D$  ta có  $|f(z)| = |e^{0+iv}| = 1$ .
3.  $f(0) = e^{-\infty+iv} = 0$ .

Để có được  $f'(0) > 0$  ta chọn điểm  $A$  (hình 11.5) có quỹ đạo  $v = 0$  hướng vào tâm theo phương vuông góc với trục  $x$ .

**Cái thiếu chặt chẽ.** Một vài “chi tiết” chặt chẽ đã bị lờ đi; trong đó quan trọng nhất là sự tồn tại của phân bố nhiệt độ  $u$ . Sự tồn tại của phân bố  $u$  này, được gọi là *Hàm số Green* của miền, là tương đương sự tồn tại của một cách giải cho bài toán Dirichlet – một bài toán được thảo luận trong hầu hết tất cả tài liệu về phương trình vi phân riêng; ví dụ xem cuốn [CH].

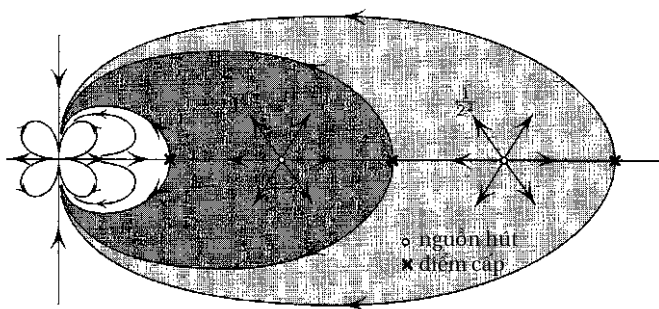
## 11.8 Tính tổng Euler bằng dòng lưu chất

Mục tiêu của tôi trong mục này là chỉ ra bức tranh đằng sau công thức Euler. Không có chứng minh nào được trình bày; chúng có thể được tìm thấy trong phần lớn giáo trình về biến phức, ví dụ như cuốn [Sp].

Bằng cách thử những hàm số  $f(z)$  khác nhau ta có thể khảo sát các trường vận tốc  $\overline{f(z)}$  thu được. Một trường vận tốc như vậy, tương ứng hàm số:

$$f(z) = \frac{\cot \pi z}{2z^2}, \quad (11.6)$$

được chỉ ra trong hình 11.6.



Hình 11.6. Nhiệt lượng định nghĩa theo (11.6). Mỗi điểm số nguyên  $n$  tạo ra  $\frac{1}{n^2}$  đơn vị lưu chất mỗi giây. Góc tọa độ hấp thụ  $\pi^2 / 3$  đơn vị lưu chất mỗi giây.

Tại gốc tọa độ, lưu chất được đẩy ra theo phương  $x$  và hấp thụ theo phương  $y$ .<sup>\*</sup> Một tính toán (sử dụng chuỗi

<sup>\*</sup> Vận tốc tiến tới vô cực tại lân cận gốc tọa độ. Mô hình dòng được cho thấy ở đây được gọi là tứ cực.

Taylor) mà tôi lược bỏ qua chỉ ra rằng sự hấp thụ mạnh hơn một lượng  $\pi^2 / 3$ . Điều này nghĩa là thông lượng qua một đường tròn nhỏ bao quanh gốc tọa độ là  $-\pi^2 / 3$ . Mặt khác, mỗi điểm nguyên  $z = n = \pm 1 = \pm 2, \dots$ , là một nguồn cấp có cường độ  $\frac{1}{n^2}$ . Như hình vẽ gợi ra, tất cả lưu chất đi ra từ các nguồn cấp về gốc tọa độ, và do đó:

$$\frac{\pi^2}{3} = 2 \left( 1 + \frac{1}{2^2} + \frac{1}{3^2} + \dots \right),$$

trong đó sự có mặt của thừa số 2 suy ra từ việc các nguồn cấp hợp thành những cặp đối xứng  $\pm n$ . Chia cho 2 ta có được công thức Euler:

$$1 + \frac{1}{2^2} + \frac{1}{3^2} + \dots = \frac{\pi^2}{6}. \quad (11.7)$$



# PHỤ LỤC

## KIẾN THỨC VẬT LÝ CẦN THIẾT

Phụ lục ngắn này bao gồm những bộ đồ nghề vật lý được sử dụng xuyên suốt cuốn sách.

### A.1 Lò xo

Bộ đồ nghề cho những thí nghiệm giả tưởng của chúng ta bao gồm hai loại lò xo: lò xo tuyến tính và lò xo có lực căng hằng số.

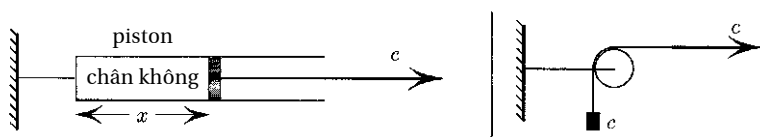
**Lò xo đàn hồi chặt.** Một lò xo đàn hồi chặt là lò xo có lực căng tỉ lệ trực tiếp với độ dài của nó: kéo căng một lò xo như vậy đến một độ dài  $x$  đòi hỏi một lực  $kx$ . Ở đây  $k$  là một hằng số (được gọi là hằng số Hooke), đặc trưng cho mỗi lò xo cụ thể. Giá trị  $k$  nhỏ nghĩa là lò xo lỏng, trong khi  $k$  lớn nghĩa là lò xo cứng. Lưu ý rằng độ dài nghỉ của loại lò xo này bằng không.

**THẾ NĂNG CỦA MỘT LÒ XO ĐÀN HỒI CHẶT.** Theo định nghĩa, thế năng của một lò xo là công cần thiết để kéo giãn lò xo từ độ dài nghỉ (ở đây là bằng không) đến độ dài  $x$ . Công này có thể tính được bằng (lực kéo trung bình do tay tôi tác

động)  $\times$  (khoảng cách  $x$  mà tay tôi di chuyển). Lực kéo trung bình được cho theo  $\frac{1}{2}(0 + kx) = \frac{1}{2}kx$ , và theo đó thế năng là

$$P(x) = \frac{1}{2}kx^2.$$

Thay vì vậy, có thể tính công này như tích phân của lực theo khoảng cách:  $P(x) = \int_0^x (kx) ds = \frac{1}{2}kx^2$ .



Hình A.1. Hai mô hình thực tế của một lò xo lực căng hằng số.

**Lò xo có lực căng hằng số.** Lò xo có lực căng không phụ thuộc vào độ giãn của nó được gọi là *lò xo có lực căng hằng số*. Cái lò xo lạ lùng này có thể được làm từ một piston trượt không ma sát trong một ống xy lanh bị bịt kín một đầu, với chân không bên trong, như cho thấy trong hình A.1. Một mô hình thực tế khác, được chỉ ra trong hình A.1, bao gồm quả nặng  $c$  với cái ròng rọc.

**THẾ NĂNG CỦA MỘT LÒ XO LỰC CĂNG HẸNG SỐ.** Theo định nghĩa, thế năng là công cần có để kéo giãn lò xo từ một độ dài tham chiếu, mà ta chọn là bằng không, đến một độ dài cho trước. Công này bằng lực kéo  $c$  nhân cho khoảng cách  $x$ :

$$E = cx.$$

## A.2 Màng xà phòng

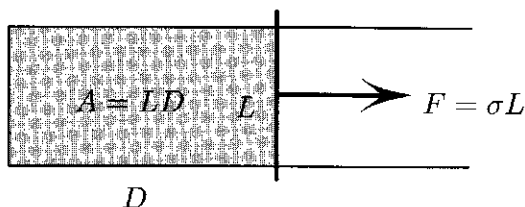
**Màng xà phòng** là mô phỏng hai chiều của lò xo có lực căng hằng số. Một màng xà phòng như là tường của một bong bóng xà phòng có một tính chất kỳ lạ: trong thế giới lý tưởng hóa của chúng ta, sức căng bề mặt của bong bóng xà phòng không thay đổi khi ta làm giãn ra hay co lại cái màng lý tưởng. Như khi ta thổi phồng một bong bóng xà phòng, sức căng bề mặt của nó không đổi.

*Sức căng bề mặt*, theo định nghĩa, là lực cần có để giữ nguyên dạng một khe hở có độ dài đơn vị. Nếu ta hình dung việc khâu khe hở, lực làm giữ nguyên dạng này là tổng sức căng của tất cả dây chỉ trong đường khâu. Với màng xà phòng, sức căng bề mặt là đẳng hướng. Điều này có nghĩa rằng sự định hướng của khe hở không ảnh hưởng gì đến sức căng bề mặt. Trong khi đó, sức căng dị hướng xuất hiện ở hầu hết các bề mặt như da, màng nhựa cao su, vách của ống nén, bánh xe, và các vật liệu phủ.

***Thế năng của một màng xà phòng*** tỉ lệ thuận với diện tích màng  $A$ :

$$E = \sigma A, \quad (\text{A.1})$$

trong đó  $\sigma$  là sức căng bề mặt. Mối liên hệ này khiến màng xà phòng trở nên hữu dụng trong việc giải quyết những bài toán tối thiểu hóa diện tích. Để minh chứng mối liên hệ (A.1), xét cái khung trong hình A.2; thanh thẳng trượt dọc theo khung, kéo màng xà phòng về phía sau. Nếu  $L$  là độ dài phần của thanh thẳng tiếp xúc với màng, lực cần có để di chuyển nó là  $F = \sigma L$ .



Hình A.2. Thế năng của một màng xà phòng với sức căng bề mặt không đổi  $\sigma$  là  $\sigma A$ .

(Một cách tương đương, cũng có thể nghĩ về một ống xy lanh với một piston chuyển động về hai hướng, với chân không bên trong và với áp lực  $\sigma$  bên ngoài.) Theo định nghĩa, năng lượng của hệ bằng với công cần có để kéo thanh đó từ vị trí tham chiếu, mà ta chọn là vị trí diện tích bằng không. Để kéo thanh (hay piston) một khoảng  $D$  sẽ tốn công

$$E = \sigma L \cdot D = \sigma A ,$$

minh chứng cho nhận định.

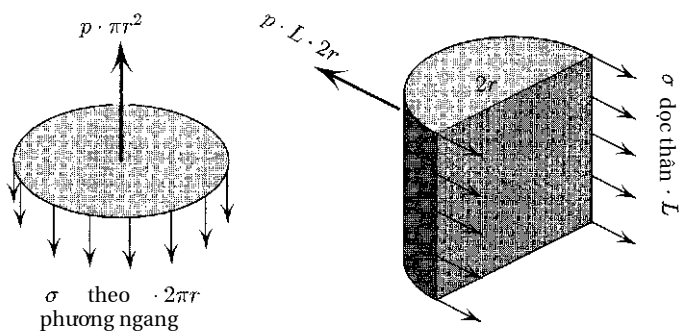
**Bài toán.** Các ống dẫn bị đông đá luôn luôn nứt gãy dọc thân. Vì sao?

**Lời giải.** Ta sẽ thấy sức căng dọc thân trong xy lanh bị nén lớn gấp hai lần sức căng theo phương đường kính. Ta hãy so sánh các lực cần có để giữ nguyên dạng một vết nứt dọc thân so với một vết nứt ngang (hình A.3).

Gọi  $p$  là áp lực bên trong ống; ta giả sử nó là đẳng hướng. (Thật thà mà nói, ta thực sự đang giải thích tại sao một ống dẫn với lưu chất bị nén, chứ không phải ống bị đóng băng, sẽ bị nứt gãy dọc thân.) Nếu ta cắt ống dẫn dọc theo đường

kính (hình A.3) sẽ tốn lực  $p \cdot \pi r^2$  để giữ mặt cắt nguyên khối chống lại áp lực  $p$  lên diện tích  $\pi r^2$ . Lực này được mang trên độ dài  $2\pi r$  của mặt cắt, cho nên giá trị lực trên một đơn vị chiều dài là:

$$\sigma_{\text{theo phương ngang}} = \frac{p \cdot \pi r^2}{2\pi r} = \frac{1}{2} pr.$$



Hình A.3. Cân bằng lực dọc theo ống dẫn và cắt ngang ống dẫn.

Nếu ta cắt ống dẫn dọc theo hai đường sinh với độ dài  $L$  mỗi đường (hình A.3), một lực có độ lớn  $p \times (L \times 2r)$  sẽ cần có để giữ khe nứt nguyên dạng chống lại áp lực lên diện tích của tiết diện hình chữ nhật  $L \times 2r$ . Chia cho một đơn vị diện tích của vết nứt ta có:

$$\sigma_{\text{dọc thân}} = \frac{p \times (L \times 2r)}{2L} = pr.$$

Ta nhận ra rằng  $\sigma_{\text{dọc thân}} = 2\sigma_{\text{theo phương ngang}}$ . Ống dẫn nứt gãy dọc thân vì sức căng dọc theo đường sinh của hình trụ là gấp hai lần sức căng dọc theo đường kính của nó.

## A.3 Khí nén

Để phục vụ cuốn sách này ta chỉ xem xét một mô hình đơn giản của khí có *áp suất  $p$  không đổi ngay cả khi bình chứa thay đổi kích thước:  $p = \text{constant}$* . Có nghĩa đây là một chất khí giả tưởng, một thứ tương tự như màng xà phòng, ngoại trừ là sức căng  $\sigma$  có giá trị âm, nghịch đối với áp lực:  $p = -\sigma, \sigma < 0$ .

**Thế năng của khí nén.** Xem xét một vùng phẳng  $D$  bom đầy một chất khí hai-chiều. Nhắc lại rằng ta giả sử áp suất không đổi khi vùng phẳng thay đổi diện tích. Thế năng của hệ này là  $-pA$ . Chứng minh nhận định này chỉ là lặp lại nguyên văn của lập luận tương ứng cho sức căng bề mặt.

Tương tự như thế, thế năng của một vùng ba chiều có thể tích  $V$ , bom đầy khí tại áp lực  $p$ , là  $-pV$ .

## A.4 Chân không

Tưởng tượng một vùng trên mặt phẳng, với chân không bên trong và khí nén ở áp lực  $p$  bên ngoài. Cần một công  $pA$  để tạo thành một cái bong bóng chân không như vậy, trong đó  $A$  là diện tích của vùng. Thực vậy, xem xét một piston có chiều dài  $L$  trong xi-lanh, như trong hình A.2. Lực  $F = pL$  là cần thiết để di chuyển piston; để di chuyển piston này một khoảng  $D$  tốn công  $FD = pLD = pA$ . Điều này chứng tỏ rằng động năng của bong bóng là:

$$E = pA,$$

ít ra cho một bong bóng hình chữ nhật. Bất kỳ hình dạng nào

khác đều có thể được xấp xỉ ở các mức độ chính xác tùy ý bằng những hình chữ nhật nhỏ, và kết quả ở trên vẫn đúng.

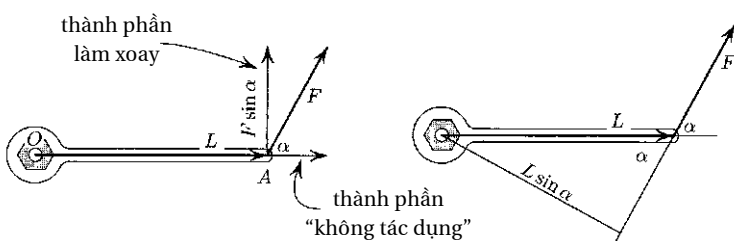
Một bong bóng hai-chiều chịu áp lực xung quanh bằng  $p$  tương đương về mặt toán học với một màng xà phòng với sức căng bề mặt  $\sigma = p$ .

Lập luận này áp dụng cho không gian ba chiều và cho cùng một kết quả: thế năng của một bong bóng cầu không có thể tích  $V$  chịu áp lực xung quanh bằng  $p$ , đúng bằng công cần thiết để tạo thành một bong bóng như vậy, và nó tỉ lệ thuận với thể tích:

$$E = pV. \quad (\text{A.2})$$

## A.5 Moment quay

**Định nghĩa.** Xem xét một lực  $\mathbf{F}$  tác dụng vào điểm  $A$ , và  $O$  là điểm chọn trước, gọi là điểm trục. *Moment quay* của lực  $\mathbf{F}$  quanh trục  $O$  là tích vectơ  $\mathbf{T} = \mathbf{L} \times \mathbf{F}$ , trong đó  $\mathbf{L} = \overrightarrow{OA}$  là vị trí tương đối của  $A$  tới  $O$ , gọi là *cánh tay đòn*. Moment quay cũng được nhắc đến như là *moment* của lực  $\mathbf{F}$  quanh điểm trục  $O$ .



Hình A.4. Độ lớn của moment quay  $(F \sin \alpha)L = F(L \sin \alpha) = \|\mathbf{F} \times \mathbf{L}\|$ . Hướng của moment quay là chỉ ra khỏi mặt giấy về phía người đọc. Đây là hướng chuyển động của đai ốc dọc theo bu-lông với đường ren hướng-bàn-tay-phải.

Định nghĩa này vừa khít hoàn toàn với cảm nhận của ta về “cường độ xoay.”\* Hình dung ta đang cố xoay một đai ốc bị kẹt với cái khóa vặn. Chỉ thành phần của  $\mathbf{F}$  trực giao với tay cầm  $\mathbf{L}$  là có ích. Độ lớn của thành phần này là  $F \sin \alpha$ . Không chỉ lực, tuy nhiên, mà còn độ dài  $L$  cũng ảnh hưởng đến cường độ của việc xoay. Trong thực tế, cái thực sự có ý nghĩa cho việc làm đai ốc hết kẹt là tích số  $(F \sin \alpha)L$ . Điều này giải thích cho tính hợp lý của định nghĩa về độ lớn của moment quay bằng  $T = \|\mathbf{L} \times \mathbf{F}\| = L(F \sin \alpha)$ . Nhưng cũng có một trực tự nhiên – cái mà bu-loong có xiết đai ốc trên nó, vuông góc với cả  $\mathbf{L}$  và  $\mathbf{F}$ . Cũng có một phương tự nhiên dọc theo trục này: phương mà đai ốc sẽ di chuyển nếu nó hết kẹt; đường ren trên bu-loong được coi như hướng-bàn-tay-phải theo quy ước thông thường.

## A.6 Trạng thái cân bằng của một vật rắn

Trong phạm vi thảo luận của chúng ta, một vật rắn là một tập hợp của một số hữu hạn của những chất điểm  $m_k$  có khoảng cách cố định với nhau.

Áp dụng định luật 1 của Newton cho một vật rắn dẫn đến nhận định sau:

**Định lý 1.** Nếu một vật ở trong trạng thái cân bằng, tổng tất cả lực và tổng tất cả moment quay (quanh một trục quay nào đó) tác động lên vật phải bằng không.

---

\* Ta tránh thuật ngữ “**lực** xoay” bởi vì điều có ý nghĩa không phải là lực mà đúng hơn là tích số của lực và cánh tay đòn. Thậm chí một lực bé tí cũng có thể xoay một đai ốc xiết chặt với cánh tay đòn đủ lớn.



Nếu tổng lực là  $\sum \mathbf{F}_k = \mathbf{0}$  ta có thể chọn trục quay nào cũng được bởi vì khi đó tổng moment quay không có phụ thuộc vào sự lựa chọn trục quay. Thực thế, gọi  $\mathbf{r}_k$  là véc tơ vị trí của chất điểm tới gốc tọa độ, và  $\mathbf{a}$  là véc tơ vị trí của trục quay. Khi đó tổng moment quay quanh  $\mathbf{a}$  cũng y như tổng moment quay quanh gốc tọa độ:

$$\begin{aligned}\mathbf{T}_A &= \sum \mathbf{F}_k \times (\mathbf{r}_k - \mathbf{a}) = \sum \mathbf{F}_k \times \mathbf{r}_k - \left( \sum \mathbf{F}_k \right) \times \mathbf{a} \\ &= \sum \mathbf{F}_k \times \mathbf{r}_k = \mathbf{T}_O,\end{aligned}$$

như đã khẳng định. Nhận xét đơn giản sau đây đã được sử dụng trong vài bài toán tìm cực tiểu trong hình học.

**Bổ đề về ba lực đồng quy.** Nếu vật dưới ảnh hưởng của ba lực là trong trạng thái cân bằng, khi đó các đường biểu diễn của những lực này là đồng quy (nghĩa là, các đường biểu diễn này chạy qua cùng một điểm).

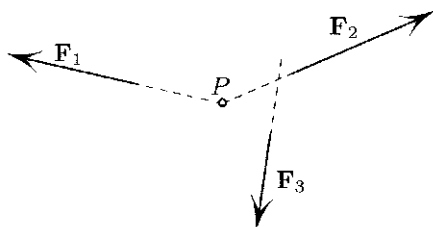
**Chứng minh.** Tổng moment quay quanh điểm trục bất kỳ là bằng không, dẫn theo nhận xét ở trên. Ta hãy chọn giao điểm\*  $P$  của các đường biểu diễn của  $\mathbf{F}_1$  và  $\mathbf{F}_2$  (hình A.5) làm trục quay. Với lựa chọn này, các moment quay của  $\mathbf{F}_1$  và  $\mathbf{F}_2$  quanh  $P$  bằng không. Bởi tổng tất cả moment quay bằng không, moment quay của  $\mathbf{F}_3$  quanh  $P$  cũng bằng không. Nhưng điều này có nghĩa là đường biểu diễn của  $\mathbf{F}_3$  đi ngang qua  $P$ , chứng tỏ rằng ba đường biểu diễn là đồng quy.

---

\* Có thể xảy ra trường hợp rằng hai đường thẳng song song, khi đó  $P$  ở vô cùng. Chứng minh vẫn đúng nếu ta hiệu chỉnh ngôn từ của ta, bằng cách quy dẫn ba đường thẳng song song đồng quy (tại vô cùng).

## A.7 Động lượng góc

Động lượng góc là đại lượng mô phỏng ở dạng quay của động lượng truyền thẳng. Với một chất điểm  $m$  chuyển động với vận tốc  $v$  trên đường tròn bán kính  $r$  trong mặt phẳng, động lượng góc được định nghĩa là  $mv \cdot r$ . Nhưng giả như chất điểm di chuyển theo một cách nào khác, như trên đường thẳng, thì sao? Trong trường hợp đó, định nghĩa vẫn như vậy, ngoại trừ thay  $v$  bởi thành phần vận tốc vuông góc với véc tơ vị trí của hạt. Sau đây là định nghĩa cụ thể.



Hình A.5. Moment quay tổng cộng quanh  $P$  là khác không nếu các đường biểu diễn lực là không đồng quy.

**Định nghĩa.** Gọi  $\mathbf{r} = \mathbf{r}(t)$  là véc tơ vị trí của chất điểm  $P$  có khối lượng  $m$  chuyển động xung quanh điểm  $O$  trong không gian. Động lượng góc  $\mathbf{L}$  của  $P$  quanh  $O$  được định nghĩa là tích số chéo của các véc tơ vị trí và động lượng truyền thẳng:

$$\mathbf{L} = \mathbf{r} \times m\dot{\mathbf{r}},$$

trong đó  $\dot{\mathbf{r}}$  viết tắt cho  $d\mathbf{r}/dt$ . Bằng cách đạo hàm hai vế, ta thu được một mô phỏng dạng quay của định luật Newton  $F = ma$ :

$$\frac{d}{dt}\mathbf{L} = \mathbf{r} \times m\ddot{\mathbf{r}}. \quad (\text{A.3})$$

Dẫn theo Newton,  $m\ddot{\mathbf{r}} = \mathbf{F}$  là hợp lực tác dụng lên chất điểm. Về bên phải  $\mathbf{r} \times \mathbf{F} = \mathbf{T}$  là moment quay của lực đó lên chất điểm quanh  $O$ . Phương trình (A.3) khi đó trở thành:

$$\frac{d}{dt} \mathbf{L} = \mathbf{T}, \quad (\text{A.4})$$

là một mô phỏng dạng quay của định luật 2 của Newton  $\frac{d}{dt} \mathbf{p} = \mathbf{F}$ , trong đó  $\mathbf{p} = m\mathbf{v}$  là động lượng truyền thẳng.

Đối với một tập hợp chất điểm, động lượng góc được định nghĩa là tổng của động lượng góc của các phần cấu thành.

**Bảo toàn động lượng góc.** Nếu tổng tất cả moment quay bên ngoài tác dụng lên hệ chất điểm bất kỳ bằng không, khi đó động lượng góc của hệ là không đổi.

Đây là hệ quả của (A.4) kết hợp định luật 3 Newton.

## A.8 Tâm khối

Tâm khối của một vật rắn được định nghĩa là điểm mà ở trên đó vật ở trạng thái cân bằng theo bất kỳ phương nào trong tương quan với một trường trọng lực không đổi. Như đã đề cập trước, ta xem vật rắn như tập hợp chất điểm với khoảng cách qua lại cố định. Lập luận sau đây có thể hầu như giữ nguyên văn cho phân bố khối lượng liên tục ngoại trừ tổng  $\sum a_k m_k$  phải được thay thế bằng tích phân  $\int a(x) dm$ .

**Định lý 2.** Tâm khối  $\bar{\mathbf{r}}$  của một hệ chất điểm  $m_k$  có véc tơ vị trí  $\mathbf{r}_k$  được cho theo giá trị trung bình trọng số của những vị trí này:

$$\bar{\mathbf{r}} = \frac{\sum m_k \mathbf{r}_k}{m} = \sum \mu_k \mathbf{r}_k, \text{ trong đó } m = \sum m_k \text{ và } \mu_k = \frac{m_k}{m}. \quad (\text{A.5})$$

Nhớ rằng  $\mu_k$  là tỉ lệ của khối lượng  $m_k$  so với khối lượng tổng, nên thực chất trung bình này là tính theo khối lượng của mỗi điểm.

**Chứng minh.** Theo định nghĩa của điểm cân bằng  $\bar{\mathbf{r}}$ , tổng moment quay của trọng lực tác động lên mỗi chất điểm [để] xoay quanh điểm này là bằng không:

$$\sum (\mathbf{r}_k - \bar{\mathbf{r}}) \times (m_k \mathbf{g}) = 0,$$

trong đó  $\mathbf{g}$  là véc tơ thể hiện ảnh hưởng của gia tốc trọng trường. Phương trình này phải có véc tơ  $\mathbf{g}$  bất kỳ, phản ánh sự kiện rằng vật phải cân bằng theo phương bất kỳ; thay vì xoay vật ngược lại, ta có thể hình dung việc đảo chiều của trọng lực. Chính là, ta chọn hệ tọa độ gắn với chất điểm. Đặt  $\mathbf{g}$  làm nhân tử chung trong phương trình sau cùng, ta thu được:

$$\left( \sum m_k \mathbf{r}_k - m \bar{\mathbf{r}} \right) \times \mathbf{g} = \mathbf{0}, \text{ trong đó } m = \sum m_k.$$

Bởi  $\mathbf{g}$  là véc tơ tùy ý, ta ắt hẳn có  $\sum m_k \mathbf{r}_k - m \bar{\mathbf{r}} = \mathbf{0}$ , điều đem lại công thức (A.5).

## A.9 Moment quán tính

Ở đây ta chỉ thảo luận chỉ trường hợp hai-chiều của vật phẳng quay trên mặt phẳng của nó. Moment quán tính là một đơn vị đo của quán tính quay cũng như khối lượng là đơn vị đo của quán tính tịnh tiến. Với một chất điểm  $m$

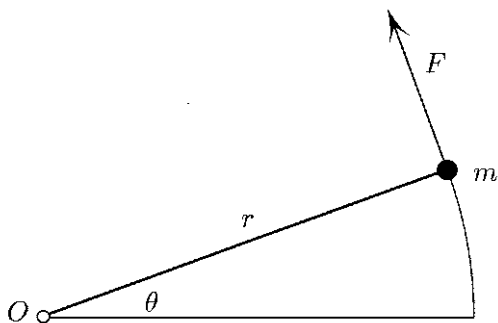
nằm cách một khoảng  $r$  đến điểm  $O$  moment quán tính quanh  $O$  được định nghĩa là  $mr^2$  với lý do được giải thích ngắn gọn sau. Với một tập hợp những chất điểm, moment quán tính quanh  $O$  được định nghĩa là tổng (hay tích phân nếu phân bố khối lượng là liên tục) của moment quán tính của các phần cấu thành. Định nghĩa ở trên phải được giải thích để có thể sử dụng. Ta bắt đầu với một chất điểm  $m$  nằm cách một khoảng  $r$  tính từ điểm  $O$ . Nghĩ về  $m$  như được nối bằng một thanh không trọng lượng có độ dài  $r$  đến tâm, mà quanh đó nó có thể quay. Ta hãy tác dụng một lực  $F$  vào điểm này, theo phương vuông góc với thanh, để tạo ra gia tốc góc quanh  $O$ . Ta muốn định lượng quán tính quay của chất điểm trên thanh.

Quán tính tịnh tiến được lượng định theo khối lượng  $m = \frac{F}{a}$ , tỉ số của lực cho gia tốc. Được gợi ý bởi sự tương đồng này, ta định nghĩa moment quán tính  $I$  như là tỉ lệ của “lực quay,” đó là, moment quay, cho gia tốc góc:

$$I \stackrel{\text{def}}{=} \frac{\text{moment quay}}{\text{gia tốc góc}} = \frac{T}{\ddot{\theta}} = \frac{rF}{\ddot{\theta}}.$$

Sau khi thế  $F = ma = m r \ddot{\theta}$  vào phương trình sau cùng, số hạng  $\ddot{\theta}$  triệt tiêu và ta thu được:

$$I = mr^2.$$



Hình A.6. Moment quán tính của chất điểm: moment quay/gia tốc góc  $= mr^2$ .

Điều này cho ta thấy tại sao định nghĩa trên có ích. Dễ dàng khái quát cho trường hợp  $n$  chất điểm: gọi  $r_k$  là khoảng cách từ điểm  $O$  đến chất điểm thứ  $k$ ,  $k = 1, \dots, n$ . Moment quán tính quanh điểm  $O$  của hệ chất điểm được định nghĩa là:

$$I = \sum m_k r_k^2.$$

**Định lý 3.** (định lý trục song song) Gọi  $C$  là tâm khối của hệ chất điểm  $m_k$ , và gọi  $O$  là điểm tùy định. Khi đó

$$I_O = I_C + m|OC|^2,$$

trong đó  $I_C$  và  $I_O$  là các moment quán tính quanh các điểm  $C$  và  $O$ . Cụ thể,  $I_O \geq I_C$ . Nghĩa là, moment quán tính xung quanh tâm khối là nhỏ nhất.

**Chứng minh.** Gọi  $\mathbf{r}_k$  là véc tơ [vị trí] từ  $O$  đến chất điểm  $m_k$ . Gọi  $\mathbf{c} = \overline{OC}$  là véc tơ từ  $O$  đến tâm khối  $C$ ; ta có  $\mathbf{c} = \sum \mu_k \mathbf{r}_k$ . Lúc này:

$$\begin{aligned}
 I_O &= \sum m_k \mathbf{r}_k^2 = \sum m_k (\mathbf{r}_k - \mathbf{c} + \mathbf{c})^2 \\
 &= \sum \left( m_k (r_k - c)^2 + 2m_k (r_k - c) \cdot \mathbf{c} + m_k c^2 \right).
 \end{aligned}$$

Tổng của số hạng ở giữa bị triệt tiêu theo định nghĩa của  $\mathbf{c}$ , còn lại hai số hạng  $I_C$  và  $m|OC|^2$ .

## A.10 Cường độ dòng

Xét một dòng điện, tức là "dòng" các electron truyền qua một dây dẫn. Chọn tiết diện bất kỳ ngang phương truyền của dây dẫn. Xét lượng điện tích  $q(t)$  băng qua tiết diện này từ lúc ban đầu cho đến thời điểm  $t$ . Khi đó:

$$I = \frac{dq}{dt} = \dot{q}(t)$$

cho ta vận tốc tức thời là số điện tích chuyển qua tiết diện trong mỗi giây. Vận tốc này được gọi là **dòng**, hay **cường độ dòng điện**. Dòng là như nhau cho mọi tiết diện ngang của dây dẫn, bởi (i) số electron giữa hai tiết diện cố định là xấp xỉ bằng số *không đổi* những ion trong kim loại để duy trì điện tích tổng bằng không của dây dẫn, và (ii) các electron không thoát ra khỏi lớp vỏ của dây dẫn.

Dòng điện là khái niệm mô phỏng chính xác **thông lượng** của nước trong ống dẫn. Thông lượng này có thể được đo bằng số gallon mỗi giây, cũng như dòng điện được đo bằng số coulomb (đơn vị điện tích) mỗi giây.

## A.11 Điện áp

Khảo sát một trường tĩnh điện được tạo ra bởi một hay nhiều điện tích. Cố định điểm mốc  $O$  trong không gian, và gọi  $A$  là điểm khác bất kỳ. Định nghĩa điện áp  $V(A)$  tại  $A$  là thế năng, so với  $O$ , của điện tích đơn vị tại  $A$ . Nói cách khác,  $V(A)$  được định nghĩa là công cần có để mang điện tích đơn vị từ  $O$  đến  $A$ :

$$V(A) = - \int_O^A \mathbf{E} \cdot \mathbf{T} \, ds .$$

Ở đây  $\mathbf{E}$  là lực tĩnh điện tác dụng lên một đơn vị điện tích và  $\mathbf{T}$  là véc tơ chỉ phương của quãng đường\*  $OA$ . Ghi nhớ rằng dấu trừ ở đây phản ánh sự kiện ta phải tác dụng một lực bù  $\mathbf{E}$  để di chuyển điện tích ngược lại tác động của trường tĩnh điện.

Lấy gradient cả hai vế phương trình sau cùng, ta có lực  $\mathbf{E}$  tác dụng lên một điện tích đơn vị như gradient của điện áp  $V$ :

$$\mathbf{E} = -\nabla V .$$

Cũng có thể coi mối quan hệ này như là định nghĩa (ngầm hiểu) của  $V$ , tương đương định nghĩa ta đưa ra ở trên. Định nghĩa như vậy sẽ gọn, nhưng kém hiển nhiên hơn. Lưu ý

---

\* Tích phân này không phụ thuộc vào sự lựa chọn quãng đường từ  $O$  đến  $A$ . Sự độc lập này suy ra từ định luật bảo toàn năng lượng. Thực vậy, nếu tích phân dọc theo hai quãng đường khác nhau có chung điểm đầu và điểm cuối là khác nhau, tích phân cho cả một vòng có được bằng cách chập hai quãng đường sẽ là khác không. Nghĩa là khi đó ta sẽ có một trường thực hiện công khác không trong việc di chuyển một điện tích dọc theo một đường kín, trái ngược với định luật bảo toàn năng lượng.



rằng không phải tất cả trường véc tơ là một gradient của hàm vô hướng.\* Trường được cho bởi một gradient của một hàm  $V$  được gọi là trường thế, và hàm  $V$  được gọi là hàm thế.

Điều này được thảo luận kỹ càng hơn trong hầu hết những tài liệu giải tích véc tơ, như trong cuốn [St].

## A.12 Các định luật Kirchhoff

Các định luật Kirchhoff áp dụng được cho bất kỳ mạch điện nào, trong đó có tụ điện, điện trở, cuộn cảm, pin, diode và v.v...

Định luật thứ nhất Kirchhoff là phát biểu lại, cho một trường hợp đặc biệt, trên cơ sở rằng trong một trường tĩnh điện, công để mang một điện tích vòng quanh một đường kín sẽ bằng không.

**Định luật thứ nhất của Kirchhoff.** Tổng hiệu điện thế dọc theo đường kín bất kỳ của một mạch điện là bằng không.

**Định luật thứ hai của Kirchhoff.** Tổng dòng vào một nút bằng với tổng dòng ra nút đó.

Định luật thứ hai là hệ quả của định luật bảo toàn điện tích: cái gì đã vào nút cũng đều phải ra khỏi đó.

---

\* Trường vận tốc của một đĩa quay là một ví dụ cho một trường véc tơ không phải là gradient của bất kỳ hàm nào. Trường vận tốc gió dịch chuyển lệch trên đất liền hay biển là một ví dụ khác: loại vận tốc  $\mathbf{V}$  này thổi theo phương nằm ngang, với vận tốc tăng theo chiều cao. Loài hải âu lớn sử dụng bản chất phi-gradient của trường này, đó là, sự không triệt tiêu của  $\nabla \times \mathbf{V}$ , để rút lấy năng lượng từ gió. Loài chim này có thể cử liệng cánh mãi mà không cần những luồng không khí đẩy chúng lên!

## A.13 Điện trở và định luật Ohm

Lại xét một dòng ổn định truyền qua đoạn  $AB$  của dây dẫn. Dây dẫn không phải là một vật dẫn lý tưởng – các electron va vào các ion trên đường di chuyển, mất năng lượng khi va chạm; chúng lấy lại năng lượng từ lực hút của điện trường tác dụng dọc theo dây dẫn. Điều này giống như cát rơi qua một dãy những lưới sàng nằm ngang. Các hạt đâm sâu vào mắt lưới, chậm lại, rơi qua, tăng tốc nhờ vào trọng lực, va vào lưới sàng kế, và cứ vậy tiếp tục. Do đó cũng không có gì đáng ngạc nhiên nếu cho rằng khi trọng lực gia tăng, thông lượng của cát sẽ tăng theo. Với dòng điện cũng tương tự. Điện áp ta tác dụng càng cao, dòng  $I$  càng mạnh lên; thật ra, thực nghiệm cho thấy rằng quan hệ này là tuyến tính. Đây là định luật Ohm:\*

$$\frac{V}{I} = R = \text{constant} . \quad (\text{A.6})$$

Hệ số  $R$  được gọi là giá trị **điện trở**. Thuật ngữ này là hòa hợp với cảm nhận chung: một giá trị điện trở lớn biểu thị rằng cần một điện áp lớn để áp dòng như cũ. Dẫn theo phương trình (A.6),  $R$  là điện áp cần có để sinh ra một đơn vị cường độ dòng.

---

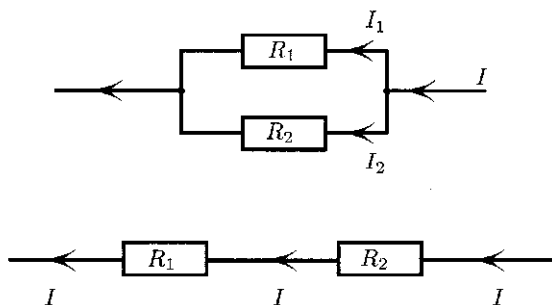
\* Định luật này là chỉ xấp xỉ đúng, nhưng đủ tốt chính xác cho hầu hết vật dẫn tại nhiệt độ phòng. Tự nhiên không phải lúc nào cũng thể hiện nghiêm ngặt định luật này.

## A.14 Điện trở song song

Giá trị điện trở  $R$  của hai trở kháng  $R_1$  và  $R_2$  mắc song song, như cho thấy trong hình A.7 là bao nhiêu? Câu trả lời rất đơn giản:

$$\frac{1}{R} = \frac{1}{R_1} + \frac{1}{R_2}, \text{ hay } R = \frac{R_1 R_2}{R_1 + R_2}.$$

Điều này hoàn toàn hiển nhiên: thực vậy, khi mắc các điện trở song song ta tăng cường khả năng dẫn điện bằng cách tạo cho dòng nhiều đường hơn để di chuyển. Công thức phát biểu rằng, thật ra, *độ điện dẫn* – nghịch đảo của giá trị điện trở – tăng. Sau đây là chứng minh.



Hình A.7. Với trường hợp mắc song song, cường độ dòng bị chia giữa hai điện trở, trong khi điện áp như nhau. Với trường hợp mắc nối tiếp, dòng là chung, trong khi điện áp tổng cộng bị chia giữa hai điện trở.

Điều đầu tiên nhận thấy là cường độ dòng bị chia nhỏ, dẫn theo định luật Kirchhoff:

$$I = I_1 + I_2. \quad (\text{A.7})$$

Cũng vậy, hiệu điện thế  $V$  hai đầu cả hai điện trở rõ ràng là như nhau, và định luật Ohm cho ta:

$$I = V / R, I_1 = V / R_1, I_2 = V / R_2.$$

Thế dòng sau cùng vào (A.7) chứng minh được công thức điện trở song song.

Giá trị điện trở của  $n \geq 2$  điện trở song song  $R_1, \dots, R_n$  được cho theo quy tắc cũng như trên:  $\frac{1}{R} = \frac{1}{R_1} + \dots + \frac{1}{R_n}$ .

### A.15 Điện trở nối tiếp

Khi hai điện trở kết nối thành hàng (hình A.7), giá trị điện trở của chúng cộng thêm:

$$R = R_1 + R_2. \quad (\text{A.8})$$

Thực vậy, hiệu điện thế hai đầu mạch kết hợp là tổng của hiệu điện thế giữa mỗi thiết bị điện trở:

$$V = V_1 + V_2. \quad (\text{A.9})$$

Bây giờ dòng qua cả hai thiết bị điện trở là như nhau theo định luật Kirchhoff. Định luật Ohm cho:

$$V = IR, V_1 = IR_1, V_2 = IR_2,$$

và thay vào (A.9), sẽ có kết quả là (A.8).

### A.16 Công hao phí trong một điện trở

Cường độ dòng  $I$  chuyển qua một điện trở gây thất thoát năng lượng trong điện trở, ở dạng nhiệt. Công suất hao phí

của điện trở, đó là lượng nhiệt trên một đơn vị thời gian, được tính bằng công thức:

$$P = IV,$$

trong đó  $V$  là hiệu điện thế hai đầu điện trở. Chứng minh của dữ kiện này về cơ bản là sự lặp lại định nghĩa của  $V$  và  $I$ . Cụ thể như sau. Trước tiên chỉ xét một electron di chuyển từ đầu này sang đầu kia của điện trở. Như trái bóng bàn, electron “cuốn” theo lực hút của điện trường, đâm vào những ion và cho chúng một phần động năng của nó, làm chúng dao động và theo đó tạo nhiệt. Nhìn chung, các electron thoát ra khỏi điện trở không nhanh hơn khi chúng vào. Trên trung bình, các electron cho hết tất cả động lượng chúng có được từ “lực hút” điện ở dạng nhiệt. Theo định nghĩa của điện áp, năng lượng này bằng  $(\Delta q)V$ , trong đó  $\Delta q$  là điện tích của các electron chạy qua thiết bị điện trở. Chia cho một đơn vị thời gian, ta có:

$$\frac{(\Delta q)V}{\Delta t} = \frac{\Delta q}{\Delta t} V = IV.$$

## A.17 Tụ điện và dung kháng

Tụ điện là một thiết bị bao gồm hai tấm bản dẫn điện phân cách bởi một lớp màng cách điện mỏng. Ta hãy nối pin vào hai tấm bản của tụ điện. Pin sẽ “hút” một số electron ra khỏi một tấm bản và đẩy chúng về phía tấm còn lại. Điện tích tương đương  $q$  của những electron chuyển dịch này là tỉ lệ với điện áp  $V$  của pin:

$$\frac{q}{V} = C = \text{constant} . \quad (\text{A.10})$$

Hệ số  $C$  được gọi là **điện dung**. Nó có thể được tưởng tượng như là lượng điện tích mà tụ điện có thể hấp thu trong khi tăng điện áp của nó lên 1; thuật ngữ “điện dung” vì vậy được giải nghĩa.

Lớp cách điện càng mỏng, thì điện dung càng cao. Sau đây là một cách giải thích đơn giản. Khi một tấm bảng có quá nhiều electron, chúng đẩy lẫn nhau và cố thoát ra khỏi bảng, qua dây dẫn, qua pin, và chạy về tấm bảng bên kia, cũng như một khí nén trong bình rỗng; còn pin, như cái bơm, giữ chúng ở lại bảng bên này. Tại sao khoảng cách giữa hai tấm bảng lại ảnh hưởng ước muốn đào tẩu của electron? Tấm bảng còn lại thiếu hụt electron, tức là nó tích điện dương. Nó sẽ hút các electron, càng mạnh khi hai tấm bảng càng gần. Nếu các tấm bảng ở rất gần nhau, thì chỉ cần một điện áp nhỏ là đủ để giữ các electron không đào tẩu. Lúc đó, tụ có điện dung lớn.

Tụ điện là một thiết bị tương tự như cái lò xo trong cơ học, và (A.10) là công thức tương tự như định luật Hooke  $F = kx$  cho một lò xo đàn hồi chặt. Bộ hai định luật  $V = C^{-1}q$  đến  $F = kx$  là tương xứng với nhau theo từng số hạng. Cụ thể,  $C^{-1}$  là “độ cứng” của tụ điện, và tương xứng với hằng số Hooke  $k$ , đại lượng thể hiện độ cứng của lò xo. Bởi vậy cũng sẽ hợp lý khi coi  $\frac{1}{k}$  như là dung kháng của lò xo.

## A.18 Tính tự cảm: tính trở của dòng điện

**“Tính tự cảm” trong dòng nước.** Xem nước chảy trong một ống dẫn thẳng. Ta khảo sát trong điều kiện lý tưởng: không nhớt và không chuyển động hỗn loạn. Gọi  $p$  là chênh lệch áp lực giữa hai tiết diện ngang  $A$  và  $B$  của ống, và gọi  $f$  là thông lượng, đó là, lưu lượng lưu chất trên một đơn vị thời gian truyền vuông góc qua một tiết diện ngang của ống.\* Định luật thứ hai Newton ( $F = ma$ ) áp dụng cho khối lưu chất nằm giữa  $A$  và  $B$  tại một thời điểm nào đó cho:

$$p = \mu \frac{d}{dt} f, \quad (\text{A.11})$$

trong đó  $\mu$  đặc trưng tính trở trong phản ứng với sự chênh lệch áp lực. Phương trình sau cùng suy ra từ định luật Newton như sau. Lực tác dụng lên khối lưu chất hình trụ giữa tiết diện  $A$  và  $B$  là được cho bằng  $F = pS$ , trong đó  $S$  là diện tích mặt-cắt-ngang của ống dẫn. Định luật thứ hai Newton áp dụng cho khối lưu chất hình trụ này cho:

$$\underbrace{pS}_F = \underbrace{pSh}_m \underbrace{\dot{v}}_a, \quad (\text{A.12})$$

trong đó  $v$  là vận tốc lưu chất và  $h$  là khoảng cách giữa  $A$  và  $B$ . Nhưng  $Sv = f$  là thông lượng (thể tích trên giây), và (A.12) trở thành  $pS = \rho h \frac{d}{dt} f$ . Chia cho  $S$  ta thu được (A.11) với  $\mu = \rho h / S$ .

**Điện cảm.** Dòng điện cũng có tính trở như vậy. Quán tính cơ học của điện tích chuyển động đóng vai trò, dĩ nhiên, không

---

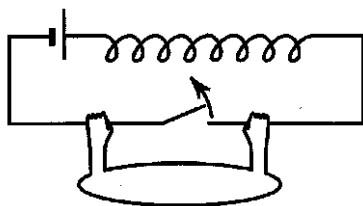
\* Tiết diện không phải bài toán –  $f$  là như nhau cho tất cả chúng một khi nước là không nén được.

đáng kể; hiệu ứng chính là điện từ, cái được giải thích bởi lý thuyết tương đối giới hạn. Ta chỉ đưa ra phát biểu toán học mà không miêu tả hiện tượng vật lý xảy ra khi cường độ dòng thay đổi.

Bất kỳ thay đổi nào của dòng qua một cuộn dây cũng đòi hỏi một sự chênh lệch điện áp giữa hai đầu cuộn; đây là biểu hiện của tính tự cảm. Mối quan hệ giữa điện áp và vận tốc thay đổi của dòng là tuyến tính.

$$V = LI \quad (\text{A.13})$$

Hệ số  $L$  được gọi là **độ tự cảm**. Theo công thức này, độ tự cảm  $L$  là điện áp cần có để tăng dòng lên 1 ampe mỗi giây.



Hình A.8. Khi công tắc mở, dòng phải tiếp tục truyền đi do “quán tính” và theo đó dẫn sang cơ thể.

**Ví dụ điện giật.** Tính tự cảm có thể được sử dụng để tạo một cú điện giật đau đớn từ một pin nhỏ cỡ 1,5V loại AA. Xem xét mạch điện trong hình A.8. Khi công tắc được đóng, hầu hết cường độ dòng đi qua công tắc, và chỉ một phần nhỏ không đáng kể rò rỉ qua tôi. Bây giờ điều gì xảy ra khi công tắc hở? Dòng có quán tính và nó không thích bị dừng một cách đột ngột; nó sẽ tiếp tục truyền đi theo “quán tính” trong một thời



gian qua lối đi duy nhất là tôi.\* Nhìn theo một cách khác, việc mở công tắc sinh ra một cường độ  $I$  lớn, mà thông qua (A.13), sinh ra một điện áp  $V$  lớn và đau đớn.

Như hầu hết hiện tượng điện, hiện tượng này có một mô phỏng dạng cơ, cũng đau đớn không kém – là chặn một cái búa nhằm vào đỉnh bằng cái móng tay. Một sự giảm tốc lớn  $\dot{v} = a$  tạo ra một lực tác dụng lớn  $F = m\dot{v}$ , điều có thể làm đau.

Một vài thiết bị phát điện dùng chuông reo để bật tắc. Khi búa dao động va vào chuông, công tắc liên tục hết mở rồi lại đóng và người sử dụng biết được thế nào là một cú điện giật liên hồi.

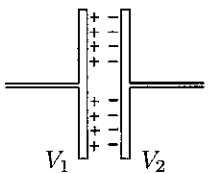
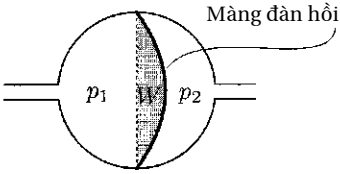

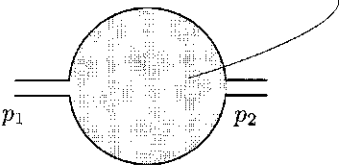
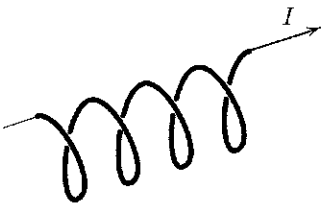
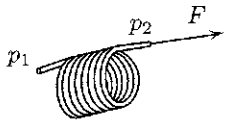
Đây là kết thúc bài học đau đớn của chúng ta về độ trơn.

## A.19 Bộ mô phỏng điện-bơm

Tất cả khái niệm kể trên –  $V, I, q, R, C$  và  $L$  – có một mô phỏng đơn giản trong hệ thống ống nước (như là hệ thống ống nước trong nhà chẳng hạn!). Hình A.9 tóm lược sự tương đồng này.

---

\* Thật thú vị khi nhận ra rằng nếu công tắc chấm dứt sự tiếp xúc, dòng có thể vẫn tiếp tục truyền qua không khí như một tia lửa điện. Một hiệu ứng có liên quan được gọi là búa nước cũng quen thuộc với những gia chủ nghe tiếng ống nước va vào nhau khi máy giặt tắt: dòng nước bị chặn bởi một van sập xuống rất nhanh, gây ra một sự tăng vọt áp lực của nước, trong khi nó vẫn muốn tiếp tục chảy.

 <p>Độ sụt điện áp <math>V = V_2 - V_1</math></p> <p>Điện tích <math>q</math> Dung kháng <math>C = q/V</math></p>	 <p>Độ sụt áp lực <math>p = p_2 - p_1</math></p> <p>Thể tích chiếm chỗ <math>W</math> Độ lỏng của màng <math>C = W/p</math></p>
 <p>Cường độ dòng điện <math>I = \frac{dq}{dt}</math> Điện trở <math>R = \frac{V}{I}</math></p>	 <p>Thông lượng <math>= \frac{d(vol)}{dt}</math> <math>R = \frac{p}{F}</math></p>
 <p>Độ tự cảm <math>L = \frac{V}{dI/dt}</math></p>	 <p>Độ trơ <math>L = \frac{p}{dF/dt}</math></p>

Hình A.9 Tương đồng điện-bơm

## A.20 Bài tập

1. Xem xét một điện tích điểm  $q$  đặt ngay tại gốc tọa độ. Sử dụng định nghĩa của điện áp ở mục A.11, tìm điện áp tại điểm bất kỳ trong không gian.  
Ba bài tập tiếp theo không đòi hỏi kiến thức vượt quá hiểu biết về định nghĩa của điện áp.
2. Sử dụng định nghĩa của điện áp ở mục A.11, tìm vận tốc của các electron va vào màn hình TV, biết điện áp chênh lệch  $V$  giữa cathode (nơi mà từ đó các electron bắn vào phần chân không bên trong ống) và màn hình, khối lượng  $m$ , và điện tích  $q$  của một electron. Gọi ý: Thế năng của electron lúc bắt đầu phóng được chuyển hóa thành động năng khi kết thúc.  $V$  là chênh lệch thế năng cho một điện tích **đơn vị**.
3. Một tụ điện có dung kháng  $C$  được tích điện đến điện áp  $V$ . Tìm thế năng của tụ.

**Lời giải.** Bài toán này có thể được giải bằng tích phân, nhưng ở đây là một cách để tránh chúng. Hình dung rằng ta tích điện cho tụ từ điện áp bằng không đến  $V$  bằng cách nối với một dòng không đổi. Điện áp trung bình trong suốt quá trình này là  $\frac{1}{2}V$  (bởi điện tích, và do vậy cả điện áp, tăng tuyến tính theo thời gian). Ta có thể theo đó xem như rằng ngay cả khi ta mang điện tích từng-cái-một từ nơi này sang nơi khác, điện áp vẫn như vậy:  $V/2$ . Theo đó công tổng cộng để tích điện cho tụ là  $W = q \cdot V/2 = CV \cdot V/2 = CV^2/2$ .

4. Phát biểu sau đây lấy từ một giáo trình trực tuyến: “Từ định nghĩa của điện áp như năng lượng trên mỗi điện tích đơn vị, có thể kỳ vọng rằng năng lượng trữ trong tụ điện lý tưởng này sẽ chỉ là  $qV$ . Đó là, tất cả công tiêu

tổn cho điện tích để di chuyển nó từ một tấm bảng đến tấm còn lại thể hiện như năng lượng được trừ. Nhưng thực tế, công thức ở trên ( $qV/2$ ) cho thấy rằng chỉ một nửa của công đó hiện diện như là năng lượng trừ trong tụ điện. Với một giá trị điện trở hữu hạn, có thể chỉ ra rằng phân nửa năng lượng cung cấp từ pin để tích điện cho tụ bị hao phí ở dạng nhiệt trong thiết bị điện trở, bất kể kích cỡ của thiết bị điện trở.”

Bạn có thể chứng minh hay bác bỏ phát biểu này không?

5. Tìm công suất cần có để phát sáng một bóng đèn tròn có điện áp  $V$  và giá trị điện trở  $R$ .

**Lời giải.** Chênh lệch điện áp giữa hai đầu dây tóc bóng đèn là  $V$ . Theo định nghĩa của điện áp, điều này có nghĩa rằng điện tích  $q$  của electron tiêu tốn năng lượng  $qV$  khi chuyển động qua dây tóc.\* Công suất tiêu thụ là năng lượng trên một đơn vị thời gian:  $P = qV/t = IV$ , trong đó  $I = q/t$  là cường độ dòng (theo định nghĩa của dòng). Theo định luật Ohm  $I = V/R$ , và

$$P = IV = \frac{V^2}{R}.$$

Công thức này giải thích vì sao có tiếng nổ khi nối tắt ra ngoài: một giá trị  $R$  nhỏ tạo ra một giá trị  $P$  lớn.

---

\* Các electron “rơi” xuống một thế tĩnh điện trải dài theo dây tóc. Năng lượng chúng mất trong va chạm với những ion trộn lẫn hoàn toàn với các ion trong dây tóc, trở thành nhiệt và ánh sáng.

# TÀI LIỆU THAM KHẢO

- [ARC] Archimedes, *Geometrical Solutions Derived from Mechanics*, J. L. Heiberg dịch, Chicago: Nhà Xuất bản Open Court, 1909. Tập tin PDF hiện có tại địa chỉ <http://books.google.com/books?id=suYGAAAAYAAJ>.
- [ARC1] Bản thảo của Archimedes, <http://www.archimedespalimpsest.org/>.
- [ARN] V. I. Arnold, *Mathematical Methods of Classical Mechanics*, K. Vogtmann và A. Weinstein dịch, New York: Springer-Verlag, 1978.
- [BB] M. B. Balk và V. G. Boltyanskii, *Geometriya mass* (Tiếng Nga) [Hình học chất điểm], Bibliotekha Kvant [Thư viện Kvant], 61, Moscow: Nauka, 1987.
- [CG] H.S.G. Coxeter và S. L. Greitzer, *Geometry Revisited*, Washington, DC: Hiệp hội Toán học Mỹ, 1967.
- [CH] R. Courant và D. Hilbert, *Methods of Mathematical Physics*, t. 2, *Partial Differential Equations*, In lại của bản gốc 1962, Tủ sách Tinh hoa Wiley, New York: Wiley-Interscience, 1989.
- [CL] E. Coddington và N. Levinson, *Theory of Ordinary Differential Equations*, New York: McGraw-Hill, 1955.
- [D] M. M. Day, Polygons circumscribed about closed convex curves. *Trans. Am. Math. Soc.* 62 (1947), tr. 315-319.
- [DO] M. DoCarmo, *Differential Geometrical of Curves and Surfaces*, Englewood Cliffs, NJ: Prentice-Hall, 1976.

- [DS] P. G. Doyle và J. L. Snell, *Random Walks and Electric Networks*, Washington, DC: Hiệp hội Toán học Mỹ.
- [Fe] R. P. Feynman, *QED*, Princeton, NJ: Princeton University Press, 1985.
- [Fo] R. L. Foote, Geometry of the Prytz planimeter, *Rep. Math. Phys.* 42(1-2), tr. 249-271.
- [GF] I. M. Gelfand và S. V. Fomin, *Calculus of Variations*, Englewood Cliffs, NJ: Prentice-Hall, 1963.
- [HZ] H. Hofer và E. Zehnder, *Symplectic Invariants and Hamiltonian Dynamics*, Birkäuser Advanced Texts/ Basler Lehrbücher, Basel: Birkäuser Verlag, 1994.
- [K] B. Yu. Kogan, *The Applications of Mechanics to Geometry*, Chicago: University of Chicago Press, 1974.
- [L1] -----, Minimal perimeter triangles, *Am. Math. Monthly* 109 (2002), tr. 890-899.
- [L2] M. Levi, A “bicycle wheel” proof of the Gauss-Bonnet theorem, dual cones and some mechanical manifestation of the Berry phase, *Expo. Math.* 12 (1994), tr. 145-164.
- [LS] Yu. I. Luybich và L. A. Shor, *The Kinematic Method in Geometrical Problems*, V. Shokurov dịch, Moscow: Nhà Xuất bản Mir, 1980.
- [LW] M. Levi và W. Weckesser, Non-holonomic effects in averaging, *Erg. Th. & Dynam. Sys.* 22 (2002), tr. 1497-1506.

- [M] J. Milnor, *Morse Theory*, Annals of Mathematics Studies, S6. 51, Princeton, NJ: Princeton University Press, 1963.
- [NP] R. Nevanlinna và V. Paatero. *Introduction to Complex Analysis*. Providence, RI: AMS Chelsea Publishing, 2007.
- [P] G. Polya. *Mathematics and Plausible Reasoning*, t. 1, Princeton, NJ: Princeton University Press, 1990.
- [Sp] M. R. Spiegel, *Complex Variables*, Schaum's Outline Series, New York: McGraw-Hill, 1968.
- [St] J. Stewart, *Calculus: Concepts and Contexts*, Pacific Grove, CA: Brooks/Cole, 2001.
- [Ta] A. E. Taylor, A geometric theorem and its applications to biorthogonal systems, *Bull. Am. Math. Soc.* 53 (1974), tr. 614-616.
- [TO] T. F. Tokieda, Mechanical ideas in geometry, *Am. Math. Monthly* 105 (8) (1998), tr. 697-703.
- [To] L. F. Toth, *Lagerungen in der Ebene auf der Kugel und im Raum*, Berlin: Springer-Verlag, 1953.
- [U] V. A. Uspenski, *Some Applications of Mechanics to Mathematics*, New York: Pergamon Press, 1961.

# THỢ CƠ KHÍ TOÁN HỌC

**MARK LEVI**

**Huy Nguyễn dịch**

---

*Chịu trách nhiệm xuất bản:* NGUYỄN MINH NHỰT

*Chịu trách nhiệm nội dung:* NGUYỄN THẾ TRUẬT

*Biên tập:* HẢI VÂN

*Bìa:* BÙI NAM

*Minh họa bìa:* LÊ TÙNG QUAN

*Sửa bản in:* THANH VIỆT

*Kỹ thuật vi tính:* MAI KHANH

---

## **NHÀ XUẤT BẢN TRẺ**

161B Lý Chính Thắng - Quận 3 - Thành phố Hồ Chí Minh  
ĐT: 39316289 - 39316211 - 38465595 - 38465596 - 39350973

Fax: 84.8.38437450 - E-mail: [nxbtre@hcm.vnn.vn](mailto:nxbtre@hcm.vnn.vn)

Website: <http://www.nxbtre.com.vn>

## **CHI NHÁNH NHÀ XUẤT BẢN TRẺ TẠI HÀ NỘI**

Số 21, dãy A11, khu Đầm Trấu, Phường Bạch Đằng  
Quận Hai Bà Trưng, Hà Nội

Điện thoại: 04.3773.4544 - Fax: 04.3512.3395

E-mail: [chinhanh@nxbtre.com.vn](mailto:chinhanh@nxbtre.com.vn)

Website: <http://www.nxbtre.com.vn>





Tủ sách hợp tác giữa  
**nhà toán học Ngô Bảo Châu,**  
**nhà văn Phan Việt**  
với Nhà xuất bản Trẻ

Tủ sách CÁNH CỬA MỞ RỘNG được thực hiện nhằm mục đích giới thiệu những đầu sách có giá trị của thế giới và trong nước đến bạn đọc Việt Nam, đặc biệt là bạn đọc trẻ, góp phần thúc đẩy việc đọc sách, tinh thần hiếu học, coi trọng tri thức và những giá trị sống. Các tựa sách trong tủ do nhà toán học Ngô Bảo Châu và nhà văn Phan Việt tuyển chọn và giới thiệu.

Tủ sách được phân thành ba mảng: văn học, khoa học xã hội - kinh tế, và khoa học tự nhiên; trước mắt cấu tạo tủ sách gồm 80% các sách có khả năng tiếp cận đồng đảo bạn đọc và 20% cho các sách chuyên ngành. Mục tiêu của tủ sách là trong hai năm đầu sẽ phát hành 10 đầu sách, sau năm năm sẽ có từ 30 đến 50 đầu sách.

Xin mời các bạn đón đọc và đồng hành cùng tủ sách CÁNH CỬA MỞ RỘNG!

Mọi chi tiết xin liên hệ địa chỉ mail: [tre.canhcuamorong@gmail.com](mailto:tre.canhcuamorong@gmail.com).